



# Вестник

Уральского  
государственного  
университета  
путей сообщения

Научный журнал

Herald  
of the Ural State University  
of Railway Transport

Scientific journal



Научный журнал  
Вестник Уральского государственного  
университета путей сообщения  
(Вестник УрГУПС)  
№ 2 (54), 2022 год

**Главный редактор**  
Василий Михайлович Сай  
**Научный редактор**  
Василий Федорович Лапшин

**Литературный и выпускающий редактор**  
Людмила Станиславовна Барышникова

**Техническое редактирование и верстка**  
Светлана Николаевна Наймушина

**Учредитель и издатель:**  
Федеральное государственное  
бюджетное образовательное учрежде-  
ние высшего образования «Уральский  
государственный университет путей  
сообщения» (ФГБОУ ВО УрГУПС)

**Адрес учредителя, издателя и редакции:**  
620034, Екатеринбург,  
ул. Колмогорова, 66

**Телефон редакции:** (343) 221-25-60.  
**Веб-сайт:** [www.usurt.ru/vestnik](http://www.usurt.ru/vestnik);  
**e-mail:** [vestnik@usurt.ru](mailto:vestnik@usurt.ru).

Вестник УрГУПС включен ВАКом  
в перечень периодических, научных  
и научно-технических изданий,  
выпускаемых в Российской Федерации,  
в которых рекомендуется публикация  
основных результатов диссертаций.

DOI:10.20291/2079-0392

Свидетельство о регистрации  
средства массовой информации  
Роскомнадзора ПИ № ФС77–38188  
от 30 ноября 2009 г.

Подписной индекс журнала  
в общероссийском  
каталоге «Пресса России» – 70070

Отпечатано в издательстве  
Уральского государственного  
университета путей сообщения,  
620034, Екатеринбург,  
ул. Колмогорова, 66.

Подписано в печать 1.06.2022  
Дата выхода в свет 15.06.2022.  
Цена 388,37 руб.

Тираж 300 экз. 1-й з-д: 1–50.  
Формат 70×100/16.  
Заказ 18

Уральский государственный  
университет путей сообщения  
(ФГБОУ ВО УрГУПС), 2022 ©

Scientific journal «Herald of the  
Ural State University  
of Railway Transport»  
(Herald of the USURT)  
№ 2 (54), 2022

**Editor-in-chief,**  
Vasily M. Say  
**Science editor**  
Vasily F. Lapshin

**Script and copy editor**  
Lyudmila S. Baryshnikova

**Technical editing and make-up**  
Svetlana N. Naimushina

**Founder and publisher:**  
Federal state-funded educational  
institution of the higher education  
«Ural State University of Railway Transport»  
(FGBOU VO URGUPS)

**Address of the founder, publisher and edition:**  
66 Kolmogorov Street,  
620034, Ekaterinburg

**Telephone:** +7 (343) 221-25-60.  
**Web-site:** [www.usurt.ru/vestnik](http://www.usurt.ru/vestnik);  
**e-mail:** [vestnik@usurt.ru](mailto:vestnik@usurt.ru).

DOI:10.20291/2079-0392

Certificate of registration of mass media  
by the Federal Service for Supervision  
in the sphere of communications,  
information technology and mass communications  
(Roskomnadzor) PI № FS77–38188  
of November 30, 2009.

Subscription reference number  
of the issue in the All Russia Catalogue  
«Pressa Rossii» – 70070

Printed in the Publishing house  
of the Ural State University of  
Railway Transport  
66 Kolmogorov Street,  
620034, Ekaterinburg.

Passed for printing 1.06.2022  
Data of issue 15.06.2022.  
The price 388,37 rub.

Circulation 300. The 1<sup>st</sup> pr.: 1–50.  
Format 70×100/16.  
Order 18

The Ural State University  
of Railway Transport  
(FGBOU VO URGUPS), 2022 ©

## МЕЖДУНАРОДНЫЙ РЕДАКЦИОННЫЙ СОВЕТ

**Владимир Викторович Цыганов**, д-р техн. наук, профессор, Институт проблем управления Российской академии наук, Москва, Россия

**Сергей Герман-Галкин**, д-р техн. наук, профессор, Морская академия, Институт судовой автоматики и электротехники, г. Щецин, Польша

**Александр Леонидович Казаков**, д-р физ.-мат. наук, профессор, Институт динамики систем и теории управления имени В.М. Матросова Сибирского отделения Российской академии наук, г. Иркутск, Россия

**Вячеслав Семенович Шварцфельд**, д-р техн. наук, профессор, Петербургский государственный университет путей сообщения, Санкт-Петербург, Россия

**Михаил Ростиславович Якимов**, д-р техн. наук, директор Института транспортного планирования Российской академии транспорта, Москва, Россия

**Василий Михайлович Сай**, д-р техн. наук, профессор, Уральский государственный университет путей сообщения, Екатеринбург, Россия

## РЕДКОЛЛЕГИЯ

**Геннадий Львович Аккерман**, д-р техн. наук, профессор, УрГУПС, Екатеринбург

**Евгений Самуилович Ашпиз**, д-р техн. наук, профессор, РУТ, Москва

**Владимир Григорьевич Булаев**, д-р техн. наук, профессор, УрГУПС, Екатеринбург

**Александр Петрович Буйносов**, д-р техн. наук, профессор, УрГУПС, Екатеринбург

**Тамара Петровна Воскресенская**, д-р техн. наук, профессор, СибГИУ, г. Новокузнецк

**Игорь Игоревич Гаврилин**, канд. биол. наук, доцент, УрГУПС, Екатеринбург

**Сергей Николаевич Корнилов**, д-р техн. наук, профессор, МГТУ, г. Магнитогорск

**Валерий Максимович Курганов**, д-р техн. наук, профессор, ТГУ, Тверь

**Василий Федорович Лапшин**, д-р техн. наук, профессор, УрГУПС, Екатеринбург

**Валерий Владимирович Сапожников**, д-р техн. наук, профессор, ПГУПС, Санкт-Петербург

**Сергей Викторович Сизый**, д-р техн. наук, профессор, УрФУ, Екатеринбург

**Галина Адольфовна Тимофеева**, д-р физ.-мат. наук, профессор, УрГУПС, Екатеринбург

**Константин Владимирович Щурин**, д-р техн. наук, профессор, Московского государственного областного технологического университета, г. Королёв

## INTERNATIONAL EDITORIAL BOARD

**Vladimir Viktorovich Tsyganov**, Doctor of Technical Sciences, Professor, Institute of Control Sciences of Russian Academy of Sciences, Moscow, Russia

**Sergey German-Galkin**, Doctor of Technical Sciences, Professor, Maritime University, Institute of Marine Electrical Engineering and Vessel Automation, Szczecin, Poland

**Alexander Leonidovich Kazakov**, Doctor of Physical and Mathematical Sciences, Professor, Matrosov Institute of System Dynamics and Control Theory of Siberian Branch of Russian Academy of Sciences, Irkutsk, Russia

**Vyacheslav Semyonovich Schwarzfeld**, Doctor of Technical Sciences, Professor, Emperor Alexander I St. Petersburg State Transport University, St. Petersburg, Russia

**Mikhail Rostislavovich Yakimov**, Doctor of Technical Sciences, Director of Institute of Transport Planning of Russian Transport Academy, Moscow, Russia

**Vasiliy Mikhailovich Say**, Doctor of Technical Sciences, Professor, Ural State University of Railway Transport, Yekaterinburg, Russia

## EDITORIAL BOARD

**Gennadiy Lvovich Akkerman**, Doctor of Technical Sciences, Professor, USURT, Yekaterinburg

**Evgeniy Samuilovich Ashpiz**, Doctor of Technical Sciences, Professor, RUT (MIIT), Moscow

**Vladimir Grigoryevich Bulaev**, Doctor of Technical Sciences, Professor, USURT, Yekaterinburg

**Alexander Petrovich Buinosov**, Doctor of Technical Sciences, Professor, USURT, Yekaterinburg

**Tamara Petrovna Voskresenskaya**, Doctor of Technical Sciences, Professor, SSU, Novokuznetsk

**Igor Igorevich Gavrilin**, Candidate of Biological Sciences, Associate Professor, USURT, Yekaterinburg

**Sergey Nikolaevich Kornilov**, Doctor of Technical Sciences, Magnitogorsk State Technical University, Professor, Magnitogorsk

**Valeriy Maksimovich Kurganov**, Doctor of Technical Sciences, Professor, TSU, Tver

**Vasiliy Fedorovich Lapshin**, Doctor of Technical Sciences, Professor, USURT, Yekaterinburg

**Valeriy Vladimirovich Sapozhnikov**, Doctor of Technical Sciences, Professor, PSTU, St. Petersburg

**Sergey Viktorovich Sizi**, Doctor of Technical Sciences, Professor, UFU, Yekaterinburg

**Galina Adolfova Timofeeva**, Doctor of Physical and Mathematical Sciences, Professor, USURT, Yekaterinburg

**Konstantin Vladimirovich Shchurin**, Doctor of Technical Sciences, Professor, Moscow Region State University, Korolev city

# Содержание

## Математические модели технологических процессов

- 4 Н. П. Чуев. Метод интегральных уравнений  
Вольтера в исследовании динамики  
самогравитирующего газа, ограниченного  
свободной поверхностью
- 24 О. А. Лебедева, И. М. Кулакова. Решение  
транспортной задачи с использованием  
алгоритма Дейкстры для грузовых перевозок

## Механика машин и роботов

- 32 А. И. Кузнецов. Влияние колебаний напряжения  
контактной сети на токовые переходные  
процессы в силовой цепи электровоза
- 41 А. П. Буйносов, А. А. Козлова. Повышение  
надежности аккумуляторных батарей на  
электropоездах

## Управление в технических системах

- 53 Д. С. Шутов, Д. М. Маяков, М. В. Николашин.  
Мониторинг показателей надежности тягового  
подвижного состава
- 63 Д. А. Супрун, В. Г. Скорик, Е. В. Буняева.  
Рабочее диагностирование тиристорных плеч  
выпрямительно-инверторного преобразователя  
электровоза переменного тока
- 74 Е. В. Климова, Л. Е. Пилипушка, С. В. Анисимова.  
Пропускная способность однопутного перегона  
при проектировании двухпутной вставки
- 85 О. В. Москвичев, С. А. Леонова. Формирование  
системы транспортно-пересадочных узлов  
в условиях изменения пассажиропотока

## Организация и логистика

- 93 Е. Ю. Кузнецова, Н. А. Амосов. Организация  
единой утилизационной системы для  
транспортных средств на территории России
- 108 И. М. Басыров, Д. И. Кочнева, Чан Хао.  
Инновационная технология терминальной  
переработки контейнеров
- 117 А. Д. Абрамов, М. А. Семенов. Повышение  
эффективности рабочего процесса уборки снега  
от внедрения мероприятий по оптимизации  
структуры затрат

# Contents

## Mathematic models of technological processes

- 4 N. P. Chuyev. Volterra integral equation  
method in the study of dynamics  
of self-gravitating gas bounded by free  
surface
- 24 O. A. Lebedeva, I. M. Kulakova. Solving  
a transport problem using Dijkstra's  
algorithm for freight transportation

## Mechanics of machines and robots

- 32 A. I. Kuznetsov. Influence of contact network  
voltage fluctuations on current transients  
in the electric locomotive power circuit
- 41 A. P. Buynosov, A. A. Kozlova. Improving  
the reliability of batteries on electric  
trains

## Control in engineering systems

- 53 D. S. Shutov, D. M. Mayakov, M. V. Nikolashin.  
Monitoring of reliability indicators of traction  
rolling stock
- 63 D. A. Suprun, V. G. Skorik, E. V. Buneyeva.  
Working diagnostics of thyristor arms  
of a rectifier-inverter converter of an ac  
electric locomotive
- 74 E. V. Klimova, L. E. Pilipushka, S. V. Anisimova.  
Throughput capacity of a single-track stage  
when designing a double-track insert
- 85 O. V. Moskvichev, S. A. Leonova. Formation  
of a system of transport hubs in conditions  
of changing passenger traffic

## Organization and logistics

- 93 E. Yu. Kuznetsova, N. A. Amosov. Organization  
of a unified recycling system for vehicles  
on the territory of Russia
- 108 I. M. Basyrov, D. I. Kochneva, Chang Hao.  
Innovative technology of terminal container  
processing
- 117 A. D. Abramov, M. A. Semenov. Improving  
the efficiency of the snow removal operating  
process through the implementation  
of efforts of cost structure optimization

# Математические модели технологических процессов

УДК 517.958+533.1

Н. П. Чувев

## Метод интегральных уравнений Вольтерра в исследовании динамики самогравитирующего газа, ограниченного свободной поверхностью

UDC 517.958+533.1

N. P. Chuyev

## Volterra integral equation method in the study of dynamics of self-gravitating gas bounded by free surface

### Аннотация

В работе исследуется динамика конечной массы самогравитирующего идеального газа с переменной областью течения, ограниченной свободной поверхностью. Неустановившиеся течения газа описываются феноменологической математической моделью газовой динамики, которая построена с помощью системы нелинейных интегро-дифференциальных уравнений, записанных в эйлеровых координатах. Движение газа рассматривается при условии, что свободная граница во все моменты времени состоит из одних и тех же частиц. Это обстоятельство делает удобным переход от эйлеровых

координат к лагранжевым координатам, для которых область определения решения задачи о движении газа будет заранее фиксированной. Преобразование системы к лагранжевым координатам позволяет свести ее к эквивалентной системе, состоящей из интегральных уравнений типа Вольтерра и уравнения неразрывности в лагранжевой форме, и избавиться от неизвестной границы. Применяя метод последовательных приближений, свойства компактных пространств, серию найденных оригинальных и конкретных оценок для функций, описывающих течение самогравитирующего газа, доказана сходимость

последовательности приближенных решений при предположениях о гладкости начальных данных. Доказана теорема существования и единственности решения задачи Коши для системы интегральных уравнений типа Вольтерра и, следовательно, найдено решение искомой задачи в рамках сделанных предположений о движении в вакууме изолированной массы самогравитирующего идеального газа с переменной областью течения.

**Ключевые слова:** задача Коши, самогравитирующий газ, лагранжевы координаты, система нелинейных интегро-дифференциальных уравнений типа Вольтерра,

Статья рекомендована к опубликованию Г. В. Демиденко, д-ром физ.-мат. наук, главным научным сотрудником ИМ СО РАН.

Николай Павлович Чувев, канд. физ.-мат. наук, Уральский государственный университет путей сообщения; Екатеринбург, Россия: E-mail: n\_chuev44@mail.ru. ORCID0000-0003-1549-3533.

Работа выполнена при финансовой поддержке РФФИ, грант 20-07-00407.

© Н. П. Чувев, 2022

The article is recommended for publishing by G. V. Demidenko, Doctor of Physical and Mathematical Sciences, Chief Researcher of the SB RAS. Nikolay Pavlovich Chuyev, Candidate of Physical and Mathematical Sciences, Ural State University of Railway transport; Yekaterinburg, Russia: E-mail: n\_chuev44@mail.ru. ORCID0000-0003-1549-3533.

The work was carried out with the financial support of the RFBR, grant 20-07-00407.

© N. P. Chuyev, 2022

метод последовательных приближений.

DOI: 10.20291/2079-0392-2022-2-4-23

#### ABSTRACT

The paper investigates dynamics of the finite mass of self-gravitating ideal gas with a variable flow bounded by free surface. Unsteady gas flows are described by a phenomenological mathematical model of gas dynamics, which is constructed using a system of nonlinear integral-differential equations written in Eulerian coordinates. The gas motion is considered under the condition that the free boundary at all times consists of the same particles. This circumstance makes it convenient to switch from

Eulerian coordinates to Lagrangian coordinates, for which the domain of determining the solution of the gas motion problem will be fixed in advance. The transformation of the system to Lagrangian coordinates makes it possible to reduce it to an equivalent system consisting of Volterra-type integral equations and the continuity equation in Lagrangian form, and get rid of the unknown boundary. Using the method of successive approximations, properties of compact spaces, a series of original and specific estimates found for functions describing the flows of the self-gravitating gas, convergence of a sequence of approximate solutions is proved under assumptions about smoothness

of the initial data. The theorem of existence and uniqueness of the solution of the Cauchy problem for the system of integral equations of the Volterra type is proved, and, consequently, the solution of the desired problem is found within the framework of the assumptions made about the motion in vacuum of the isolated mass of the self-gravitating ideal gas with a variable flow domain.

**Keywords:** Cauchy problem, self-gravitating gas, Lagrangian coordinates, system of nonlinear integral-differential equations of Volterra type, method of successive approximations.

DOI: 10.20291/2079-0392-2022-2-4-23

#### 1. Введение

В работе изучаются задача Коши о движении в вакууме изолированной массы самогравитирующего идеального газа с переменной областью течения и закон движения границы этой области как свободной поверхности. Исследования движений сплошной среды с учетом сил самогравитации берут начало в трудах о фигуре Земли, которые были созданы еще в 1687–1742 гг. И. Ньютоном, А. К. Клеро и К. Маклореном. Дифференциальное уравнение, которое связывает гравитационный потенциал во внутренней точке тела с плотностью в ней, впервые вывел в 1829 г. Симеон Дени Пуассон. Оно стало обязательной составной частью теории самогравитирующих тел. Теории вращающихся жидких масс посвящены труды Мейера, Ж. Лиувилля, Дирихле, Дедекинда, Римана, Дарвина и Джинса. Затем эта теория получила развитие в работах выдающихся ученых А. Пуанкаре, А. М. Ляпунова, Л. Лихтенштейна и др. [1–3]. Движение гравитирующего газового шара рассматривалось как

модель звезд в работах и монографиях К. П. Станюковича [4], Л. И. Седова [5]. Результаты исследований С. Л. Дерябина, Н. П. Чуева по эволюции конечной массы самогравитирующего газа приведены в статьях [6–8]. Теория математического моделирования динамики самогравитирующих газовых сред и в настоящее время продолжает интенсивно развиваться.

Решаемая в статье задача о движении газа со свободными границами более 50 лет является объектом строгих математических исследований. Основные результаты в этом направлении получены М. А. Лаврентьевым, Л. В. Овсянниковым, В. И. Налимовым, В. В. Пухначевым, В. К. Андреевым и др. [9–12].

Система уравнений газовой динамики, описывающая движение среды в поле тяжести, является системой нелинейных интегро-дифференциальных уравнений. Разработка теории нелинейных интегро-дифференциальных уравнений была начата А. М. Ляпуновым, Э. Шмидтом, А. Хаммерштейном, Л. Лихтенштейном. В течение

последующего столетия появилось множество работ, посвященных исследованию интегро-дифференциальных уравнений. Некоторые результаты этих работ изложены в монографиях и обзорах [13–16], в которых приводится обширная библиография по данной теме.

## 2. Постановка задачи

В работе рассматривается задача по изучению закономерностей движения газа во внутреннем поле тяжести.

Пусть в момент  $t = 0$  в пространстве  $R^3$  задана область  $\Omega_0$ , заполненная идеальным политропным и изэнтропическим газом, частицы которого притягиваются друг к другу по закону Ньютона. Задача о движении газа в силовом поле сводится к определению области  $\Omega_t$ , занимаемой газом в момент времени  $t$ , а также закона движения свободной поверхности, вектора скорости  $\mathbf{u}(\mathbf{x}, t)$ , давления  $p(\mathbf{x}, t)$  и плотности  $\rho(\mathbf{x}, t)$ , удовлетворяющих в области  $\mathbf{x} \in \Omega_t$ ,  $t \in (0, T)$  системе уравнений газовой динамики в форме Л. Эйлера [4]:

$$\begin{aligned} \frac{d\mathbf{u}(\mathbf{x}, t)}{dt} + \frac{1}{\rho(\mathbf{x}, t)} \nabla p(\mathbf{x}, t) &= \nabla \Phi(\mathbf{x}, t), \\ \frac{d\rho(\mathbf{x}, t)}{dt} + \rho(\mathbf{x}, t) \operatorname{div} \mathbf{u}(\mathbf{x}, t) &= 0. \end{aligned} \quad (2.1)$$

Здесь  $\nabla$  – оператор градиента;  $\operatorname{div}$  – оператор дивергенции. При условиях, что при  $t = 0$  в каждой точке  $\mathbf{x} = \{x, y, z\}$  области  $\Omega_0$  известны распределения:  $\mathbf{u}_0(\mathbf{x})$  – вектора скорости частиц газа,  $p_0(\mathbf{x})$  – давления,  $\rho_0(\mathbf{x})$  – плотности газа. Функции  $u_0(\mathbf{x})$ ,  $p_0(\mathbf{x})$  и замкнутая граница области  $\Gamma_0$  задаются в пространстве  $C^\infty(\bar{\Omega}_0)$  бесконечно дифференцируемых функций в области  $\bar{\Omega}_0$ .

На границе  $\Gamma_t$  области  $\Omega_t$  выполняется условие

$$\rho(\mathbf{x}, t) = 0 \text{ для } \mathbf{x} \in \Gamma_t \text{ при } t \geq 0. \quad (2.2)$$

Сила ньютоновского притяжения в правой части векторного уравнения

системы равна  $\mathbf{F}(\mathbf{x}, t) = \nabla \Phi(\mathbf{x}, t)$ , где  $\nabla \Phi$  – градиент ньютоновского потенциала, который задается тройным интегралом:

$$\Phi(\mathbf{x}, t) = G \iiint_{\Omega_t} \frac{\rho(\mathbf{x}', t)}{|\mathbf{x} - \mathbf{x}'|} d\mathbf{x}', \quad (2.3)$$

где  $G$  – гравитационная постоянная;  $|\mathbf{x} - \mathbf{x}'|$  – расстояние между точками области.

Гравитационный потенциал удовлетворяет уравнению Пуассона [25–26]:

$$\operatorname{div} \mathbf{F}(\mathbf{x}, t) = \Delta \Phi(\mathbf{x}, t) = -4\pi G \rho(\mathbf{x}, t),$$

где  $\Delta$  – оператор Лапласа; оператор  $\operatorname{div}$  – оператор дивергенции.

Функции  $\mathbf{u}$ ,  $v$ ,  $\mathbf{F}$ ,  $\mathbf{P}$ ,  $\mathbf{X}$ ,  $\mathbf{x}$ ,  $\mathbf{x}'$ ,  $y$ , переменные  $\xi$ ,  $\eta$  всюду в тексте являются векторными величинами.

Рассматривая модель изэнтропического движения политропного газа, уравнение состояния политропного газа принимаем в виде

$$p(\mathbf{x}, t) = \frac{1}{\gamma} \rho^\gamma(\mathbf{x}, t), \quad (2.4)$$

где  $\gamma > 1$  – показатель политропы.

При произвольном  $\gamma$  и условии (2.2) в системе (2.1) в окрестности свободной границы  $\Gamma_t$ ,  $t \geq 0$  возникает сингулярность. Поэтому будем изучать движение газа при  $\gamma = 1 + \frac{l}{m}$ , где  $(l, m)$  принадлежит множеству  $N$  натуральных чисел,  $l \geq 2$ .

Введем новую неизвестную функцию:

$$\rho(\mathbf{x}, t) = \sigma^m(\mathbf{x}, t), \quad (2.5)$$

после подстановки которой в систему (2.1) получим систему газовой динамики с градиентным членом, не имеющим сингулярности:

$$\begin{aligned} \frac{d\mathbf{u}(\mathbf{x}, t)}{dt} + m\sigma(\mathbf{x}, t)^{l-1} \nabla \sigma(\mathbf{x}, t) &= \mathbf{F}(\mathbf{x}, t), \\ \frac{d\sigma(\mathbf{x}, t)}{dt} + \frac{1}{m} \sigma(\mathbf{x}, t) \operatorname{div} \mathbf{u}(\mathbf{x}, t) &= 0. \end{aligned} \quad (2.6)$$



На границе  $\Gamma_t$  области  $\Omega_t$  сохраняется условие:

$$\sigma(\mathbf{x}, t) = 0 \text{ для } \mathbf{x} \in \Gamma_t \text{ при } t \geq 0, \quad (2.7)$$

а вместо функции  $\rho_0(\mathbf{x})$  возникает функция  $\sigma_0(\mathbf{x}) = \sigma(\mathbf{x}, 0) \in C^\infty(\bar{\Omega}_0)$ .

Далее будем использовать обозначения плотности  $\rho(\mathbf{x}, t)$  и функцию плотности  $\sigma(\mathbf{x}, t)$ .

В настоящем исследовании движение газа рассматривается при условии, что свободная граница во все моменты состоит из одних и тех же частиц, т.е. исключается возможность переноса массы через свободную поверхность. Это обстоятельство делает удобным переход от эйлеровых координат  $(\mathbf{x}, t)$  к лагранжевым координатам  $(\xi, t)$ , для которых область определения решения задачи о движении конечной массы газа будет заранее фиксированной. При переходе к этим координатам область становится заданной цилиндрической областью  $Q_T = \bar{\Omega}_0 \times [0, T]$ .

Для удобства дальнейшего исследования преобразуем систему газовой динамики в переменных Эйлера (2.6) к лагранжевым координатам  $(\xi, t)$  [10–12].

Пусть система газовой динамики системы (2.1), (2.6) имеет решение  $\mathbf{u}(\mathbf{x}, t)$ ,  $\rho(\mathbf{x}, t)$ . При известном векторе скорости  $\mathbf{u}(\mathbf{x}, t)$  описание движения частиц газа определяется решением системы дифференциальных уравнений

$$\frac{d\mathbf{x}}{dt} = \mathbf{u}(\mathbf{x}, t) \quad (2.8)$$

с начальным условием в момент  $t = 0$

$$\mathbf{x} = \xi. \quad (2.9)$$

В случае, когда векторное поле  $\mathbf{u}(\mathbf{x}, t)$  задано в некоторой области  $\Omega_t \in R^4(\mathbf{x}, t)$ , непрерывно и удовлетворяет условию Липшица по  $\mathbf{x}$  или более сильному условию – дифференцируемости функции и ограниченности частных производных на любой замкнутой ограниченной части  $\Omega_t$ , то область  $Q_t$  однократно

покрыта семейством интегральных кривых уравнения. Интегральные кривые однозначно определяются условием прохождения через заданную точку  $\xi \in \Omega_0$  в момент  $t = 0$ . Решение задачи Коши для системы дифференциальных уравнений (2.8) с начальными условиями (2.9) будет иметь вид

$$\mathbf{x} = \mathbf{x}(\xi, t). \quad (2.10)$$

Вектор-функция  $\mathbf{x} = \mathbf{x}(\xi, t)$  описывает траекторию частицы газа, находящейся в точке  $\xi \in \Omega_0$  в момент  $t = 0$ , а также задает отображение замкнутой  $\Omega_0$  в область  $\Omega_t$  при фиксированном  $t$ . Непрерывное взаимно однозначное отображение  $\mathbf{x}(\xi, t)$  обладает достаточной гладкостью, существованием дифференцируемого обратного преобразования и выполнимо при условии, что якобиан отображения

$$J(\xi, t) = \frac{\partial(x, y, z)}{\partial(\xi, \eta, \zeta)} = \det \left( \frac{\partial \mathbf{x}}{\partial \xi} \right) \quad (2.11)$$

отличен от нуля. Якобиан отображения  $J(\xi, t)$  является решением задачи Коши для уравнения Л. Эйлера [27]:

$$\frac{\partial J(\xi, t)}{\partial t} = J(\xi, t) \operatorname{div}_x \mathbf{u}(\mathbf{x}(\xi, t), t) \quad (2.12)$$

при начальном условии

$$J(\xi, 0) = 1. \quad (2.13)$$

Решением (2.12)–(2.13) будет функция

$$J(\xi, t) = \exp \left( \int_0^t \operatorname{div}_x \mathbf{u}(\mathbf{x}(\xi, \tau), \tau) d\tau \right) \quad (2.14)$$

Из (2.14) следует выполнение начального условия (2.13) и неравенства

$$J(\xi, 0) = 1 \text{ и } J(\xi, t) > 0 \text{ при } t \geq 0. \quad (2.15)$$

Введем лагранжевы переменные  $\xi = \{\xi, \eta, \zeta\}$  как значения координат частиц газа в начальный момент в области  $\Omega_0$ . Если рассматривать  $\mathbf{x} = \{x, y, z\}$



как функции независимых переменных  $\xi, \eta, \zeta, t$ , то в момент  $t$  скорость частицы:

$$\frac{\partial \mathbf{x}(\xi, t)}{\partial t} = \mathbf{u}(\mathbf{x}(\xi, t), t) = \mathbf{v}(\xi, t). \quad (2.16)$$

Используем для функций при переходе от эйлеровых к лагранжевым переменным  $f(\mathbf{x}, t) = f(\mathbf{x}(\xi, t), t) = g(\xi, t)$  дифференциальное равенство:

$$\frac{df}{dt} = \frac{\partial g}{\partial t}. \quad (2.17)$$

Тогда ускорение можно записать следующим образом:

$$\frac{d\mathbf{u}}{dt} = \frac{\partial}{\partial t} \left( \frac{\partial \mathbf{x}}{\partial t} \right) = \frac{\partial^2 \mathbf{x}}{\partial t^2}. \quad (2.18)$$

Уравнение неразрывности и переменных Лагранжа имеет вид [27]

$$\rho(\mathbf{x}(\xi, t), t) J(\xi, t) = \rho_0(\xi). \quad (2.19)$$

Обозначим  $\rho(\mathbf{x}(\xi, t), t) = \tilde{\rho}(\xi, t)$ , тогда последнее уравнение примет вид

$$\tilde{\rho}(\xi, t) J(\xi, t) = \rho_0(\xi), \quad (2.20)$$

здесь  $\rho_0(\xi)$  означает первоначальную плотность газа в точках  $\Omega_0$ .

Запишем уравнение неразрывности с заменой функции (2.5):

$$\sigma^m(\mathbf{x}(\xi, t), t) J(\xi, t) = \sigma_0^m(\xi). \quad (2.21)$$

Перейдем в векторном уравнении системы (2.6) к лагранжевым координатам, предварительно продифференцировав потенциал  $\Phi(\xi, t)$ . Тогда для силовой функции  $\mathbf{F}(\mathbf{x}, t) = \nabla \Phi(\mathbf{x}, t)$  после вычисления градиента и подстановки  $\mathbf{x}(\xi, t)$  получим формулу:

$$\mathbf{F}(\mathbf{x}(\xi, t), t) = G \iiint_{\Omega_t} \rho(\mathbf{x}', t) \frac{\mathbf{x}' - \mathbf{x}(\xi, t)}{|\mathbf{x}(\xi, t) - \mathbf{x}'|^3} d\mathbf{x}'.$$

Применяя теорему о замене переменной в кратном интеграле и заменяя  $\mathbf{x}' = \mathbf{x}(\eta, t)$  в предыдущем равенстве получим

$$\begin{aligned} \mathbf{F}(\mathbf{x}(\xi, t), t) &= G \iiint_{\Omega_0} \rho(\mathbf{x}(\eta, t), t) \times \\ &\times t \frac{\mathbf{x}(\eta, t) - \mathbf{x}(\xi, t)}{|\mathbf{x}(\xi, t) - \mathbf{x}(\eta, t)|^3} J(\eta, t) d\eta, \end{aligned} \quad (2.22)$$

где  $J(\eta, t) = \frac{\partial(x', y', z')}{\partial(\xi', \eta', \zeta')}$  – якобиан преобразования (2.11) для  $\eta = \{\xi', \eta', \zeta'\} \in \Omega_0$ .

На основании (2.19) равенство (2.22) в форме Лагранжа примет вид

$$\begin{aligned} \mathbf{F}(\mathbf{x}(\xi, t), t) &= \\ &= G \iiint_{\Omega_0} \rho_0(\eta) \frac{\mathbf{x}(\eta, t) - \mathbf{x}(\xi, t)}{|\mathbf{x}(\xi, t) - \mathbf{x}(\eta, t)|^3} d\eta. \end{aligned} \quad (2.23)$$

Введем вектор-функцию:

$$\begin{aligned} \mathbf{P}(\mathbf{x}, t) &= \{p(\mathbf{x}, t), q(\mathbf{x}, t), r(\mathbf{x}, t)\} = \\ &= m\sigma(\mathbf{x}, t)^{l-1} \nabla \sigma(\mathbf{x}, t), \end{aligned} \quad (2.24)$$

и тогда система (2.6) с учетом (2.18), (2.20)–(2.24) в лагранжевых координатах примет следующий вид:

$$\frac{\partial^2 \mathbf{x}(\xi, t)}{\partial t^2} = -\mathbf{P}(\mathbf{x}(\xi, t), t) + \mathbf{F}(\mathbf{x}(\xi, t), t), \quad (2.25)$$

$$\tilde{\sigma}(\xi, t) J^{\frac{1}{m}}(\xi, t) = \sigma_0(\xi).$$

Пусть функции  $\mathbf{u}_0(\mathbf{x})$ ,  $\sigma_0(\mathbf{x})$  и замкнутая граница области  $\Gamma_0$  задаются в пространстве  $C^\infty(\bar{\Omega}_0)$  – бесконечно дифференцируемых функций в области  $\bar{\Omega}_0$ .

Приведенные рассуждения приводят к следующему утверждению.

### Теорема 1

Для того чтобы гладкое отображение (2.10)  $\mathbf{x} = \mathbf{x}(\xi, t)$  определяло с помо-

щью равенства (2.8)  $\frac{d\mathbf{x}}{dt} = \mathbf{u}(\mathbf{x}, t)$  и уравнения неразрывности решение системы (2.6), необходимо и достаточно, чтобы это решение удовлетворяло системе уравнений (2.25), а также начальным-краевым условиям:

$$\begin{aligned} \mathbf{x}(\xi, 0) &= \xi, \left. \frac{\partial \mathbf{x}(\xi, t)}{\partial t} \right|_{t=0} = \mathbf{u}_0(\xi), \\ J(\xi, 0) &= 1, \tilde{\sigma}(\xi, 0) = \sigma_0(\xi) \\ \text{для } \forall \xi \in \Omega_0, \tilde{\sigma}(\xi, t) &= 0 \\ \text{при } \xi \in \Gamma_0 \text{ и } t &\geq 0. \end{aligned} \quad (2.26)$$

**Доказательство.** Если система (2.6) имеет решение  $\mathbf{u}(\mathbf{x}, t)$ ,  $\rho(\mathbf{x}, t)$ , где функция плотности имеет вид  $\rho(\mathbf{x}, t) = \sigma^m(\mathbf{x}, t)$ , то в соответствии с приведенным алгоритмом преобразования уравнения газовой динамики к лагранжевым координатам, это решение удовлетворяет системе (2.25), что доказывает необходимость утверждения.

Докажем достаточность. Пусть система (2.25) с учетом (2.26) определяет решение  $\mathbf{x} = \mathbf{x}(\xi, t)$  и  $\sigma = \sigma(\xi, t)$ . Рассмотрим уравнение неразрывности системы (2.25). Возведем обе части равенства в степень  $m$ , заменим в соответствии с равенством (2.5)  $\sigma$  на  $\rho$ , продифференцируем полученное равенство по  $t$ , получим

$$\frac{\partial \tilde{\rho}(\xi, t)}{\partial t} J(\xi, t) + \frac{\partial J(\xi, t)}{\partial t} \tilde{\rho}(\xi, t) = 0. \quad (2.27)$$

На основании (2.15) для  $\mathbf{x} = \mathbf{x}(\xi, t)$  существует дифференцируемое обратное преобразование:

$$\xi = \mathbf{x}^{-1}(\mathbf{x}, t), \quad (2.28)$$

при этом из равенства (2.10) следует

$$\mathbf{x} = \mathbf{x}(\mathbf{x}^{-1}(\mathbf{x}, t), t), \quad (2.29)$$

с помощью которого определяем

$$\tilde{\rho}(\xi, t) = \tilde{\rho}(\mathbf{x}^{-1}(\mathbf{x}, t), t) = \rho(\mathbf{x}, t). \quad (2.30)$$

Используя правила дифференцирования функций (2.17) с лагранжевыми переменными и производной якобиана (2.12), получаем

$$\begin{aligned} \frac{d\rho(\mathbf{x}, t)}{dt} J(\xi, t) + \\ + J(\xi, t) \rho(\xi, t) \operatorname{div} \mathbf{u}(\mathbf{x}(\xi, t), t) &= 0. \end{aligned} \quad (2.31)$$

Так как последнее равенство справедливо при  $\xi \in \bar{\Omega}_0$ , то, заменив  $\xi$  равенством (2.28) и сократив на  $J(\xi, t) > 0$ , имеем

$$\frac{d\rho(\mathbf{x}, t)}{dt} + \rho(\mathbf{x}, t) \operatorname{div} \mathbf{u}(\mathbf{x}, t) = 0.$$

Полученное уравнение равносильно при замене функции  $\rho(\mathbf{x}, t) = \sigma^m(\mathbf{x}, t)$  уравнению неразрывности системы (2.6):

$$\frac{d\sigma(\mathbf{x}, t)}{dt} + \frac{1}{m} \sigma(\mathbf{x}, t) \operatorname{div} \mathbf{u}(\mathbf{x}, t) = 0.$$

При этом выполняются начальные и краевые условия для  $\sigma(\mathbf{x}, t)$  в силу условий (2.26). Аналогично решение  $\mathbf{x} = \mathbf{x}(\xi, t)$  системы (2.25) на основании равенств (2.18), а также (2.28), (2.29) и замены переменной интегрирования в кратном интеграле системы (2.25)  $\eta$  на  $\mathbf{x}' \in \Omega_t$  удовлетворяет уравнению Эйлера системы (2.1), (2.6):

$$\begin{aligned} \frac{d\mathbf{u}(\mathbf{x}, t)}{dt} + m\sigma(\mathbf{x}, t)^{l-1} \nabla \sigma(\mathbf{x}, t) &= \\ = \mathbf{F}(\mathbf{x}, t). \end{aligned} \quad (2.32)$$

При этом для системы (2.32) выполняются начальные условия

$$\left. \frac{\partial \mathbf{x}(\xi, t)}{\partial t} \right|_{t=0} = \mathbf{v}(\xi, t) \Big|_{t=0} = \mathbf{u}_0(\mathbf{x}).$$

Рассмотрим граничные условия. Граница  $\Gamma_t$  при  $t \geq 0$  отделяет газ от вакуума, и в качестве уравнения поверхности можно взять  $\Gamma_t : \rho(\mathbf{x}, t) = 0$  при  $t \geq 0$ . Условие, что поверхность  $\Gamma_t : \rho(\mathbf{x}, t) = 0$  все время состоит из одних и тех же частиц, определяется равенством

$$\frac{d\rho}{dt} = \frac{\partial \rho}{\partial t} + \nabla \rho \mathbf{u} = 0$$

при  $\rho|_{\Gamma_t} = 0$ .

Это равенство также является кинематическим условием, которое следует из уравнения неразрывности системы (2.1) при  $\rho|_{\Gamma_t} = 0$ .

Решение системы (2.25)–(2.26) будет обеспечивать выполнение кинематического условия при

$$\tilde{\rho}(\xi, t)J(\xi, t) = \rho_0(\xi).$$

Так как  $\rho_0(\xi)|_{\Gamma_0} = 0$  и  $J \neq 0$ , то с учетом (2.30), (2.31)  $\rho(\mathbf{x}(\xi, t)) = 0$ , после дифференцирования которого по  $t$  получим выполнение кинематического условия  $\rho_t + \nabla \rho \mathbf{u} = 0$ .

Теорема 1 доказана.

Задача Коши для интегро-дифференциальной системы уравнений (2.25)–(2.26) может быть сведена к системе с интегральным векторным уравнением типа Вольтерра для искомой векторной функции  $\mathbf{x} = \mathbf{x}(\xi, t)$  с сохранением в прежнем виде уравнения неразрывности.

Таким образом, система (2.25) эквивалентна следующей системе:

$$\begin{aligned} \mathbf{x}(\xi, t) &= \xi + \mathbf{u}_0(\xi)t + \\ &+ \int_0^t (t - \tau)(F(\mathbf{x}(\xi, \tau), \tau) - P(\mathbf{x}(\xi, \tau), \tau))d\tau, \end{aligned} \quad (2.33)$$

$$\tilde{\sigma}(\xi, t)J^{\frac{1}{m}}(\xi, t) = \sigma_0(\xi).$$

Для системы сохраняются начально-краевые условия (2.26) и задаются дополнительные условия для  $\forall \xi \in \Omega_0$ :

$$\max \left( \begin{aligned} &\sup |\xi|, \sup |\mathbf{u}_0(\xi)|, \\ &\sup |\sigma_0(\xi)|, \sup |\operatorname{div} \mathbf{u}_0(\xi)|, \\ &\sup |\sigma_0^m(\xi)| = \sup |\rho_0(\xi)|, \\ &\sup \frac{m}{l} |\nabla_{\xi} \sigma'(\xi)|, \\ &\sup \left| G \iiint_{\Omega_0} \rho_0(\eta) \frac{\eta - \xi}{|\xi - \eta|^3} d\eta \right| \end{aligned} \right) = A_0 < \infty. \quad (2.34)$$

Эквивалентность систем уравнений (2.25) и (2.33) легко проверяется дифференцированием и двукратным интегрированием.

Заметим, что если решение системы интегральных уравнений (2.33)  $\mathbf{x} = \mathbf{x}(\xi, t)$  и вычислено значение  $J(\xi, t)^{-1}$ ,

то по заданному начальному значению плотности определяется плотность газа для  $t \geq 0$ :

$$\rho(\mathbf{x}(\xi, t), t) = \rho_0(\xi)J(\xi, t)^{-1}. \quad (2.35)$$

Таким образом, если найдено решение системы (2.33)  $\mathbf{x} = \mathbf{x}(\xi, t)$ ,  $\tilde{\sigma}(\xi, t)$ , то решение системы (2.6) с применением (2.28) определяется по формулам:

$$\frac{\partial \mathbf{x}(\xi, t)}{\partial t} = \mathbf{u}(\mathbf{x}(\xi, t), t) \Big|_{\xi = \mathbf{x}^{-1}(\mathbf{x}, t)} = \mathbf{u}(\mathbf{x}, t), \quad (2.36)$$

$$\tilde{\sigma}(\xi, t) = \sigma(\mathbf{x}(\xi, t), t) \Big|_{\xi = \mathbf{x}^{-1}(\mathbf{x}, t)} = \sigma(\mathbf{x}, t).$$

Отсюда получим функцию плотности, используя формулу (2.5):

$$\rho(\mathbf{x}, t) = \sigma^m(\mathbf{x}, t).$$

Область  $\Omega_t$  в момент  $t \geq 0$  определится как образ  $\Omega_0$  при преобразовании (2.10).

### 3. Теорема существования и единственности решения задачи Коши для системы интегральных уравнений типа Вольтерра

После проведенных преобразований исследуем разрешимость интегро-дифференциальной системы уравнений (2.33) в пространстве  $C_2^\infty(Q_T)$  – множества непрерывных бесконечно дифференцируемых функций  $f(\xi, t)$  по переменным  $\xi \in \Omega_0$  и непрерывным производным до второго порядка включительно по  $t \in [0, T]$ .

#### Теорема 2

Задача Коши для интегро-дифференциальной системы уравнений (2.33) имеет единственное решение  $\mathbf{x} = \mathbf{x}(\xi, t)$ ,  $\sigma = \sigma(\xi, t)$ , принадлежащее пространству  $C_2^\infty(Q_T)$  в области  $Q_T = \bar{\Omega}_0 \times [0, T]$ , определенное на конечном интервале времени  $[0, t_0]$  для  $t_0 \in [0, T]$  и удовлетворяющее начально-краевым условиям (2.26), (2.34).

**Доказательство.** Применяя метод последовательных приближений

[28–29], построим первое приближение, полагая в (2.33)

$$\mathbf{x}_0(\xi, t) = \xi, \mathbf{x}_0(\eta, t) = \eta = \{\xi', \eta', \zeta'\},$$

что соответствует значению  $t = 0$ .

Следующая итерация:

$$\begin{aligned} \mathbf{x}_1(\xi, t) &= \xi_0 + \mathbf{u}_0(\xi)t + \\ &+ \int_0^t (t - \tau) \cdot (F_0(\xi) - P_0(\xi)) d\tau = \\ &= \xi_0 + \mathbf{u}_0(\xi)t + (F_0(\xi) - P_0(\xi)) \frac{t^2}{2}, \end{aligned} \quad (3.1)$$

где вектор-функции  $F_0(\xi)$  и  $P_0(\xi)$  получены с помощью равенств (2.23)–(2.24).

Уравнение неразрывности системы (2.33) при первом приближении и  $t = 0$  с применением (2.26) обращается в функциональное тождество.

Продолжим построение последовательности функции, получим для  $n + 1$ -й,  $n \in N$ , итерации

$$\begin{aligned} \mathbf{x}_{n+1}(\xi, t) &= \xi + \mathbf{u}_0(\xi)t + \\ &+ \int_0^t (t - \tau) \cdot (F(\mathbf{x}_n(\xi, \tau), \tau) - \\ &- P(\mathbf{x}_n(\xi, \tau), \tau)) d\tau, \end{aligned} \quad (3.2)$$

$$\sigma(\mathbf{x}_n(\xi, t), t) J_n^{\frac{1}{m}}(\xi, t) = \sigma_0(\xi).$$

Докажем, применяя метод математической индукции, принадлежность функций  $\mathbf{x}_{n+1}(\xi, t)$  и  $\sigma(\mathbf{x}_n(\xi, t), t)$  пространству функций  $C_2^\infty(Q_T)$ .

Для функций  $x_0$  и  $x_1$  это следует из начальных условий (2.26), дифференцируемости ньютоновского потенциала [25–26] и функции  $P_0(\xi)$ .

Пусть  $\mathbf{x}_i(\xi, t)$  и  $\sigma(\mathbf{x}_{i-1}(\xi, t), t)$  для  $i = 1, 2, 3, \dots, n$  функции принадлежат пространству  $C_2^\infty(Q_T)$  в области  $Q_T = \bar{\Omega}_0 \times [0, T]$ , причем область определения времени  $t$  далее будет определена точно с указанием нижней границы для  $T$ , равной  $t_0 \leq T$ .

Докажем справедливость утверждения для  $\mathbf{x}_{n+1}(\xi, t)$  и  $\sigma(\mathbf{x}_n(\xi, t), t)$ .

Для доказательства принадлежности функций  $\mathbf{x}_{n+1}(\xi, t)$  и  $\sigma(\mathbf{x}_n(\xi, t), t)$  пространству  $C_2^\infty(Q_T)$  достаточно показать принадлежность функции  $F(\mathbf{x}_n(\xi, t), t)$  и  $P(\mathbf{x}_n(\xi, t), t)$  пространству  $C^\infty$ , а также функции  $\sigma(\mathbf{x}_n(\xi, t), t)$  пространству  $C_2^\infty$ .

Принадлежность функции  $\sigma(\mathbf{x}_n(\xi, t), t)$  пространству  $C_2^\infty$  следует из уравнения неразрывности системы (3.2) в силу предположения, что  $\mathbf{x}_n(\xi, t) \in C_2^\infty(Q_T)$ , откуда следует  $J(\xi, t) \in C_2^\infty(Q_T)$  и  $\sigma_0(\xi) \in C^\infty$ .

Исследуем принадлежность функции  $F(\mathbf{x}_n(\xi, t), t)$  пространству  $C^\infty$ , важной частью которого является изучение последовательности итераций как последовательности отображений замкнутых множеств.

Так, равенство (3.1) определяет приближенную траекторию, описываемую каждой частицей, находящейся в точке с координатами  $\xi$  множества  $\Omega_0 \cup \Gamma_0$ , заполненного газом в момент времени  $t = 0$ . Таким образом, функция (3.1) ставит в соответствие ограниченному замкнутому множеству  $\Omega_0 \cup \Gamma_0 \in R^3$  в момент времени  $t \in [0, t_1]$  множество элементов  $\Omega_1 \cup \Gamma_1$ . Непрерывное отображение  $\mathbf{x}_1(\xi, t) \in C_2^\infty(Q_T)$  определено на компакте  $Q_T = \bar{\Omega}_0 \times [0, T] \in R^4$ , поэтому образ  $\mathbf{x}_1(\bar{\Omega}_0)$  является компактом, который обозначим  $\bar{\Omega}_1$ . Далее с помощью формул (3.2) получим отображения замкнутых множеств элементов  $\mathbf{x}_{i-1} \in \bar{\Omega}_{i-1}$  в множество элементов  $\mathbf{x}_i(\xi, t) \in \bar{\Omega}_i$  для  $i = 2, 3, \dots, n$ .

Функции  $\mathbf{x}_n(\xi, t)$  с якобианом (2.11)–(2.15), отличным от нуля, определяют при фиксированном  $t$  непрерывно дифференцируемые биективные отображения  $\Omega_n \cup \Gamma_n \rightarrow \Omega_0 \cup \Gamma_0$  с помощью функций

$$\xi = \mathbf{x}_n^{-1}(\mathbf{x}_n, t) \text{ и } \eta = \mathbf{x}_n^{-1}(\mathbf{x}'_n, t), \quad (3.3)$$

где точки  $\mathbf{x}_n \in \Omega_n \cup \Gamma_n$  и  $\mathbf{x}'_n \in \Omega_n \cup \Gamma_n$ .

Преобразуем функцию  $F(\mathbf{x}_n(\xi, t), t)$ , используя замену переменных, следующим образом.

Пусть дан интеграл по области  $\Omega_0$ :

$$F(\mathbf{x}_n(\xi, t), t) = \\ = G \iiint_{\Omega_0} \rho_0(\eta) \frac{\mathbf{x}_n(\eta, t) - \mathbf{x}_n(\xi, t)}{|\mathbf{x}_n(\xi, t) - \mathbf{x}_n(\eta, t)|^3} d\eta,$$

который преобразуем в интеграл по области  $\Omega_n$ .

Подставив в интеграл функцию (3.3) и применив для преобразования функцию  $\rho_0(\eta)$ , имеем равенство:

$$\rho(\mathbf{x}'_n, t) = \rho_0(\mathbf{x}_n^{-1}(\mathbf{x}'_n, t)) J^{-1}(\mathbf{x}'_n, t). \quad (3.4)$$

В итоге получим выражение для силы притяжения  $\mathbf{F}$  при  $n \in N$  в виде

$$\mathbf{F}(\mathbf{x}_n, t) = G \iiint_{\Omega_n} \rho(\mathbf{x}'_n, t) \frac{\mathbf{x}'_n - \mathbf{x}_n}{|\mathbf{x}_n - \mathbf{x}'_n|^3} dv, \quad (3.5)$$

где  $dv$  – элемент объема.

Функция  $\mathbf{F}(\mathbf{x}_n, t)$  в области  $\bar{\Omega}_n$  имеет классический вид градиента ньютоновского потенциала, для которого выполнены условия существования непрерывных производных любого порядка по переменным  $x_n, y_n, z_n$  [25–26].

Во-первых, это принадлежность функции  $\sigma(\mathbf{x}_n(\xi, t), t)$  пространству  $C_2^\infty$ . Во-вторых, граница области  $\bar{\Omega}_n$  является отображением точек  $\mathbf{x}_n(\xi, t)$  при  $\xi \in \Gamma_0$  в точки  $\mathbf{x}_n(\xi, t) \in \Gamma_n$  и, в соответствии с предположением  $\Gamma_n \in C_2^\infty(Q_T)$ .

В качестве границы  $\bar{\Omega}_n$  можно использовать уравнение  $\sigma(\mathbf{x}_n(\xi, t), t)$  при  $\xi \in \Gamma_0$ , которое, как доказано, является бесконечно дифференцируемой функцией переменных  $\xi, \eta, \zeta$ .

Поэтому вектор-функция  $\mathbf{F}(\mathbf{x}_n, t) \in C^\infty$  – сложная функция, бесконечно дифференцируемая по независимым переменным  $\xi, \eta, \zeta$ .

В соответствии с обозначением, введенным равенством (2.24), подробнее рассмотрим функцию  $\mathbf{P}(\mathbf{x}_n(\xi, t), t)$ .

Из  $\sigma(\mathbf{x}_n(\xi, t), t) \in C_2^\infty$  и предположения, что  $\mathbf{x}_n(\xi, t) \in C_2^\infty(Q_T)$ , следует  $J(\xi, t) \in C_2^\infty(Q_T)$ ,  $M^* \in C_2^\infty(Q_T)$ , здесь  $M^*$  – транспонированная матрица Якоби

$\frac{\partial \mathbf{x}_n}{\partial \xi}$ . На основании формул преобразования градиента при переходе от эйлеровой к лагранжевой форме [11–12]

равенство (2.24) преобразуем следующим образом:

$$\mathbf{P}(\mathbf{x}_n(\xi, t), t) = \frac{m}{l} \nabla_x \sigma^l(\mathbf{x}, t) \Big|_{\mathbf{x}=\mathbf{x}_n(\xi, t)} = \\ = \frac{m}{l} (M^*(\xi, t)^{-1} \nabla_\xi \sigma^l(\mathbf{x}_n(\xi, t), t)). \quad (3.6)$$

Из равенства (3.6) следует, что  $\mathbf{P}(\mathbf{x}_n(\xi, t), t) \in C_2^\infty$ .

На основании индуктивного предположения, что  $\mathbf{x}_n(\xi, t) \in C_2^\infty(Q_T)$  и из предыдущих рассуждений следует, что вектор-функция  $\mathbf{x}_{n+1}(\xi, t) \in C_2^\infty(Q_T)$  системы итераций (3.2) в области  $Q_T = \bar{\Omega}_0 \times [0, T]$  для  $n \in N$ .

Таким образом, методом математической индукции доказано, что функции  $\mathbf{x}_n(\xi, t)$ ,  $\sigma(\mathbf{x}_n(\xi, t), t)$ ,  $\mathbf{P}(\mathbf{x}_n(\xi, t), t)$  принадлежат пространству  $C_2^\infty(Q_T)$  и  $\mathbf{F}(\mathbf{x}_n, t) \in C^\infty$  для  $n \in N$ .

Из равенства (2.16) следует, что

$$\frac{\partial \mathbf{x}_n(\xi, t)}{\partial t} = \mathbf{v}_n(\xi, t) = \mathbf{v}_n(\mathbf{x}_n^{-1}(\mathbf{x}, t), t) = \mathbf{u}_n(\mathbf{x}, t)$$

и функции  $\mathbf{v}_n(\xi, t)$  и  $\mathbf{u}_n(\mathbf{x}, t)$  принадлежат пространству  $C_2^\infty(Q_T)$ .

Из непрерывности функций  $\mathbf{x}_n(\xi, t)$ ,  $\sigma(\mathbf{x}_n(\xi, t), t)$ ,  $\mathbf{F}(\mathbf{x}_n, t)$  и  $\mathbf{P}(\mathbf{x}_n, t)$  в замкнутой области, где  $Q_T = \bar{\Omega}_0 \times [0, T]$  следует их ограниченность. Так, из начальных условий имеем

$$|\xi| < A_0 < \infty,$$

$$|x_1(\xi, t)| < A_0(1 + t + t^2) < A_1 < \infty$$

$$\text{при } t \in [0, T].$$

Для вывода оценок вектор-функций  $\mathbf{x}_n(\xi, t)$  при произвольном  $n \in N$  на компакте  $\bar{\Omega}_n$  и при  $t \in [0, T]$  необходимо прежде определить оценки вектор-функций  $\mathbf{F}(\mathbf{x}_n, t)$  и  $\mathbf{P}(\mathbf{x}_n, t)$ .

Сначала установим оценки функции  $\mathbf{P}(\mathbf{x}_n, t)$ . Для этого потребуются не-

равенства для  $J(\xi, t)$ ,  $\sigma(\mathbf{x}_n, t)$  и  $\nabla_{\mathbf{x}_n} \sigma(\mathbf{x}_n, t)$  в области  $\bar{\Omega}_n$ . Из определения якобиана  $J(\xi, t)$  (2.12)–(2.15) следуют свойства:

$$J(\xi, t) \in C_2^{\infty}, J(\xi, t) > 0 \text{ и } J(\xi, t) = 1$$

для  $\forall \xi \in \bar{\Omega}_0$  и  $\forall n \in N, \xi \in R^3$ . (3.7)

Из определения производной функции по  $t$  при фиксированном значении  $\xi \in \bar{\Omega}_0$  имеем равенство

$$\frac{J(\xi, t) - J(\xi, 0)}{t} = \frac{\partial J}{\partial t} \Big|_{t=0} + \alpha(t),$$

где  $\alpha(t) \rightarrow 0$  при  $t \rightarrow 0$ .

Выберем  $t \in [0, t_1]$  настолько малым и  $t_1 \leq T$ , чтобы выполнялось неравенство

$$|J(\xi, t) - J(\xi, 0)| \leq \left| \frac{\partial J}{\partial t} \right|_{t=0} \cdot t + \varepsilon_1 \cdot t,$$

где  $\varepsilon_1$  – некоторое постоянное число,  $|\alpha(t)| < \varepsilon_1$ .

Используя свойства якобиана (3.7) и равенства (2.11)–(2.14) с учетом дополнительного условия  $\sup |\operatorname{div}_{\xi} \mathbf{u}_0(\xi)| < A_0$  (2.34), получим

$$1 - (A_0 + \varepsilon_1)t \leq J(\xi, t) \leq 1 + (A_0 + \varepsilon_1)t. \quad (3.8)$$

Неравенство (3.8) должно выполняться при

$$1 - (A_0 + \varepsilon_1)t > 0,$$

отсюда следует:

$$0 \leq t < \frac{1}{A_0 + \varepsilon_1}$$

$$\text{или } t \in [0, t_1] \text{ при } t_1 < \frac{1}{A_0 + \varepsilon_1} \leq T.$$

Таким образом, для (3.8) определены неравенства

$$b_0 \leq J(\xi, t) \leq B_0, \quad (3.9)$$

справедливые в области  $\bar{\Omega}_n$  для  $n \in N$  и где постоянные числа  $b_0$  и  $B_0$  определены равенствами

$$b_0 = 1 - (A_0 + \varepsilon_1)t_1,$$

$$B_0 = 1 + (A_0 + \varepsilon_1)t_1.$$

Из уравнения неразрывности системы (3.2) в области  $\bar{\Omega}_n$  следуют неравенства с учетом дополнительного условия (2.34)  $\sup |\sigma_0(\xi)| < A_0$ :

$$A_0 B_0^{-\frac{1}{m}} \leq \sigma(\mathbf{x}_n, t) \leq A_0 b_0^{-\frac{1}{m}}.$$

Обозначим  $A_0 B_0^{-\frac{1}{m}} = d_0$  и  $A_0 b_0^{-\frac{1}{m}} = D_0$ , последние неравенства имеют вид для постоянных значений  $d_0 > 0$  и  $D_0 > 0$ :

$$d_0 \leq \sigma(\mathbf{x}_n, t) \leq D_0, \quad (3.10)$$

что справедливо при  $n \in N$  в области  $\bar{\Omega}_n$ .

Определим оценки для  $\nabla_{\mathbf{x}_n} \sigma(\mathbf{x}_n, t)$  в области  $\bar{\Omega}_n$  и произвольном  $n \in N$ .

Множество элементов  $\bar{\Omega}_n$ , как установлено, является компактом, т.е. ограниченным и замкнутым. При фиксированном значении  $t$  существует бесконечная система  $\omega_i$  шаров с радиусами  $r_{1i} < r_i < r_{2i}$ ,  $i \in N$ , и каждая точка множества  $\bar{\Omega}_n$  принадлежит хотя бы одному из шаров системы. На основании леммы Гейне – Бореля [30] из данной системы шаров всегда можно выделить конечную подсистему шаров

$$\Sigma = \{\omega_1, \omega_2, \dots, \omega_m\}, m \in N,$$

которая показывает все множество элементов  $\bar{\Omega}_n$ .

Применяя к каждому из шаров  $\omega_i$ ,  $i = 1, 2, \dots, m$ , формулу Гаусса – Остроградского [30] для функции  $\sigma^l(\mathbf{x}_n, t)$  при фиксированном параметре  $t \in [0, t_2]$ , получим равенство

$$\iiint_{\omega_i} \nabla_{\mathbf{x}_n} \sigma^l(\mathbf{x}_n, t) dv = \iint_{\gamma_i} \sigma^l(\mathbf{x}_n, t) \cdot \mathbf{n} dS,$$

где  $\mathbf{n}$  – единичная нормаль, внешняя к поверхности  $\gamma_i$  шара  $\omega_i$ ,  $i = 1, 2, 3, \dots, m$ ;  $dv$  – элемент объема;  $dS$  – элемент площади поверхности.

Из формулы следует неравенство

$$\max |\nabla_{x_n} \sigma'(\mathbf{x}_n, t)| V_{\omega_i} \leq k_1 \max |\sigma'(\mathbf{x}_n, t)| S_{\omega_i},$$

где  $k_1 > 1$  – некоторое постоянное число;  $V_{\omega_i}$  – объем шара  $\omega_i$ ;  $S_{\omega_i}$  – площадь поверхности шара  $\omega_i$ .

Упростим это неравенство, обозначив  $r_1 = \min\{r_i\}, i = 1, 2, 3, \dots, m$ :

$$\max |\nabla_{x_n} \sigma'| \leq 3k_1 \frac{\max |\sigma'|}{r_1},$$

или с учетом (3.10) получим

$$|\nabla_{x_n} \sigma'| \leq K_1 \max |\sigma'| \leq K_1 D_0^l.$$

Из последнего неравенства получим оценку для  $P(\mathbf{x}_n, t)$ :

$$P(\mathbf{x}_n, t) \leq \frac{m}{l} K_1 D_0^l \leq D_1, \quad (3.11)$$

где  $D_1$  – некоторая постоянная.

Установим оценку для вектор-функции  $F(\mathbf{x}_n, t)$  в области  $\bar{\Omega}_n$  при  $t \in [0, t_1]$  и фиксированном  $t$ .

Используя оценку для градиента ньютоновского потенциала [25–26], получим

$$|F(\mathbf{x}_n, t)| \leq 2\pi \max |\rho(\mathbf{x}_n, t)| \max |\mathbf{x}_n(\xi, t)|.$$

На основании равенства  $\rho(\mathbf{x}_n, t) = \sigma^m(\mathbf{x}_n, t)$  и оценки (3.10) для функции  $F(\mathbf{x}_n, t)$  установлено неравенство в области  $\bar{\Omega}_n$ :

$$\begin{aligned} |F(\mathbf{x}_n, t)| &\leq 2\pi D_0^m \max |\mathbf{x}_n(\xi, t)| \leq \\ &\leq K_2 \max |\mathbf{x}_n(\xi, t)| \end{aligned} \quad (3.12)$$

для  $n \in N, t \in [0, t_1]$ ;  $K_2$  – некоторая постоянная,  $K_2 > 0$ .

Теперь завершим вывод оценок верхней границы функции  $\mathbf{x}_n(\xi, t)$  для произвольно выбранного  $n \in N, t \in [0, t_1]$  с применением неравенств (2.34), (3.11) и (3.12).

Рассмотрим векторные итерации системы (3.2). Тогда для  $t \in [0, t_1]$ :

$$\begin{aligned} \max |\mathbf{x}_n(\xi, t)| &\leq A_0 + A_0 t + \\ &+ \int_0^t (t - \tau) (K_2 \max |\mathbf{x}_{n-1}| + D_1) d\tau \leq \\ &\leq A_1 + A_1 t + A_1 \frac{t^2}{2} + A_1 \max |\mathbf{x}_{n-1}| \frac{t^2}{2}, \end{aligned}$$

где  $A_1 = \max\{A_0, K_2, D_1\}, A_1 > 0$ .

Последнее неравенство рассмотрим при некотором значении  $t = t_2$ , где  $t_2 \in [0, t_1]$ , и обозначим

$$A_1 + A_1 t_2 + A_1 \frac{t_2^2}{2} = L_0 = \text{const}, L_0 > 0,$$

$$A_1 \frac{t_2^2}{2} = L_1 = \text{const}, L_1 > 0.$$

В результате получим достаточно простое рекуррентное неравенство для значений  $n - 1$  и  $n$ :

$$\max |\mathbf{x}_n(\xi, t)| \leq L_0 + L_1 \cdot \max |\mathbf{x}_{n-1}(\xi, t)|. \quad (3.13)$$

Рассмотрим последовательность неравенств (3.13) при  $n = 0, 1, 2, \dots, n$ :

$$\begin{aligned} \max |\mathbf{x}_1| &\leq L_0 + L_1 A_0, \\ \max |\mathbf{x}_2| &\leq L_0 + L_0 L_1 + L_1^2 A_0, \\ &\dots \dots \dots \end{aligned} \quad (3.14)$$

$$\max |\mathbf{x}_n| \leq L_0 \cdot \sum_{k=0}^{n-1} L_1^k + L_1^n A_0.$$

Потребуем для определения конечной оценки  $L_1$  и выполнения неравенства

$$L_1 = A_1 \frac{t_2^2}{2} < 1, \text{ откуда следует его}$$

выполнение при

$$0 \leq t_2 < \sqrt{\frac{2}{A_1}}, \text{ причем } t_2 \leq t_1.$$

Увеличивая число слагаемых в правой части (3.14) с учетом того, что  $A_0 < L_0$ , получим



$$|\mathbf{x}_n| \leq L_0 \sum_{k=0}^n L_1^k < L_0 \sum_{k=0}^{\infty} L_1^k.$$

Здесь в правой части – сумма геометрической прогрессии со знаменателем  $L_1 < 1$ , вычислив которую получим оценку

$$|\mathbf{x}_n| \leq \frac{L_0}{1 - L_1} = L_2 = \text{const.}$$

Окончательно определим верхнюю границу для  $\mathbf{x}_n(\xi, t)$ :

$$|\mathbf{x}_n(\xi, t)| \leq L_2$$

$$\text{в области } Q_T = \bar{\Omega}_0 \times [0, t_2] \quad (3.15)$$

для  $n \in N$ .

Докажем, что последовательность приближений  $\mathbf{x}_n(\xi, t)$  сходится равномерно относительно переменных  $\xi, \eta, \zeta$  в пространстве функций  $\mathbf{x}_n(\xi, t) \in C_2^\infty(Q_T)$ , в области  $Q_T$ , где  $Q_T = \bar{\Omega}_0 \times [0, T]$ .

Рассмотрим разность производных последовательностей приближений вектор-функций  $\mathbf{x}_{n+1}(\xi, t)$  и  $\mathbf{x}_n(\xi, t)$  по пространственным независимым переменным

$$\frac{\partial^{(k)} \mathbf{x}_{n+1}(\xi, t)}{\partial \xi^{\alpha_1} \partial \eta^{\alpha_2} \partial \zeta^{\alpha_3}} - \frac{\partial^{(k)} \mathbf{x}_n(\xi, t)}{\partial \xi^{\alpha_1} \partial \eta^{\alpha_2} \partial \zeta^{\alpha_3}},$$

где  $k = 0, 1, 2$  и  $\alpha_1 + \alpha_2 + \alpha_3 = k$ . Таких производных от функций  $\mathbf{x}_{n+1}(\xi, t)$  и  $\mathbf{x}_n(\xi, t)$  будет по девять, три частных производных по  $\xi, \eta, \zeta$ , три производные второго порядка вида по каждой переменной  $\xi, \eta, \zeta$  и три смешанных производных второго порядка.

Проинтегрируем дважды разность производных, учитывая равенство нулю функций  $\mathbf{x}_{n+1}(\xi, t)$  и  $\mathbf{x}_n(\xi, t)$  и их производных порядка  $k - 1$  при  $\xi = 0$ .

Получим два вида равенств; первого вида:

$$\begin{aligned} \mathbf{x}_{n+1}(\xi, t) - \mathbf{x}_n(\xi, t) &= \\ &= \int_0^\xi (\xi - \mu) \left( \frac{\partial^{(k)} \mathbf{x}_{n+1}(\xi, t)}{\partial \mu^{\alpha_1} \partial \eta^{\alpha_2} \partial \zeta^{\alpha_3}} - \frac{\partial^{(k)} \mathbf{x}_n(\xi, t)}{\partial \mu^{\alpha_1} \partial \eta^{\alpha_2} \partial \zeta^{\alpha_3}} \right) d\mu. \end{aligned}$$

Следующие два равенства определены простой заменой переменных  $\xi$  на  $\eta$  и  $\xi$  на  $\zeta$ .

Второй вид представляют равенства:

$$\begin{aligned} \mathbf{x}_{n+1}(\xi, t) - \mathbf{x}_n(\xi, t) &= \\ &= \int_0^\xi \int_0^\eta \left( \frac{\partial^{(k)} \mathbf{x}_{n+1}(\xi, t)}{\partial \mu^{\alpha_1} \partial \nu^{\alpha_2} \partial \zeta^{\alpha_3}} - \frac{\partial^{(k)} \mathbf{x}_n(\xi, t)}{\partial \mu^{\alpha_1} \partial \nu^{\alpha_2} \partial \zeta^{\alpha_3}} \right) d\mu d\nu. \end{aligned}$$

Следующие два равенства определены простой заменой переменных  $\eta$  на  $\zeta$  и  $\xi$  на  $\zeta$ .

Отсюда следует

$$\begin{aligned} \max \left| \int_0^\xi (\xi - \mu) \left( \frac{\partial^{(k)} \mathbf{x}_{n+1}(\xi, t)}{\partial \mu^{\alpha_1} \partial \eta^{\alpha_2} \partial \zeta^{\alpha_3}} - \frac{\partial^{(k)} \mathbf{x}_n(\xi, t)}{\partial \mu^{\alpha_1} \partial \eta^{\alpha_2} \partial \zeta^{\alpha_3}} \right) d\mu \right| &\leq \\ &\leq \max \left| \frac{\partial^{(k)} \mathbf{x}_{n+1}(\xi, t)}{\partial \xi^{\alpha_1} \partial \eta^{\alpha_2} \partial \zeta^{\alpha_3}} - \frac{\partial^{(k)} \mathbf{x}_n(\xi, t)}{\partial \xi^{\alpha_1} \partial \eta^{\alpha_2} \partial \zeta^{\alpha_3}} \right| \frac{\xi^2}{2} \leq \\ &\leq \max \left| \frac{\partial^{(k)} \mathbf{x}_{n+1}(\xi, t)}{\partial \xi^{\alpha_1} \partial \eta^{\alpha_2} \partial \zeta^{\alpha_3}} - \frac{\partial^{(k)} \mathbf{x}_n(\xi, t)}{\partial \xi^{\alpha_1} \partial \eta^{\alpha_2} \partial \zeta^{\alpha_3}} \right| r^2, \end{aligned} \quad (3.16)$$

где  $r$  – радиус описанной вокруг области  $\bar{\Omega}_0$  сферы.

Для остальных пяти равенств получим такие же, как (3.16) очевидные неравенства. Из (3.16) следует существование такой константы  $H$ , что справедливо неравенство:

$$\begin{aligned} \max \left| \frac{\partial^{(k)} \mathbf{x}_{n+1}(\xi, t)}{\partial \xi^{\alpha_1} \partial \eta^{\alpha_2} \partial \zeta^{\alpha_3}} - \frac{\partial^{(k)} \mathbf{x}_n(\xi, t)}{\partial \xi^{\alpha_1} \partial \eta^{\alpha_2} \partial \zeta^{\alpha_3}} \right| &\leq \\ &\leq \frac{H^k}{r^k} \max |\mathbf{x}_{n+1}(\xi, t) - \mathbf{x}_n(\xi, t)|, \end{aligned} \quad (3.17)$$

при  $\alpha_1 + \alpha_2 + \alpha_3 = k$ . При  $k = 0$  (3.17) будет равенством.

Далее оценим модуль разности  $|\mathbf{x}_{n+1}(\xi, t) - \mathbf{x}_n(\xi, t)|$  для  $n \in N$ . Из векторного уравнения (3.2) следует

$$\begin{aligned} |\mathbf{x}_{n+1}(\xi, t) - \mathbf{x}_n(\xi, t)| &= \\ &= \left| \int_0^t (t - \tau) [(F(\mathbf{x}_n(\xi, \tau), \tau) - \right. \end{aligned}$$

$$-F(\mathbf{x}_{n-1}(\xi, \tau), \tau) - \\ - (P(\mathbf{x}_n(\xi, \tau), \tau) - P(\mathbf{x}_{n-1}(\xi, \tau), \tau)] d\tau]. \quad (3.18)$$

Для произвольной точки области  $Q_T = \bar{\Omega}_0 \times [0, T]$  разность функций в подынтегральном выражении (3.18) запишем с применением леммы Адамара [31] для разности  $F(\mathbf{x}_n(\xi, t), t) - F(\mathbf{x}_{n-1}(\xi, t), t)$  в виде

$$F(\mathbf{x}_n(\xi, t), t) - F(\mathbf{x}_{n-1}(\xi, t), t) = \\ = \int_0^1 \frac{d}{dr} F(r\mathbf{x}_n(\xi, t) + (1-r)\mathbf{x}_{n-1}(\xi, t), t) dr = \\ = \int_0^1 F'(X_n, t) dr \cdot (\mathbf{x}_n(\xi, t) - \mathbf{x}_{n-1}(\xi, t)), \quad (3.19)$$

где функция  $X_n = r\mathbf{x}_n + (1-r)\mathbf{x}_{n-1}$  определена в области  $Q_T = \bar{\Omega}_0 \times [0, T]$  и  $0 \leq r \leq 1$ .

Рассмотрим подробнее вектор-функцию  $X_n = \{X_n, Y_n, Z_n\}$ :

$$X_n = r\mathbf{x}_n + (1-r)\mathbf{x}_{n-1}, \quad (3.20)$$

с помощью которой установлена взаимосвязь между элементами множеств  $\mathbf{x}_{n-1}(\xi, t) \in \bar{\Omega}_{n-1}$  и  $\mathbf{x}_n(\xi, t) \in \bar{\Omega}_n$ , так как число частиц газа в каждой из областей равно. Функция (3.20) на основании (3.15) ограничена:

$$\{X_n\} = \sup\{r\mathbf{x}_n + (1-r)\mathbf{x}_{n-1}\} = L_2$$

для  $\forall n \in N$ .

Равенство (3.20) есть уравнение отрезка прямой, соединяющего точки  $\mathbf{x}_{n-1}$  и  $\mathbf{x}_n$ . Множество точек областей  $\bar{\Omega}_{n-1}$ ,  $\bar{\Omega}_n$  и прямых, их соединяющих (3.9), образуют цилиндрическую замкнутую область  $\bar{G}$  в пространстве  $R^3$  при фиксированном значении  $t$ . Таким образом, функция (3.20) при изменении параметра  $r$  от 0 до 1 задает непрерывное изменение замкнутых областей  $\bar{\Omega}_r$ : от  $\bar{\Omega}_{n-1}$  до  $\bar{\Omega}_n$ .

В матричной форме разность (3.19) примет вид

$$F(\mathbf{x}_n, t) - F(\mathbf{x}_{n-1}, t) = \\ = \Phi_{1n}(\xi, t) \cdot (\mathbf{x}_n - \mathbf{x}_{n-1}), \quad (3.21)$$

где в правой части равенства записано скалярное произведение матрицы  $\Phi_{1n}$  на вектор  $\mathbf{x}_n(\xi, t) - \mathbf{x}_{n-1}(\xi, t)$ . Матрица  $\Phi_{1n}$  имеет вид

$$\Phi_{1n}(\xi, t) = \int_0^1 \frac{\partial F(X_n, t)}{\partial X_n} dr.$$

Для подынтегрального выражения (3.19) получим оценки, применив прием, использованный ранее для определения оценок функции  $\nabla_{x_n} \sigma(\mathbf{x}_n, t)$ . Найдем оценки для девяти производных

матрицы Якоби  $\frac{\partial F(X_n, t)}{\partial X_n}$  по переменным  $X_n, Y_n, Z_n$  при фиксированном значении  $t \in [0, t_2]$ .

В равенстве (3.20) возьмем произвольное значение  $r = r_0 \in [0, 1]$ , для которого определится область  $\bar{\Omega}_{r_0}$ . Оценки (3.12) для  $F(\mathbf{x}_n, t)$  установлены глобально в заданной области, поэтому формулу Гаусса – Остроградского применим для области  $\bar{\Omega}_{r_0}$ , в результате получим для компонентов вектор-функции  $F = \{F_1, F_2, F_3\}$  равенство

$$\iiint_{\bar{\Omega}_{r_0}} \nabla_{x_n} F_i \bigg|_{x_n = X_n} dv = \iint_{\Gamma_{r_0}} F_i \cdot \mathbf{n} dS, \quad (3.22)$$

где  $i = 1, 2, 3$ ;  $dv$  – элемент объема;  $\mathbf{n}$  – внешняя нормаль к поверхности  $\Gamma_{r_0}$ , ограничивающей объем  $\bar{\Omega}_{r_0}$ .

Из (3.22) и (3.12) следует оценка производной  $F_i$  по каждой переменной  $X_n, Y_n, Z_n$ :

$$\max \left| \frac{\partial F_i}{\partial x_n} \right|_{x_n = X_n} \leq k_{2i} \max |F_i| \leq \\ \leq k_{2i} \max |F| \leq K_{3i} \max |\mathbf{x}_n(\xi, t)|,$$

где  $K_{3i} = \text{const}$ ,  $K_{3i} > 1$ .

Применяя в последнем неравенстве для  $|\mathbf{x}_n(\xi, t)|$  оценку (3.15), получим

$$\begin{aligned} \max \left| \frac{\partial F_i}{\partial x_n} \right|_{x_n = X_n} &\leq \\ &\leq K_{3i} \max |r_0 \mathbf{x}_n + (1-r_0) \mathbf{x}_{n-1}| \leq K_{3i} L_2. \end{aligned}$$

Аналогичные неравенства имеют

место для  $\frac{\partial F_i}{\partial y_n}$  и  $\frac{\partial F_i}{\partial z_n}$ :

$$\begin{aligned} \max \left| \frac{\partial F_i}{\partial y_n} \right|_{y_n = Y_n} &\leq K_{3i} L_2 \\ \text{и} \quad \left| \frac{\partial F_i}{\partial z_n} \right|_{z_n = Z_n} &\leq K_{3i} L_2. \end{aligned}$$

Выбрав  $\max\{K_{3i}\}$ ,  $i = 1, 2, 3 = K_3$ , получим для всех производных  $F(\xi, t)$  матрицы Якоби, предварительно обозначив произведение  $K_3 \cdot L_2 = M_1$  оценки

$$\left| \frac{\partial F_i}{\partial X_n} \right| \leq M_1, \quad \left| \frac{\partial F_i}{\partial Y_n} \right| \leq M_1, \quad \left| \frac{\partial F_i}{\partial Z_n} \right| \leq M_1.$$

Эти оценки будут справедливы для всех  $r \in [0, 1]$  в силу произвольно выбранного значения  $r = r_0$  при фиксированном  $t \in [0, t_2]$ .

Таким образом, применяя к матрице  $\Phi_{1n}$  оценку [33], получим

$$|\Phi_{1n}| \leq 3M_1 \quad (3.23)$$

для  $n \in N$  в области  $Q_T = \bar{\Omega}_0 \times [0, t_2]$ .

Аналогично рассмотрим разность:

$$P(\mathbf{x}_n(\xi, t), t) - P(\mathbf{x}_{n-1}(\xi, t), t).$$

Из уравнения неразрывности (3.1) для  $\sigma(\mathbf{x}_{n-1}(\xi, t), t)$ , равенства (3.6) для  $P(\mathbf{x}_n, t)$  и зависимости этих функций в конечном счете от  $\sigma_0(\xi)$  и  $\mathbf{x}_n(\xi, t)$  определим оценки для разности вектор-функций  $\sigma(\mathbf{x}_{n-1}(\xi, t), t)$  аналогично полученным результатам (3.23):

$$\begin{aligned} P(\mathbf{x}_n(\xi, t), t) - P(\mathbf{x}_{n-1}(\xi, t), t) &= \\ &= \int_0^1 \frac{d}{dr} P(r\mathbf{x}_n(\xi, t) + (1-r)\mathbf{x}_{n-1}(\xi, t), t) dr = \\ &= \int_0^1 P'(X_n, t) dr \cdot (\mathbf{x}_n(\xi, t) - \mathbf{x}_{n-1}(\xi, t)) \end{aligned}$$

или в матричной форме

$$\begin{aligned} P(\mathbf{x}_n, t) - P(\mathbf{x}_{n-1}, t) &= \\ &= \Phi_{2n}(\xi, t) \cdot (\mathbf{x}_n - \mathbf{x}_{n-1}), \end{aligned} \quad (3.24)$$

где в последнем равенстве есть скалярное произведение матрицы  $\Phi_{2n}$  на вектор  $\mathbf{x}_n - \mathbf{x}_{n-1}$ ,  $X_n = r\mathbf{x}_n + (1-r)\mathbf{x}_{n-1}$  и

$$\Phi_{2n}(\xi, t) = \int_0^1 \frac{\partial P(X_n, t)}{\partial X_n} dr.$$

Производные элементов матрицы

$\frac{\partial P}{\partial X_n}$  на основании (3.11) будут ограничены некоторой постоянной величиной  $M > 0$  и, применяя оценку к матрице  $\Phi_{2n}(\xi, t)$  аналогично (3.23), получим для  $n \in N$

$$|\Phi_{2n}(\xi, t)| \leq 3M_2. \quad (3.25)$$

Установив неравенства (3.23) и (3.25), из равенств (3.18), (3.21) и (3.24) следует, что

$$\begin{aligned} |\mathbf{x}_{n+1}(\xi, t) - \mathbf{x}_n(\xi, t)| &\leq \\ &\leq 3M_1 \int_0^t (t-\tau) |\mathbf{x}_n(\xi, \tau) - \mathbf{x}_{n-1}(\xi, \tau)| d\tau + \\ &+ 3M_2 \int_0^t (t-\tau) |\mathbf{x}_n(\xi, \tau) - \mathbf{x}_{n-1}(\xi, \tau)| d\tau. \end{aligned}$$

Последнее неравенство справедливо для  $n \in N$ , имеет место для любых  $(\xi, t) \in Q_T$ , поэтому его можно переписать так:

$$\begin{aligned} \max |\mathbf{x}_{n+1} - \mathbf{x}_n| &\leq \\ &\leq 6M \int_0^t (t-\tau) \max |\mathbf{x}_n - \mathbf{x}_{n-1}| d\tau \leq \\ &\leq 6M \max |\mathbf{x}_n - \mathbf{x}_{n-1}| \frac{t^2}{2} = \\ &= 3M \cdot \max |\mathbf{x}_n - \mathbf{x}_{n-1}| t^2, \end{aligned}$$

где  $M = \max(M_1, M_2)$ .

Обозначим  $3Mt^2 = q < 1$ , определив отсюда  $t$  неравенством  $0 \leq t \leq t_3 < \sqrt{\frac{1}{3M}}$ .

Таким образом, для модуля разности  $|\mathbf{x}_{n+1}(\xi, t) - \mathbf{x}_n(\xi, t)|$  и для  $t \in (0, t_3)$ ,  $n \in N$  получим неравенство

$$\max |\mathbf{x}_{n+1} - \mathbf{x}_n| \leq q \max |\mathbf{x}_n - \mathbf{x}_{n-1}|,$$

$$0 < q < 1,$$

справедливое для  $n \in N$ . Это рекуррентное неравенство можно продолжить, последовательно, преобразуя правые части от  $n$ ,  $n-1$ ,  $n-2$ , ..., 1:

$$\max |\mathbf{x}_{n+1} - \mathbf{x}_n| \leq q^2 \max |\mathbf{x}_{n-1} - \mathbf{x}_{n-2}|,$$

в результате получим последнее неравенство:

$$\max |\mathbf{x}_{n+1} - \mathbf{x}_n| \leq q^n \max |\mathbf{x}_1 - \mathbf{x}_0|. \quad (3.26)$$

Продолжив преобразование неравенства (3.26) с учетом (2.34), (3.1) и условия  $\mathbf{x}_0 = \xi$ , получим следующие оценки:

$$\begin{aligned} \max |\mathbf{x}_{n+1} - \mathbf{x}_n| &\leq \\ &\leq q^n \max \left| \mathbf{u}_0(\xi)t + (F_0(\xi) - P_0(\xi)) \frac{t^2}{2} \right| \leq \\ &\leq q^n A_0(t + t^2) \leq Cq^n \end{aligned} \quad (3.27)$$

$$\text{при } C = A_0(t + t^2) \Big|_{t=t_1}.$$

Последнее неравенство показывает, что для  $n > N_1$  максимум разности  $\max |\mathbf{x}_{n+p} - \mathbf{x}_n|$  может быть сколь угодно малым при любом  $p > 0$ . Это доказывает неравенства

$$\begin{aligned} |\mathbf{x}_{n+p} - \mathbf{x}_n| &\leq |\mathbf{x}_{n+p} - \mathbf{x}_{n+p-1}| + \dots + |\mathbf{x}_{n+1} - \mathbf{x}_n| \leq \\ &\leq C(q^{n+p-1} + q^{n+p-2} + \dots + q^n) = C \frac{q^n(1-q^p)}{1-q} < \\ &< \frac{q^n}{1-q} C < \varepsilon \text{ при } n > \left\lceil \frac{\ln \varepsilon(1-q) - \ln C}{\ln q} \right\rceil. \end{aligned}$$

Таким образом, для  $q < 1$  последовательность  $\{\mathbf{x}_n\}$  является фундаментальной.

При доказательстве теоремы 2 были установлены оценки, справедливые для различных интервалов переменной  $t$ . Поэтому на этапе завершения доказательства выберем отрезок  $[0, t_0]$ , который обеспечит справедливость всех оценок.

В качестве такого  $t$  можно взять значение  $t_0$ :

$$t_0 = \min\{t_1, t_2, t_3\}$$

при выполнении неравенств  $t_0 \leq t_3 \leq t_2 \leq t_1$ .

Неравенства (3.26), (3.27) справедливы для  $n \in N$ , приводят к утверждению об абсолютной и равномерной сходимости ряда относительно переменных  $\xi, t$ :

$$\sum_{n=1}^{\infty} (\mathbf{x}_n - \mathbf{x}_{n-1}) < \infty,$$

а значит, равномерной сходимости последовательности  $\{\mathbf{x}_n(\xi, t)\}$ :

$$\mathbf{x}_n(\xi, t) = \xi + \sum_{k=1}^n (\mathbf{x}_k(\xi, t) - \mathbf{x}_{k-1}(\xi, t)) \quad (3.28)$$

к некоторой функции  $\mathbf{x}(\xi, t)$  в области  $Q_T = \overline{\Omega}_0 \times [0, t_0]$ .

Таким образом,

$$\mathbf{x}(\xi, t) = \lim_{n \rightarrow \infty} \mathbf{x}_n(\xi, t). \quad (3.29)$$

При исследовании равномерной сходимости производных функции  $\mathbf{x}(\xi, t)$  используем неравенства (3.17) и (3.27), из которых следует

$$\max \left| \frac{\partial^{(k)} \mathbf{x}_{n+1}(\xi, t)}{\partial \xi^{\alpha_1} \partial \eta^{\alpha_2} \partial \zeta^{\alpha_3}} - \frac{\partial^{(k)} \mathbf{x}_n(\xi, t)}{\partial \xi^{\alpha_1} \partial \eta^{\alpha_2} \partial \zeta^{\alpha_3}} \right| \leq \quad (3.30)$$

$$\leq \frac{H^k}{r^k} Cq^n \leq C_1 q^n,$$

где постоянная  $C_1 = \frac{H^k}{r^k} C$ .

Из предыдущих рассуждений следует вывод, что последовательность

бесконечно дифференцируемых функций  $\{x_n(\xi, t)\}$  равномерно сходится к функции  $x(\xi, t)$  в области  $\bar{\Omega}_0$  и последовательность непрерывно дифференцируемых функций  $k$ -го порядка,  $k = 0, 1$ ,

$$2, \frac{\partial^{(k)} x_n(\xi, t)}{\partial \xi^{a_1} \partial \eta^{a_2} \partial \zeta^{a_3}} \text{ в силу неравенства (3.30)}$$

так же равномерно сходится к некоторой вектор-функции  $\Phi(\xi, t)$  [30].

Предельный переход при  $n \rightarrow \infty$  в равенстве (3.2) приводит к соотношению (2.33). Отсюда следуют существование непрерывных производных до второго порядка включительно по  $t$  вектор-функции  $x(\xi, t)$  и обращение в тождество векторного уравнения и уравнения неразрывности в лагранжевой форме системы (2.25).

Таким образом, решением поставленной задачи является вектор-функция  $x(\xi, t)$ , принадлежащая пространству  $C_2^\infty(Q_T)$  в области  $Q_T$ , где  $Q_T = \bar{\Omega}_0 \times [0, T]$ .

Рассмотрим равенство (3.28), для которого справедлива оценка

$$|x_n(\xi, t)| \leq \max |\xi| + \sum_{k=1}^n \max |x_k(\xi, t) - x_{k-1}(\xi, t)|.$$

С использованием неравенства (3.24) последнее неравенство примет вид

$$|x_n(\xi, t)| \leq \max |\xi| + \max |x_1 - x_0| \sum_{k=1}^n q^{k-1}.$$

Переходя к пределу при  $n \rightarrow \infty$ , при  $0 < q < 1$  имеем

$$|x(\xi, t)| \leq \max |\xi| + \max |x_1 - x_0| \frac{1}{1-q} \quad (3.31)$$

и после подстановки в это неравенство (3.1) получим

$$|x(\xi, t)| \leq \max |\xi| + \left( \max |u_0(\xi)| + \left( \max |F_0(\xi)| + \max |P_0(\xi)| \right) \frac{t^2}{2} \right) \times \frac{1}{1-q}.$$

Окончательно имеем оценку с использованием равенства  $q = 3Mt^2$  для  $t \in [0, t_0]$ :

$$|x(\xi, t)| \leq \max |\xi| + \frac{\max |u_0(\xi)| + \left( \max |F_0(\xi)| + \max |P_0(\xi)| \right) \frac{t^2}{2}}{1 - 3Mt^2}. \quad (3.32)$$

Выше была определена ограниченность функции  $|x(\xi, t)| < L_2$  для  $n \in N$ , и после предела  $n \rightarrow \infty$  эта оценка уточняется неравенством (3.31) в области определения переменных  $(\xi, t)$ .

На основании найденных оценок, равенств (2.11)–(2.18), дифференцирования уравнений (2.33) определяются конкретные оценки для первой и второй производной функции  $x(\xi, t)$  и первой производной функции  $\sigma(\xi, t)$  в области  $Q_T = \bar{\Omega}_0 \times [0, t_0]$ .

#### Доказательство единственности решения

Допустим, что  $y(\xi, t)$  является другим решением интегрального уравнения (2.33), и составим разность двух решений (2.33):

$$|x(\xi, t) - y(\xi, t)| = \left| \int_0^t (t - \tau) [(F(x(\xi, \tau), \tau) - F(y(\xi, \tau), \tau)) - (P(x(\xi, \tau), \tau) - P(y(\xi, \tau), \tau))] d\tau \right|.$$

Применяя алгоритм получения оценок (3.18)–(3.25) для ограниченных функций  $x(\xi, t)$  и  $y(\xi, t)$ , в итоге получаем

$$|x(\xi, t) - y(\xi, t)| \leq 6M \int_0^t (t - \tau) |x(\xi, \tau) - y(\xi, \tau)| d\tau$$

или

$$|x - y| \leq 6MT_1 \int_0^t |x - y| d\tau. \quad (3.33)$$

Согласно Гронуоллу [33], в интегральной форме для  $\xi \in \bar{\Omega}_0$  и  $t \in [0, t_0]$  из (3.33) следует  $|x(\xi, t) - y(\xi, t)| = 0$ , т. е.  $x(\xi, t) = y(\xi, t)$ .

Таким образом, не существует другой функции  $y(\xi, t)$ , отличной от  $x(\xi, t)$  и удовлетворяющей векторному уравнению системы (2.33), начальным условиям (2.26) и условиям (2.34). Как результат полученного утверждения следует единственность функции  $\tilde{\sigma}(\xi, t) = \sigma(x(\xi, t), t)$ .

Доказательство теоремы завершено.

### Заключение

В статье приведено решение задачи Коши для нелинейной интегро-дифференциальной системы газовой динамики в пространстве  $R^4$ . Рассмотрение системы газовой динамики в форме Лагранжа, затем преобразование ее в эквивалентную систему интегральных уравнений типа Вольтерра позволило определить отображение области  $\Omega_0$  в область движущегося газа  $\Omega_t \in R^4(x, t)$  в момент времени  $t$ . Свободная граница является также образом точек решения системы интегральных уравнений  $x = x(\xi, t)$  при отображении  $\xi \in G_0$  в точки  $x \in G_t$ . Тем самым задача по определению закона движения свободной границы является

также задачей об отыскании отображения  $x = x(\xi, t)$ .

Теоретическая значимость исследования заключается в том, что логически обоснованы выводимые положения, доказаны теоремы эквивалентности, существования и единственности уравнений, вносящие вклад в разработку методов решения задач математической физики, в расширение представлений о движении газа и в изучение закономерностей конечных масс самогравитирующего газа, возникающих при решении проблем астрофизики и космогонии.

Предлагаемый алгоритм последовательного эквивалентного перехода от интегро-дифференциальной системы газовой динамики, описывающей движение самогравитирующего газа, от эйлеровых к лагранжевым координатам, затем к системе интегральных уравнений типа Вольтерра, решение этой системы методом последовательных приближений создают перспективы для дальнейших исследований по изучению движения сплошных сред. ■

### Литература

1. Чандрасекар С. Эллипсоидальные фигуры равновесия / Пер. с англ. ; под ред. В. В. Румянцева. М. : Мир, 1973. 288 с.
2. Ламб Г. Гидродинамика / Пер. с англ. ; под ред. Н. А. Слезкина. М. ; Л. : ОГИЗ, 1947. 929 с.
3. Лихтенштейн Л. Фигуры равновесия вращающейся жидкости. М. : Наука, 1965. 252 с.
4. Станюкович К. П. Неустановившиеся движения сплошной среды. М. : Наука, 1971. 875 с.
5. Седов Л. И. Методы подобия и размерности в механике. М. : Наука, 1987. 432 с.
6. Дерябин С. Л., Чуев Н. П. Сферически-симметричное истечение самогравитирующего газа в вакуум // ПММ. 1994. № 58. Вып. 2. С. 77–84.
7. Чуев Н. П. Аналитический метод исследования пространственных задач динамики самогравитирующего газа // Вычислительные технологии. 1998. Т. 3. № 1. С. 79–89.
8. Чуев Н. П. О существовании и единственности решения задачи Коши для системы интегральных уравнений, описывающей движение разреженной массы самогравитирующего газа // Журнал вычислительной математики и математической физики, 2020. Т. 60, № 4, С. 676–686.
9. Лаврентьев М. А., Шабат Б. В. Проблемы гидродинамики и их математические модели. М. : Наука, 1973. 416 с.
10. Овсянников Л. В. Общие уравнения и примеры. Задача о неустановившемся движении жидкости со свободной границей. Новосибирск : Наука, 1967. С. 5–75.
11. Налимов В. И., Пухначев В. В. Неустановившиеся движения идеальной жидкости со свободной границей. Новосибирск : НГУ, 1975. 174 с.
12. Андреев В. К. Устойчивость неустановившихся движений жидкости со свободной границей. Новосибирск : Наука, 1992. 136 с.
13. Вольтерра В. Теория функционалов, интегральных и интегро-дифференциальных уравнений. М. : Наука, 1982. 304 с.

14. Вайнберг М. М. Интегро-дифференциальные уравнения // ВИНТИ. Итоги науки, 1962. С. 5–37.
15. Lichtenstein L. Vorlesungen uber einige Klassen nichtlinearer Integralgleiungen und Integro-differential gleichungen. Berlin, 1931. 174 s.
16. Цалюк З. Б. Интегральные уравнения Вольтерра // Итоги науки и техники. Сер. : Мат. анализ. 1977. Т. 15. С. 131–198.
17. Седов Л. И. Об интегрировании уравнений одномерного движения газа // Доклады АН СССР. 1953. Т. 90. № 5. С. 735–739.
18. Седов Л. И. Методы подобия и размерности в механике. М. : Наука, 1987. 432 с.
19. Богоявленский О. И. Методы качественной теории динамических систем в астрофизике и газовой динамике. М. : Наука, 1980. 319 с.
20. Богоявленский О. И. Динамика гравитирующего газового эллипсоида // ПММ. 1976. № 40. С. 270–280.
21. Овсянников Л. В. Новое решение уравнений гидродинамики // Доклады АН СССР. 1956. Т. 111. № 1. С. 47–49.
22. Овсянников Л. В. Об одном классе неустановившихся движений несжимаемой жидкости // Труды V сессии ученого совета по народнохозяйственному использованию взрыва. Фрунзе : Илим, 1965. С. 34–42.
23. Пухначев В. В. О движении жидкого эллипса // Динамика сплошной среды. Новосибирск : ИГ СО АН СССР, 1978. Вып. 33. С. 68–75.
24. Лаврентьева О. М. О движении жидкого эллипсоида // Доклады АН СССР. 1980. Т. 253. № 4. С. 828–831.
25. Гюнтер Н. М. Теория потенциала и ее применение к основным задачам математической физики. М. : Гостехиздат, 1953. 415 с.
26. Сретенский Л. Н. Теория ньютоновского потенциала. М. ; Л. : ОГИЗ, 1946. 318 с.
27. Овсянников Л. В. Лекции по основам газовой динамики. М. ; Ижевск : Институт компьютерных исследований, 2003. 336 с. ISBN 5-93972-201-6.
28. Васильева А. Б., Тихонов Н. А. Интегральные уравнения. М. : Физматлит, 2002. 160 с. ISBN 978-5-8114-0911-2.
29. Смирнов Н. С. Введение в теорию нелинейных интегральных уравнений. М. ; Л., 1936. 125 с.
30. Кудрявцев Л. Д. Курс математического анализа. М. : ДРОФА, 2004. Т. 2. 720 с. ISBN 5-06-001290-5.
31. Хартман Ф. Обыкновенные дифференциальные уравнения. М. : Мир, 1970. 720 с.
32. Карташев А. П., Рождественский Б. Л. Обыкновенные дифференциальные уравнения и основы вариационного исчисления. М. : Наука, 1979. 272 с.
33. Эванс Л. К. Уравнения с частными производными. Новосибирск, 2003. 562 с.

## References

1. Chandrasekhar S. Ellipsoidal equilibrium figures / Translated from English ; edited by V. V. Romyantsev. [Ehllipsoidal'nye figury ravnovesiya / Per. s angl. ; pod red. V. V. Romyantseva] M. : Mir, 1973. 288 p.
2. Lamb G. Hydrodynamics / Translated from English ; edited by N. A. Slezkin. [Gidrodinamika / Per. s angl. ; pod red. N. A. Slezkina] M. ; L. : OGIZ, 1947. 929 p.
3. Lichtenstein L. The equilibrium figures of rotating fluid. [Figury ravnovesiya vrashhayushhejsya zhidkosti] M. : Nauka, 1965. 252 p.
4. Stanyukovich K. P. Unsteady motions of continuous medium. [Neustanovivshiesya dvizheniya sploshnoj sredy] M. : Nauka, 1971. 875 p.
5. Sedov L. I. Methods of similarity and dimension in mechanics. [Metody podobiya i razmernosti v mekhanike] Moscow : Nauka, 1987. 432 p.
6. Deryabin S. L., Chuyev N. P. Spherically symmetric outflow of self-gravitating gas into vacuum // PMM. [Sfericheski-simmetrichnoe istechenie samogravitiruyushhego gaza v vakuum // PMM] 1994. No. 58. Issue. 2. Pp. 77–84.
7. Chuyev N. P. Analytical method for studying spatial problems of self-gravitating gas dynamics // Computational technologies. [Analiticheskij metod issledovaniya prostranstvennykh zadach dinamiki samogravitiruyushhego gaza // Vychislitel'nye tekhnologii] 1998. Vol. 3. № 1. Pp. 79–89.



8. Chuyev N. P. On existence and uniqueness of the solution of the Cauchy problem for a system of integral equations describing the motion of the rarefied mass of self-gravitating gas // Journal of Computational Mathematics and Mathematical Physics, [O sushhestvovanii i edinstvennosti resheniya zadachi Koshi dlya sistemy integral'nykh uravnenij, opisvyayushhej dvizhenie razrezhennoj massy samograviruyushhego gaza // ZHurnal vychislitel'noj matematiki i matematicheskoy fiziki] 2020. Vol. 60. № 4. Pp. 676–686.
9. Lavrentiev M. A., Shabat B. V. Problems of hydrodynamics and their mathematical models. [Problemy gidrodinamiki i ikh matematicheskie modeli] Moscow : Nauka, 1973. 416 p.
10. Ovsyannikov L. V. General equations and examples. The problem of unsteady fluid motion with a free boundary. [Obshhie uravneniya i primery. Zadacha o neustanovivshemsya dvizhenii zhidkosti so svobodnoj granitsej] Novosibirsk : Nauka, 1967. Pp. 5–75.
11. Nalimov V. I., Pukhnachev V. V. Unsteady movements of ideal fluid with a free boundary. [Neustanovivshiesya dvizheniya ideal'noj zhidkosti so svobodnoj granitsej] Novosibirsk : NSU, 1975. 174 p.
12. Andreyev V. K. Stability of unsteady fluid movements with a free boundary. [Ustoichivost' neustanovivshikhsya dvizhenij zhidkosti so svobodnoj granitsej] Novosibirsk : Nauka, 1992. 136 p.
13. Volterra V. Theory of functionals, integral and integral-differential equations. [Teoriya funktsionalov, integral'nykh i integro-differentsial'nykh uravnenij] M. : Nauka, 1982. 304 p.
14. Weinberg M. M. Integral-differential equations // VINITI. Results of Science, [Integro-differentsial'nye uravneniya // VINITI. Itogi nauki] 1962. Pp. 5–37.
15. Lichtenstein L. Vorlesungen uber einige Klassen nichtlinearer Integralgleichungen und Integro-differential gleichungen. Berlin, 1931. 174 p.
16. Tsalyuk Z. B. Volterra integral equations // Results of science and technology. [Integral'nye uravneniya Vol'terra // Itogi nauki i tekhniki] Ser. : Mat. anal. 1977. Vol. 15. Pp. 131–198.
17. Sedov L. I. On integration of equations of one-dimensional gas motion // Reports of the USSR Academy of Sciences. [Ob integririvanii uravnenij odnomernogo dvizheniya gaza // Doklady AN SSSR] 1953. Vol. 90. № 5. Pp. 735–739.
18. Sedov L. I. Methods of similarity and dimension in mechanics. [Metody podobiya i razmernosti v mekhanike] Moscow : Nauka, 1987. 432 p.
19. Bogoyavlensky O. I. Methods of qualitative theory of dynamical systems in astrophysics and gas dynamics. [Metody kachestvennoj teorii dinamicheskikh sistem v astrofizike i gazovoj dinamike] Moscow: Nauka, 1980. 319 p.
20. Bogoyavlensky O. I. Dynamics of a gravitating gas ellipsoid // PMM. [Dinamika gravitiruyushhego gazovogo ehllipsoida // PMM] 1976. № 40. Pp. 270–280.
21. Ovsyannikov L. V. New solution of hydrodynamic equations // Reports of the USSR Academy of Sciences. [Novoe reshenie uravnenij gidrodinamiki // Doklady AN SSSR] 1956. Vol. 111. № 1. Pp. 47–49.
22. Ovsyannikov L. V. On one class of unsteady movements of incompressible fluid // Proceedings of the V session of the Scientific Council on the National Economic Use of Explosion. [Ob odnom klasse neustanovivshikhsya dvizhenij neszimaemoj zhidkosti // Trudy V sessii uchenogo soveta po narodnokhozyajstvennomu ispol'zovaniyu vzryva] Frunze : Ilim, 1965. Pp. 34–42.
23. Pukhnachev V. V. On motion of a liquid ellipse // Dynamics of continuous medium. [O dvizhenii zhidkogo ehllipsa // Dinamika sploshnoj sredy] Novosibirsk : IG SB of the USSR Academy of Sciences, 1978. Issue 33. Pp. 68–75.
24. Lavrentieva O. M. On motion of a liquid ellipsoid // Reports of the USSR [O dvizhenii zhidkogo ehllipsoida // Doklady AN SSSR] Academy of Sciences. 1980. Vol. 253. № 4. Pp. 828–831.
25. Gunter N. M. Potential theory and its application to the main problems of mathematical physics. [Teoriya potentsiala i ee primenenie k osnovnym zadacham matematicheskoy fiziki] Moscow : Gostekhizdat, 1953. 415 p.
26. Sretensky L. N. The theory of the Newtonian potential. [Teoriya n'yutonovskogo potentsiala] M. ; L. : OGIZ, 1946. 318 p.
27. Ovsyannikov L. V. Lectures on fundamentals of gas dynamics. [Leksii po osnovam gazovoj dinamiki. M. ; Izhevsk : Institut komp'yuternykh issledovaniy] M. ; Izhevsk : Institute of Computer Research, 2003. 336 p. ISBN 5-93972-201-6.
28. Vasilyeva A. B., Tikhonov N. A. Integral Equations. [Integral'nye uravneniya] Moscow : Fizmatlit, 2002. 160 p. ISBN 978-5-8114-0911-2.

29. Smirnov N. S. Introduction to the theory of nonlinear integral equations. [Vvedenie v teoriyu nelinejnykh integral'nykh uravnenij] M. ; L., 1936. 125 p.
30. Kudryavtsev L. D. Course of mathematical analysis. [Kurs matematicheskogo analiza] M. : BUSTARD, 2004. Vol. 2. 720 p. ISBN 5-06-001290-5.
31. Hartman F. Ordinary differential equations. [Obyknovennye differentsial'nye uravneniya] M. : Mir, 1970. 720 p.
32. Kartashev A. P., Rozhdestvensky B. L. Ordinary differential equations and fundamentals of calculus of variations. [Rozhdestvenskij B. L. Obyknovennye differentsial'nye uravneniya i osnovy variatsionnogo ischisleniya] M. : Nauka, 1979. 272 p.
33. Evans L. K. Partial differential equations. [Uravneniya s chastnymi proizvodnymi] Novosibirsk, 2003. 562 p.

*Статья сдана в редакцию 15 апреля 2022 года*

УДК 656

О. А. Лебедева, И. М. Кулакова

## Решение транспортной задачи с использованием алгоритма Дейкстры для грузовых перевозок

UDC 656

O. A. Lebedeva, I. M. Kulakova

## Solving a transport problem using Dijkstra's algorithm for freight transportation

### Аннотация

Для развития сектора организации перевозочного процесса автомобильным транспортом необходимо решение задач нахождения кратчайшего пути с применением алгоритма Дейкстры. Удовлетворение потребностей населения качественными услугами, предоставляемыми транспортным комплексом, возможно за счет формирования технико-технологически и экономически сбалансированного транспортного комплекса с применением новых методов и инструментов оптимизации транспортной системы.

Актуальность статьи заключается в том, что проблема эффективности функционирования транспортной сети с нахождением кратчайших расстояний носит комплексный характер. Высокая

интенсивность движения, отсутствие резервов для полной загрузки улично-дорожной сети (УДС), неоптимально рассчитанная транспортная сеть автоматически приводят к низкой производительности работы системы. Проблемы и перспективы организации работы транспортной системы в условиях внедрения современных геоинформационных технологий и определение усовершенствования наиболее значимых направлений при организации перевозочного процесса являются целью данной статьи.

В основу системы заложен алгоритм Дейкстры, позволяющий выполнить поиск кратчайшего пути с минимальными затратами и обеспечить повышение эффективности работы транспортной сети. Заявленные цели планируется достичь

обеспечением новой реализации программного обеспечения, в котором предложена четырехслойная система сбора данных, а также разработан и реализован расчет графа в грузовой транспортной сети.

**Ключевые слова:** транспорт, алгоритм Дейкстры, кратчайший путь, геоинформационная система, маршрут.

DOI: 10.20291/2079-0392-2022-2-24-31

### Abstract

For the development of the road transportation process organization sector, it is necessary to solve the problems of finding the shortest path using Dijkstra's algorithm. Meeting the needs of the population with high-quality services provided by the transport complex is possible due to the formation of

Статья рекомендована к публикации В. М. Сай, д-ром техн. наук, профессором Уральского государственного университета путей сообщения. E-mail: vsay@usurt.ru.

Ольга Анатольевна Лебедева, канд. техн. наук, доцент; кафедра «Управление на автомобильном транспорте» Ангарского государственного технического университета; Ангарск, Россия. E-mail: kravhome@mail.ru. ORCID 0000-0003-3571-4065.

Ирина Михайловна Кулакова, канд. техн. наук, доцент; кафедра «Вычислительные машины и комплексы» Ангарского государственного технического университета; Ангарск, Россия. E-mail: iyelkina@mail.ru. ORCID 0000-0001-9031-0245.

© О. А. Лебедева, И. М. Кулакова, 2022

The article is recommended for publishing by V. M. Say, Doctor of Technical Sciences, Professor of Ural State University of Railway Transport. E-mail: vsay@usurt.ru.

Olga Anatolyevna Lebedeva, Candidate of Technical Sciences, Associate Professor; Chair of «Road Transport Management» of Angarsk State Technical University; Angarsk, Russia. E-mail: kravhome@mail.ru. ORCID 0000-0003-3571-4065.

Irina Mikhailovna Kulakova, Candidate of Technical Sciences, Associate Professor; Department of Computing Machines and Complexes of Angarsk State Technical University; Angarsk, Russia. E-mail: iyelkina@mail.ru. ORCID 0000-0001-9031-0245.

© O. A. Lebedeva, I. M. Kulakova, 2022

a technically, technologically and economically balanced transport complex with the use of new methods and tools for optimizing the transport system.

The relevance of the article lies in the fact that the problem of efficiency of the transport network functioning with finding the shortest distances is of complex character. High traffic intensity, lack of reserves for full loading of the road transport network (RTN), not optimally calculated transport network

automatically lead to low system performance. The problems and prospects of organizing the work of the transport system in the context of introduction of modern geoinformation technologies and definition of improvement of the most significant areas in the organization of the transportation process are the purpose of this article.

The system is based on Dijkstra's algorithm, which allows to search for the shortest path with minimal costs and ensure the increase in

the transport network efficiency. The stated goals are planned to be achieved by providing new software implementation, where a four-layer data collection system is proposed, as well as a graph calculation in the freight transport network is developed and implemented.

**Keywords:** transport, Dijkstra algorithm, shortest path, geoinformation system, route.

DOI: 10.20291/2079-0392-2022-2-24-31

Грузовые перевозки играют большую роль в социально-экономическом развитии любой страны, обеспечивая удовлетворение транспортных потребностей населения и экономики, повышение транспортной доступности производственных, коммерческих центров и рынков сбыта.

Для организации перевозочного процесса автомобильным транспортом необходимо решать транспортные задачи нахождения кратчайшего пути, в том числе с применением алгоритма Дейкстры.

Снижение транспортных издержек должно достигаться за счет сбалансированного развития эффективной транспортной системы [1–3]. Удовлетворить потребность в грузовых перевозках можно формированием технически, технологически и экономически сбалансированного транспортного комплекса с применением новых методик и инструментов оптимизации транспортной системы.

Проблема эффективности функционирования транспортной сети с нахождением кратчайших расстояний носит комплексный характер. Высокая интенсивность движения, отсутствие резервов для полной загрузки улично-дорожной сети, не лучшим образом рассчитанная транспортная сеть автоматически приводят к низкой производительности работы системы.

В условиях импортозамещения применение геоинформационных технологий при решении задачи грузовых перевозок становится все более актуальной технологией. Географические преимущества и интеграция в транспортных цепочках повышают эффективность оказываемых услуг. Кратчайший путь к месту назначения можно рассчитать, применяя алгоритм Дейкстры (универсальный инструмент, но в основном используется при маршрутизации и в других сетевых задачах).

Это алгоритм позволяет решить задачу путем нахождения кратчайшего пути с неотрицательной стоимостью ребер. Для вершины графа алгоритм находит стоимость кратчайшего пути из одной исходной вершины в одну конечную, как только кратчайший путь найден, итерации прекращаются.

Алгоритм Дейкстры применяется для автоматического поиска направлений между физическими местоположениями, например, маршрутов проезда с использованием карт «2ГИС».

Улично-дорожная сеть (УДС) состоит из некоторых узлов, соединяющих два узла в маршрутную сеть.

Определим сеть дорог общего пользования как  $G$ ,  $G = \{N, E, R\}$ , где  $N = \{0, 1, 2, \dots, n, n \in N\}$  обозначает множество всех узлов,  $n$  – количество узлов;  $O$  – узел отправления,  $D$  – узел

назначения;  $E = \{0 \leq e \leq m\}$  – множество всех промежуточных звеньев,  $m$  – количество звеньев;  $R = \{0, 1, 2, \dots, n, n \in \mathbb{N}\}$  – множество всех линий УДС;  $u$  – количество звеньев.

Рассмотрим алгоритм, использующий две функции, которые связывают точки в маршрут. В качестве стоимости используем расстояние УДС, состоящей из дорог с одно- и двусторонним движением. Для разработки системы используется структура данных графа, имеющая одно- или двусторонние пути (ребра) между узлами.

Для сбора, сохранения, обработки, анализа, управления и отображения всех видов пространственных или географических данных используется географическая информационная система (ГИС) [4]. Сетевой анализ остается одной из самых важных и значимых областей анализа и приложений в системе географических данных. Сети могут выполнять альтернативную функцию линейной привязки и поддерживать набор инструментов для графического отображения.

Алгоритм Дейкстры основан на поиске графа, ребра и вершины, что дает возможность нахождения кратчайшего пути между двумя вершинами. Для исходной вершины (узла) графа алгоритм находит путь с наименьшей стоимостью (кратчайший путь) между этой и любой другой вершинами. Алгоритм можно использовать для нахождения стоимости кратчайших путей из пункта отправления в пункт назначения путем остановки алгоритма после определения искомого расстояния (стоимости).

Алгоритм Дейкстры решает задачу нахождения кратчайшего пути от заданного начального узла  $S$  ко всем другим узлам в сети. Решение начинается с присвоения некоторых начальных значений расстояний от узла  $S$  и до каждого другого узла в сети. Задача решается поэтапно, на каждом шаге определяется кратчайшее расстояние от узла  $S$  до другого узла, улучшая значения расстояний.

Состояние узла состоит из двух признаков: значение расстояния и атрибут

«состояние». Значение расстояния узла является скаляром, представляющим оценку его расстояния от узла  $S$ . «Состояние» узла – это атрибут, указывающий, равно ли значение расстояния узла кратчайшему расстоянию до узла  $S$ . Атрибут является константой, если значение его расстояния равно кратчайшему расстоянию от узла  $S$ . В противном случае – промежуточным значением. Алгоритм пошагово обновляет состояния узлов. На каждом шаге один узел назначается текущим.

Далее:  $d_i$  обозначает значение состояния узла  $i$ ;  $p$  или  $t$  обозначает состояние узла, где  $p$  означает постоянное значение, а  $t$  – временное;  $c_{ij}$  – заданная стоимость прохождения пути  $(i, j)$ . Состояние узла является упорядоченной парой его значения расстояния  $d$  и его атрибутом «состояние».

Алгоритм состоит из трех этапов.

1. Инициализация. Значение нулевого расстояния присваивается узлу  $S$  и отмечается как постоянное значение. Состояние узла  $S$  равно  $(0, p)$ . Каждому узлу присваивается значение расстояния  $\infty$  и отмечается как  $t$  (состояние каждого другого узла равно  $(\infty, t)$ ). Узел  $S$  назначается текущим узлом.

2. Обновляется значение расстояния и обозначается текущий узел. Пусть  $i$  – индекс текущего узла. Найдем множество узлов  $J$  с временными отметками, до которых можно добраться из текущего узла  $i$  по пути  $(i, j)$ . Значения расстояний этих узлов обновляется. Для каждого  $j \in J$  значение расстояния  $d_j$  узла  $j$  обновляется:

$$d_j = \min \{d_j, d_i + c_{ij}\}, \quad (1)$$

где  $c_{ij}$  – стоимость пути  $(i, j)$ .

Определение узла  $j$ , который имеет наименьшее значение расстояния  $d_j$  среди всех узлов  $j \in J$ , находим такое  $J^*$ , что  $\min j \in J d_j = d_{J^*}$ .

Произведем изменение метки узла  $J^*$  на постоянную и назовем этот узел текущим.

3. Завершение итеративного процесса. Если все узлы, которые могут быть достигнуты из узла  $S$ , были помечены как постоянные, то итеративный процесс останавливается. Если добраться до какого-либо узла с временной меткой из текущего узла невозможно, то все временные метки становятся постоянными. В противном случае переходим ко второму этапу.

Алгоритм гаверсинуса применяется для расчета расстояния на основе пространственных данных, так как она обеспечивает высокую точность. Методика расчета, основанная на алгоритме гаверсинуса, предполагает, что Земля имеет сферическую форму, а эллипсоидальные эффекты игнорируются [6].

Пусть  $lat_1, lon_1$  – широта и долгота пункта отправления и  $lat_2, lon_2$  – широта и долгота ближайшего грузополучателя соответственно.

$$deta(lat) = lat_2 - lat_1 \quad (2)$$

$$a = \left( \sin\left(\frac{deta(lat)}{2}\right)^2 + \right. \quad (3)$$

$$\left. + \cos(lat_1) \cdot \cos(lat_2) \cdot \left(\sin\left(\frac{deta(lon)}{2}\right)\right)^2 \right),$$

$$deta(lon) = lon_2 - lon_1, \quad (4)$$

$$c = 2 \cdot \operatorname{atan}_2(\sqrt{a}, \sqrt{1-a}), \quad (5)$$

$$d = R \cdot c,$$

где  $a$  – квадрат половины расстояния по прямой между двумя точками;  $c$  – расстояние по большому кругу, рад;  $d$  – расстояние между двумя точками;  $R$  – радиус Земли ( $R = 6371,01$  км).

В исследовании алгоритм гаверсинуса используется для измерения расстояния от точки отправления до ближайшей точки. Причиной выбора гаверсинуса служит расчет на основе геометрии эллипсоида. Результат такого расчета точнее расчетного расстояния евклидовой геометрии на земной поверхности.

Функционирование и развитие транспортной системы заключается в создании условий для повышения качества жизни, конкурентоспособности экономики, для реализации транспортного потенциала через опережающее развитие транспортной инфраструктуры, расширение доступа к безопасным и качественным транспортным услугам и использование инновационных методик в качестве инструментов планирования. К последним можно отнести внедрение геоинформационных технологий в практику грузовых перевозок.

Географические координаты, отправленные на веб-сервер, используются для поиска кратчайшего пути от пункта отправления к пункту назначения для нахождения оптимальной транспортной связывающей сети. В качестве базовой карты системы применяется «2ГИС» (рис. 1).



Рис. 1. Схема сбора данных в транспортной системе

Система состоит из четырех основных слоев. Слой данных хранит пространственные и непространственные данные, относящиеся к маршрутам и транспортно-экспедиционным услугам. Слой логики сервера – это веб-сервер. Основная функция – поиск кратчайшего



расстояния с применением алгоритма Дейкстры. Уровень обработки – структурирование результатов, выдаваемых уровнем логики приложения [5].

Полученная информация составляет централизованную базу данных. В зависимости от объемов поступающих данных и количества портативных устройств, которые включают функции GPS и картографирования, географические данные необходимо хранить в реляционной базе данных. Есть несколько типов корпоративных географических баз данных, которые поддерживают пространственные данные [5–10].

Блок-схема системы приведена на рис. 2.

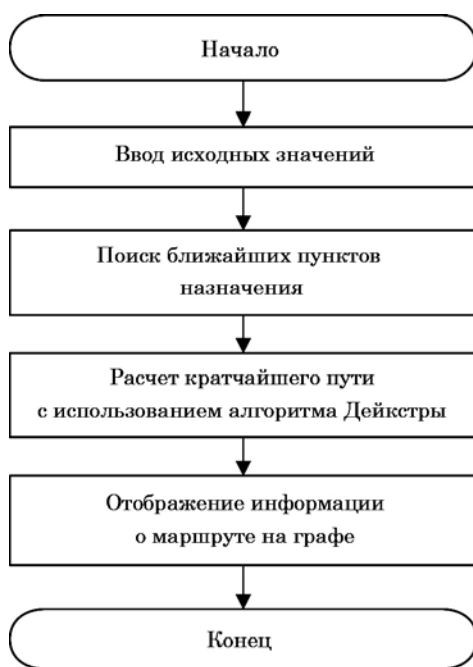


Рис. 2. Блок-схема системы

На сервер отправляются данные о первом и последнем узлах в рассматриваемой сети. На прикладном уровне обрабатываются данные. Результат экспериментальных расчетов – кратчайший маршрут по алгоритму Дейкстры в пределах транспортной сети.

Для анализа кратчайших расстояний могут использоваться встроенные сервисы геоинформационных

систем. Для «2ГИС» очень удобен модуль DistanceMatrix API, который позволяет получить информацию о расстоянии и времени в пути между точками на карте. С его помощью можно найти точки с необходимым временем достижения и расстоянием, что впоследствии используется для формирования исходных данных для исследования алгоритмов решения транспортных задач.

Проведем тестирование на торговой сети Ангарского городского округа. Основная доля объектов – непродовольственные магазины (405 ед.) и продовольственные магазины (392 ед.), киоски, палатки (397 ед.). Кроме того, на территории Ангарского городского округа расположено четыре гипермаркета, восемь супермаркетов, 31 торговый центр (торговый дом), 29 универсальных магазинов, 68 павильонов, один рынок. Обеспеченность жителей Ангарского городского округа торговыми площадями по данным [11] (в расчете на 1000 жителей при нормативе 440 м<sup>2</sup>) составила 774 м<sup>2</sup> (175,9 % от норматива) (рис. 3).

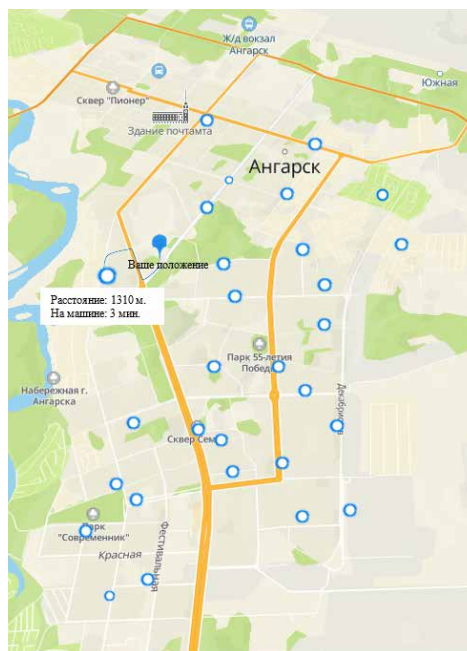


Рис. 3. Карта исследуемой территории



Для проверки системы возьмем семь торговых точек в г. Ангарске; расстояния между точками в транспортной сети приведены в таблице.

Расстояния между точками в транспортной сети

Торговые точки	1	2	3	4	5	6	7
1							
2	10						
3	9	3					
4	7	5	4				
5	4	3	2	4			
6	4	5	3	2	3		
7	3	9	7	5	10	5	

Граф без привязки к географическим координатам от точки А представлен на рис. 4.

Алгоритм нахождения кратчайшего пути Дейкстры позволяет получить кратчайшее расстояние между вершинами 1 и 6, равное шести км при следующем пути объезда: (4→6→1).

Набор данных, приведенный в таблице, полученный из «2ГИС», рассчитывается с использованием алгоритма Дейкстры для определения кратчайшего пути от грузоотправителя к грузополучателю через пункты объезда.

Внедрение интегрированных транспортных сервисов и цифровых транспортных коридоров позволит оптимизировать путь участников перевозочного процесса и повысить эффективность взаимодействия электронных площадок заказа грузовых, логистических услуг и услуг электронной коммерции. Здесь предусмотрены системы отслеживания перемещения грузов, инфраструктура считывания и мониторинга прохождения грузов через транспортные узлы и логистические терминалы, интеллектуальная аналитика грузопотоков и планирование транспортных коридоров, ситуационное моделирование развития транспортной отрасли.

Система реализована с использованием бесплатных технологий с открытым исходным кодом и инструментов 2ГИС. Разработан и реализован расчет графа в грузовой транспортной сети на основе алгоритма Дейкстры. ■

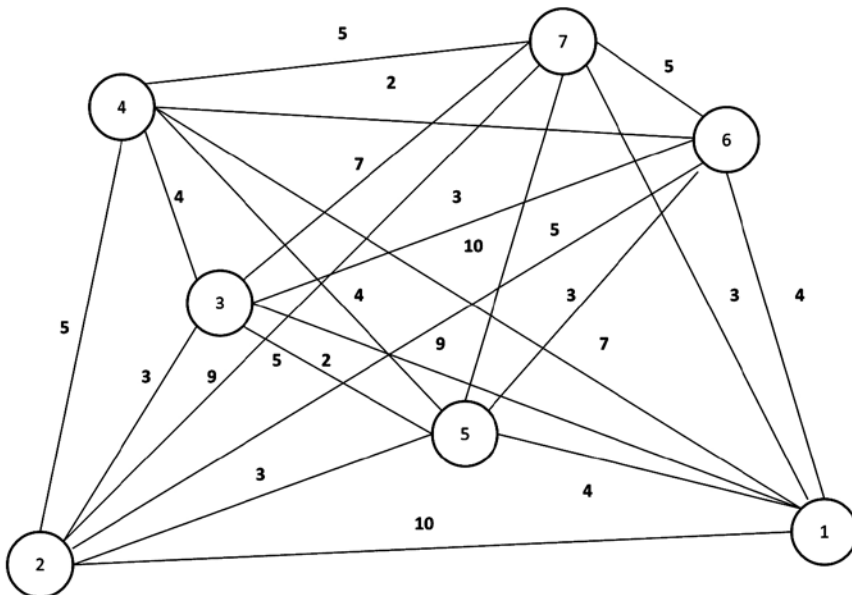


Рис. 4. Граф исследуемой территории

### Литература

1. Лебедева О. А., Гозбенко В. Е. Стратегическое планирование грузопотоков на основе модели распределения продуктов // Современные технологии. Системный анализ. Моделирование. 2020. № 4 (68). С. 183–189. ISSN 1813-9108.
2. Крипак М. Н., Кулакова И. М., Лебедева О. А. Автоматизация алгоритма Литтла для решения задачи коммивояжера // Современные технологии. Системный анализ. Моделирование. 2015. № 4 (48). С. 160–163. ISSN 1813-9108.
3. Полтавская Ю. О., Гозбенко В. Е. Оценка скорости и продолжительности движения общественного транспорта на маршруте // Вестник УрГУПС. 2019. № 3 (43). С. 48–54. ISSN 2078-0392.
4. Полтавская Ю. О., Крипак М. Н., Гозбенко В. Е. Оценка условий движения транспортных потоков с применением геоинформационных технологий // Современные технологии. Системный анализ. Моделирование. 2016. № 1 (49). С. 155–161. ISSN 1813-9108.
5. Khaing O., Wai H. H., Myat E. E. Using Dijkstra's Algorithm for Public Transportation System in Yangon Based on GIS // International Journal of Science and Engineering Applications. 2018. Vol. 7. Issue 11. 2018. Pp. 442–447. ISSN 2319-7560.
6. Bhanumurthy V., et al. Route analysis for decision support system in emergency management through GIS technologies // Int. J. Adv. Eng. Glob. Technol., – 2015. Vol. 3. Issue 2. Pp. 345–350. ISSN 2309-4893.
7. Wu H., et al. Path Planning and Following Algorithms in an Indoor Navigation Model for Visually Impaired // Second International Conference Internet Monitoring and Protection (ICIMP 2007), 1–5 July, 2007. 38 p. ISSN 2308-3980.
8. Wang H., et al. A new public transportation data model and shortest-path algorithms // 2nd International Asia Conference Informatics in Control, Automation and Robotics (CAR2010), 6–7 March, 2010. Vol. 1. 456 p. ISSN 1948-3422.
9. Zhan F. B., et al. Shortest Path Algorithms: An Evaluation Using Real Road Networks // Transportation Science, 1998. Vol. 32. Pp. 65–73. ISSN 0041-1655.
10. Somalia R., et al. Shortest path algorithms on GIS dataset using geotools // International Journal of Scientific & Engineering Research, 2013. Vol. 4. Issue 10, 637 p. ISSN 2229-5518.
11. Стратегия социально-экономического развития Ангарского городского округа на период 2017–2030 гг. URL: <https://base.garant.ru/44065114/>? (дата обращения: 19.04.2022).

### References

1. Lebedeva O. A., Gozbenko V. E. Strategic planning of cargo flows based on the product distribution model // Modern technologies. System analysis. Modeling. [Strategicheskoe planirovanie gruzopotokov na osnove modeli raspredeleniya produktov // Sovremennye tekhnologii. Sistemnyj analiz. Modelirovanie] 2020. № 4 (68). Pp. 183–189. ISSN 1813-9108.
2. Kripak M. N., Kulakova I. M., Lebedeva O. A. Automation of the Little algorithm for solving the traveling salesman problem // Modern Technologies. System analysis. Modeling. [Avtomatizatsiya algoritma Littla dlya resheniya zadachi kommivoyazhera // Sovremennye tekhnologii. Sistemnyj analiz. Modelirovanie] 2015. № 4 (48). Pp. 160–163. ISSN 1813-9108.
3. Poltavskaya Yu. O., Gozbenko V. E. Assessment of the speed and duration of public transport movement on the route // Herald of USURT. [Otsenka skorosti i prodolzhitel'nosti dvizheniya obshchestvennogo transporta na marshrute // Vestnik UrGUPS] 2019. № 3 (43). Pp. 48–54. ISSN 2078-0392.
4. Poltavskaya Yu. O., Kripak M. N., Gozbenko V. E. Assessment of traffic flow conditions using geoinformation technologies // Modern technologies. System analysis. Modeling. [Otsenka uslovij dvizheniya transportnykh potokov s primeneniem geoinformatsionnykh tekhnologiy // Sovremennye tekhnologii. Sistemnyj analiz. Modelirovanie] 2016. № 1 (49). Pp. 155–161. ISSN 1813-9108.
5. Khaing O., Wai H. H., Myat E. E. Using Dijkstra's Algorithm for Public Transportation System in Yangon Based on GIS // International Journal of Science and Engineering Applications. 2018. Vol. 7. Issue 11. 2018. Pp. 442–447. ISSN 2319-7560.
6. Bhanumurthy V., et al. Route analysis for decision support system in emergency management through GIS technologies // Int. J. Adv. Eng. Glob. Technol., – 2015. Vol. 3. Issue 2. Pp. 345–350. ISSN 2309-4893.

7. Wu H., et al. Path Planning and Following Algorithms in an Indoor Navigation Model for Visually Impaired // Second International Conference Internet Monitoring and Protection (ICIMP 2007), 1–5 July, 2007. 38 p. ISSN 2308-3980.
8. Wang H., et al. A new public transportation data model and shortest-path algorithms // 2nd International Asia Conference Informatics in Control, Automation and Robotics (CAR2010), 6–7 March, 2010. Vol. 1. 456 p. ISSN 1948-3422.
9. Zhan F. B., et al. Shortest Path Algorithms: An Evaluation Using Real Road Networks // Transportation Science, 1998. Vol. 32. Pp. 65–73. ISSN 0041-1655.
10. Somalia R., et al. Shortest path algorithms on GIS dataset using geotools // International Journal of Scientific & Engineering Research, 2013. Vol. 4. Issue 10, 637 p. ISSN 2229-5518.
11. The strategy of socio-economic development of the Angarsk city district for the period 2017-2030. [Strategiya sotsial'no-ehkonomicheskogo razvitiya Angarskogo gorodskogo okruga na period 2017–2030 gg.] URL: <https://base.garant.ru/44065114/?> (accessed on: 04/19/2022).

*Статья сдана в редакцию 30 апреля 2022 года*

# Механика машин и роботов

УДК 629.423.3

А. И. Кузнецов

## Влияние колебаний напряжения контактной сети на токовые переходные процессы в силовой цепи электровоза

UDC 629.423.3

A. I. Kuznetsov

## Influence of contact network voltage fluctuations on current transients in the electric locomotive power circuit

### Аннотация

Приведена статистика перебросов электрической дуги по коллектору тяговых электродвигателей электровоза 2ЭС6 за 2020 г. Отмечено, что половина отказов связана с потенциальным искрением на коллекторе, что говорит о повышенных токах якоря в силовой цепи электровоза. Приведенная кривая напряжения контактной сети также свидетельствует, что силовая цепь подвержена постоянным токовым колебаниям.

В модели силовой цепи электровоза 2ЭС6 доработана механическая составляющая привода. Она учитывает сопротивление движению поезда на одном из сложных участков Свердловской железной дороги Сабик – Сапра,

а также инерционность вращающихся частей электровоза 2ЭС6 и четырехосных грузовых полувагонов.

Промоделировано влияние колебаний напряжения в контактной сети на токовые переходные процессы при различных значениях максимального напряжения возбуждения. Установлено, что при увеличении напряжения возбуждения снижаются амплитуды тока якоря и тока возбуждения, снижается длительность превышения токов своего предельного значения.

При колебаниях напряжения до 200 В ток якоря и ток возбуждения в силовой цепи электровоза 2ЭС6 находятся в диапазоне своих предельных значений при увеличенном значении

максимального напряжения возбуждения 120 В. При колебаниях напряжения более 200 В целесообразно применение входных фильтров низких частот.

**Ключевые слова:** электроподвижной состав постоянного тока, грузовые электровагоны, тяговые электродвигатели, переходные процессы в электрической цепи.

DOI: 10.20291/2079-0392-2022-2-32-40

### Abstract

The statistics of electric arc transfers along the collector of traction electric motors of the 2ES6 electric locomotive for 2020 are given. It is noted that half of the failures are associated with a potential spark on the collector, which indicates

Статья рекомендована к опубликованию Н. О. Фроловым, канд. техн. наук, доцентом Уральского государственного университета путей сообщения E-mail: NFrolov@usurt.ru.

Алексей Иванович Кузнецов, аспирант; кафедра «Электрическая тяга» Уральского государственного университета путей сообщения; Екатеринбург, Россия. E-mail: Aleksey.kuzya123@yandex.ru. ORCID 0000-0003-0818-4759.

© А. И. Кузнецов, 2022

The article is recommended for publishing by N. O. Frolov, Candidate of Technical Sciences, Associate Professor of Ural State University of Railway Transport E-mail: NFrolov@usurt.ru.

Alexey Ivanovich Kuznetsov, post-graduate student; «Electric Traction» Chair of the Ural State University of Railway Transport; Yekaterinburg, Russia. E-mail: Aleksey.kuzya123@yandex.ru. ORCID 0000-0003-0818-4759.

© A. I. Kuznetsov, 2022

increased armature currents in the electric locomotive power circuit. The given voltage curve of the contact network also indicates that the power circuit is subject to constant current fluctuations.

In the model of the power circuit of the 2ES6 electric locomotive, the mechanical component of the drive has been modified. It takes into account the resistance to train movement on one of the difficult sections of the Sverdlovsk Sabik – Sarga railway, as well as the inertia of the rotating parts of the

2ES6 electric locomotive and four-axle freight gondolas.

The effect of voltage fluctuations in the contact network on current transients at different values of the maximum excitation voltage has been modelled. It is established that with the increase in the excitation voltage, the amplitudes of the armature current and the excitation current decrease, the duration of exceeding the currents of their limit value decreases. With voltage fluctuations up to 200 V, the armature current and the

excitation current in the power circuit of the 2ES6 electric locomotive are in the range of their limit values with the increased value of the maximum excitation voltage of 120 V. With voltage fluctuations of more than 200 V, it is advisable to use low-pass input filters.

**Keywords:** DC electric rolling stock, freight electric locomotive, traction electric motors, transients in the electrical circuit.

DOI: 10.20291/2079-0392-2022-2-32-40

Анализ статистики отказов тяговых электродвигателей электровозов 2ЭС6 показал, что за 2020 г. произошло 67 неисправностей, связанных с перебросом электрической дуги по коллектору и перебросу кругового огня [1, 2]. Большую часть причин переброса электрической дуги составляет потенциальное искрение на коллекторе (рис. 1).

Причина такого отказа – превышение предельных значений тока якоря, следовательно, необходимо снижать максимальные значения тока якоря, особенно в неустановившихся режимах работы электровоза [3].

Электроподвижной состав постоянно подвергается меняющимся факторам, что приводит к непрерывному неустановившемуся режиму работы силовой

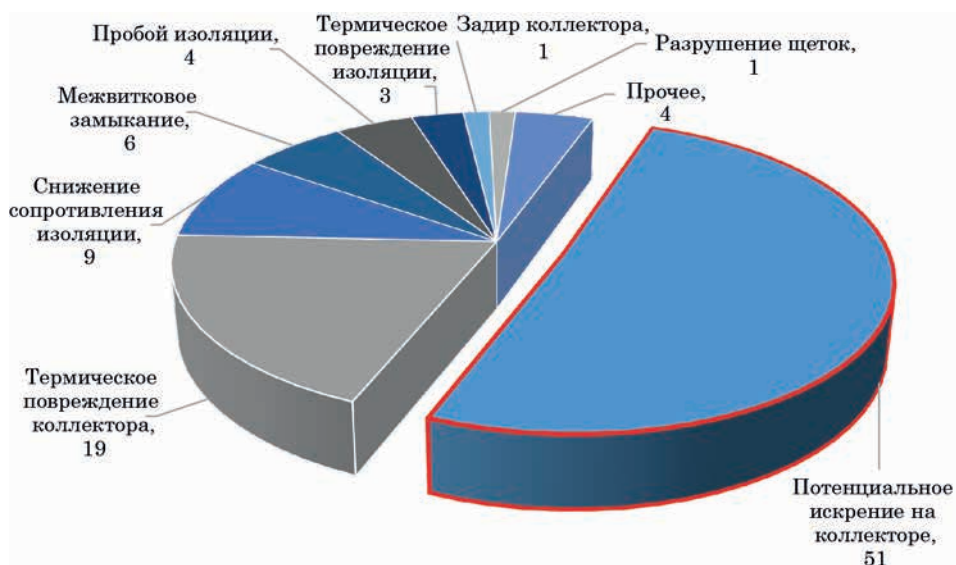


Рис. 1. Распределение количества отказов, связанных с перебросом электрической дуги по коллектору, в зависимости от причин возникновения переброса, %

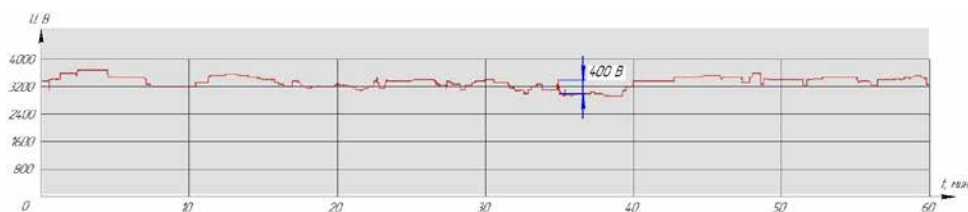


Рис. 2. Кривая напряжения контактной сети

цепи [4]. Так, напряжение в контактной сети постоянного тока непрерывно изменяется. При расшифровке регистратора параметров микропроцессорной системы управления и диагностики электровоза серии 2ЭС6 [2] получена кривая напряжения контактной сети, представленная на рис. 2.

Наиболее частые колебания напряжения контактной сети – 100–200 В, намного реже встречаются колебания 400 В.

Для исследования влияния колебаний напряжения на ток якоря двигателей начнем с моделирования силовой цепи электровоза. Модель силовой цепи электровоза 2ЭС6 включает в себя электрическую и механическую часть. Электрическая часть модели привода электровоза 2ЭС6 описана в [5, 6], но при этом не моделировалась подробно механическая часть. Поэтому более подробно рассмотрены модели эквивалентной инерционной массы поезда и сопротивления движению поезда.

В модели в качестве нагрузки приняты грузовые четырехосные полувагоны. Для учета моментов инерции якорей тяговых электродвигателей, колесных пар локомотива и вагонов, а также

статического сопротивления от массы поезда описан баланс кинетической энергии поезда, приведенной к ободу колесной пары двухсекционного электровоза (рис. 3, формула (1)).

$$\frac{m_{\text{эКВ}} \cdot V^2}{2} = \frac{J_{\text{я}} \cdot \omega_{\text{я}}^2}{2} + \frac{8 \cdot J_{\text{КПЭ}} \cdot \omega_{\text{КПЭ}}^2}{2} + \frac{4 \cdot n_{\text{в}} \cdot J_{\text{КПВ}} \cdot \omega_{\text{КПВ}}^2}{2} + \frac{m_{\text{э}} \cdot V^2}{2} + \frac{m_{\text{в}} \cdot V^2}{2}, \quad (1)$$

где  $m_{\text{эКВ}}$  – приведенная масса поезда с учетом инерции вращающихся осей поезда;  $V$  – скорость поезда;  $J_{\text{КПЭ}}$  – момент инерции колесной пары электровоза;  $\omega_{\text{КПЭ}}$  – угловая частота вращения колесной пары электровоза;  $n_{\text{в}}$  – количество вагонов вагона;  $J_{\text{КПВ}}$  – момент инерции колесной пары вагона;  $\omega_{\text{КПВ}}$  – угловая частота вращения колесной пары вагона;  $m_{\text{э}}$  – масса электровоза;  $m_{\text{л}}$  – масса вагона.

Угловая частота вращения якоря тягового двигателя и колесных пар электровоза и вагонов соотносится с линейной скоростью уравнениями:

$$\omega_{\text{я}} = \frac{2 \cdot \mu \cdot V}{3,6 \cdot D_6}, \quad (2)$$

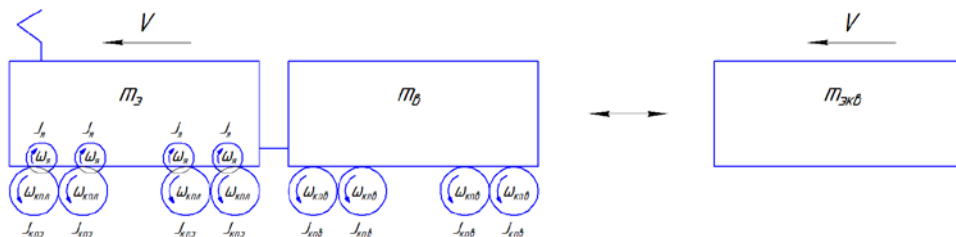


Рис. 3. Приведение инерционной массы электровоза и вагонов и вращающихся частей колесных пар и якорей двигателей к эквивалентной инерционной массе поезда

$$\omega_{\text{кпз}} = \frac{2 \cdot V}{3,6 \cdot D_6}, \quad (3)$$

$$\omega_{\text{кпв}} = \frac{2 \cdot V}{3,6 \cdot D_в}, \quad (4)$$

где  $\mu$  – передаточное отношение редуктора;  $D_6$  – диаметр бандажа;  $D_в$  – диаметр колесной пары вагона по кругу катания.

Выражения (2)–(4) подставлены в уравнение (1) и поделены на значение  $(V^2/2)$ . Таким образом, определена приведенная инерционная масса поезда:

$$\begin{aligned} m_{\text{эКВ}} = & J_{\text{я}} \cdot \left( \frac{2 \cdot \mu}{3,6 \cdot D_6} \right)^2 + \\ & + 8 \cdot J_{\text{кпз}} \cdot \left( \frac{2}{3,6 \cdot D_6} \right)^2 + \\ & + 4 \cdot n_{\text{в}} \cdot J_{\text{кпв}} \cdot \left( \frac{2}{3,6 \cdot D_в} \right)^2 + m_{\text{л}} + m_{\text{в}}. \end{aligned} \quad (5)$$

Сила сопротивления движению поезда:

$$W_c = \left( \frac{m_{\text{л}} \cdot w'_0 + m_{\text{в}} \cdot w''_0}{m_{\text{л}} + m_{\text{в}}} + i \right) \cdot (m_{\text{л}} + m_{\text{в}}) \cdot g, \quad (6)$$

где  $w'_0$  – основное удельное сопротивление движению для электровоза 2ЭС6;  $w''_0$  – основное удельное сопротивление движению для четырехосных полувагонов;  $i$  – уклон профиля пути.

Основное удельное сопротивление движению для электровоза 2ЭС6 на звеньевом пути согласно [7] определяется зависимостью

$$w'_0 = 6,7 + 0,016 \cdot V + 0,0034 \cdot V^2, \quad (7)$$

для четырехосных полувагонов

$$w''_0 = 5,2 + \frac{35,4 + 0,785 \cdot V + 0,027 \cdot V^2}{q_0}. \quad (8)$$

Один из трудных участков на Свердловской железной дороге для движения тяжеловесных грузовых поездов – это перегон Сабик – Сарга [8]. Профиль пути представлен на рис. 4.

Общая модель схемы силовой цепи электровоза 2ЭС6 с независимым возбуждением для параллельного соединения тяговых электродвигателей приведена на рис. 5.

Особенность силовой схемы электровоза 2ЭС6 состоит в том, что в режиме независимого возбуждения можно изменять максимальное значение напряжения возбуждения [9]. Увеличение

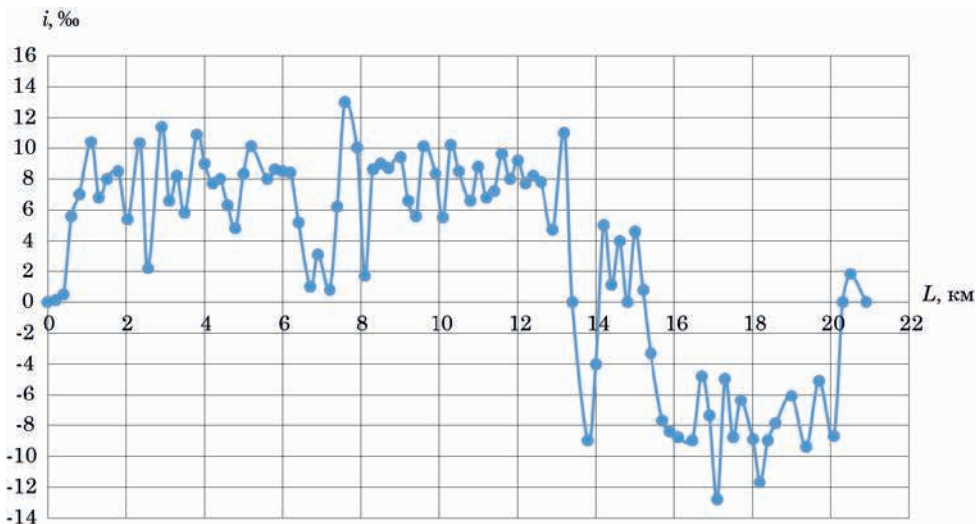


Рис. 4. График зависимости уклона от расстояния участка Сабик – Сарга



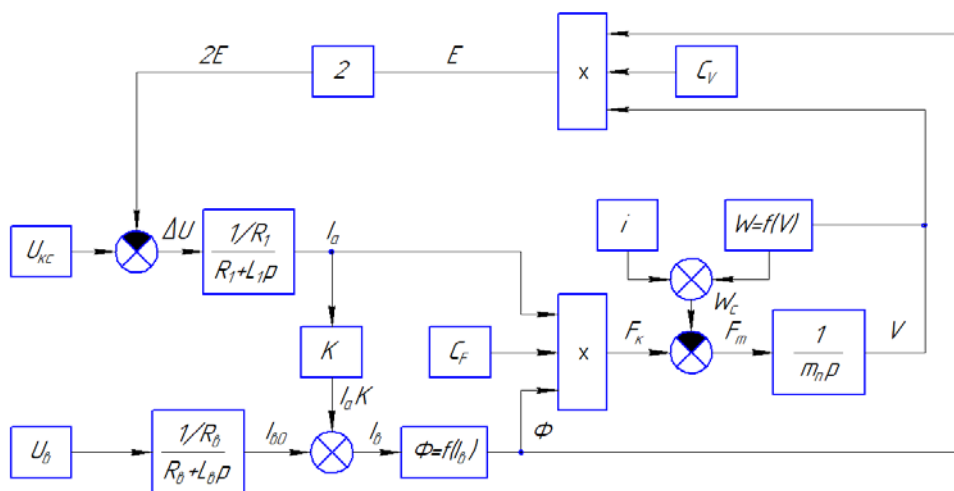


Рис. 5. Модель схемы силовой цепи электровоза 2ЭС6 с независимым возбуждением для параллельного соединения тяговых двигателей

напряжения возбуждения приводит к тому, что уменьшается время токовых переходных процессов. Целесообразность увеличения максимального напряжения возбуждения до 120 В приведена в [6].

С учетом полученной механической модели привода электровоза 2ЭС6 промоделировано влияние колебаний

напряжения 100 В и 200 В на токовые переходные процессы в силовой цепи (рис. 6–9).

Полученные характеристики показывают, что при увеличении максимального напряжения снижаются амплитуды токов якоря и возбуждения, а также длительность превышения токов своего предельного значения (таблицы 1–2).

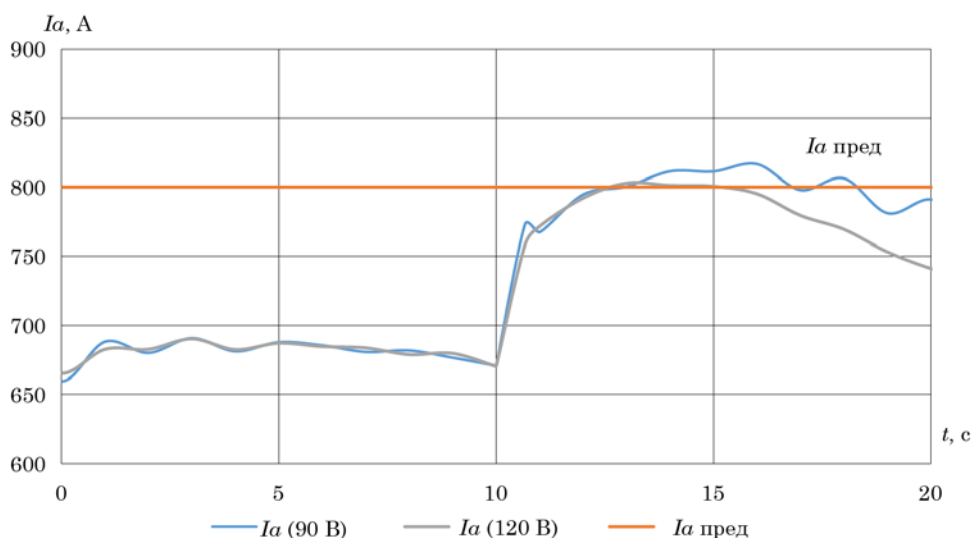


Рис. 6. Временные характеристики тока якоря для различных значений напряжения возбуждения при колебании напряжения в контактной сети 100 В

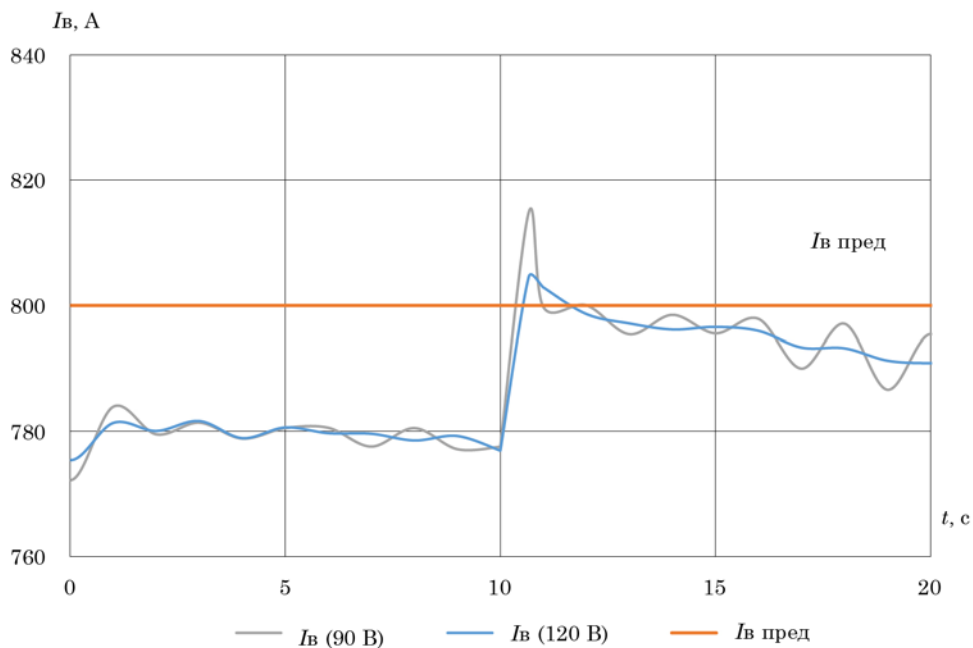


Рис. 7. Временные характеристики тока возбуждения для различных значений напряжения возбуждения при колебании напряжения в контактной сети 100 В

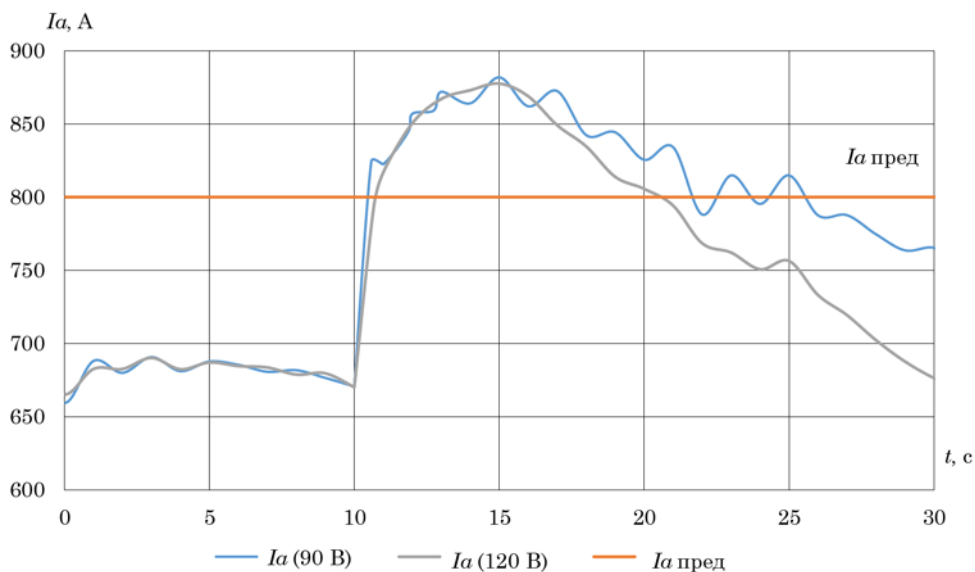


Рис. 8. Временные характеристики тока якоря для различных значений напряжения возбуждения при колебании напряжения в контактной сети 200 В

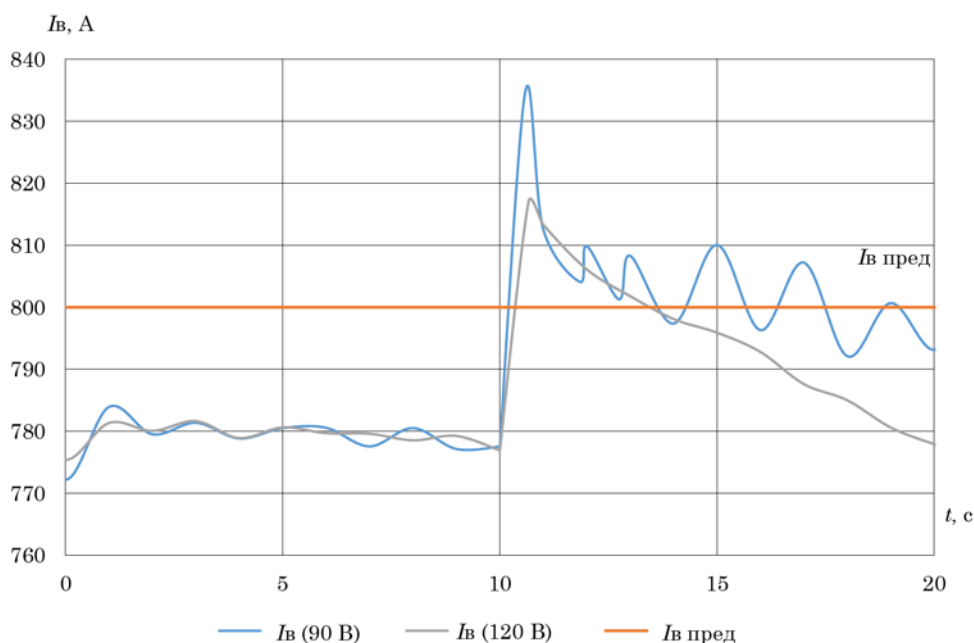


Рис. 9. Временные характеристики тока возбуждения для различных значений напряжения возбуждения при колебании напряжения в контактной сети 200 В

Таблица 1  
Амплитуда значений токов якоря и возбуждения при колебаниях напряжения контактной сети

	I, А			
	$\Delta U = 100$ В		$\Delta U = 200$ В	
	ток якоря	ток возбуждения	ток якоря	ток возбуждения
$U_{\text{в}} = 90$ В	817	814	882	834
$U_{\text{в}} = 120$ В	803	805	878	817

Таблица 2  
Длительность превышения предельных значений тока якоря и тока возбуждения

	t, с			
	$\Delta U = 100$ В		$\Delta U = 200$ В	
	для тока якоря	для тока возбуждения	для тока якоря	для тока возбуждения
$U_{\text{в}} = 90$ В	8,3	1,7	15,6	9,1
$U_{\text{в}} = 120$ В	5	1	10,5	3,5

Таким образом, при увеличении напряжения возбуждения и уменьшении колебаний напряжения в контактной сети уменьшается время неустановившегося режима. При колебаниях напряжения 100–200 В значения тока якоря и тока возбуждения находятся в диапазоне предельных значений.

При колебаниях напряжения более 200 В амплитуды тока якоря и тока

возбуждения превысят предельные значения, увеличится также длительность заброса этих токов. Следовательно, помимо увеличения напряжения возбуждения необходимо снижать колебания напряжения в контактной сети, поэтому при существующих колебаниях напряжения рекомендуется применять фильтры низких частот на входе силовой цепи электровоза. ■

### Литература

1. Бублик В. В., Гателюк О. В., Третьяков Е. А., Юрасов Д. В. Анализ перенапряжений и бросков тока в обмотках тяговых двигателей электровозов серии 2ЭС6 в переходных режимах / Эксплуатационная надежность локомотивного парка и повышение эффективности тяги поездов : сб. научн. тр. – 2018. – С. 16–24.
2. Жоголев Е. Н. Исследование причин возникновения неисправностей тяговых электродвигателей на грузовых электровозах постоянного тока 2ЭС6 / Фундаментальные и прикладные научные исследования: актуальные вопросы, достижения и инновации : сб. научн. тр. – 2020. – С. 76–79.
3. Захарченко Д. Д., Ротанов Н. А. Тяговые электрические машины. учебник для вузов ж.-д. трансп. – М. : Транспорт, 1991. 343 с.
4. Кузнецов А. И., Фролов Н. О. Математическое описание переходных процессов в силовых цепях электровозов постоянного тока с различными типами тягового электропривода // Транспорт Урала. 2019. № 2 (61). С. 76–79. ISSN 1815-9400.
5. Кузнецов А. И., Фролов Н. О. Моделирование режимов работы тяговых электрических двигателей постоянного тока // Транспорт Урала. 2019. № 4 (63). С. 64–68. ISSN 1815-9400.
6. Кузнецов А. И., Фролов Н. О. Ограничение уровня переходных процессов в силовой цепи электровоза 2ЭС6 при резком изменении напряжения в контактной сети // Вестник транспорта Поволжья. 2020. № 3 (81). С. 33–40. ISSN 1997-0722.
7. Нормативное производственно-практическое издание: утверждены распоряжением ОАО «РЖД» № 867р от 12.05.2016 г. – М. : ОАО «РЖД». – 2016. – 515 с.
8. Концепция усиления системы тягового электроснабжения постоянного тока 3,0 кВ : монография / Б. А. Аржанников, И. О. Набойченко. – Екатеринбург : УрГУПС, 2015. – 258 с. ISBN 978-5-94614-337-0.
9. Силовые цепи электровозов 2ЭС6 «Синара» // Локомотив. 2019. № 2 (746). С. 34–39. ISSN 0869-8147.

### References

1. Bublik V. V., Gatelyuk O. V., Tretyakov E. A., Yurasov D. V. Analysis of overvoltages and current surges in the windings of traction motors of electric locomotives of the 2ES6 series in transient modes / Operational reliability of the locomotive fleet and improving the efficiency of train traction : col. of scient. papers [Analiz perenapryazhenij i broskov toka v obmotkakh tyagovykh dvigatelej ehlektrovozov serii 2EHS6 v perekhodnykh rezhimakh / EHkspluatatsionnaya nadezhnost' lokomotivnogo parka i povyshenie ehffektivnosti tyagi poezdov : sbornik nauchnykh trudov] 2018. – Pp. 16–24.
2. Zhogolev E. N. Investigation of the causes of malfunctions of traction electric motors on DC freight locomotives 2ES6 / Fundamental and applied scientific research: current issues, achievements and innovations : collection of scientific papers. [Issledovanie prichin vozniknoveniya neispravnostej tyagovykh ehlektrodvigatelej na gruzovykh ehlektrovozakh postoyannogo toka 2EHS6 / Fundamental'nye i prikladnye nauchnye issledovaniya: aktual'nye voprosy, dostizheniya i innovatsii : sbornik nauchnykh trudov] – 2020. – Pp. 76–79.
3. Zakharchenko D. D., Rotanov N. A. Traction electric machines. Textbook for railway universities. [Tyagovye ehlektricheskie mashiny. uchebnik dlya vuzov zheleznodorozhnogo transporta] – M. : Transport, 1991. 343 p.

4. Kuznetsov A. I., Frolov N. O. Mathematical description of transients in power circuits of DC electric locomotives with various types of traction electric drive // Transport of the Urals. [Matematicheskoe opisanie perekhodnykh protsessov v silovykh tsepyakh ehlektrovozov postoyannogo toka s razlichnymi tipami tyagovogo ehlektroprivoda // Transport Urala] 2019. № 2 (61). Pp. 76–79. ISSN 1815-9400.
5. Kuznetsov A. I., Frolov N. O. Modeling of operating modes of DC traction electric motors // Transport of the Urals. [Modelirovanie rezhimov raboty tyagovykh ehlektricheskikh dvigatelej postoyannogo toka // Transport Urala] 2019. № 4 (63). Pp. 64–68. ISSN 1815-9400.
6. Kuznetsov A. I., Frolov N. O. Limiting the level of transients in the power circuit of an electric locomotive 2ES6 with a sharp change in voltage in the contact network // Bulletin of transport of the Volga region. [Ogranichenie urovnya perekhodnykh protsessov v silovoj tsepi ehlektrovoza 2EHS6 pri rezkom izmenenii napryazheniya v kontaktnoj seti // Vestnik transporta Povolzh'ya] 2020. № 3 (81). Pp. 33–40. ISSN 1997-0722.
7. Regulatory production and practical edition: approved by the order of JSC «Russian Railways» № 867r dated 12.05.2016. – M. : JSC «Russian Railways». [Normativnoe proizvodstvenno-prakticheskoe izdanie: utverzhdeny rasporyazheniem OAO «RZHD» № 867r ot 12.05.2016 g.] 2016. – 515 p.
8. The concept of strengthening the 3.0 kV DC traction power supply system: monograph / B. A. Arzhannikov, I. O. Naboichenko. [Kontseptsiya usileniya sistemy tyagovogo ehlektrosnabzheniya postoyan-nogo toka 3,0 kV : monografiya / B. A. Arzhannikov, I. O. Naboichenko.] – Yekaterinburg : USURT, 2015. 258 p. ISBN 978-5-94614-337-0.
9. Power circuits of electric locomotives 2ES6 «Sinara» // Locomotive. [Silovye tsepi ehlektrovozov 2EHS6 «Sinara» // Lokomotiv] 2019. № 2 (746). Pp. 34–39. ISSN 0869-8147.

*Статья сдана в редакцию 14 февраля 2022 года*

---

А. П. Буйносов, А. А. Козлова

## Повышение надежности аккумуляторных батарей на электропоездах

---

UDC 629.4.064.5

А. P. Buynosov, A. A. Kozlova

## Improving the reliability of batteries on electric trains

---

### Аннотация

Рассматривается вопрос повышения надежности некоторых узлов и деталей электропоездов для сокращения количества внеплановых постановок на ремонт, что способствует совершенствованию организации технического обслуживания электропоездов. Рассматриваются вопросы нарушения в работе технических средств электропоездов, выявляются самые ненадежные узлы и детали, которые негативно влияют на работу моторвагонного подвижного состава в целом. Установлены основные причины преждевременных отказов аккумуляторных батарей как одних из наиболее ненадежных устройств на электропоездах. Приведены конструкция, принцип работы аккумуляторной батареи, ее функции, рассмотрены причины преждевременного выхода из строя данного агрегата. В качестве метода повышения надежности аккумуляторных батарей авторами предлагается использование устройства, которое способно повысить надежность данного узла путем устранения основных причин отказов, объясняется схема и принцип действия предлагаемого устройства, раскрываются особенности его работы.

Особое внимание уделяется регулировочным характеристикам предлагаемого агрегата, раскрываются его основные функции и преимущества в его использовании. Выявлено, что при повышении надежности аккумуляторных батарей значительно сокращается число непредвиденных отказов, способствовавших внеплановой постановке в ремонт электропоезда.

**Ключевые слова:** электропоезд, узлы, детали, аккумуляторная батарея, надежность, способ, устройство, повышение.

DOI: 10.20291/2079-0392-2022-2-41-52

### Abstract

The issue of improving reliability of some components and parts of electric trains to reduce the number of unscheduled repairs, which contributes to improving the organization of maintenance of electric trains, is under study. The issues of violations in operation of technical means of electric trains are considered, the most unreliable components and parts that negatively affect the operation of motor-car rolling stock as a whole are identified. The main causes of premature failures of batteries as one of the most unreliable devices on electric trains have been established. The design, the principle of operation of the battery, its functions are given, the reasons for the premature failure of this unit are considered. As a method of increasing reliability of batteries, the authors propose the use of a device that can increase reliability of this node by eliminating the main causes of failures, explains the scheme and principle of operation of the proposed device, reveals the features of its operation.

Special attention is paid to the adjustment characteristics of the proposed unit, its main functions and advantages in its use are revealed. It was found that with the increase in reliability of batteries, the number of unforeseen failures that contributed to the unplanned repair of electric trains is significantly reduced.

**Keywords:** electric train, components, parts, battery, reliability, method, device, enhancement.

DOI: 10.20291/2079-0392-2022-2-41-52

---

Статья рекомендована к опубликованию Э. С. Оганесяном, д-ром техн. наук, профессором Российской открытой академии РОАТ (МИИТ).

Александр Петрович Буйносов, д-р техн. наук, профессор; кафедра «Электрическая тяга» Уральского государственного университета путей сообщения; Екатеринбург, Россия. E-mail: ABuynosov@usurt.ru. ORCID 0000-0002-7622-3118.

Анастасия Александровна Козлова, аспирант кафедры «Электрическая тяга» Уральского государственного университета путей сообщения; Екатеринбург, Россия. E-mail: AKozlova@usurt.ru. ORCID 0000-0001-9632-5181.

© А. П. Буйносов, А. А. Козлова, 2022

The article is recommended for publishing by E. S. Oganesyanyan, Doctor of Technical Sciences, Professor of the Russian Open Academy of Transport ROAT (MIIT).

Alexander Petrovich Buynosov, Doctor of Technical Sciences, Professor; Chair of «Electric Traction» of the Ural State University of Railway Transport; Yekaterinburg, Russia. E-mail: ABuynosov@usurt.ru. ORCID 0000-0002-7622-3118.

Anastasia Aleksandrovna Kozlova, Post-graduate student of «Electric Traction» Chair of the Ural State University of Railway Transport; Yekaterinburg, Russia. E-mail: AKozlova@usurt.ru. ORCID 0000-0001-9632-5181.

© A. P. Buynosov, A. A. Kozlova, 2022

**Ж**елезнодорожный транспорт был и остается одним из самых важных и востребованных. Многие пассажиры предпочитают именно его из-за безопасности и надежности. К электропоездам и другим единицам техники железнодорожного транспорта предъявляются все более жесткие требования. В основе этой идеи стоит, безусловно, обеспечение безопасности движения. Путем совершенствования конструкций и оптимизации процессов технического обслуживания и ремонта ученые и специалисты-железнодорожники добиваются повышения уровня работоспособности, долговечности, безотказности, ремонтпригодности единиц техники [1].

В России электропоезд является одним из самых популярных видов подвижного состава. Активно обновляющийся парк становится все более технологичным и оснащенным. Сегодня стоит вопрос возможности совершенствования организации технического обслуживания и ремонта электропоездов путем увеличения межремонтного ресурса, однако для этого необходимо повышать надежность некоторых узлов и деталей для сокращения (сведения к нулю) числа внеплановых ремонтов [2].

Сегодня немногие узлы и детали электропоездов отличаются повышенной надежностью [3, 4]. Разработка и внедрение различных методов поддержания агрегатов в работоспособном состоянии сократит количество отказов и и снизит возможность возникновения дефектов.

За безопасность движения электропоездов отвечает работа всех его составляющих. Надежность многих агрегатов напрямую влияет на возможное увеличение межремонтного ресурса – для этого достаточно сократить количество самых распространенных отказов, тем самым сводя к минимуму число внеплановых постановок в ремонт [5, 6]. На начальном этапе выявляются все агрегаты электропоездов, в работе которых чаще всего встречаются нарушения. В таблицах 1 и 2 представлены наиболее подверженные отказам узлы и детали (колесные пары, электрическое оборудование и аппараты, зубчатые передачи) и количество отказов этих узлов на электропоездах на полигоне Свердловской железной дороги за 2020 г.

Составим диаграмму Парето (рис. 1), которая отразит наиболее весомые и распространенные отказы (таблица 2).

Таблица 1

## Отказы оборудования электропоездов

Оборудование	Отказ	Кол-во
Колесная пара	Ползун, выбоина	78
	Остроконечный накат гребня	9
	Сдвиг бандажа	8
	Трещины на оси колесной пары	8
Электрическое оборудование и аппараты	Неисправность низковольтных цепей, аккумуляторных батарей	50
	Неисправность высоковольтных цепей	7
	Нарушение коммутации электрических машин	6
Зубчатая передача	Отсутствие смазки в редукторе	11
	Повреждение большого зубчатого колеса	10
	Повреждение малой шестерни	9
	Повреждение кожуха	8
	Местная выработка (износ) контактных поверхностей	5



Таблица 2

Данные для построения диаграммы Парето

Отказ	Кол-во	Число отказов от общего числа, %	Накопленный процент числа отказов
Ползун, выбоина	78	37,3	37,3
Неисправность низковольтных цепей, аккумуляторных батарей	50	23,9	61,2
Отсутствие смазки в редукторе зубчатой передачи	11	5,3	66,5
Повреждение большого зубчатого колеса зубчатой передачи	10	4,8	71,3
Остроконечный накат гребня	9	4,3	75,6
Повреждение малой шестерни зубчатой передачи	9	4,3	79,9
Сдвиг бандажа	8	3,8	83,7
Трещины на оси колесной пары	8	3,8	87,5
Повреждение кожуха зубчатой передачи	8	3,8	91,4
Неисправность высоковольтных цепей	7	3,3	94,7
Нарушение коммутации электрических машин	6	2,9	97,6
Местная выработка (износ) контактных поверхностей зубчатой передачи	5	2,4	100,0
Итого	209		

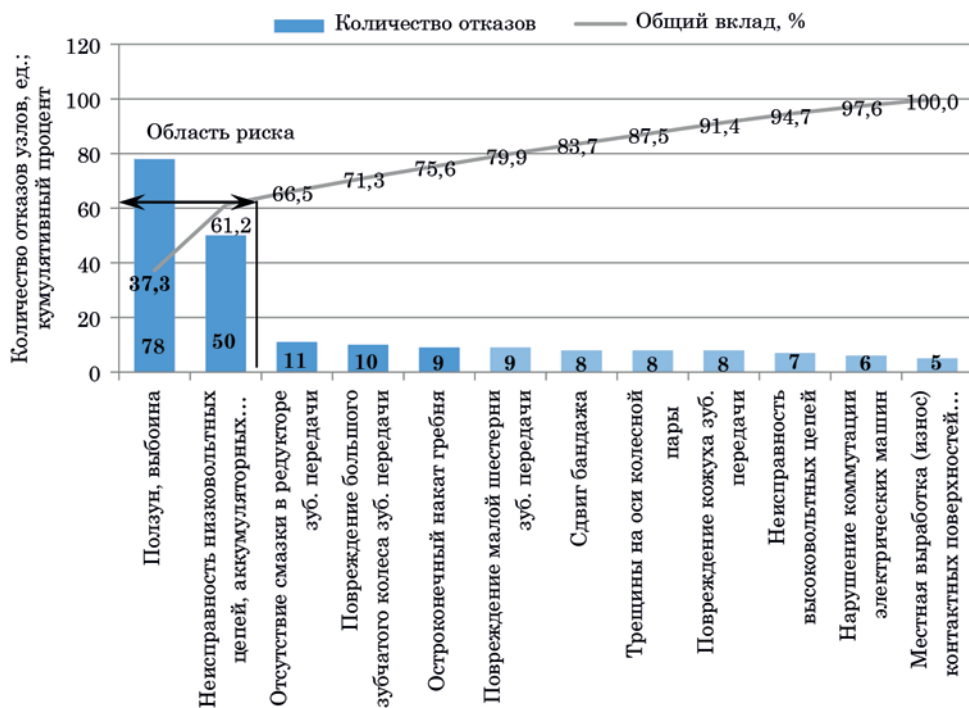


Рис. 1. Диаграмма Парето отказов узлов электропоездов

Анализ диаграммы (см. рис. 1) показывает, что чаще всего встречаются отказы колесных пар и электрическое оборудование электропоезда. Однако если рассматривать отказы по укрупненным группам в общем, то приходим к выводу, что больше всего отказов в колесных парах (103) и электрическом оборудовании (63). Подтверждением тому служит диаграмма Исикавы (рис. 2).

Самые распространенные отказы и нарушения приходится на колесные пары [7, 8], лидируют здесь ползуны и выбоины. Возникновение ползуна на ободе колесной пары может быть связано с множеством различных обстоятельств: неисправность тормозного оборудования, частые (плановые) остановки электропоезда, движение юзом, другие сопутствующие дефекты колесных пар, замерзание воздухопровода или тормозного цилиндра и пр. [9, 10]. Износ колесных пар у электроподвижного состава наблюдается только на моторных вагонах, поскольку именно через них осуществляется электрическая тяга.

Причина возникновения ползуна может быть любой, а вот итог один: постановка электропоезда на внеплановый

ремонт для обточке колесной пары [11].

Чаще всего отказ происходит из-за ненадежной работы системы питания низковольтных цепей – аккумуляторных батарей электропоездов. Анализ показывает, что надежность аккумуляторных батарей не в полной мере соответствует заданным требованиям [12].

Для увеличения межремонтного ресурса как способа совершенствования организации технического обслуживания и ремонта электропоездов необходимо свести к минимуму (а по возможности, устранить) количество постановок электропоездов на внеплановый ремонт. Однако этому мешает ненадежная работа аккумуляторных батарей и часто возникающие дефекты колесных пар [13]. Повышение срока службы аккумуляторных батарей снизит влияние отказов всего электрического оборудования в целом на надежность электропоезда, способствуя тем самым совершенствованию организации технического обслуживания.

Аккумуляторные батареи нужны для питания двигателя вспомогательного компрессора подъема токоприемника, цепей управления, освещения

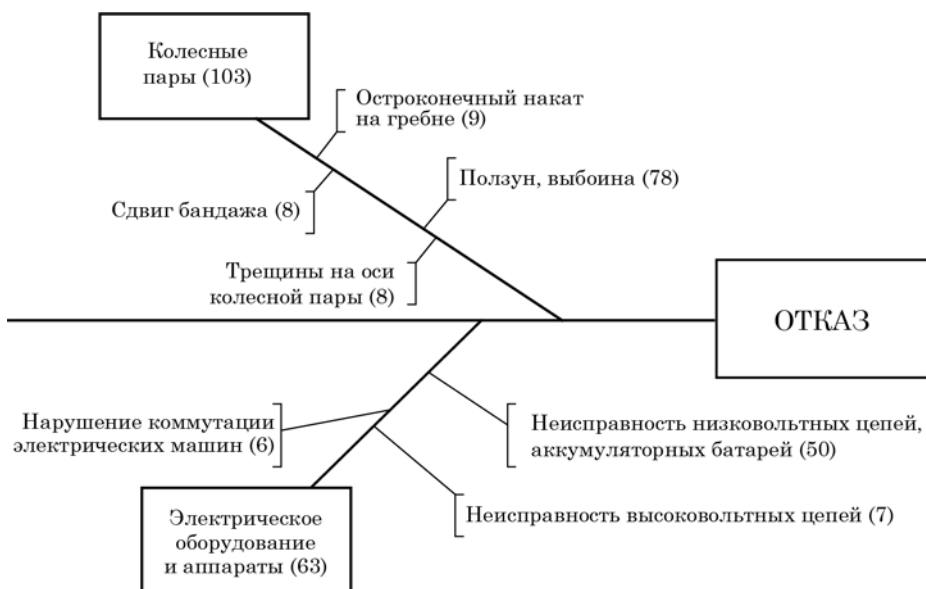


Рис. 2. Диаграмма Исикавы отказов узлов

при неработающих преобразователях, они снабжают электроэнергией принудительную вентиляцию, электрокипятильник или систему охлаждения воды [14]. В случае повреждения генератора к ним подключают АЛСН, цепи электропневматического тормоза, осветительные лампы, сигнализацию, радиостанции и пр. устройства. На электропоездах, где предусмотрено кондиционирование воздуха в вагонах, от аккумуляторных батарей работает система охлаждения [15]. На электропоездах устанавливаются щелочные батареи 90НК55.

Вид аккумулятора НК55 в разрезе представлен на рис. 3. В конструкцию аккумуляторных батарей входят пластины положительных и отрицательных электродов 1, устанавливаемые между ними сепараторы 7, представленные в виде эбонитовых палочек, стальной корпус с антикоррозионным покрытием из никеля и внешним щелочестойким покрытием 8. Аналогичным образом защищают от коррозии и выводные борны полублоков 2 и прочие соединительные элементы. В состав батарей также входят крышка корпуса 6, уплотнители 4,

соединительные гайки 5, винтовая пробка 3, закрывающая отверстие в крышке аккумулятора (в это отверстие заливаются электролит и вода). Для отвода из аккумулятора образующихся в ходе работы газов в винтовой пробке предусмотрен специальный клапан.

Сами батареи устанавливаются под кузовами вагонов в специальных ящиках, каждая располагается в резиновом чехле. Работа щелочных батарей представляет собой сложный химический процесс [16]. Поэтому важно учесть, что во время заряда аккумуляторы выделяют взрывоопасную смесь кислорода и водорода (при особой концентрации – гремучий газ). Следовательно, во избежание рисков взрыва ящики с батареями оборудуют вентиляцией [17].

Анализе работы батарей на электропоездах показал, что срок их реальной эксплуатации не соответствует заявленному ресурсу, батареи выходят из строя намного раньше предполагаемого момента [18].

При параллельном соединении А-Б через поездные провода 16 и 30 возникают большие уравнивающие токи. При параллельном соединении (рис. 4) во время эксплуатации разряд батарей происходит неравномерно, то есть ЭДС аккумуляторов не равны между собой.

Формула (1) иллюстрирует зависимость уравнивающего тока от ЭДС батареи:

$$I_{\text{уп}} = \frac{E_1 - E_2}{r_{\text{вн1}} - r_{\text{вн2}}}, \quad (1)$$

где  $r_{\text{вн1}}$ ,  $r_{\text{вн2}}$  – внутренние сопротивления аккумуляторных батарей;  $E_1$  и  $E_2$  – ЭДС батарей 1 и 2 соответственно.

Есть и другие причины преждевременного выхода из строя аккумуляторов, однако первоочередная задача – возникновение больших уравнивающих токов. Необходимо выбрать такое зарядное устройство, которое сможет стабилизировать зарядный ток, при параллельном соединении батарей в разрядном режиме – ликвидировать уравнивающие токи, при этом оно должно

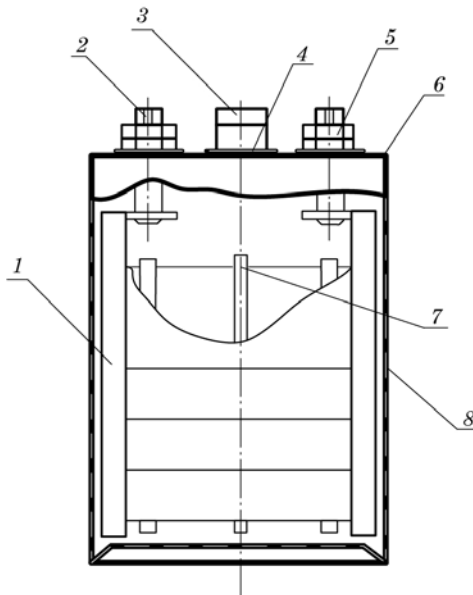


Рис. 3. Вид аккумуляторной батареи НК55 в разрезе

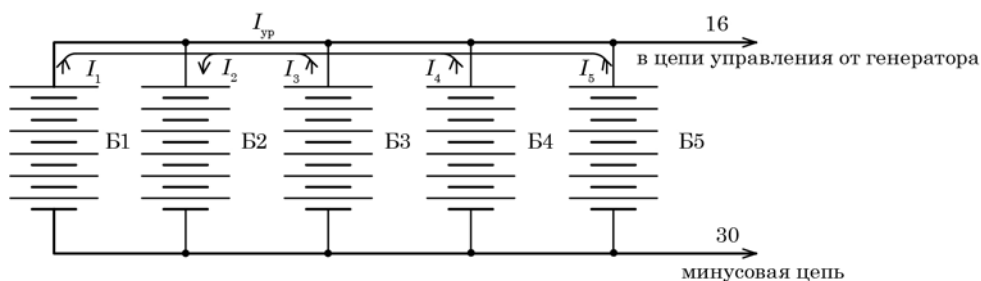


Рис. 4. Схема параллельного соединения аккумуляторных батарей 1–5 в режиме разряда

быть небольшим и легким. Не допускаются зарядные устройства, нарушающие имеющиеся в цепи электрические связи. Нами предлагается устройство на основе повышающего импульсного преобразователя постоянного тока (DC/DC-конвертор) (рис. 5).

Особенность DC/DC-преобразователя: за счет накопления энергии в виде магнитного поля на элементе индуктивности при регулировании (прерывании) тока производится регулирование значения выходного напряжения (в большую или меньшую сторону по сравнению с входным). Ключом регулируется подача напряжения, совмещенного с ЭДС самоиндукции, возникшей на катушке, через диод конденсатору. Величина выходного напряжения уже напрямую зависит от времени заряда конденсатора. Но выходное напряжение всегда больше входного. Это связано с падением напряжения на диоде, ключе и сопротивлении дросселя. Для определения этой закономерности необходимо получить регулировочные характеристики (РХ) импульсного регулятора напряжения, которые отражают зависимость выходного напряжения от входного и являются ключевыми описательными характеристиками преобразователя.

Для получения регулировочных характеристик ставятся следующие условия:

– транзистор работает в режиме широтно-импульсной модуляции и характеризуется длиной импульса  $t_{ин}$  и периодом  $T$ ;

– рассматривается режим непрерывного тока (НТ), когда ток в индуктивности за период  $T$  не бывает равным нулю. Рассматривается именно такой режим работы, потому что при нем коммутирующий элемент и диод в преобразователе меньше подвергаются токовым нагрузкам;

– для тока в дросселе устанавливается соотношение:

$$di_L = \frac{1}{L} u_L dt, \quad (2)$$

где  $u_L$  – напряжение на индуктивном элементе, среднее значение которого за период равно 0;  $i_L$  – ток в индуктивном элементе;  $L$  – индуктивность.

Тогда приращение тока в индуктивном элементе  $i_L$  за период  $T$  определяется из предыдущей формулы (2) как

$$\Delta i_L = \frac{1}{L} \int_0^T u_L dt. \quad (3)$$

Для получения регулировочных характеристик из выражения (2) вычислим интеграл и приравняем к нулю. Имеем значения напряжения на дросселе:

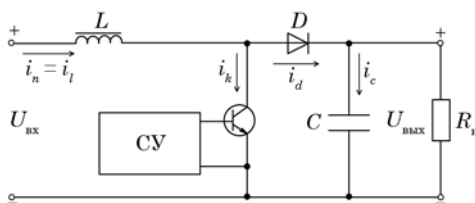


Рис. 5. Повышающий импульсный DC/DC-преобразователь

во время импульса  $t_{\text{и}}$ ,  $u_L = U_{\text{вх}}$ ; во время паузы  $t_{\text{п}}$ ,  $u_L = U_{\text{вх}} - U_{\text{вых}}$ .

Учитывая тот факт, что среднее значение напряжения на дросселе за период равно нулю, записываем выражение (3) и равенство при описанных условиях:

$$\frac{1}{L} \int_0^T u_L dt = 0, \quad (4)$$

$$U_{\text{вх}} D + (U_{\text{вх}} - U_{\text{вых}})(1 - D) = 0, \quad (5)$$

где  $D$  – коэффициент заполнения импульса, определяемый отношением длины импульса к периоду.

Из выражения (5) получаем регулировочную характеристику в режиме непрерывного тока – зависимость выходного напряжения от входного:

$$U_{\text{вых}} = \frac{U_{\text{вх}}}{(1 - D)}. \quad (6)$$

Формула (6) является подтверждением вышесказанного, что выходное напряжение всегда больше входного, поскольку значения коэффициента  $D$  изменяются от 0 до 1. Поэтому данный преобразователь называется повышающим.

Кроме получения регулировочных характеристик важно получить символическое выражение других характеристик устройства. С помощью использования баланса мощностей на входе и выходе схемы рассчитывается средний ток в дросселе (потери не учитываются):

$$U_{\text{вх}} I_{\text{п}} = U_{\text{вых}} I_{\text{н}}, \quad I_{\text{п}} = I_L = \frac{U_{\text{вых}}}{U_{\text{вх}}} I_{\text{н}} = \frac{I_{\text{н}}}{1 - D}. \quad (7)$$

На основании полученного выражения (7) можно сделать вывод, что при  $D \rightarrow 1$  средние токи дросселя во время импульса на коммутирующем элементе и во время паузы в диоде стремятся к бесконечности (постоянно возрастают). Следовательно, при этих режимах работы ИРН лучше не использовать, потому что происходит значительная

перегрузка элементов цепи преобразователя.

Необходимо определить пульсации тока в элементе индуктивности  $\Delta i$  на напряжение на дросселе во время импульса:

$$u_L = U_{\text{вх}} = L \frac{\Delta i}{t_{\text{и}}}. \quad (8)$$

Тогда значение  $\Delta i$  определяется как

$$\Delta i = \frac{U_{\text{вх}}}{L} t_{\text{и}} = \frac{U_{\text{вх}} D}{Lf} = \frac{U_{\text{вых}} D(1 - D)}{Lf}. \quad (9)$$

Постепенный заряд конденсатора происходит во время импульса, за время которого при граничном значении емкости конденсатора напряжение в емкостном элементе снизится на  $\Delta U_c$ . Этот процесс напрямую связан с током нагрузки:

$$-\Delta U_c = \frac{1}{C} \int_0^{t_{\text{и}}} i_c dt = -\frac{1}{C} \int_0^{t_{\text{и}}} I_{\text{н}} dt, \quad (10)$$

$$\Delta U_c = \frac{I_{\text{н}} t_{\text{и}}}{C} = \frac{I_{\text{н}} D}{Cf}. \quad (11)$$

Значение переменной составляющей напряжения оценивается как половина от  $\Delta U_c$ .

Чем больше значение  $D$ , тем сильнее пульсация на нагрузке, но пульсация ослабевает при увеличении частоты переключения.

Снизить пульсацию напряжения на входе схемы можно при увеличении индуктивности дросселя. Чтобы цепь работала в режиме непрерывного тока, значение минимального тока на дросселе должно быть всегда больше нуля. Следовательно:

$$I_{\text{кл min}} = I_{L \text{ min}} = \frac{I_{\text{н}}}{1 - D} = \frac{U_{\text{вых}} D(1 - D)}{2Lf} > 0. \quad (12)$$

В случае, когда ток  $I_{L \text{ min}}$  все-таки становится равным нулю, происходит смена режима – переход с режима

непрерывного тока в режим прерывистого тока. В этом случае можно определить граничное значение индуктивности дросселя по формуле (13):

$$L_{\text{гр}} = R_{\text{н max}} \frac{D(1-D)^2}{2f}. \quad (13)$$

Формула (13) отражает, что граничное значение индуктивности напрямую зависит от коэффициента  $D$ . Максимальное значение функции достигается при  $D = 1/3$ . Тогда получаем соотношение:

$$L_{\text{гр max}} = 0,074 \frac{R_{\text{н max}}}{f}. \quad (14)$$

Максимальное граничное значение индуктивности показывает, что в случае, когда  $L$  выбирается больше данного значения, установившимся режимом работы регулятора будет режим непрерывного тока.

Все эти процессы отражаются в диаграмме работы схемы импульсного регулятора напряжения (рис. 6).

Итак, повышение надежности аккумуляторных батарей возможно при условии внедрения устройства, способного ликвидировать одну из главных проблем – уравнительные токи, возникающие при работе аккумуляторов. В качестве такого устройства предлагается

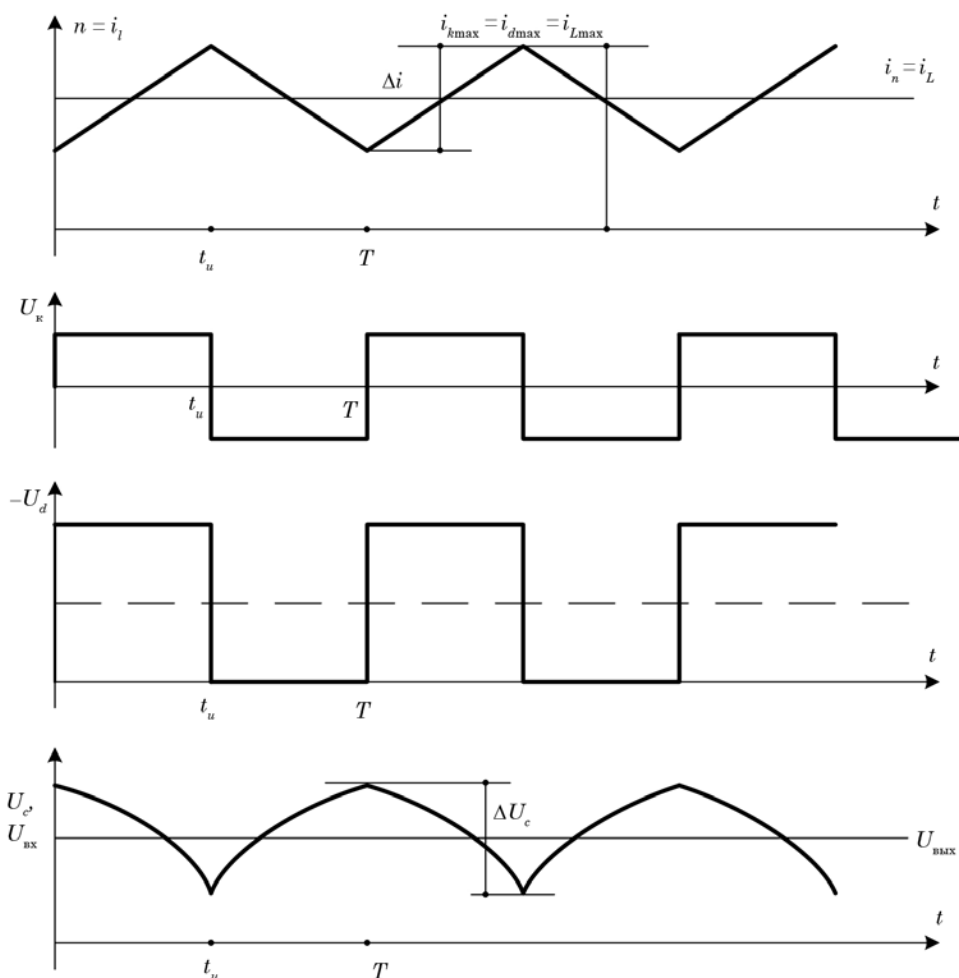


Рис. 6. Диаграммы работы схемы импульсного регулятора напряжения

повышающий регулятор напряжения. Основная его функция – контроль и регуляция выходного напряжения.

Внедрение предлагаемого устройства (повышающего конвертора) способствует максимально возможному

сокращению преждевременного выхода из строя аккумуляторных батарей, что, в свою очередь, положительно сказывается на надежности электропоезда в целом. Эту ситуацию наглядно отражают рис. 7 и таблица 3 (влияние отказов аккумуляторных батарей на

Таблица 3

Данные для диаграммы Парето

Отказ	Отказы, кол-во	Процент числа отказов от общего числа	Накопленный процент числа отказов
Ползун, выбоина	78	49,1	49,1
Отсутствие смазки в редукторе зубчатой передачи	11	6,9	56,0
Повреждение большого зубчатого колеса зубчатой передачи	10	6,3	62,3
Остроконечный накат гребня	9	5,7	68,0
Повреждение малой шестерни зубчатой передачи	9	5,7	73,6
Сдвиг бандажа	8	5,0	78,7
Трещины на оси колесной пары	8	5,0	83,7
Повреждение кожуха зубчатой передачи	8	5,0	88,7
Неисправность высоковольтных цепей	7	4,4	93,1
Нарушение коммутации электрических машин	6	3,8	96,9
Местная выработка (износ) контактных поверхностей зубчатой передачи	5	3,1	100,0
Итого	159		



Рис. 7. Диаграмма Парето отказов узлов электропоездов при исключении отказов аккумуляторных батарей



техническое состояние электропоезда исключено).

Рис. 7 показывает, что при исключении отказов аккумуляторных батарей повышается надежность электропоезда в целом, что, в свою очередь, способствует сокращению количества внеплановых ремонтов, значит, повышает возможность совершенствования организации технического обслуживания электропоездов увеличением межремонтного ресурса.

### Заключение

1. Рассмотрено влияние отказов узлов и деталей электропоезда на его надежность в целом. Выявлено, что самые ненадежные – колесные пары

и электрическое оборудование. Аккумуляторные батареи очень часто выходят из строя.

2. Рассмотрены причины выхода из строя аккумуляторных батарей. Выявлено, что главными причинами отказов служат возникновение уравнительных токов и нестабильное значение зарядного тока.

3. Для повышения надежности аккумуляторной батареи на электропоезде предложено использование повышающего импульсного DC/DC-конвертора. Рассмотрены регулировочные характеристики разработанного устройства и приведен принцип его работы как устройства, внедрение которого приведет к минимуму отказы аккумуляторных батарей. ■

### Литература

1. Буйносов А. П., Цихалевский И. С., Лаптев С. И. Организация эксплуатации, обслуживания и ремонта газотурбовозов ГТ1h // Вестник УрГУПС. 2018. № 3 (39). С. 41–55. ISSN 2079-0392.
2. Мазнев А. С., Евстафьев А. М. Применение энергонакопительных устройств на электроподвижном составе // Транспорт Урала. 2009. № 2 (21). С. 83–85. ISSN 1815-9400.
3. Буйносов А. П., Умылин И. В. Разработка схемы стабилизации зарядки аккумуляторных батарей на моторвагонном подвижном составе // Вестник транспорта Поволжья. 2016. № 4. С. 36–39. ISSN 1997-0722.
4. Буйносов А. П., Умылин И. В. О надежности электрических низковольтных цепей электропоездов // Научно-технический вестник Поволжья. 2017. № 6. С. 86–88. ISSN 2079-5920.
5. Буйносов А. П., Мишин Я. А. Анализ причин отказов узлов электропоездов на основе закона Парето и диаграммы Исикавы // Вестник транспорта Поволжья. 2013. № 3 (39). С. 35–39. ISSN 1997-0722.
6. Логинова Е. Ю., Коваленко А. В. Аккумуляторные накопители энергии на метропоездах // Мир транспорта. 2014. Т. 12. № 1 (50). С. 50–57. ISSN 1992-3252.
7. Буйносов А. П., Шарапов А. Т., Козлова А. А. Причины интенсивного износа бандажей колесных пар локомотивов // Научно-технический вестник Поволжья. 2022. № 1. С. 60–63. ISSN 2079-5920.
8. Буйносов А. П., Худояров Д. Л., Пышный И. М. Выбор профиля поверхности катания бандажей колесных пар промышленных тепловозов // Транспорт Урала. 2011. № 1 (28). С. 64–69. ISSN 1815-9400.
9. Буйносов А. П. Повышение ресурса бандажей колесных пар электропоездов в результате изменения технологии их обточки // Автоматизация и современные технологии. 1992. № 8. С. 23–25. ISSN 0869-4931.
10. Буйносов А. П., Умылин И. В. Оптимизация процесса обточки бандажей колесных пар локомотивов // Научно-технический вестник Поволжья. 2015. № 3. С. 101–104. ISSN 2079-5920.
11. Буйносов А. П. Модель эксплуатационного износа сложных систем железнодорожного транспорта // Вестник транспорта Поволжья. 2010. № 4 (24). С. 21–25. ISSN 1997-0722.
12. Буйносов А. П., Козаков Д. Ю. Анализ причин преждевременного выхода из строя аккумуляторных батарей на электропоездах // Научно-технический вестник Поволжья. 2013. № 1. С. 128–130. ISSN 2079-5920.

13. Буйносов А. П., Дурандин М. Г., Тutyнин О. И. Перспективы использования накопителей электрической энергии на моторвагонном подвижном составе // Вестник УрГУПС. 2020. № 4 (48). С. 35–45. ISSN 2079-0392.
14. Мазнев А. С., Евстафьев А. М. Применение энергонакопительных устройств на электроподвижном составе // Транспорт Урала. 2009. № 2 (21). С. 83–85. ISSN 1815-9400.
15. Engel B., Beck H. P., Alders J. Verschleissreduzierende Rad-schlupfregelung mit hoher Kraftschlussausnutzung // Elektrische Bahnen. 96 (1998) Pp. 201–209.
16. Buynosov A., Borodin A., Aleksandrov A., Umylin I. Development of a model of a source of stabilized battery charge current on electric trains with rheostatic braking // Advances in Intelligent Systems and Computing. 2020. T. 1115. pp. 255–280.
17. Buynosov A., Alexandrov A., Kalinichenko A., Dinislamov A. Non-destructive method of controlling the depth of tempering of parts of the mechanical part of locomotives // Advances in Intelligent Systems and Computing. 2020. T. 1115. pp. 670–676.
18. Гаркунов Д. Н., Мельников Э. Л., Гаврилюк В. С. Триботехника. М. : КНОРУС, 2015. – 408 с. ISBN 978-5-406-02686-1.

### References

1. Buynosov A. P., Tsikhalevsky I. S., Laptev S. I. Organization of operation, maintenance and repair of GT1h gas turbine locomotives // Herald of USURT. [Organizatsiya ekspluatatsii, obsluzhivaniya i remonta gazoturbovozov GT1h // Vestnik UrGUPS] 2018. № 3 (39). Pp. 41–55. ISSN 2079-0392.
2. Maznev A. S., Evstafyev A. M. The use of energy storage devices on electric rolling stock // Transport of the Urals. [Primenenie ehnergonakopitel'nykh ustroystv na ehlektropodvizhnom sostave // Transport Urala] 2009. № 2 (21). Pp. 83–85. ISSN 1815-9400.
3. Buynosov A. P., Shumilin I. V. Development of a scheme for stabilizing battery charging on motor-car rolling stock // Bulletin of Transport of the Volga region. [Razrabotka skhemy stabilizatsii zaryadki akkumulyatornykh batarej na motorvagonnom podvizhnom sostave // Vestnik transporta Povolzh'ya] 2016. № 4. Pp. 36–39. ISSN 1997-0722.
4. Buynosov A. P., Umylin I. V. On reliability of electric low-voltage circuits of electric trains // Scientific and Technical Bulletin of the Volga region. [O nadezhnosti ehlektricheskikh nizkovol'tnykh tsepej ehlektropoezdov // Nauchno-tekhnicheskij vestnik Povolzh'ya] 2017. № 6. Pp. 86–88. ISSN 2079-5920.
5. Buynosov A. P., Mishin Ya. A. Analysis of the causes of failures of electric locomotive assemblies based on Pareto's law and the Ishikawa diagram // Bulletin of transport of the Volga region. [Analiz prichin otkazov uzlov ehlektrovovozov na osnove zakona Pareto i diagrammy Isikavy // Vestnik transporta Povolzh'ya] 2013. № 3 (39). Pp. 35–39. ISSN 1997-0722.
6. Loginova E. Yu., Kovalenko A. V. Accumulator energy storage on metro trains // Mir transport. [Akkumulyatornye nakopiteli ehnergii na metropoezdakh // Mir transporta] 2014. Vol. 12. № 1 (50). Pp. 50–57. ISSN 1992-3252.
7. Buynosov A. P., Sharapov A. T., Kozlova A. A. Reasons for intensive wear of wheelset braces of locomotives // Scientific and Technical Bulletin of the Volga region. [Prichiny intensivnogo iznosa bandazhej kolesnykh par lokomotivov // Nauchno-tekhnicheskij vestnik Povolzh'ya] 2022. № 1. Pp. 60–63. ISSN 2079-5920.
8. Buynosov A. P., Khudoyarov D. L., Pyshny I. M. The choice of the profile of the riding surface of the wheelset bands of industrial diesel locomotives // Transport of the Urals. [Vybor profilya poverkhnosti kataniya bandazhej kolesnykh par promyshlennykh teplovozov // Transport Urala] 2011. № 1 (28). Pp. 64–69. ISSN 1815-9400.
9. Buynosov A. P. Increasing the resource of the wheelset bandages of electric locomotives as a result of changes in the technology of their turning // Automation and modern technologies. [Povyshenie resursa bandazhej kolesnykh par ehlektrovovozov v rezul'tate izmeneniya tekhnologii ikh obtochki // Avtomatizatsiya i sovremennye tekhnologii] 1992. № 8. Pp. 23–25. ISSN 0869-4931.
10. Buynosov A. P., Shumilin I. V. Optimization of the process of turning the bandages of wheel pairs of locomotives // Scientific and Technical Bulletin of the Volga region. [Optimizatsiya protsessa obtochki bandazhej kolesnykh par lokomotivov // Nauchno-tekhnicheskij vestnik Povolzh'ya] 2015. № 3. Pp. 101–104. ISSN 2079-5920.
11. Buynosov A. P. Model of operational wear of complex railway transport systems // Bulletin of transport of the Volga region. [Model' ekspluatatsionnogo iznosa slozhnykh sistem

- zheleznodorozhnogo transporta // Vestnik transporta Povolzh'ya] 2010. № 4 (24). Pp. 21–25. ISSN 1997-0722.
12. Buynosov A. P., Kazakov D. Yu. Analysis of the causes of premature failure of batteries on electric trains // Scientific and Technical Bulletin of the Volga region. [Analiz prichin prezhddevremennogo vykhoda iz stroya akkumulyatornykh batarej na ehlektropoezdakh // Nauchno-tekhnicheskij vestnik Povolzh'ya] 2013. № 1. Pp. 128–130. ISSN 2079-5920.
  13. Buynosov A. P., Durandin M. G., Tutynin O. I. Prospects for the use of electric energy storage devices on motor-car rolling stock // Herald of USURT. [Perspektivy ispol'zovaniya nakopitelej ehlektricheskoy ehnergii na motorvagonnom podvizhnom sostave // Vestnik UrGUPS] 2020. № 4 (48). Pp. 35–45. ISSN 2079-0392.
  14. Maznev A. S., Evstafyev A. M. The use of energy storage devices on electric rolling stock // Transport of the Urals. [Primenenie ehnergonakopitel'nykh ustroystv na ehlektropodvizhnom sostave // Transport Urala] 2009. № 2 (21). Pp. 83–85. ISSN 1815-9400.
  15. Engel B., Beck H. P., Alders J. Verschleissreduzierende Rad-schlupfregelung mit hoher Kraftschlussausnutzung // Elektrische Bahnen. 96 (1998) Pp. 201–209.
  16. Buynosov A., Borodin A., Aleksandrov A., Umylin I. Development of a model of a source of stabilized battery charge current on electric trains with rheostatic braking // Advances in Intelligent Systems and Computing. 2020. V. 1115. Pp. 255–280.
  17. Buynosov A., Alexandrov A., Kalinichenko A., Dinislamov A. Non-destructive method of controlling the depth of tempering of parts of the mechanical part of locomotives // Advances in Intelligent Systems and Computing. 2020. V. 1115. Pp. 670–676.
  18. Garkunov D. N., Melnikov E. L., Gavriyuk V. S. Tribotechnika. M. : KNORUS, [tribotekhnika. M. : KNORUS] 2015. – 408 p. ISBN 978-5-406-02686-1.

*Статья сдана в редакцию 21 февраля 2022 года*

# Управление в технических системах

УДК 629.4

Д. С. Шутов, Д. М. Маяков, М. В. Николашин

## Мониторинг показателей надежности тягового подвижного состава

UDC 629.4

D. S. Shutov, D. M. Mayakov, M. V. Nikolashin

## Monitoring of reliability indicators of traction rolling stock

### Аннотация

Проанализированы статистические методы расчета показателей надежности, позволяющие получить достоверные результаты расчета показателей надежности тягового подвижного состава (ТПС).

Поскольку информация о техническом состоянии объекта содержится в самих контролируемых параметрах, то в настоящем исследовании рассмотрены и представлены следующие статистические методы расчета показателей надежности: параметрический (вид закона

распределения контролируемого параметра известен или его можно определить), непараметрический (вид закона распределения параметра неизвестен).

При рассмотрении параметрического метода расчета показателей надежности проанализирован расчет показателей по выборке контролируемого параметра и наработкам объектов до наступления их отказа в процессе хранения или эксплуатации.

При рассмотрении непараметрического метода проанализирован расчет по

наработкам объектов до наступления отказа.

Бесперебойная работа ТПС на линии возможна при его технически исправном состоянии, когда все контролируемые параметры находятся в пределах допустимых значений, которые указываются в нормативно-технической документации.

Такое исследование позволяет предупредить наступление отказа ТПС путем прогнозирования величины параметров, подлежащих контролю, что повышает общий уровень обеспечения безопасности его движения.

*Статья рекомендована к опубликованию д-ром техн. наук, профессором Российского университета транспорта О. Е. Пудовиковым. E-mail: oleg@pmail.ru.*

**Денис Сергеевич Шутов**, аспирант; кафедра «Электропоезда и локомотивы», Российский университет транспорта РУТ(МИИТ); Москва, Россия. E-mail: denshutoff@mail.ru. ORCID 0000-0003-2841-9746.

**Денис Михайлович Маяков**, аспирант; кафедра «Электропоезда и локомотивы», Российский университет транспорта РУТ(МИИТ); Москва, Россия. E-mail: majakovdenis@yandex.ru. ORCID 0000-0003-1597-3246.

**Максим Владимирович Николашин**, аспирант; кафедра «Электропоезда и локомотивы», Российский университет транспорта РУТ(МИИТ); Москва, Россия. E-mail: max.nikolashin@mail.ru. ORCID 0000-0002-4101-739X.

© Д. С. Шутов, Д. М. Маяков, М. В. Николашин, 2022

*The article is recommended for publishing O. E. Pudovikov, Doctor of Technical Sciences, Professor of the Russian University of Transport. E-mail: oleg@pmail.ru.*

**Denis Sergeyevich Shutov**, Postgraduate Student; Department «Electric Trains and Locomotives», Russian University of Transport RUT (MIIT); Moscow, Russia. E-mail: denshutoff@mail.ru. ORCID 0000-0003-2841-9746.

**Denis Mikhailovich Mayakov**, Postgraduate Student; Department «Electric Trains and Locomotives», Russian University of Transport RUT (MIIT); Moscow, Russia. E-mail: majakovdenis@yandex.ru. ORCID 0000-0003-1597-3246.

**Maxim Vladimirovich Nikolashin**, Postgraduate student; Department «Electric Trains and Locomotives», Russian University of Transport RUT (MIIT); Moscow, Russia. E-mail: max.nikolashin@mail.ru. ORCID 0000-0002-4101-739X.

© D. S. Shutov, D. M. Mayakov, M. V. Nikolashin, 2022

Даны рекомендации по применению предложенных методов при проведении мероприятий, связанных с оценкой технического состояния ТПС при проведении его ремонта.

**Ключевые слова:** интенсивность отказов, показатели надежности, тяговый подвижной состав, отказы оборудования, показатели безотказности, наработка до отказа, контролируемые параметры, параметрическая надежность, непараметрическая надежность, показатели долговечности, параметр потока отказов.

DOI: 10.20291/2079-0392-2022-2-53-62

#### Abstract

Statistical methods for calculating reliability indicators are analyzed, which allow obtaining reliable results of calculating the reliability indicators of traction rolling stock (TRS).

Since the information about the technical condition of the object is contained in the controlled parameters themselves, the following statistical methods for calculating reliability indicators are considered and presented in this study: parametric (the type of distribution law of the controlled parameter is known or it can be determined), nonparametric (the type of distribution law of the parameter is unknown).

When considering the parametric method of calculating reliability indicators, the calculation of indicators based on a sample of a controlled parameter and the operating time of objects before their failure during storage or operation is analyzed.

When considering the nonparametric method, the calculation of the operating time of objects before the failure is analyzed.

Uninterrupted operation of the TRS on the line is pos-

sible with its technically sound condition, when all controlled parameters are within the permissible values specified in the regulatory and technical documentation.

Such a study allows to prevent the TRS failure occurrence by predicting the magnitude of the parameters to be monitored, which increases the overall level of ensuring the safety of its movement.

Recommendations are given on application of the proposed methods in carrying out activities related to the assessment of the TRS technical condition during its repair.

**Keywords:** failure rate, reliability indicators, traction rolling stock, equipment failures, reliability indicators, operating time to failure, controlled parameters, parametric reliability, nonparametric reliability, durability indicators, failure flow parameter.

DOI: 10.20291/2079-0392-2022-2-53-62

Достоверные результаты расчета показателей надежности ТПС можно получить на основании обработки данных, полученных в процессе эксплуатации или испытаний однотипных объектов, представляющих собой после требуемой обработки и систематизации генеральную совокупность контролируемых параметров  $x$  и характеризующих изменение технического состояния объектов с увеличением наработки [1].

Во время эксплуатации ТПС с определенной периодичностью контролируют и фиксируют контролируемые параметры отдельных узлов и деталей, по которым можно характеризовать их техническое состояние.

Сложность учета значений и особенностей эксплуатации ТПС не позволяет получить необходимую генеральную совокупность данных. Именно поэтому в качестве первичной информации для проведения расчетов и анализа в теории

надежности используется часть генеральной совокупности, представленная случайной выборкой  $x_1, x_2, \dots, x_i, \dots, x_N$  контролируемого параметра или выборкой  $t_1, t_2, \dots, t_i, \dots, t_N$  наработок до отказа (между отказами) [2].

Значительный вклад в разработку методов повышения надежности ТПС с использованием случайных выборок внес профессор А. А. Воробьев, работавший на кафедре «Электропоезда и локомотивы» РУТ (МИИТ) и выпустивший большое количество научных изданий по рассматриваемой тематике.

Анализ показателей надежности, установленных на основе фиксированных значений случайной величины, производится с помощью точечной оценки или доверительных границ – верхних и нижних точек, которые включены в так называемый доверительный интервал. В них содержится неизвестный показатель  $\alpha$  с вероятностью  $\beta$  не меньше заданной.

При расчете показателей безотказности и долговечности ТПС используют контролируемые параметры: диаметр и толщина бандажа, толщина гребня и др. [3]. Эти параметры являются случайными величинами, уменьшающимися или увеличивающимися в процессе эксплуатации в результате, например, износа поверхности катания колесной пары [4]. При параметрическом изменении контролируемого параметра  $x$  при достижении допуска  $X_{\text{доп}}$  при случайной наработке  $t$  происходит отказ элемента. В процессе эксплуатации объекта выход контролируемого параметра за допуск не разрешен. Для предотвращения отказа выполняют планово-предупредительный ремонт для восстановления требуемых параметров. Поскольку случайная величина в пределах наработки или времени подчиняется закону распределения, то вид закона выбирается из значений контролируемого параметра, которые, в свою очередь, зависят от физических процессов, возникающих при изнашивании или старении узлов и агрегатов [5].

#### Метод расчета показателей параметрической надежности

Расчет показателей по выборке контролируемого параметра  $x_1, x_2, \dots, x_p, \dots, x_N$  объекта

При фиксированных наработках объектов от начала эксплуатации или испытаний, когда значения параметров

не выходят за допуск, формируются их выборки для определения вида закона распределения и его числовых характеристик [6]; для этого часто используется один из критериев проверки соответствия – Пирсона, Колмогорова – Смирнова или др.

Определение параметров и вида закона распределения переменной  $y(t)$  (среднеквадратического отклонения  $\sigma_x(t)$  (СКО), среднего значения  $m_x(t)$  и т.д.) позволит определить показатели безотказности и долговечности рассматриваемого объекта, а также проводить прогноз их изменения [7].

Как правило,  $y(t)$  представляют в виде функции  $y = f(a_1, a_2, \dots, a_s, \tau_i)$ , состоящей из одного аргумента  $\tau_i$ . Количество параметров, входящих в выражение, составляет величину  $s$  ( $a_1, a_2, \dots, a_s$ ). После аппроксимации эмпирических случайных величин, состоящих из  $n$  точек  $(\tau_i, y_i)$  при  $i = 1, 2, \dots, N$ , где  $y$  – параметр закона распределения ( $m_x$  или  $\sigma_x$ ) [8].

Методом наименьших квадратов находят параметры функции:

$$z(a_1, a_2, \dots, a_s) = \sum_{i=1}^n (f(a_1, a_2, \dots, a_s, \tau_i) - y_i)^2 \Rightarrow \min. \quad (1)$$

Показатели безотказности рассчитываются на основании прогнозирования процессов, связанных с изменением параметров по результатам вычисленных и построенных зависимостей (рис. 1) [9].

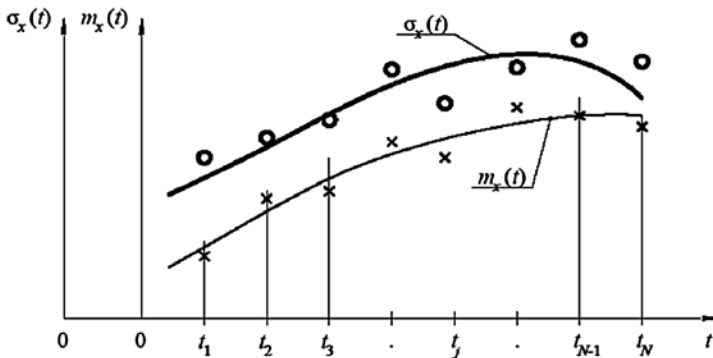


Рис. 1. Зависимости среднего значения  $m_x$  и СКО  $\sigma_x$  параметров от наработки  $t$



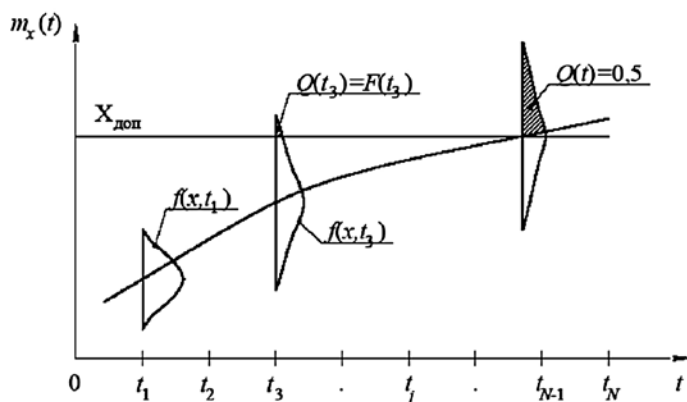


Рис. 2. Экстраполяция параметров изделия в область больших наработок  $t$  и определение вероятности отказа

Зависимости среднего значения  $m_x(t)$  и СКО  $\sigma_x(t)$  экстраполируются в область больших наработок (с увеличением наработки  $t$ ) [10]. После подстановки значений наработок  $t$  в выражения уравнений регрессий определяются величины среднего значения  $m_x(t)$  и СКО  $\sigma_x(t)$ . На основании полученных значений строятся графики плотности распределения контролируемых параметров [11].

Выход контролируемого параметра за допуск  $X_{\text{доп}}$  приводит к отказу объекта (рис. 2).

Вероятность отказа при заданной наработке  $t$  в случае распределения увеличивающегося контролируемого параметра по нормальному закону распределения:

$$F(t) = Q(t) = \int_{x_{\text{доп}}}^{x_{\text{ном}}} f(x) \cdot dx. \quad (2)$$

В случае распределения уменьшающегося контролируемого параметра по нормальному закону распределения с увеличением наработки вероятность отказа:

$$F(t) = Q(t) = \int_{x_{\text{ном}}}^{x_{\text{доп}}} f(x) \cdot dx, \quad (3)$$

где  $X_{\text{доп}}$  – допуск на величину контролируемого параметра;  $X_{\text{ном}}$  – номинальное значение параметра;  $f(x)$  – функция плотности распределения

контролируемого параметра;  $F(t)$  – функция распределения наработки объекта до отказа.

Функция вероятности безотказной работы  $P(t)$  определяется выражением

$$P(t) = 1 - Q(t), \quad (4)$$

где  $P(t)$  – вероятность безотказной работы объекта;  $Q(t)$  – вероятность отказа объекта.

С увеличением наработки объекта  $t$  вероятность его отказа возрастает, при этом вероятность безотказной работы уменьшается (рис. 3) [12].

Определение наработки, в течение которой с вероятностью  $\gamma$ , %, объект не отказывает (рис. 4).

$$f(t) = \frac{dF(t)}{dt}. \quad (5)$$

$$T = \int_0^{\infty} P(t) \cdot dt. \quad (6)$$

$$P(t_\gamma) = 1 - F(t_\gamma) = 1 - \int_0^{t_\gamma} f(t) \cdot dt = \frac{\gamma}{100}. \quad (7)$$

$$\lambda(t) = \frac{f(t)}{(1 - F(t))} = \frac{f(t)}{P(t)}. \quad (8)$$

$$\omega(t) = f(t) + \int_0^t \omega(\tau) \cdot f(t - \tau) \cdot d\tau. \quad (9)$$



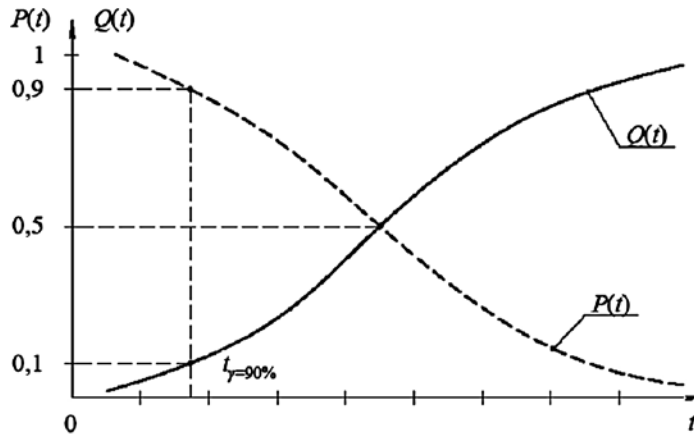
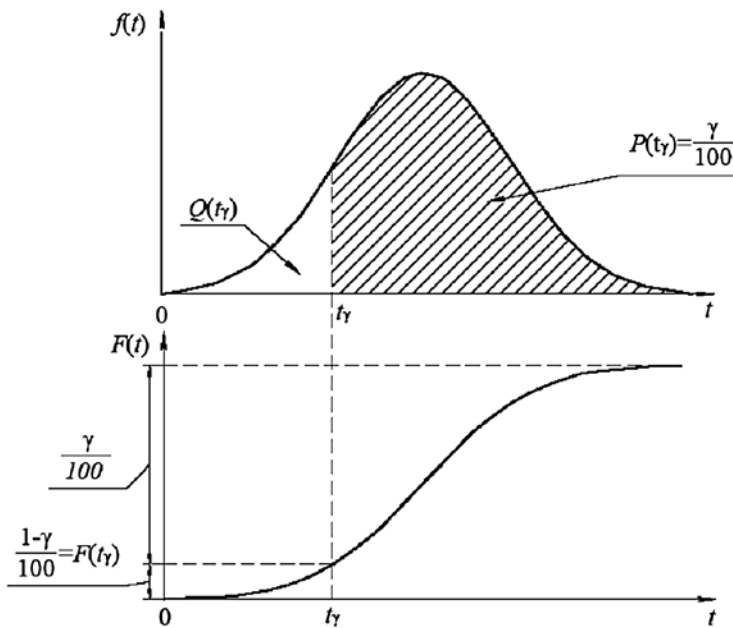

 Рис. 3. Функции  $Q(t)$  и  $P(t)$ 


Рис. 4. Гамма-процентная наработка объекта до его отказа

Расчет показателей  
по выборке наработок до отказа  
 $t_1, t_2, \dots, t_p, \dots, t_N$  объекта

Если при реализации полного плана испытаний на надежность  $[N, U, N]$  объектов будет получена полная выборка наработок до отказа всех  $N$  объектов, поставленных под наблюдение, то расчет показателей долговечности и безотказности будет определен; по

наработкам до отказа определяются с использованием одного из критериев проверки соответствия (Пирсона, Колмогорова – Смирнова или др.), вид закона распределения наработки до отказа и его числовые характеристики: математическое ожидание наработки до отказа  $m_t$  и дисперсия  $D_t$  (СКО  $\sigma_t = \sqrt{D_t}$ ); строятся графики функции плотности распределения  $f(t)$  и функции распределения  $F(t)$ ; по полученным  $f(t)$

и  $F(t) = Q(t)$  и  $P(t)$ , используя выражения (2)–(6), рассчитывают показатели долговечности и безотказности (функцию параметра потока отказов, среднюю наработку до отказа, гамма-процентный ресурс и функцию интенсивности отказов) [13].

#### Методы расчета показателей непараметрической надежности

Использование выборки наработок до отказа для расчета показателей безотказности

Применительно к невосстанавливаемым объектам для оценки показателей безотказности при наработке  $T$  часто используют план испытаний  $[N, U, T]$ . Исходной информацией в данном случае выступает выборка наработок до отказа  $t_i$  объемом из числа объектов  $r$ , отказавших в процессе своей работы. Для этого плана выборка наработок для  $N$  испытуемых объектов ограничена с правой стороны конечным числом испытаний  $T$  из-за отказа не всего числа

объектов, а только части. В результате чего количество не отказавших объектов составляет  $N-r$ .

Определить оценку вероятности отказа исследуемого объекта по окончании испытаний  $T$  можно на основании достоверной информации, полученной по итогу испытаний:

$$Q^*(T) = \frac{r}{N}. \quad (10)$$

Наработки до отказа  $r$  объектов после сведения их в вариационный ряд рассчитывают по рис. 5 и 6.

Интенсивность отказов в каждом интервале  $\lambda^*(t)$  вычисляется при делении периода испытаний  $T$  на  $k$  равных отрезков и подсчете числа отказов в каждом полученном диапазоне:

$$\lambda^*(t) = \frac{\Delta n}{n(t) \cdot \Delta t}, \quad (11)$$

где  $\Delta n$  – число отказов в указанном отрезке наработки  $\Delta t$ ;  $n(t)$  – число объектов в работоспособном состоянии к началу рассматриваемого периода.

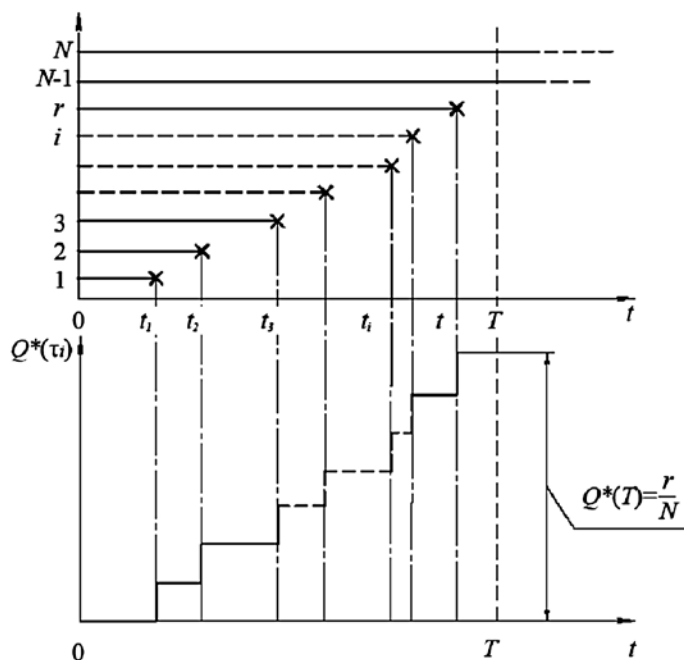
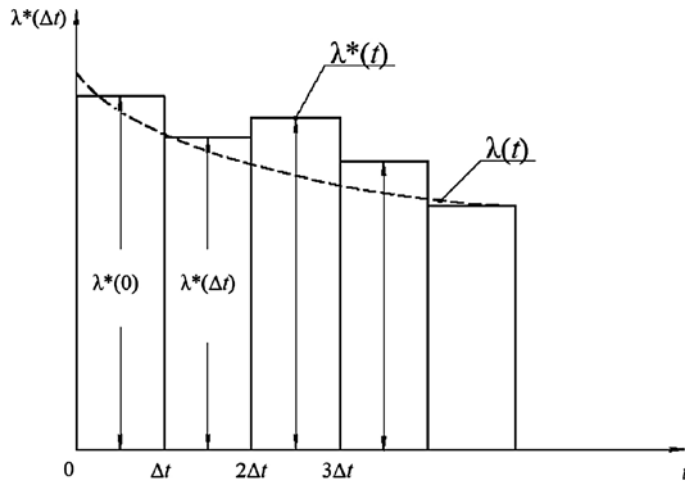


Рис. 5. Оценка вероятности отказа  $Q^*(t)$  исследуемого объекта по усеченной выборке данных наработок до отказа


 Рис. 6. Диаграмма интенсивности отказов объекта  $\lambda^*(t)$ 

Расчет показателей безотказности по выборке наработок между отказами

В процессе эксплуатации объектов отказавшие изделия могут заменяться новыми или восстановленными [12]. В этом случае применяется план испытаний  $[N, R, T]$ .

Совокупность моментов отказов  $t_1 = \tau_1; t_2 = \tau_1 + \tau_2; \dots; t_N = \tau_1 + \tau_2 + \dots + \tau_N$  является процессом восстановления.

где  $m(t)$  – количество отказов.

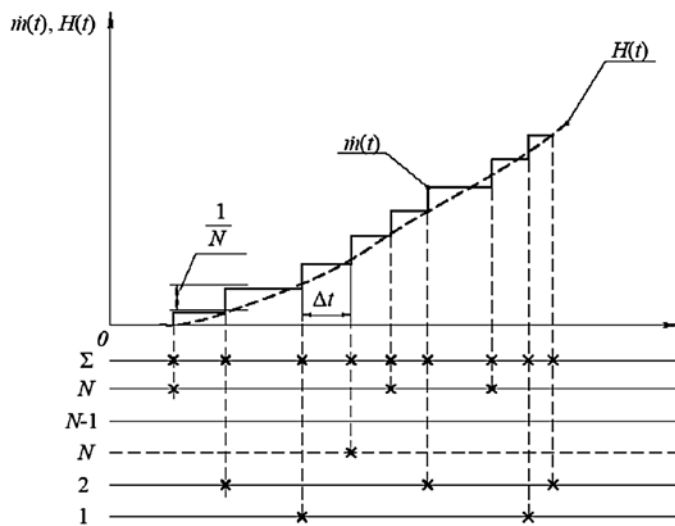
Для оценки среднего количества отказов объекта используют выражение:

$$\bar{m}(t) = \frac{1}{N} \sum_{i=1}^N m_i(t), \quad (13)$$

где  $m_i(t)$  – количество отказов  $i$ -го изделия за рассматриваемый период  $T$ .

$$H(t) = M(m(t)), \quad (12)$$

Представим  $\bar{m}(t)$  графически (рис. 7).


 Рис. 7. Функция восстановления  $H(t)$  объекта

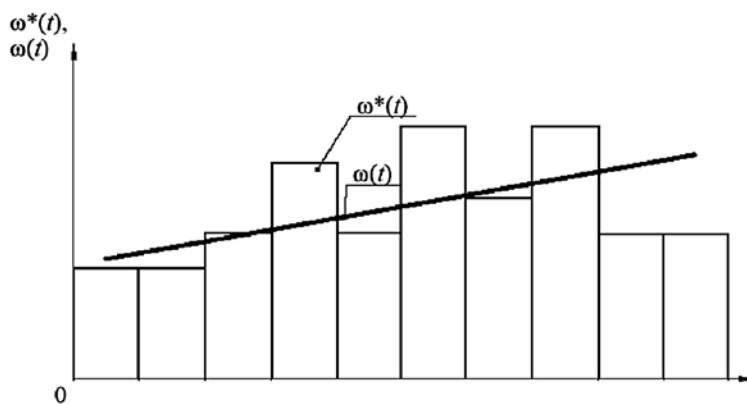


Рис. 8. Зависимость теоретического  $\omega(t)$  и эмпирического  $\omega^*(t)$  параметров потока отказов от наработки  $t$

$$H(t) = \lim_{N \rightarrow \infty} \sum_{i=1}^N \frac{m_i(t)}{N}. \quad (14)$$

После расчета  $H(t)$  находят величину, называемую параметром потока отказа:

$$\omega(t) = \frac{dH(t)}{dt}. \quad (15)$$

Далее строят зависимости эмпирического  $\omega^*(t)$  параметра потока отказов (рис. 8).

Наработка на отказ определяется на основании найденного в выражении (13) среднего значения

$$T^* = \frac{T}{\bar{m}(t)}. \quad (16)$$

По полученной функции  $\omega(t)$  (рис. 8) обратным решением интегрального уравнения (11) можно рассчитать функцию плотности распределения  $f(t)$ , по которой, в свою очередь, определяются функция распределения наработки объекта между отказами  $F(t)$  и функция вероятности безотказной работы

$P(t)$ . На основании найденных и построенных значений можно рассчитать остальные показатели безотказности и долговечности.

### Выводы

Рассмотренные статистические методы расчета показателей надежности при имеющейся информации об отказах объекта, в частности, выборке контролируемых параметров, позволяют прогнозировать наступление отказа.

В результате применения предложенных методов можно оценивать техническое состояние объекта, определяя его требуемые показатели безотказности и долговечности.

Расчет и анализ полученных показателей позволит выявлять предотказное состояние, эффективность эксплуатации объекта от проводимых мероприятий, а также решать вопросы по изменению структуры ремонтного цикла технических объектов. ■

### Литература

1. Воробьев А. А., Сметанин Р. С. Методика анализа надежности оборудования электровозов 2ЭС10 // Вестник УрГУПС, 2021. – № 1 (49). С. 28–39. ISSN 2079-0392.
2. Воробьев А. А., Горский А. В., Скребков А. В., Шутов Д. С. Расчет показателей надежности тягового подвижного состава ; Ч. 1. Расчет показателей надежности : учебное пособие. – М. : РУТ (МИИТ), 2020. – 165 с.
3. Шутов Д. С., Воробьев А. А. Анализ надежности колесных пар электропоездов в серии 81-740/741 «Русич». Электрооборудование: эксплуатация и ремонт. – 2021. – № 1 – С. 14–20. ISSN 2074-9635.

4. Воробьев А. А., Сметанин Р. С. Анализ износа бандажей колесных пар электровозов 2ЭС10 // Вестник УрГУПС, 2020. – № 2 (46). С. 13–17. ISSN 2079-0392.
5. Воробьев А. А., Горский А. В., Скребков А. В., Маяков Д. М. Расчет показателей надежности тягового подвижного состава ; Ч. 2: Расчет показателей надежности сложных систем : учебное пособие. – М. : РУТ (МИИТ), 2020. – 88 с.
6. Маяков Д. М. Определение вида и параметров закона распределения толщины бандажа колесных пар тепловозов серии 2ТЭ25КМ при фиксированной наработке // Современные тенденции развития науки и мирового сообщества в эпоху цифровизации : м-лы III Международн. научн.-практ. конф. – М. : ИКРО, 2021. С. 109–113. ISBN 978-5-93856-474-9.
7. Воробьев А. А., Шутов Д. С., Николашин М. В. Расчет и анализ показателей долговечности колесных пар электропоездов Московского метрополитена // Вестник УрГУПС, 2021. – № 4 (52). С. 26–34. ISSN 2079-0392.
8. Лакин И. К., Аболмасов А. А., Мельников В. А. Применение статистических методов при диагностировании тепловозов // Известия Транссиба, 2015. – № 1 (21). С. 20–29. ISSN 2220-4245.
9. Кольцов Ю. А., Скребков А. В. Оценка эксплуатационных показателей безотказности оборудования электровозов // Известия Транссиба, 2018. – № 2 (34). С. 29–35. ISSN 2220-4245.
10. Воробьев А. А., Скребков А. В. Оценка ресурса оборудования ТПС // Мир транспорта, 2012. – № 5. С. 38–42. ISSN 1992-3252.
11. Воробьев А. А., Четвергов В. А., Шевцов С. В. Надежность подвижного состава : Учебник. – М. : ФГБУ ДПО «Учебно-методический центр по образованию на железнодорожном транспорте», 2017. – 301 с. ISBN 978-5-89035-978-0.
12. Воробьев А. А., Горский А. В., Козырев А. А. Информационные ресурсы для методики оценки показателей надежности тягового подвижного состава. Научно-техническая информация. Сер. 2 : Информационные процессы и системы, 2019. – № 3. С. 32–36. ISSN 0548-0027.
13. Гапанович В. А., Киселев В. И., Лакин И. К. Эксплуатация и техническое обслуживание подвижного состава. – М. : Ирис-групп, 2012. – 576 с. ISSN 1813-9108.

## References

1. Vorobyov A. A., Smetanin R. S. Methodology for analyzing the reliability of electric locomotives 2ES10 equipment // Herald of USURT, [Metodika analiza nadezhnosti oborudovaniya ehlektrovozov 2EhS10 // Vestnik UrGUPS] 2021. – № 1 (49). Pp. 28–39. ISSN 2079-0392.
2. Vorobyov A. A., Gorsky A. V., Skrebkov A. V., Shutov D. S. Calculation of traction rolling stock reliability indicators; Part 1. Calculation of reliability indicators : teaching aid. [Raschet pokazatelej nadezhnosti tyagovogo podvizhnogo sostava ; Ch. 1. Raschet pokazatelej nadezhnosti : uchebnoe posobie] – M. : RUT (MIIT), 2020. – 165 p.
3. Shutov D. S., Vorobyov A. A. Reliability analysis of wheel pairs of electric trains in the series 81-740/741 «Rusich». Electrical equipment: operation and repair. [Analiz nadezhnosti kolesnykh par ehlektropoezdov v serii 81-740/741 «Rusich». EHlektrooborudovanie: ehkspluatatsiya i remont №1 2021] – 2021. – № 1. – Pp. 14–20. ISSN 2074-9635.
4. Vorobyov A. A., Smetanin R. S. Wear analysis of wheelset bands of electric locomotives 2ES10 // Herald of USURT, [Analiz iznosa bandazhej kolesnykh par ehlektrovozov 2EhS10 // Vestnik UrGUPS] 2020. – № 2 (46). Pp. 13–17. ISSN 2079-0392.
5. Vorobyov A. A., Gorsky A. V., Skrebkov A. V., Mayakov D. M. Calculation of traction rolling stock reliability indicators ; Part 2: Calculation of reliability indicators of complex systems : teaching aid. [Raschet pokazatelej nadezhnosti tyagovogo podvizhnogo sostava ; Ch. 2: Raschet pokazatelej nadezhnosti slozhnykh sistem : uchebnoe posobie] – M. : RUT (MIIT), 2020. – 88 p.
6. Mayakov D. M. Determination of the type and parameters of the distribution law of the bandage thickness of 2TE25KM series diesel locomotives with fixed operating time // Modern trends in the development of science and the world community in the era of digitalization : Proceedings of III International Scientific-practical conf. [Opredelenie vida i parametrov zakona raspredeleniya tolshhiny bandazha kolesnykh par teplovozov serii 2TEh25KM pri fiksirovannoj narabotke // Sovremennye tendentsii razvitiya nauki i

- mirovogo soobshhestva v ehpokhu tsifrovizatsii : materialy III Mezhdunarodnoj nauchno-prakticheskoy konferentsii] – M. : IKRO, 2021. Pp. 109–113. ISBN 978-5-93856-474-9.
7. Vorobyov A. A., Shutov D. S., Nikolashin M. V. Calculation and analysis of durability indicators of wheel sets of electric trains of the Moscow Metro // Herald of USURT, [Raschet i analiz pokazatelej dolgovechnosti kolesnykh par ehlektropoezdov Moskovskogo metropolitena // Vestnik UrGUPS] 2021. – № 4 (52). Pp. 26–34. ISSN 2079-0392.
  8. Lakin I. K., Abolmasov A. A., Melnikov V. A. Application of statistical methods in the diagnosis of diesel locomotives // Izvestiya of Transsib, [Primenenie statisticheskikh metodov pri diagnostirovanii teplovozov // Izvestiya Transsiba] 2015. – № 1 (21). Pp. 20–29. ISSN 2220-4245.
  9. Koltsov Yu. A., Skrebkov A. V. Evaluation of operational reliability indicators of electric locomotives equipment // Izvestiya of Transsib, [Otsenka ehkspluatatsionnykh pokazatelej bezotkaznosti oborudovaniya ehlektrovozov // Izvestiya Transsiba] 2018. – № 2 (34). Pp. 29–35. ISSN 2220-4245.
  10. Vorobyov A. A., Skrebkov A. V. Assessment of the resource of TRS equipment // World of transport, [Otsenka resursa oborudovaniya TPS // Mir transporta] 2012. – No. 5. Pp. 38–42. ISSN 1992-3252.
  11. Vorobyov A. A., Chetvergova V. A., Shevtsov S. V. Reliability of the rolling stock : Textbook. – M. : FGBI DPO «Educational and Methodological Center for Education in railway transport», [Nadezhnost' podvizhnogo sostava : Uchebnik. – M. : FGBU DPO «Uchebno-metodicheskij tsentr po obrazovaniyu na zheleznodorozhnom transporte»] 2017. – 301 p. ISBN 978-5-89035-978-0.
  12. Vorobyov A. A., Gorsky A. V., Kozyrev A. A. Information resources for methods of assessing the reliability indicators of the traction rolling stock. Scientific and Technical Information. Series 2 : Information Processes and Systems, [Informatsionnye resursy dlya metodiki otsenki pokazatelej nadezhnosti tyagovogo podvizhnogo sostava. Nauchno-tehnicheskaya informatsiya. Ser. 2 : Informatsionnye protsessy i sistemy] 2019. – No. 3. C. 32–36. ISSN 0548-0027.
  13. Gapanovich V. A., Kiselev V. I., Lakin I. K. Operation and maintenance of rolling stock. [Ehkspluatatsiya i tekhnicheskoe obsluzhivanie podvizhnogo sostava] – Moscow: Iris-group, 2012. – 576 p. ISSN 1813-9108.

*Статья сдана в редакцию 4 марта 2022 года*

УДК 51.74: 629.423.32

*В. Г. Скорик, Е. В. Буняева, Д. А. Супрун*

## Рабочее диагностирование тиристорных плеч выпрямительно-инверторного преобразователя электровоза переменного тока

UDC 51.74: 629.423.32

*V. G. Skorik, E. V. Buneyeva, D. A. Suprun*

## Working diagnostics of thyristor arms of a rectifier-inverter converter of an ac electric locomotive

### Аннотация

В статье рассмотрен принцип рабочего диагностирования в режиме реального времени выпрямительно-инверторного преобразователя электровоза переменного тока в случае отказа управления плечом. Предложенный принцип основан на гармоническом анализе кривой выпрямленного напряжения и выявлении в нем относительного содержания отдельных гармоник, отсутствующих при нормальном режиме. Для повышения надежности определения поврежденных плеч предложено использовать

диагностический критерий, основанный на оценке изменения результирующей энергоотдачи преобразователя на определенных интервалах периода сетевого напряжения. За счет совместного применения нескольких критериев достигается выявление повреждения с необходимым уровнем чувствительности. Для каждого критерия рассчитаны две группы граничных значений, за счет которых реализуется избирательность определения отказавшего плеча. Представлено обоснование выбранных граничных условий, отличающих аварийный

режим от нормального. Создана имитационная модель в пакете программ MatLAB Simulink, позволяющая исследовать возможности проведения диагностирования выпрямительно-инверторного преобразователя для различных условий его работы. Приведены результаты имитационного моделирования, подтверждающие правильность предложенных решений. Указано, что предлагаемый способ диагностирования целесообразно применять вместе с альтернативным алгоритмом управления преобразователем, обеспечивающим

*Статья рекомендована к опубликованию Н. О. Фроловым, канд. техн. наук, доцентом Уральского государственного университета путей сообщения E-mail: NFrolov@usurt.ru.*

**Виталий Геннадьевич Скорик**, канд. техн. наук, зав. кафедрой «Электротехника, электроника и электромеханика» Дальневосточного государственного университета путей сообщения; Хабаровск, Россия. E-mail: skorik@festu.khv.ru. ORCID 0000-0002-9273-783X.

**Екатерина Викторовна Буняева**, канд. техн. наук, доцент; кафедра «Электротехника, электроника и электромеханика» Дальневосточного государственного университета путей сообщения; Хабаровск, Россия. E-mail: vitsk@inbox.ru. ORCID 0000-0001-9502-8505.

**Демьян Андреевич Супрун**, преподаватель; кафедра «Электротехника, электроника и электромеханика» Дальневосточного государственного университета путей сообщения; Хабаровск, Россия. E-mail: suprun.demyan@mail.ru. ORCID 0000-0002-3442-3189.

© В. Г. Скорик, Е. В. Буняева, Д. А. Супрун, 2022

*The article is recommended for publishing by N. O. Frolov, Candidate of Technical Sciences, Associate Professor of the Ural State University of Railway Transport. E-mail: NFrolov@usurt.ru.*

**Vitaly Gennadievich Skorik**, Candidate of Technical Sciences, Head of the Department of Electrical Engineering, Electronics and Electromechanics of the Far Eastern State University of Railway Transport; Khabarovsk, Russia. E-mail: sko-rik@festu.khv.ru. ORCID 0000-0002-9273-783X.

**Ekaterina Viktorovna Bunyaeva**, Candidate of Technical Sciences, Associate Professor, Department of Electrical Engineering, Electronics and Electromechanics, Far Eastern State University of Railway Transport; Khabarovsk, Russia. E-mail: vitsk@inbox.ru. ORCID 0000-0001-9502-8505.

**Demyan Andreyevich Suprun**, Lecturer, Department of Electrical Engineering, Electronics and Electromechanics, Far Eastern State University of Railway Transport; Khabarovsk, Russia. E-mail: suprun.demyan@mail.ru. ORCID 0000-0002-3442-3189.

© V. G. Skorik, E. V. Bunyaeva, D. A. Suprun, 2022



работоспособность электрической части электровоза в случае отказа одного из плеч.

**Ключевые слова:** электровоз переменного тока, выпрямительно-инверторный преобразователь, система диагностирования, высшие гармоники, потеря управления.

DOI: 10.20291/2079-0392-2022-2-63-73

#### Abstract

The article considers the principle of working diagnostics in real time of a rectifier-inverter converter of an AC electric locomotive in case of shoulder control failure. The proposed principle is based on the harmonic analysis of the rectified voltage curve and identification of the relative content of individual

harmonics that are missing in normal mode. To increase reliability of detection of the damaged shoulders, it is proposed to use a diagnostic criterion based on assessment of changes in the resulting energy output of the converter at certain intervals of the mains voltage period. Due to the joint application of several criteria, damage detection with the necessary level of sensitivity is achieved. For each criterion, two groups of boundary values are calculated, due to which the selectivity of determining the failed shoulder is realized. The justification of the selected boundary conditions that distinguish the emergency mode from the normal one is presented. A simulation model has been created in the MatLAB Simulink software

package, which allows exploring the possibilities of diagnosing a rectifier-inverter converter for various operating conditions. The results of simulation modeling confirming correctness of the proposed solutions are presented. It is indicated that the proposed diagnostic method should be used together with the alternative converter control algorithm that ensures operability of the electric part of the electric locomotive in case of failure of one of the arms.

**Keywords:** electric locomotive, rectifier-inverter converter, diagnostic system, higher harmonics, loss of control.

DOI: 10.20291/2079-0392-2022-2-63-73

При эксплуатации электровозов переменного тока, в которых применяются выпрямительно-инверторные преобразователи (ВИП) для плавного регулирования напряжения на тяговых двигателях (ТД) (рис. 1), может быть потеряно управление одним

из тиристорных плеч. В таком режиме преобразователь не может в полном объеме выполнять функции выпрямителя, в рамках штатного алгоритма управления [1–7].

Чтобы скорректировать управляющие воздействия в случае неотпирания одного из тиристорных плеч, необходимо определить плечо, не принявшее токовую нагрузку. Это позволит адаптировать алгоритм управления ВИП таким образом, чтобы минимизировать негативное влияние возникшей неисправности на режим работы ТД и, как следствие, величину тягового усилия.

Поскольку система диагностирования должна функционировать как на существующих моделях электровозов, так и на проектируемых, изменения, вносимые в конструкцию, должны быть минимальными. При разработке системы необходимо делать упор на сокращение времени, затрачиваемого на выявление повреждения, так как оперативное определение поврежденного плеча позволит своевременно применить адаптивное управление преобразователем.

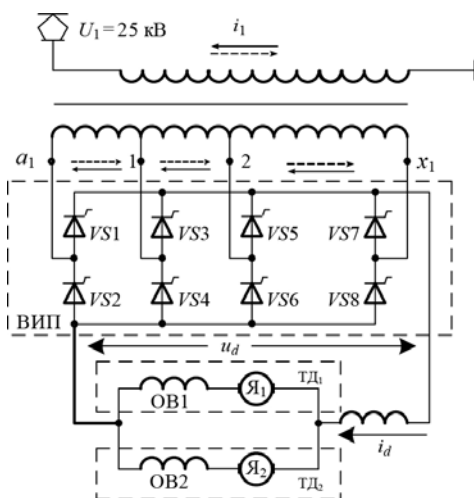


Рис. 1. Упрощенная схема силовых цепей электровоза переменного тока

В качестве основных анализируемых сигналов выбраны ток и напряжение на выводах ВИП. Это минимальный набор сигналов, он достаточен для оценки электромагнитных процессов и позволяет косвенно контролировать исправность силовых и измерительных цепей. Контролируемые сигналы обрабатываются функциональными блоками системы диагностирования, реализующими задачи измерения (измерительный блок), математических вычислений (вычислительный блок), предварительного пуска системы (пусковой орган) и конечного выбора поврежденного элемента (избирательный орган).

В основе принципа построения системы диагностирования тиристорных плеч лежит выбор критериев, наиболее контрастно отличающих параметры нормального эксплуатационного режима от аварийного. При превышении каким-либо критерием пороговой величины, указывающей на отклонение работы ВИП от нормального режима, пусковой орган формирует сигналы готовности системы диагностирования к срабатыванию. Сигналы со всех пусковых органов обрабатываются логическим избирательным блоком, который при заданной комбинации пусковых сигналов формирует выходное воздействие системы диагностирования.

В результате проведенного анализа электромагнитных процессов в цепях ВИП определены критерии, указывающие на факт аварийного режима: уровень нечетных гармонических составляющих в кривой выпрямленного напряжения, существенное изменение энергии, передаваемой через ВИП в течение одного периода сетевого напряжения.

Нечетные гармоники выбраны в качестве показателя наличия неисправности в связи с тем, что в нормальном режиме в кривой выпрямленного напряжения они практически отсутствуют из-за ее осевой симметрии [8]. При повреждении любого тиристорного плеча из всего спектра нечетных гармоник наиболее ярко выражено изменение 1,

3 и 5 гармонических составляющих [9]. Использование этих гармоник исключает влияние на стабильность работы системы диагностирования составляющих ряда Фурье более высокого порядка, вызванных коммутационными и послекоммутационными свободными колебаниями напряжения.

Для исследования применимости различных критериев при построении системы диагностирования в MatLAB Simulink создана имитационная модель электрической части электровоза переменного тока с возможностью оценки влияния различных повреждений на электромагнитные процессы, протекающие в ВИП.

На рис. 2 представлены диаграммы изменения амплитуды рассматриваемых гармоник напряжения  $u_d(t)$  в нормальном (при  $t < 0,105$  с) и в аварийном (при  $t > 0,105$  с) режимах. Диаграммы построены как для идеализированной системы без учета искажений кривой напряжения (рис. 2, а), так и для реальной, когда кривая выпрямленного напряжения искажается из-за нелинейных элементов и распределенной емкости в системе «тяговая сеть — электровоз». Результаты моделирования случая с искажением формы сетевого напряжения не только работой выпрямителя рассматриваемого электровоза, но и работой ВИП другого локомотива, находящегося на том же участке тяговой сети, представлены на рис. 2, б.

Результаты моделирования показали, что наличие высокочастотных колебаний, возникающих при работе нескольких выпрямителей, не оказывает существенного влияния на уровни контролируемых (1, 3 и 5-й) гармоник в цепи выпрямленного тока.

Расчетная выборка для анализа гармонического состава представляет собой массив мгновенных значений измеренных величин за период сетевого напряжения. Для расчетной выборки  $k$ -я составляющая ряда Фурье выпрямленного напряжения  $u_d(t)$  определяется по выражению:

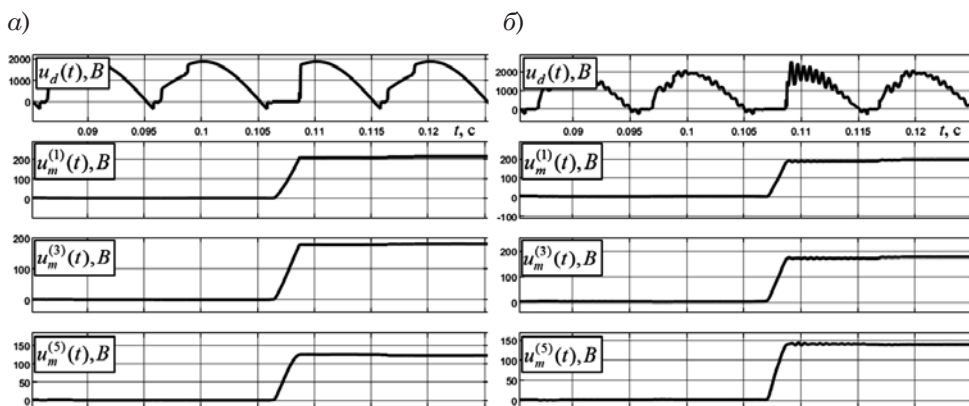


Рис. 2. Динамика амплитуд нечетных гармоник в кривой выпрямленного напряжения при синусоидальной форме напряжения тяговой сети (а); при наличии искажений напряжения (б)

$$u_m^{(k)} = \sqrt{\left( \frac{2}{N} \sum_{n=1}^N [u_n \cos(k(\omega t_n))] \right)^2 + \left( \frac{2}{N} \sum_{n=1}^N [u_n \sin(k(\omega t_n))] \right)^2},$$

где  $u_n$  – мгновенное значение выпрямленного напряжения;  $t_n$  – момент времени фиксации мгновенного значения напряжения;  $N$  – количество полученных значений за период сетевого напряжения (первой гармоники).

Постоянная составляющая ряда Фурье определяется по формуле:

$$u_m^{(0)} = \frac{1}{N} \sum_{n=1}^N [u_n].$$

Так как частота напряжения в тяговой сети может отличаться от 50 Гц, для точности расчетов необходимы контроль и корректировка частоты первой гармоники, чтобы избежать погрешности в вычислениях. Это позволит определить границы срабатывания системы диагностирования таким образом, чтобы взаимная работа пусковых органов обеспечивала требуемую избирательность (селективность) поврежденного плеча ВИП.

Зависимости отношения амплитуд пятой гармоники выпрямленного напряжения к нулевой гармонике от величины угла фазового регулирования  $\alpha_p$  представлены на рис. 3. Они получены

для аварийных режимов, связанных с потерей управления плечом VS1 или VS3 (VS2 или VS4 в другом полупериоде напряжения) на четвертой зоне регулирования [10]. Прямыми линиями обозначены граничные значения критерия  $U^{(5)}/U^{(0)}$  для различных поврежденных плеч. Области реагирования пускового органа системы на эти виды повреждений обозначены штриховкой, область несрабатывания системы не заштрихована.

В предлагаемой системе используются два граничных условия для работы:  $U^{(5)}/U^{(0)} >>$  – значение, разделяющее области срабатывания по уровню контролируемых величин при различных неисправностях (грубый порог срабатывания),  $U^{(5)}/U^{(0)} >$  – минимальное значение, необходимое для выявления факта неисправности и отстройки от нормального режима (порог повышенной чувствительности).

Из рис. 3 видно, что порог  $U^{(5)}/U^{(0)} >>$  при малых углах регулирования  $\alpha_p$  не обеспечивает правильного определения неисправного плеча. Чтобы избирательность сохранялась, нужно ввести дополнительный критерий. Таким критерием может служить отношение амплитудного значения первой гармоники выпрямленного напряжения к нулевой  $U^{(1)}/U^{(0)}$  (рис. 4). Этот критерий

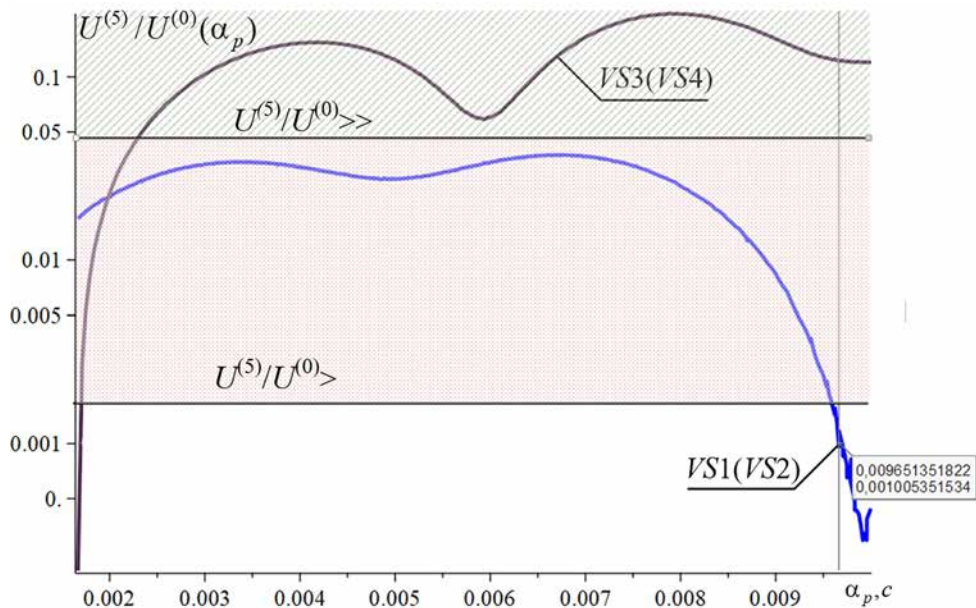


Рис. 3. Зависимость  $U^{(5)}/U^{(0)}$  выпрямленного напряжения от угла фазового регулирования в случае потери управления одним из плеч ВИП

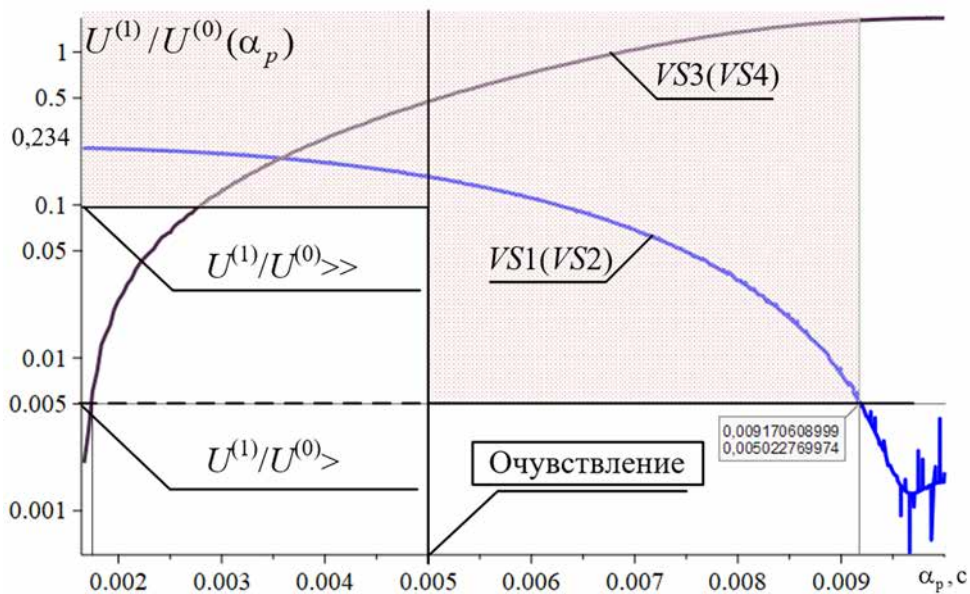


Рис. 4. Зависимость  $U^{(1)}/U^{(0)}$  выпрямленного напряжения от угла фазового регулирования в случае потери управления одним из плеч ВИП

позволяет явно разграничить поврежденные плечи на малых углах фазового регулирования.

Чтобы задействовать критерий  $U^{(1)}/U^{(0)}$  с большей эффективностью, его пусковой орган выполнен с изменяемым порогом срабатывания. Для этого, если угол фазового регулирования  $\alpha_p$  превышает  $90^\circ$  (5 мс от начала очередного полупериода), порог срабатывания по данному критерию снижается до минимального, тем самым осуществляя повышение чувствительности (очувствление) пускового органа.

Гармонический анализ, обладая достаточно высокой степенью чувствительности к повреждениям, не должен выступать единственным определяющим критерием при оценке состояния ВИП. Поскольку задача преобразователя – обеспечение питания тяговых двигателей, то в качестве основного диагностического признака повреждения должен выступать критерий, основанный на оценке величины энергии, передаваемой через ВИП в цепь тяговых двигателей. Такой подход позволит вводить корректирующие воздействия только в том случае, когда отказ плеча ощутимо влияет на тяговые параметры электровоза. Срабатывание же системы исключительно по гармоническому составу выпрямленного напряжения рационально использовать для предупредительного информирования локомотивной бригады о возможной неисправности.

В процессе эксплуатации электровоза величина передаваемой энергии может находиться в широком диапазоне значений в зависимости от профиля пути и зоны регулирования напряжения на двигателях. Поэтому в качестве основного критерия рационально использовать отношение интеграла мощности, полученного за контрольный полупериод, к аналогичной величине за предшествующий полупериод. Таким образом, оценивается не сама величина энергии, а ее изменение в относительных единицах. Аналитическое выражение для расчета выбранного критерия:

$$dE(\frac{1}{2})p = \frac{\int_{\frac{\pi n}{\pi n}}^{\frac{\pi(n+1)}{\pi n}} u_d(t) \cdot i_d(t) dt}{\int_{\frac{\pi(n-1)}{\pi n}}^{\frac{\pi n}{\pi n}} u_d(t) \cdot i_d(t) dt}.$$

Однако данный критерий обладает недостаточной чувствительностью при малых углах регулирования  $\alpha_p$  при отказе плеча, на который подаются импульсы управления с фазой  $\alpha_{03}$  (например, VS3 или VS4 на 4-й зоне регулирования). При таком повреждении целесообразно использовать модифицированный энергетический критерий, заключающийся в расчете относительной величины энергии за четверть периода сетевого напряжения. В этом случае различия относительных величин энергии для нормального и аварийного режимов значительно возрастают. Аналитическое выражение для расчета модифицированного энергетического критерия:

$$dE(\frac{1}{4})p = \frac{\int_{\frac{\pi(n-1/2)}{\pi n}}^{\frac{\pi(n+1/2)}{\pi n}} u_d(t) \cdot i_d(t) dt}{\int_{\frac{\pi(n-1)}{\pi n}}^{\frac{\pi(n-1/2)}{\pi n}} u_d(t) \cdot i_d(t) dt}.$$

На рис. 5 изображены функция энергии  $E(t)$  за полупериод питающего напряжения при появлении отказа плеча VS3 (VS4) и временные диаграммы величин относительных значений энергии за полупериод ( $dE(\frac{1}{2})p$ ) и четверть периода ( $dE(\frac{1}{4})p$ ) сетевого напряжения.

Применение критерия  $dE(\frac{1}{4})p$  полноценно невозможно для работы системы диагностирования в условиях потери управления плечом, момент отпирания которого определяется углом  $\alpha_p$  (например, VS1 или VS2 на 4-й зоне регулирования). Поэтому оба энергетических критерия ( $dE(\frac{1}{2})p$  и  $dE(\frac{1}{4})p$ ) необходимо использовать в зависимости от конкретных условий (вида повреждения и величины  $\alpha_p$ ).

Рассмотренные критерии в большей степени применимы для повреждения плеч VS1 (VS2) и VS3 (VS4). Потеря же управления плечом VS7 (VS8) облада-



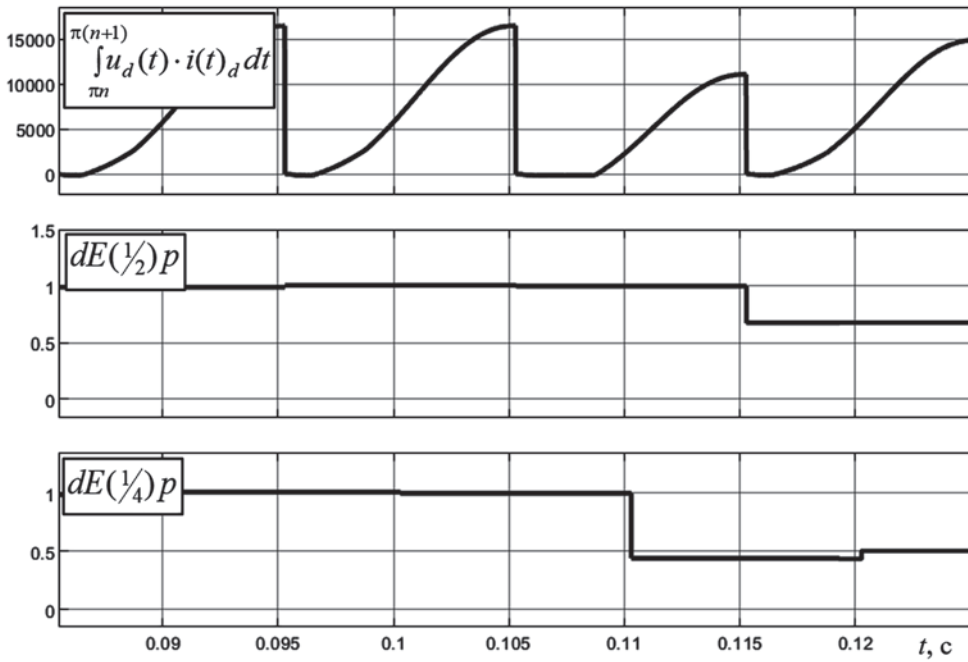


Рис. 5. Временная диаграмма относительной величины энергии  $dE(\frac{1}{2})p$  и  $dE(\frac{1}{4})p$  при потере управления плечом ВИП

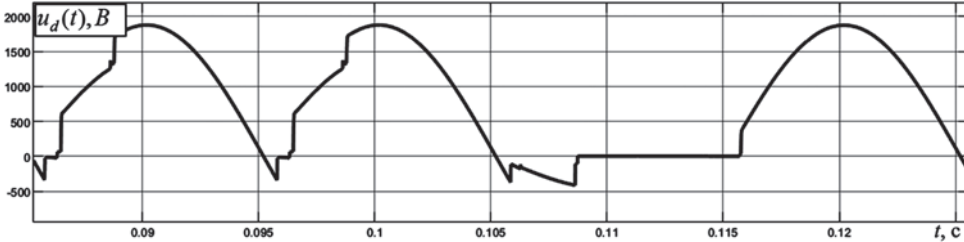


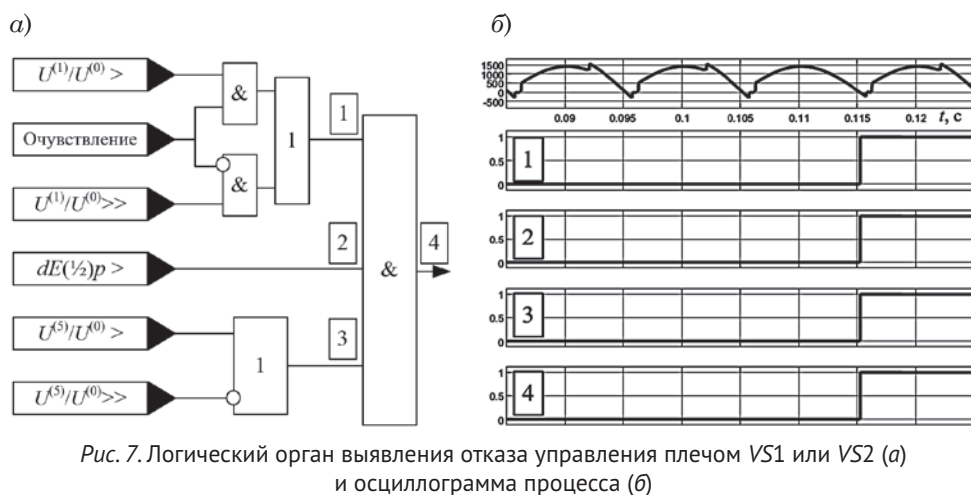
Рис. 6. Кривая выпрямленного напряжения при потере управления плечом VS7 или VS8 на 4-й зоне регулирования

ет отличительным признаком, заключающимся в нарушении штатной очередности сетевой и фазовой коммутации (рис. 6). Вследствие этого возникает резкое изменение интегрированного значения отрицательной составляющей напряжения  $u_d(t)$  за последующий полупериод относительно предшествующего.

В данной ситуации необходимо осуществлять контроль параметра  $u_p(t)$ , который математически можно определить из выражения:

$$u_d(t) = \frac{\int_{\alpha_p + \pi(n-1)}^{\alpha_p + \pi n} u_d(t) dt}{\int_{\pi(n-1)}^{\pi n} u_d(t) dt} \Big| \text{ для } u_d(t) < 0.$$

Исходя из принципа действия рассмотренных критериев для каждого повреждения сформированы избирательные органы в виде логических блоков. На рис. 7, а представлена схема, обеспечивающая избирательное срабатывание при потере управления плечом VS1 (VS2). Для срабатывания этого

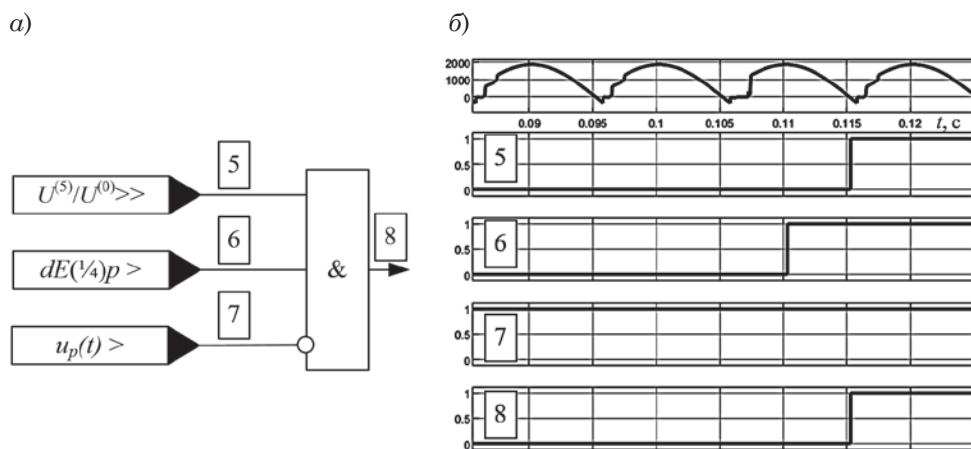


логического блока необходимо, чтобы сработал пусковой орган по гармоническому критерию  $U^{(5)}/U^{(0)}$  и  $U^{(1)}/U^{(0)}$  в совокупности со снижением относительной величины энергии за полупериод (рис. 7, б). В случае повреждения плеча VS3 (VS4) схема блокируется из-за превышения уровня гармонического критерия по пятой гармонике порога  $U^{(5)}/U^{(0)} >>$ .

Пусковой орган для селективного выявления повреждения плеча VS3 (VS4) (рис. 8, а) срабатывает при следующих условиях: превышение порога небаланса величины выделяемой энергии за  $1/4$  периода напряжения,

фиксация уровня пятой гармоники выше  $U^{(5)}/U^{(0)} >>$  и отсутствие срабатывания органа  $u_p(t)$ , характерного для повреждения VS7 (VS8) (рис. 8, б).

Несрабатывание этого органа при повреждении плеча VS1 (VS2) обеспечивается за счет выбранного порога пуска по критерию  $U^{(5)}/U^{(0)} >>$ . При отказе плеча VS7 (VS8) гармонический состав может находиться в зоне срабатывания критерия  $U^{(5)}/U^{(0)}$ , поэтому блокировка осуществляется при несрабатывании по критерию  $u_p(t)$ . То есть даже при возникновении условий срабатывания по энергии и гармоническому критерию для окончательного принятия решения





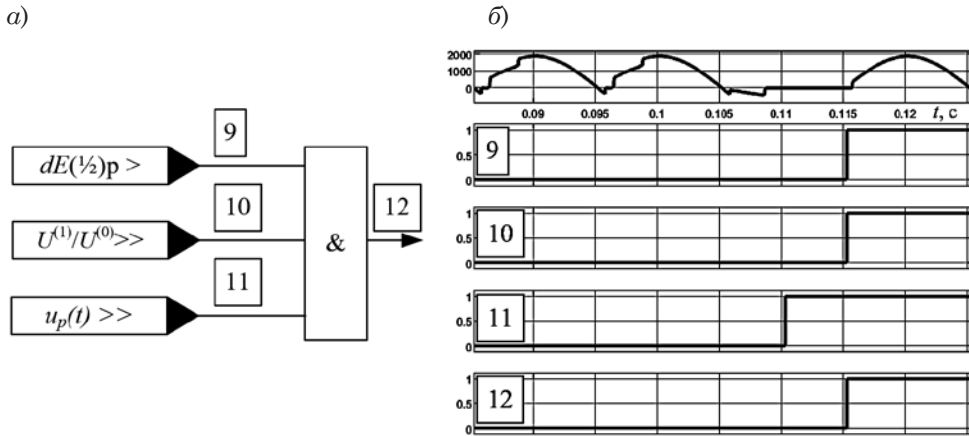


Рис. 9. Логический орган выявления отказа управления плечом VS7 или VS8 (а) и осциллограмма процесса (б)

необходимо получить подтверждение, что отсутствуют признаки, характерные для отказа VS7 (VS8).

При пропуске полупериода плечом VS7 (VS8) задействуются наиболее грубые пороги пуска и критерий  $u_p(t)$ , срабатывающий при характерных для такого повреждения искажениях кривой выпрямленного напряжения. Логическая схема, соответствующая этим условиям, дана на рис. 9.

Все представленные пусковые органы однозначно выявляют пару плеч, одно из которых неисправно. А чтобы идентифицировать конкретное поврежденное плечо из этой пары, необходимо совместить момент срабатывания пускового органа с полярностью сетевого напряжения.

### Заключение

Полученные результаты свидетельствуют о возможности селективного

определения плеча ВИП, управление которым потеряно вследствие нарушений в цепях управления. Выбор сигналов является минимально-достаточным с точки зрения подключения датчиков в существующие электрические цепи. Предложенные критерии оценки основаны на использовании относительных величин контролируемых сигналов, что позволяет задействовать алгоритм на всех зонах регулирования напряжения без существенных изменений порогов срабатывания.

Предложенный способ определения неисправности целесообразно применять вместе с алгоритмом альтернативного управления преобразователем, позволяющим адаптировать систему управления преобразователем так, чтобы минимизировать последствия от выявленной неисправности и, по возможности, сохранить тяговые характеристики электровоза. ■

### Литература

1. Семченко В. В., Лакин И. К., Чмилев И. Е. Эксплуатация и техническое обслуживание электронных систем управления электровозов переменного тока. Красноярск : ДЦВ Красноярской железной дороги. 2010. 72 с.
2. Устинов Р. И., Мельниченко О. В. Определения пропусков импульсов управления с использованием сигналов датчиков угла коммутации // Транспортная инфраструктура Сибирского региона. 2018. Т. 2. С. 346–350.
3. Yang S., Bryant A., Mawby P., Xiang D., Ran L., Tavner P. An Industry-Based Survey of Reliability in Power Electronic Converters // IEEE Transactions on Industry Applications. № 47. P. 1441–1451.

4. Способ предаварийной диагностики оборудования электровоза : пат. 2379205 Рос. Федерация. № 2008132577/11 ; заявл. 06.08.2008 ; опубл. 20.01.2010. Бюл. № 2.
5. Vlashevskii S., Buzmakova L., Blazhnov A. Increasing The Reliability Of Reversible Converters Of Ac Electric Locomotives // *Advances in Intelligent Systems and Computing*. 2020. Т. 1115 AISC. P. 321–328.
6. Buzmakova L. V., Vlashevskii S. V., Ovseichik S. Z. A Method Of Diagnosing Reversible Converters Of Alternating Current Electric Locomotives // *Russian Electrical Engineering*. 2016. Т. 87. № 2. P. 80–83.
7. Бузмакова Л. В., Власьевский С. В. Принципы построения системы диагностики выпрямительно-инверторных преобразователей электровозов переменного тока с использованием метода параметрической идентификации объекта // *Электроника и электрооборудование транспорта*. 2008. № 1. С. 45–47.
8. Власьевский С. В., Скорик В. Г., Супрун Д. А. Математическая модель для исследования электромагнитных процессов при аварийных режимах силового преобразователя электровоза переменного тока // *Эксплуатация и обслуживание электронного и микропроцессорного оборудования тягового подвижного состава / Труды Всеросс. научн.-практ. конф. с международным участием : сб. науч. тр. под ред. И. К. Лакина*. Красноярск, 2020. С. 184–189.
9. Власьевский С. В., Скорик В. Г., Супрун Д. А., Буняева Е. В., Блажнов А. И. Система определения повреждений в силовом преобразователе электровоза переменного тока в режиме тяги // *Ученые записки Комсомольского-на-Амуре государственного технического университета*. 2020. № 5 (45). С. 71–77.
10. Электровоз магистральный 2ЭС5К (ЗЭС5К) «Ермак» : руководство по эксплуатации. ИДМБ.661142.009РЭ. Новочеркасск : НЭВЗ, 2004.

#### References

1. Semchenko V. V., Lakin I. K., Chmylev I. E. Operation and maintenance of electronic control systems of AC electric locomotives. Krasnoyarsk : Krasnoyarsk railway. [Ehkspluatatsiya i tekhnicheskoe obsluzhivanie ehlektronnykh sistem upravleniya ehlektrovozov peremennogo toka. Krasnoyarsk : DTSV Krasnoyarskoj zheleznoj dorogi] 2010. 72 p.
2. Ustinov R. I., Melnichenko O. V. Detection of control pulse passes using switching angle sensor signals // *Transport infrastructure of the Siberian region. [Opredeleniya propuskov impul'sov upravleniya s ispol'zovaniem signalov datchikov ugla kommutatsii]* // *Transportnaya infrastruktura Sibirskogo regiona*] 2018. Vol. 2. pp. 346–350.
3. Yang S., Bryant A., Mawby P., Xiang D., Ran L., Tavner P. An Industry-Based Survey of Reliability in Power Electronic Converters // *IEEE Transactions on Industry Applications*. № 47. P. 1441–1451.
4. Method of pre-emergency diagnostics of electric locomotive equipment : pat. 2379205 Rus. Federation. [Sposob predavariyjnoj diagnostiki oborudovaniya ehlektrovoza : pat. 2379205 Rossijskaya Federatsiya] No. 2008132577/11 ; application 06.08.2008 ; publ. 20.01.2010. Bul. № 2
5. Vlashevskii S., Buzmakova L., Blazhnov A. Increasing Reliability of Reversible Converters of AC Electric Locomotives // *Advances in Intelligent Systems and Computing*. 2020. V. 1115 AISC. P. 321–328.
6. Buzmakova L. V., Vlashevskii S. V., Ovseichik S. Z. A Method of Diagnosing Reversible Converters of AC Electric Locomotives // *Russian Electrical Engineering*. 2016. V. 87. № 2. P. 80–83.
7. Buzmakova L. V., Vlashevsky S. V. Principles of constructing a diagnostic system for rectifier-inverter converters of AC electric locomotives using the method of parametric identification of the object // *Electronics and electrical equipment of transport. [Printsipy postroeniya sistemy diagnostiki vypryamitel'no-invertornykh preobrazovatelej ehlektrovozov peremennogo toka s ispol'zovaniem metoda parametricheskoj identifikatsii ob"ekta // Ehlektronika i ehlektrooborudovanie transporta]* 2008. № 1. Pp. 45–47.
8. Vlashevsky S. V., Skorik V. G., Suprun D. A. A mathematical model for the study of electromagnetic processes in emergency modes of an AC electric locomotive power converter // *Operation and maintenance of electronic and microprocessor equipment of traction rolling stock / Proceedings of the All-Russian Scientific-practical conference with international participation : collection of scientific papers. edited by I.K. Lakin. [Matematicheskaya model'*

- dlya issledovaniya ehlektromagnitnykh protsessov pri avarijnykh rezhimakh silovogo preobrazovatelya ehlektrovoza peremennogo toka // Ehkspluatatsiya i obsluzhivanie ehlektronnogo i mikroprotsessornogo oborudovaniya tyagovogo podvizhnogo sostava / Trudy Vserossijskoj nauchno-prakticheskoy konferentsii s mezhdunarodnym uchastiem : sbornik nauchnykh trudov pod red. I. K. Lakina] Krasnoyarsk, 2020. Pp. 184–189.
9. Vlashevsky S. V., Skorik V. G., Suprun D. A., Bunyaeva E. V., Blazhnov A. I. Damage detection system in the power converter of an AC electric locomotive in traction mode // Scientific notes of Komsomolsk-on-Amur State Technical University. [Sistema opredeleniya povrezhdenij v silovom preobrazovatele ehlektro-voza peremennogo toka v rezhime tyagi // Uchenye zapiski Komsomol'skogo-na-Amure gosudarstvennogo tekhnicheskogo universiteta] 2020. № 5 (45). Pp. 71–77.
  10. Mainline electric locomotive 2ES5K (3ES5K) «Ermak» : operating manual. IDMB.661142.009RE. [EHlektrovoz magistral'nyj 2EHS5K (3EHS5K) «Ermak» : rukovodstvo po ehkspluatatsii. IDMB.661142.009REh] Novocherkassk : NEVZ, 2004.

*Статья сдана в редакцию 16 марта 2022 года*

УДК 656.222.4 (656.222.6)

*Е. В. Климова, Л. Е. Пилипушка, С. В. Анисимова*

## Пропускная способность однопутного перегона при проектировании двухпутной вставки

UDC 656.222.4 (656.222.6)

*E. V. Klimova, L. E. Pilipushka, S. V. Anisimova*

## Throughput capacity of a single-track stage when designing a double-track insert

### Аннотация

На современном этапе развития инфраструктуры железнодорожного транспорта сооружение двухпутных вставок может рассматриваться как первый этап усиления пропускной и провозной способностей перед строительством вторых сплошных главных путей.

В настоящем исследовании проанализирована нормативная документация, устанавливающая порядок расчета и анализа пропускной способности перегонов с двухпутными вставками, классифицированы зависящие, условно независимые

и неучтенные факторы, влияющие на пропускную способность. В рамках реализации проекта развития Восточного полигона представлен статистический анализ линейных параметров перегонов, на которых проектируются двухпутные вставки.

Для условного железнодорожного перегона с характеристиками, близкими к существующим, выполнено исследование влияния средней скорости хода поездов по перегону на наличную пропускную способность. Построены графики зависимости указанных параметров, а также определена наиболее

вероятная потеря пропускной способности при различной длине перегонов и заданной длине двухпутной вставки. Установлено, что при уменьшении средней скорости хода поездов по однопутной части перегона, например, вследствие действующих длительных ограничений скоростей движения, происходит скачкообразное снижение наличной пропускной способности, что в конечном счете приводит к необходимости проектирования двухпутной вставки большей длины и увеличению инвестиций в развитие пропускной способности перегона.

*Статья рекомендована к опубликованию С. А. Леоновой, канд. техн. наук, доцентом Самарского государственного университета путей сообщения.*

**Екатерина Викторовна Климова**, канд. эконом. наук, доцент; кафедра «Управление эксплуатационной работой», заведующий научно-исследовательской лабораторией «Совершенствование перевозочного процесса» Сибирского государственного университета путей сообщения; Новосибирск, Россия. E-mail: kate-kitton@yandex.ru. ORCID 0000-0003-2336-1549.

**Лилия Евгеньевна Пилипушка**, инженер НИЛ «Совершенствование перевозочного процесса» Сибирского государственного университета путей сообщения; Новосибирск, Россия. E-mail: liliya.pilipushka@gmail.com. ORCID 0000-0001-7972-6880.

**Светлана Владимировна Анисимова**, старший преподаватель кафедры «Управление эксплуатационной работой» Сибирского государственного университета путей сообщения; Новосибирск, Россия. E-mail: sv85im@yandex.ru. ORCID 0000-0002-1239-7522.

© Е. В. Климова, Л. Е. Пилипушка, С. В. Анисимова, 2022

*The article is recommended for publishing by S. A. Leonova, Candidate of Technical Sciences, Associate Professor of Samara State University of Railway Transport.*

**Ekaterina Viktorovna Klimova**, Candidate of Economics, Associate Professor, Associate Professor of the chair «Operational Work Management», Head of the Research Laboratory «Improvement of the Transportation Process» of the Siberian State University of Railway Transport; Novosibirsk, Russia. E-mail: kate-kitton@yandex.ru. ORCID 0000-0003-2336-1549.

**Lilia Evgenievna Pilipushka**, Engineer of the Research Institute «Improvement of the Transportation Process» of the Siberian State University of Railway Transport; Novosibirsk, Russia. E-mail: liliya.pilipushka@gmail.com. ORCID 0000-0001-7972-6880.

**Svetlana Vladimirovna Anisimova**, Senior Lecturer of the Chair «Operational Work Management» of the Siberian State University of Railway Transport; Novosibirsk, Russia. E-mail: sv85im@yandex.ru. ORCID 0000-0002-1239-7522.

© E. V. Klimova, L. E. Pilipushka, S. V. Anisimova, 2022

**Ключевые слова:** пропускная способность, однопутный перегон, двухпутная вставка, Восточный полигон, скорость хода.

DOI: 10.20291/2079-0392-2022-2-74-84

#### Abstract

At the present stage of development of the railway transport infrastructure, the construction of double-track inserts can be considered as the first stage of strengthening the throughput and carrying capacity before the construction of the second continuous main tracks.

In this study, the regulatory documentation that establishes the procedure for calculating and analyzing

the capacity of double-track crossings is analyzed, dependent, conditionally independent and unaccounted factors affecting the capacity are classified. As part of the implementation of the project for the development of the Eastern Polygon, a static analysis of the linear parameters of the spans on which double-track inserts are designed is presented.

In case of a conditional railway stage with characteristics close to the existing ones, the influence of the average speed of trains on the stage on the available capacity was studied. Graphs of the dependence of these parameters are plotted, and the most probable loss of

throughput is determined for different lengths of runs and a given length of a two-track insert. It is established that with decrease in the average speed of trains on the single-track part of the stage, for example, due to the current long-term speed restrictions, there is a sudden decrease in the available capacity, which ultimately leads to the need to design a double-track insert of a longer length and the increase in investment to the development of the stage throughput capacity.

**Keywords:** throughput capacity, single-track stage, double-track insertion, Eastern polygon, speed.

DOI: 10.20291/2079-0392-2022-2-74-84

В РФ действуют пять федеральных программ, участником которых является компания ОАО «РЖД» [1], и Долгосрочная программа развития ОАО «РЖД» до 2025 г. [2], в рамках выполнения которых реализуются инвестиционные проекты, связанные с реконструкцией инфраструктуры железнодорожного транспорта на Восточном полигоне.

1. Увеличение пропускной способности Байкало-Амурской и Транссибирской железнодорожных магистралей в полтора раза до 180 млн т [3]. Цель проекта – достижение целевой провозной способности Байкало-Амурской и Транссибирской железнодорожных магистралей до 180 млн т к 2024 г. и 210 млн т по итогам реализации проекта в 2025 г.

2. Развитие железнодорожной инфраструктуры для увеличения транзитного контейнеропотока [4]. Цель проекта – развитие железнодорожной инфраструктуры для обеспечения роста транзитных контейнерных перевозок железнодорожным транспортом в четыре раза и сокращение времени перевозки с Дальнего Востока до западной

границы РФ до семи дней. В результате реализации проекта средняя скорость доставки транзитного контейнеропотока к 2024 г. должна составлять 1319 км/сут.

Необходимость реализации этих инвестиционных проектов вызвана ростом добычи и экспорта сырья с территории РФ через порты Дальнего Востока, увеличением объема транзитных перевозок грузов и развитием контейнерных перевозок.

Эффективным реконструктивным мероприятием увеличения пропускной способности инфраструктуры железнодорожного транспорта служит строительство вторых сплошных главных путей на лимитирующих однопутных перегонах. Сопутствующие мероприятия: удлинение станционных путей, электрификация железнодорожных участков, усиление устройств тягового электроснабжения, строительство и реконструкция искусственных сооружений и др.

Строительство вторых сплошных главных путей связано со значительными инвестициями в развитие инфраструктуры. Существует и неопределенность в объемах перевозок

перспективных пассажиро- и грузопотоков, следовательно, и в размерах движения поездов различных категорий. Поэтому усилить пропускную способность можно за счет проектирования двухпутных вставок, являющихся продолжением путей одного из раздельных пунктов, ограничивающих рассматриваемый перегон. Проектирование и строительство двухпутных вставок можно рассматривать как отдельное мероприятие по наращиванию железнодорожных мощностей, а также как первый этап строительства второго сплошного главного пути с целью отдаления инвестиций.

Вопросы, связанные с расчётом параметров проектируемых двухпутных вставок, требующие рассмотрения и актуализации: определение места примыкания двухпутной вставки к существующему однопутному перегону, рациональный выбор сторонности размещения второго главного пути, варианты развития раздельных пунктов при сооружении двухпутных вставок [5].

К числу таких вопросов также можно отнести расчёт наличной пропускной способности однопутных перегонов с двухпутными вставками при различных типах графика движения поездов. Исследования, проведенные авторами [6, 7], показали, что при минимальной длине двухпутной вставки, составляющей три блок-участка, можно использовать только непакетный тип графика движения поездов. В случае необходимости применения частично-пакетного или пакетного типов графиков с безостановочным скрещением поездов проектируются двухпутные вставки из семи блок-участков.

Основным критерием выбора варианта развития однопутного перегона служит обеспечение достаточного уровня наличной пропускной способности ограничивающего перегона [8, 9], обеспечивающего коэффициент заполнения пропускной способности перегона не более допустимого значения (для однопутных участков с двухпутными вставками не более 0,87) [10].

Рост наличной пропускной способности однопутных железнодорожных линий после сооружения двухпутных вставок вызван уменьшением длины однопутной части лимитирующего перегона, следовательно, и сокращением периода графика. Кроме того, достигается дополнительный эффект, связанный с возможностью безостановочного скрещения встречных поездов и, как следствие, сокращение эксплуатационных расходов на остановки и поездочасы простоя.

Анализ нормативной документации показал, что наличная пропускная способность перегона при проектировании двухпутной вставки [11–13] условно не зависит от нормативной продолжительности технологического «окна», выделяемого в суточном бюджете времени для различных видов ремонта пути, устройств электроснабжения, связи и др. Этот параметр определяется в зависимости от типа участка (однопутный, однопутный с двухпутными вставками, двухпутный, включая дополнительные главные пути многопутных перегонов), нормативного коэффициента надежности инфраструктуры и подвижного состава. Эта величина определяется в зависимости от типа участка и вида тяги (тепловозная или электро-возная), типа применяемого графика движения поездов только парный непакетный.

Зависит от порядка пропуска поездов по перегону и учета в периоде графика, определенных станционным и межпоездных интервалов, значений периода графика, состоящего из времен хода в нечетном и четном направлениях, станционных и межпоездных интервалов, а именно: а) времен хода грузовых поездов по однопутной части перегона между расчетной осью РО-1 двухпутной вставки и осью соседнего раздельного пункта, б) интервала безостановочного скрещения поездов на двухпутной вставке, в) интервала одновременного прибытия или скрещения поездов (остановочного) по соседнему раздельному пункту, г) времени на

замедление перед остановкой или на разгон после остановки по соседнему раздельному пункту.

Но не учтены следующие факторы: возможность применения других типов графика движения поездов (непарного, частично-пакетного, пакетного), коэффициент пакетности в случае применения частично-пакетного типа графика может принимать только «табличные» значения от 0,4 до 0,7; при пакетном типе графика коэффициент равен 1. Величина этого параметра зависит от путевого развития раздельных пунктов, ограничивающих рассматриваемый перегон.

Согласно проведенному факторному анализу, наибольшее влияние на наличную пропускную способность оказывает время хода грузовых поездов по однопутной части перегона, зависящее от средней скорости хода поездов.

Произведен анализ протяженности перегонов и длин двухпутных вставок на проектируемых в настоящее время перегонах в границах Восточного полигона, а именно, в пределах однопутных участков Красноярской, Восточно-Сибирской и Дальневосточной железных дорог. Результаты представлены в таблице.

Результат статистического анализа длин перегона и двухпутной вставки

для этих железнодорожных подразделений представлен на рис. 1, 2.

Наибольшее число проектируемых двухпутных вставок располагается в пределах Восточно-Сибирской железной дороги (Байкало-Амурская магистраль), минимальная длина перегона – 11,5 км, максимальная – 27,1 км, средняя – 15,1 км. В границах Дальневосточной и Красноярской железных дорог средняя длина перегонов составляет 16,5 и 12,1 км при средней длине проектируемых двухпутных вставок 6,5 (6,4) и 9,09 км, что соответствует протяженности в 4 и 6 блок-участков по 1500 м.

Наиболее вероятная длина перегона, согласно статистическому анализу, составляет 15,4 км, длина двухпутной вставки – 7,76 км. В соответствии с рис. 2 вероятность 0,671 приходится на длину перегона от 12 до 18 км, вероятность 0,716 – на длину двухпутной вставки от 4 до 9 км.

В настоящей статье исследовано влияние средней скорости хода поездов по перегону на наличную пропускную способность при проектировании двухпутных вставок. В качестве объекта исследования принят условный железнодорожный однопутный перегон со следующими исходными параметрами:

Анализ реализуемых проектов по сооружению двухпутных вставок в границах Восточного полигона

Показатель	Железная дорога		
	Красноярская (Междуреченск – Тайшет)	Восточно-Сибирская (БАМ)	Дальневосточная (БАМ)
Длина перегона, км			
минимальная	7,5	11,5	9,8
максимальная	17,3	27,1	24,4
средняя	12,1	15,1	16,5
Протяженность двухпутной вставки, км			
минимальная	3,1	4,2	2,9
максимальная	12,1	10,5	17,4
средняя	6,4	6,5	9,09





Рис. 1. Функция вероятности длин перегона и двухпутной вставки

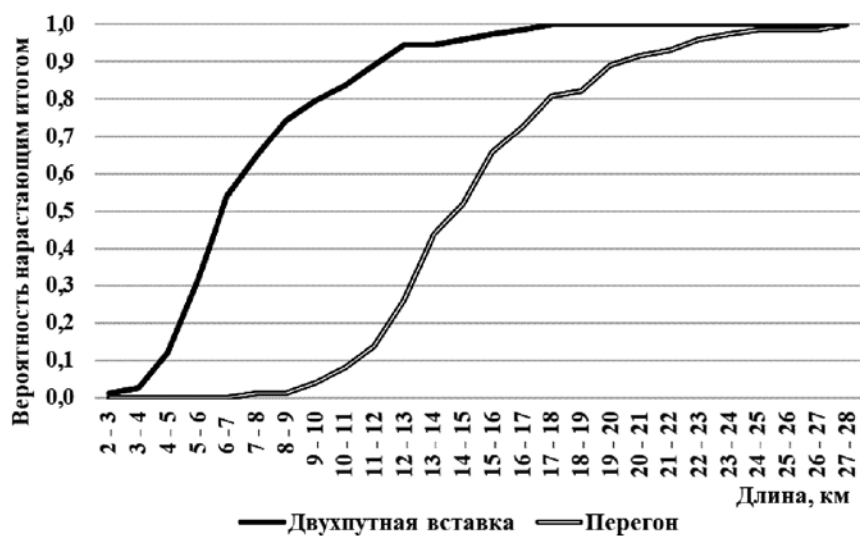


Рис. 2. Функция распределения вероятности длин перегона и двухпутной вставки

- протяженность перегона изменяется от 12 до 18 км с шагом 1,5 км, кратным длине одного блок-участка (1500 м),
- применяемый тип графика парный непакетный,
- обслуживается электрической тягой,
- число блок-участков на двухпутной вставке – четыре по 1500 м,

- средняя скорость следования по перегону варьируется от 40 до 80 км/ч с шагом 1 км/ч,

- длина расчетного поезда 1050 м,
- при определении наличной пропускной способности учитывается равномерное движения поездов по перегону.

Расчет наличной пропускной способности ведется в соответствии с [11, 12].

Изменение наличной пропускной способности в зависимости от средней скорости хода грузовых поездов при различной длине перегона представлено

на рис. 3, потери наличной пропускной способности относительно максимально возможной скорости хода поезда (80 км/ч) – на рис. 4.

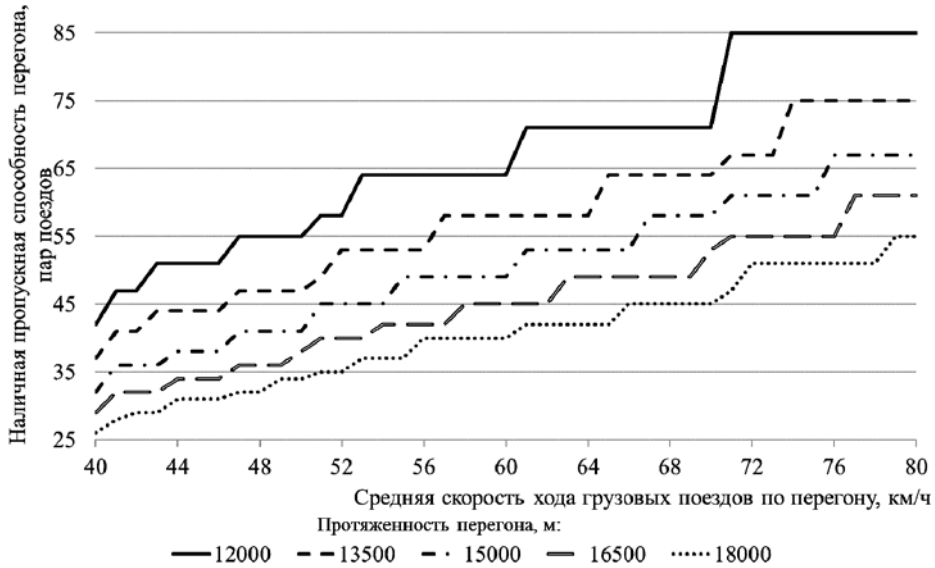


Рис. 3. Изменение наличной пропускной способности в зависимости от средней скорости хода грузовых поездов при различной длине перегона

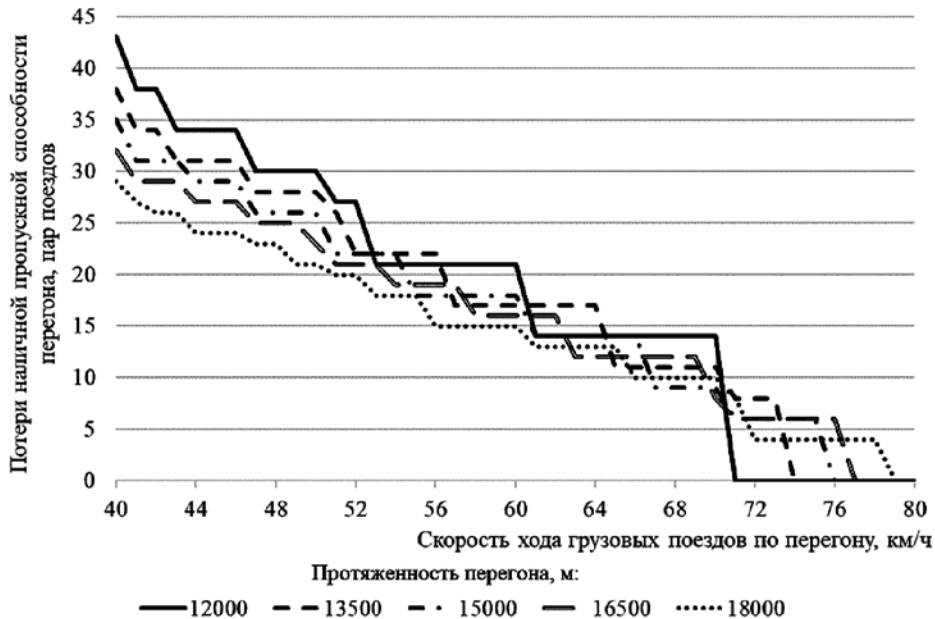


Рис. 4. Потери наличной пропускной способности в зависимости от средней скорости хода грузовых поездов при различной длине перегона

Скачкообразное изменение наличной пропускной способности и ее потери (рис. 3, 4) объясняется необходимостью округления полученного результата до целого значения в меньшую сторону в соответствии с [11, 12].

Результаты показывают, что при максимальной скорости 80 км/ч наличная пропускная способность при проектировании двухпутной вставки составит 85 и 55 пар поездов соответственно для перегонов длиной 12 и 18 км; при скорости 40 км/ч – 42 и 26 пар поездов.

При минимальной рассматриваемой длине перегона с двухпутной вставкой 12 км наличная пропускная способность будет изменяться следующим образом: 42 пары поездов для средней скорости 40 км/ч, 47 пар поездов для диапазона скоростей 41–42 км/ч, 51 пара поездов – для 43–46 км/ч, 55 пар поездов – для 47–50 км/ч, 58 пар поездов – для 51–52 км/ч, 64 пары поездов – для 53–60 км/ч, 71 пара поездов – для 61–70 км/ч, 85 пар поездов – для 71–80 км/ч. Наибольший прирост пропускной способности при длине перегона 12 км приходится для изменение скорости с 70 до 71 км/ч: на 14 пар поездов.

Наибольшая потеря наличной пропускной способности относительно максимальной скорости движения поездов (80 км/ч) приходится на перегон минимальной протяженностью 12 км и средней скоростью хода 40 км/ч, которая составит 43 пары поездов (см. рис. 4). Для перегона длиной 18 км потери составят 29 пар поездов. Поэтому при обеспечении заданного уровня пропускной способности на двух перегонах одинаковой длины со средними скоростями хода 40 и 80 км/ч в первом случае длина проектируемой двухпутной вставки будет значительнее, как и инвестиции в ее сооружение. Следовательно, повышение средних скоростей движения поездов на перегоне, в том числе и за счет ликвидации продолжительно действующих ограничений скоростей движения на однопутной части перегона даст эффект при проектировании двухпутных вставок за счет сокращения длины двухпутной вставки и инвестиций в развитие пропускной способности перегона.

На основании результатов, полученных при составлении рис. 4, произведен статистический анализ поте-

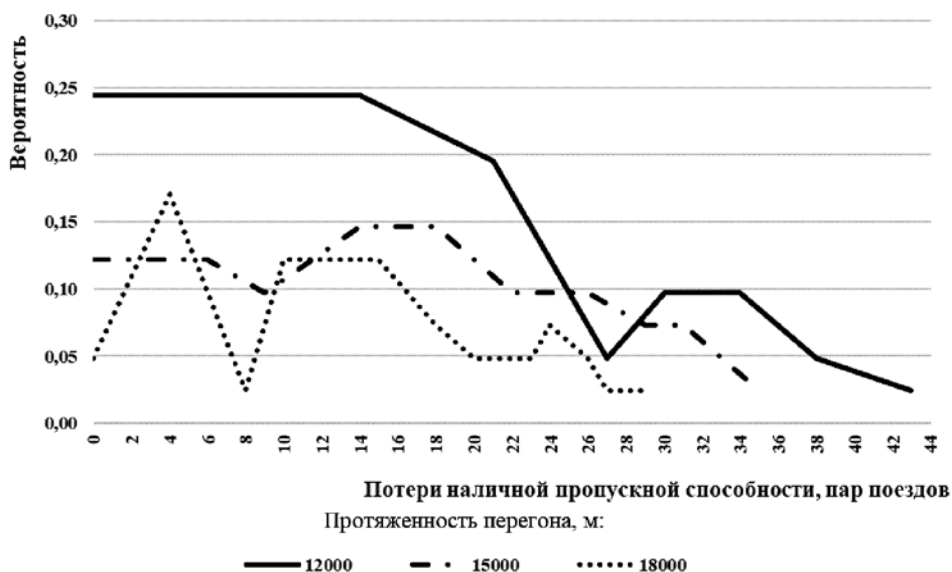


Рис. 5. Функция вероятности потери наличной пропускной способности перегона

ри наличной пропускной способности в зависимости от средней скорости хода грузовых поездов при различной длине перегонов. Для каждой рассматриваемой протяженности перегона объем выборки составляет 41 значение потери наличной пропускной способности. Результаты представлены на рис. 5 и 6.

Результаты, представленные на рис. 5, показывают, что при длине перегона 12 км наибольшее число случаев 10, 10 и 8 приходится на потери пропускной способности, равные 0, 14 и 21 паре поездов, при длине перегона 13,5 км наибольшее число случаев 7, 6, 8 и 5 – на 0, 11, 17 и 22 пары поездов. При увеличении длины перегона функция вероятности имеет не такие ярко выраженные пики и потери пропускной способности снижаются: при длине 15 км наибольшее число случаев 5, 5, 6 и 6 – на 0, 6, 14 и 18 пар поездов, при длине 18 км наибольшее число случаев 7, 5, 5 и 5 – на 4, 10, 13 и 15 пар поездов.

Наиболее вероятное значение потери наличной пропускной способности для длин перегонов 12, 13,5, 15, 16,5 и 18 км соответственно составит 18, 17,

16, 16 и 14 пар поездов. В целом для любой из рассматриваемых длин перегонов вероятность потери наличной пропускной способности до 12,5 пар поездов составит от 0,44 до 0,47. Минимальное значение приходится на длину перегона 13,5 км, максимальное – на 18 км.

Таким образом, проанализирована нормативная документация, регламентирующая порядок определения пропускной способности перегонов с двухпутными вставками. Установлены зависимости, условно независимые и неучтенные факторы, влияющие на пропускную способность. Наибольшее влияние на наличную пропускную способность оказывает время хода грузовых поездов по однопутной части перегона, зависящее от средней скорости хода поездов; приведены результаты анализа протяженности перегонов и длин проектируемых двухпутных вставок в границах Восточного полигона – однопутных участков Красноярской, Восточно-Сибирской и Дальневосточной железных дорог. Наиболее вероятная длина перегона, согласно статистическому анализу, составляет 15,4 км, длина двухпутной

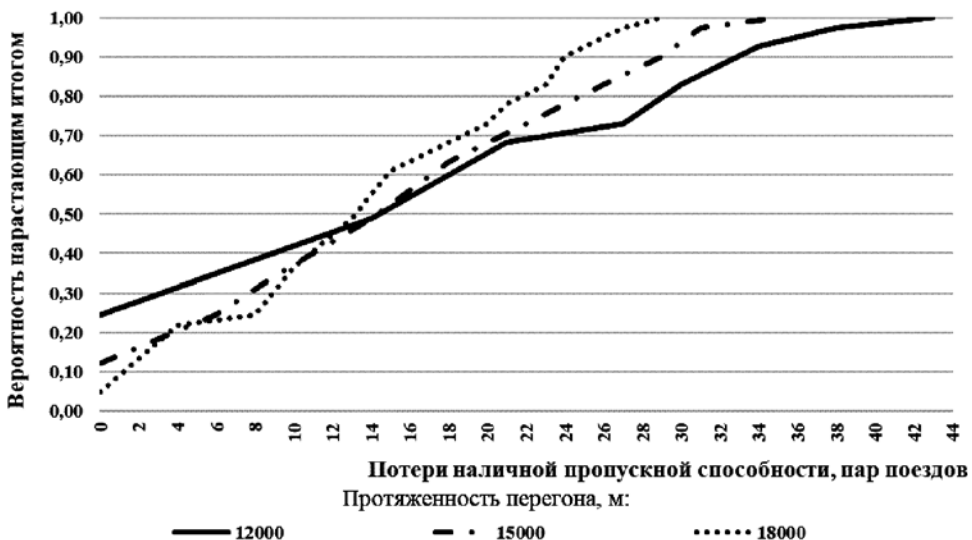


Рис. 6. Функция распределения вероятности потери наличной пропускной способности перегона

вставки – 7,76 км, что соответствует пяти блок-участкам при минимальной их длине 1500 м; для условного железнодорожного однопутного перегона исследовано влияние средней скорости хода на наличную пропускную способность при проектировании двухпутных вставок. Основные параметры, принятые для перегона: протяженность от 12 до 18 км с шагом 1,5 км, кратным длине одного блок-участка (1500 м), число блок-участков на двухпутной вставке – четыре по 1500 м, средняя скорость следования варьируется от 40 до 80 км/ч с шагом 1 км/ч. Наличная пропускная способность растет при увеличении средней скорости хода, ее скачкообразное изменение объясняется необходимостью округления полученного результата до целого значения в меньшую сторону; определено наиболее вероятное значение потери наличной пропускной способности для длин перегонов 12, 13,5, 15, 16,5 и 18 км, равное 18, 17, 16, 16 и 14 пар поездов. Для

любой из рассматриваемых длин перегонов вероятность потери наличной пропускной способности до 12,5 пар поездов составит от 0,44 до 0,47. Минимальное значение из указанных приходится на длину перегона 13,5 км, максимальное – на 18 км.

Полученные результаты позволили сделать выводы, что при обеспечении заданного уровня пропускной способности на двух перегонах одинаковой длины со средними скоростями хода 40 и 80 км/ч в первом случае длина проектируемой двухпутной вставки будет значительно меньше, чем в последнем сооружении. Следовательно, повышение средних скоростей движения поездов на перегоне, в том числе и за счет ликвидации продолжительно действующих ограничений скоростей движения на однопутной части перегона даст эффект при проектировании двухпутных вставок за счет сокращения длины двухпутной вставки и инвестиций в развитие пропускной способности перегона. ■

#### Литература

1. Инвестиционные проекты ОАО «РЖД». URL: <https://company.rzd.ru/ru/9382/page/103290?id=17001#main-header> (дата обращения: 16.03.2022).
2. Долгосрочная программа развития ОАО «РЖД» до 2025 года: утв. распоряжением Правительства РФ от 19.03.2019 г. № 466-р. – М., 2019. – С. 134.
3. Увеличение пропускной способности Байкало-Амурской и Транссибирской железнодорожных магистралей в полтора раза, до 180 млн тонн. URL: <https://company.rzd.ru/ru/9382/page/103290?id=16990#main-header> (дата обращения: 16.03.2022).
4. Развитие железнодорожной инфраструктуры для увеличения транзитного контейнеропотока. URL: <https://company.rzd.ru/ru/9382/page/103290?id=16989#main-header> (дата обращения: 16.03.2022).
5. Сивицкий Д. А. Анализ вариантов развития отдельных пунктов при проектировании двухпутных вставок / Д. А. Сивицкий, Д. В. Осипов // Вестник Сибирского государственного университета путей сообщения. – 2020. – № 2 (53). – С. 21–29. ISSN 1815-9265.
6. Климова Е. В. Исследование сфер эффективности применения двухпутных вставок при различных типах графика / Сб. трудов второй Междунаро. научн.-практ. конф. «Развитие инфраструктуры и логистических технологий в транспортных системах (Рилт-транс-2017)» (4–6 октября 2017 г.). – СПб, 2018. – С. 115–120.
7. Климова Е. В. Исследование минимальной длины двухпутных вставок при различных типах графика // Вестник Донецкой академии автомобильного транспорта. – 2018. – № 2. – С. 27–33. ISSN 2219-8180.
8. Умаров Х. К. Обоснование мероприятий по усилению мощности линии Ангрен – Пап / Х. К. Умаров, Е. С. Свинцов // Вестник Ростовского государственного университета путей сообщения. – 2015. – № 2 (58). – С. 104–110. ISSN 0201-727X.
9. Умаров Х. К. Увеличение пропускной способности лимитирующего перегона линии Ангрен – Пап / Х. К. Умаров, Е. С. Свинцов // Известия Петербургского университета путей сообщения. – 2015. – № 2 (43). – С. 84–90. ISSN 1815-588X.
10. СП 119.13330.2017. СНиП 32-01-95. Свод правил. Железные дороги колеи 1520 мм: утв. Мин. строит. и жил.-комму. хоз. РФ, 12.12.2017, № 1648/пр. – М., 2017. – 46 с.

11. Инструкция по расчету наличной пропускной способности железных дорог: утв. ОАО «РЖД» 10.11.2010, № 128. – М., 2011. – С. 289.
12. Методика определения пропускной и провозной способности инфраструктуры железнодорожного транспорта общего пользования; утв. Минтранс России 18.06.2018 № 266. – М., 2018. – С. 40.
13. Инструкция по определению станционных и межпоездных интервалов, утв. ОАО «РЖД» от 30.12.2011 № 2864р. – М., 2011. – С. 213.

#### References

1. Investment projects of JSC «The Russian Railways». [Investitsionnye proekty ОАО «RZhD»] URL: <https://company.rzd.ru/ru/9382/page/103290?id=17001#main-header> (accessed on: 03/16/2022).
2. Long-term development program of JSC «The Russian Railways» until 2025: approved by the Decree of the Government of the Russian Federation dated 19.03.2019 No. 466-r. [Dolgosrochnaya programma razvitiya ОАО «RZHD» do 2025 goda: utv. rasporyazheniem Pravitel'stva RF ot 19.03.2019 g. №466-r ] М., 2019. – P. 134.
3. Increasing the capacity of the Baikal-Amur and Trans-Siberian railway by one and a half times, up to 180 million tons. [Uvelichenie propusknoj sposobnosti Bajkalo-Amurskoj i Transsi-birskoj zheleznodorozhnykh magistralej v poltora raza, do 180 mln tonn] URL: <https://company.rzd.ru/ru/9382/page/103290?id=16990#main-header> (accessed on: 03/16/2022).
4. Development of railway infrastructure to increase transit container traffic. [Razvitie zheleznodorozhnoj infrastruktury dlya uvelicheniya tranzit-nogo kontejneropotoka] URL: <https://company.rzd.ru/ru/9382/page/103290?id=16989#main-header> (accessed on: 03/16/2022).
5. Sivitsky D. A. Analysis of options for the development of separate points in the design of double-track inserts / D. A. Sivitsky, D. V. Osipov // Bulletin of the Siberian State University of Railway Transport. [Analiz variantov razvitiya razdel'nykh punktov pri proektirovanii dvukhputnykh vstavok / D. A. Sivitskij, D. V. Osipov // Vestnik Sibirskogo gosudarstvennogo universiteta putej soobshheniya] – 2020. – № 2 (53). – Pp. 21–29. ISSN 1815-9265.
6. Klimova E. V. Investigation of effectiveness of the use of double-track inserts for various types of graphics / Proceedings of the Second International Scientific Journal.-Practical conference «Development of infrastructure and logistics technologies in transport systems (Realttrans-2017)» (October 4–6, 2017). [Issledovanie sfer ehffektivnosti primeneniya dvukhputnykh vstavok pri razlichnykh tipakh grafika / Sb. trudov Vtoroj Mezhdunarodn. nauchn.-prakt. konf. «Razvitie infrastruktury i logisticheskikh tekhnologij v transportnykh sistema (Rilttrans-2017)» (4–6 oktyabrya 2017 g.) – St. Petersburg, 2018. – Pp. 115–120.
7. Klimova E. V. Investigation of the minimum length of double-track inserts for various types of graph // Bulletin of the Donetsk Academy of Motor Transport. [Issledovanie minimal'noj dliny dvukhputnykh vstavok pri razlichnykh tipakh grafika // Vestnik Donetskoy akademii avtomobil'nogo transporta] – 2018. – № 2. – Pp. 27–33. ISSN 2219-8180.
8. Umarov Kh. K. Justification of measures to strengthen the capacity of the Angren-Pape line / Kh. K. Umarov, E. S. Svintsov // Bulletin of the Rostov State University of Railway Transport. [Obosnovanie meropriyatij po usileniyu moshhnosti linii Angren – Pap / KH. K. Umarov, E. S. Svintsov // Vestnik Rostovskogo gosudarstvennogo universiteta putej soobshheniya] – 2015. – № 2 (58). – Pp. 104–110. ISSN 0201-727X.
9. Umarov H. K. Increase in the capacity of the limiting stage of the Angren –Pape line / H. K. Umarov, E. S. Svintsov // Bulletin of St Petersburg University of Railway Transport. [Uvelichenie propusknoj sposobnosti limitiruyushhego pereгона linii Angren – Pap / KH. K. Umarov, E. S. Svintsov // Izvestiya Peterburgskogo universiteta putej soobshheniya] – 2015. – № 2 (43). – Pp. 84–90. ISSN 1815-588X.
10. SP 119.13330.2017. SNIP 32-01-95. A set of rules. Railways of 1520 mm gauge: approved by RF Ministry of Housing and Public Utilities, [Svod pravil. ZHeleznnye dorogi kolei 1520 mm: utv. Min. stroit. i zhil.-kommun. khoz. RF] 12.12.2017, №1648/ – М., 2017. – 46 p.
11. Instructions for calculating the available capacity of railways: approved by JSC «The Russian Railways» [Instruktsiya po raschetu nalichnoj propusknoj sposobnosti zheleznykh dorog: utv. ОАО «RZhD»] 10.11.2010, № 128. – М., 2011. – P. 289.
12. Methodology for determining the throughput and carrying capacity of the infrastructure of public railway transport; approved by Ministry of Transport of Russia [Metodika opredeleniya

- propusknoj i provoznoj sposobnosti infra-struktury zheleznodorozhnogo transporta obshhego pol'zovaniya ; utv. Mintrans Rossii] 18.06.2018 № 266. – М., 2018. – Р. 40.
13. Instructions for determining station and inter-train intervals, approved. JSC «The Russian Railways» [Instruktsiya po opredeleniyu stantsionnykh i mezhpoezdnykh intervalov, utv. OAO «RZhD»] dated 30.12.2011 № 2864r. – М., 2011. – Р. 213.

*Статья сдана в редакцию 24 марта 2022 года*



---

О. В. Москвичев, С. А. Леонова

## Формирование системы транспортно-пересадочных узлов в условиях изменения пассажиропотока

---

O. V. Moskvichev, S. A. Leonova

## Formation of a system of transport hubs in conditions of changing passenger traffic

---

### Аннотация

В работе предложен количественный метод определения мест оптимального расположения транспортно-пересадочных узлов (ТПУ), основанный на выявлении эффективных пересадочных узлов, позволяющий с достаточной точностью спрогнозировать размещение системы ТПУ по критерию сокращения средней длительности поездок по городу. В основе метода лежит эвристический алгоритм, позволяющий определять оптимальные прямые и пересадочные маршруты (с одной, двумя и более пересадками) и выделять эффективные пересадочные узлы. В таких узлах и следует создавать ТПУ. Метод опробован на примере системы городского общественного транспорта г. Самары. Предложена система ТПУ, которая позволяет снизить среднее время поездки по городской транспортной сети за счет снижения времени пересадочных поездок. Независимо от величины пассажиропотока максимальное снижение средней длительности поездки по Самаре за счет создания системы ТПУ составит шесть минут. Исследовано колебание пассажиропотока и его влияние на выбор ТПУ. Получена зависимость количества ТПУ, строительство которых позволяет достичь предельного снижения средней длительности поездки по городу за счет формирования системы ТПУ, от пассажиропотока.

**Ключевые слова:** транспортно-пересадочный узел, эффективный пересадочный узел, оптимальный выбор, критерий среднего времени поездки, колебание пассажиропотока.

DOI: 10.20291/2079-0392-2022-2-85-92

### Abstract

The paper proposes a quantitative method for determining the optimal location of transport interchange hubs (TH), based on identification of effective transfer hubs, which allows predicting the location of the TH system with sufficient accuracy according to the criterion of reducing the average duration of trips around the city. The method is based on the heuristic algorithm that allows you to determine the optimal direct and transfer routes (with one, two or more transfers) and identify effective transfer nodes. In such nodes, the TH should be created. The method was tested on the example of the Samara city public transport system. The TH system is proposed, which allows to reduce the average travel time on the urban transport network by reducing the time of transfer trips. Regardless of the size of passenger traffic, the maximum reduction in the average duration of a trip in Samara due to the creation of a TH system is six minutes. The fluctuation of passenger traffic and its influence on the choice of TH is investigated. The dependence of the number of TH, the construction of which makes it possible to achieve marginal reduction in the average duration of a trip around the city due to the formation of TH system on passenger traffic is obtained.

**Keywords:** transport hub, efficient transfer hub, optimal choice, criterion of average travel time, fluctuation of passenger traffic.

DOI: 10.20291/2079-0392-2022-2-85-92

---

Статья рекомендована к опубликованию П. В. Куренковым, д-р экон. наук, канд. техн. наук, профессором E-mail: petr.kurenkov@mail.ru.

**Олег Валерьевич Москвичев**, д-р техн. наук, доцент, заведующий кафедрой «Управление эксплуатационной работой» Самарского государственного университета путей сообщения, Самара, Россия. E-mail: moskvichev063@yandex.ru.

**Светлана Александровна Леонова**, канд. техн. наук, доцент; кафедра «Управление эксплуатационной работой» Самарского государственного университета путей сообщения, Самара, Россия. E-mail: Svetlana.8709@mail.ru.

© О. В. Москвичев, С. А. Леонова, 2022

The article is recommended for publishing by P. V. Kurenkov, Doctor of Economics, Candidate of Technical Sciences, Professor E-mail: petr.kurenkov@mail.ru.

**Oleg Valeryevich Moskvichev**, Doctor of Technical Sciences, Associate Professor, Head of the Chair «Operational Work Management» of the Samara State University of Railway Transport, Samara, Russia. E-mail: moskvichev063@yandex.ru.

**Svetlana Aleksandrovna Leonova**, Candidate of Technical Sciences, Associate Professor of the Chair «Operational Work Management» at Samara State University of Railway Transport, Samara, Russia. E-mail: Svetlana.8709@mail.ru.

© O. V. Moskvichev, S. A. Leonova, 2022

Модернизация городской транспортной системы, развитие маршрутной сети общественного транспорта, повышение качества удовлетворения населения в части обеспечения общественным транспортом – важные показатели уровня развития городского округа или региона. Несмотря на резкие колебания пассажиропотоков, на общественном транспорте остается актуальной проблема формирования городской сети ТПУ для повышения транспортной доступности и совершенствования городской среды [1–3, 9, 11].

Во многих мегаполисах зарубежных стран и России внедряется единая система оплаты проезда (один проездной документ, который может быть использован при проезде в любом виде транспорта в течение некоторого периода). В таком случае пассажир выбирает маршрут на основании сокращения общей длительности своей поездки, а плата за проезд производится однократно и не зависит от числа пересадок.

В связи с этим увеличивается число пересадок пассажиров в системе городского пассажирского транспорта, значит, необходимо увеличивать количество ТПУ и повышать качество обслуживания в них. Однако увеличение числа ТПУ влечет за собой, во-первых, необоснованные экономические затраты, во-вторых, в условиях тесной городской застройки создание пересадочных узлов вокруг остановок городского общественного транспорта не всегда возможно. Поэтому оптимальный выбор количества и мест размещения ТПУ – первоочередная задача в условиях активного роста мегаполисов и постоянно увеличивающейся нагрузки на городскую транспортную сеть.

Для выбора мест формирования ТПУ необходимо комплексное исследование, основанное на анализе городской транспортной системы и социального спроса [1–8].

Отечественные ученые предлагают создавать ТПУ на основе железнодорожных станций и станций метрополитена [10–12], строить приоритетные

(первоочередные) ТПУ, основываясь на градостроительных факторах [9–10], или определять приоритетные узлы по признаку устойчивости к изменениям пассажиропотока [11–12].

Главный критерий формирования системы городских ТПУ – сокращение времени, затрачиваемого на поездку [13–15]. Для исследования данного вопроса используются точные количественные методы, что позволяет сделать оптимальный выбор мест размещения ТПУ и определить такие пересадочные узлы, строительство которых снизит время пересадочных поездок и среднее время поездки по городу.

Для оптимального выбора мест размещения ТПУ на городской транспортной сети предлагается метод, основанный на определении эффективных пересадочных узлов, которые впоследствии могут стать транспортно-пересадочными узлами [13–15].

Выбор эффективных пересадочных узлов обоснован прогнозным количеством пассажиров. А осуществлять пересадку в ТПУ пассажиры будут только в том случае, если поездка через этот узел будет для них удобной, быстрой, безопасной и комфортной и экономит время в пути следования. Среднее время одной поездки с пересадкой можно представить в виде формулы (1):

$$T = \frac{1}{\sum_{i,k,j} c_{ikj}} \sum_{i,j} c_{ikj} t_{ikj} \rightarrow \min, \quad (1)$$

где  $c_{ikj}$  – количество пассажиров, которые пересаживаются в  $k$  при осуществлении поездки из  $i$  в  $j$ ;  $t_{ikj}$  – время поездки через  $k$  из  $i$  в  $j$ . Это время включает время ожидания общественного транспорта и время передвижения от остановки  $i$  до остановки  $j$ .

Из выражения (1) ясно, что среднее время поездки зависит в первую очередь от величины пассажиропотока. Чем больше пассажиров пересаживается в рассматриваемом пересадочном узле, тем больше времени можно сократить на пересадку и в целом на поездку.

В качестве исходных данных задачи выбора ТПУ используется так называемая матрица корреспонденций  $C^0 = \{c^0(i,j)\}$  [13–14], которая составляется на основании реальных данных о маршрутах городского общественного транспорта. Исследуются все возможные поездки и маршруты с пересадками из  $i$  в  $j$ . Определяется время поездки в каждом случае. Осуществляется поиск такого  $k = r$ , которое для каждого маршрута обеспечивает минимальное время поездки из  $i$  в  $j$ :

$$t_{i,r,j} = \min_k t_{i,k,j}. \quad (2)$$

Получаемые при этом узлы называются эффективными пересадочными узлами.

С помощью программы «Эффективные пересадки» выбираются оптимальные маршруты следования из  $i$  в  $j$ . Так как для каждого варианта поездки (пары  $(i, j)$ ) обозначен оптимальный маршрут поездки, определены эффективные пересадочные узлы  $r$ , то на основании исходной матрицы корреспонденций  $C^0$  получается массив данных  $C = (c_{ij}, c_{irj})$ . Затем определяется количество пассажиров в каждом эффективном пересадочном узле  $c_r$  (те пассажиры, которые пересаживаются в этом узле, и те пассажиры, для которых этот пересадочный узел служит пунктом прибытия/отправления). Величины  $c_r$  определяют основной критерий создания пересадочных узлов, поскольку чем большему числу пассажиров можно сократить время поездки, тем большего сокращения среднего нормативного времени поездки можно достичь.

Необходимо исследовать величину  $c_r$  с учетом прогнозных значений и постоянно изменяющихся условий. Например, в связи с эпидемиологической обстановкой пассажиропоток спадает и многие работники различных сфер переходят на удаленную работу. При этом важен вопрос сокращения времени поездки по городу, что можно выразить через сокращение среднего нормативного времени одной поездки.

Если принять значение снижения средней длительности одной пересадочной поездки через узел  $r$  при условии оборудования в данном узле ТПУ, равное  $\Delta t_r$ , выбор оптимальной сети пересадочных узлов позволит сократить среднюю длительность поездки  $T'$  и приблизит его к нормативному  $T_{\text{норм}}$ . Сокращение времени в пути при пересадочных поездках уменьшит значение среднего статистического времени одной поездки с пересадкой по городу (3).

$$T' = \frac{1}{\sum_r c_r} \sum_r c_r \left( \frac{1}{N_r} \sum_{i,j} t_{irj} - \Delta t_r \right) x_r \leq T_{\text{норм}}. \quad (3)$$

Экономически целесообразным будет достижение  $T' = T_{\text{норм}}$  при

$$\sum_r x_r \rightarrow \min. \quad (4)$$

Для решения предлагается метод задачи «о ранце» (путем перебора вариантов). Для сокращения полного перебора всех вариантов список перебираемых вариантов упорядочивается по убыванию величин:

$$\beta_r = c_r \left( \frac{1}{N_r} \sum_{i,j} t_{irj} - \Delta t_r \right). \quad (5)$$

На примере системы городского общественного транспорта Самары решим задачу выбора оптимальной системы ТПУ (1)–(3) по критерию средней длительности поездки, используя метод, основанный на определении эффективных пересадочных узлов.

В основе метода лежит эвристический алгоритм, позволяющий с достаточной точностью определить оптимальные маршруты и выделить так называемые эффективные пересадочные узлы. Для этого используется программа «Эффективные пересадки». В программу в качестве исходных данных записываются названия и номера остановок, загружается матрица межостановочных корреспонденций, указываются все цепи остановок  $i, j$ , которые включены в маршруты городского общественного транспорта Самары. Поочередно исследуется каждая поездка

из  $i$  в  $j$ . Сначала программа «Эффективные пересадки» ищет остановки  $i$  и  $j$  в общем перечне маршрутов городского общественного транспорта и обозначает поездку в прямом сообщении, если такая поездка возможна. Программа рассматривает каждые  $i$  и  $j$ , в результате чего определяется перечень прямых (беспересадочных) маршрутов. После этого в программу записываются названия и номера остановок, загружается матрица корреспонденций (уже без тех остановок, которые задействованы в прямых маршрутах), цепи остановок  $i, j$ , которые включены в маршруты городского общественного транспорта. Исследуются поездки из  $i$  в  $j$ , для которых нет беспересадочного маршрута. Обозначим эти остановки:  $i^*$  и  $j^*$ . Осуществляется автоматический анализ пересадочных маршрутов, определяются  $i^*$  и  $j^*$ , которые встречаются первыми в цепи остановок, обозначаются пересадочные узлы  $k$ , через которые проезд будет осуществлен по кратчайшему пути. Может быть найдено несколько  $k$ . Получается множество равнозначных узлов, которые сохраняются в памяти программы. На следующем этапе изучаются новые сочетания маршрутов движения городского пассажирского транспорта, в результате чего определяется  $j^*$  в следующей цепочке, что, в свою очередь, генерирует множество новых узлов пересадки  $k^*$ . Сравниваются поездки из  $i^*$  в  $j^*$  через  $k$  и  $k^*$  при условии наименьшего расстояния следования (минимум числа остановочных пунктов между  $i^*$  в  $j^*$ ). В случаях меньшего расстояния следования через  $k^*$  множество  $k$  отбрасывается. В противном случае отбрасывается множество  $k^*$ . По такому же принципу складываются маршруты для любого  $i^*$ , определенного в сочетаниях маршрутов общественного транспорта. Так перебираются все возможные сочетания маршрутов общественного транспорта и определяются новые узлы пересадки. Согласно формуле (2), для всех перемещений назначением из  $i^*$  в  $j^*$  определяется оптимальный маршрут с необходимым числом пересадок.

Решая задачу (3) для городского округа Самары, невозможно получить нормативное время поездки по городу за счет создания ТПУ, а лишь сократить среднее время поездки на определенную величину. Целесообразно представить задачу таким образом, чтобы система ТПУ обеспечивала максимально возможное сокращение среднего времени поездки  $\Delta t_{\text{ср}}$  (6):

$$\Delta t_{\text{ср}} = \frac{1}{\sum_r c_r} \sum_r c_r \Delta t_r x_r \rightarrow \max. \quad (6)$$

В таком случае список перебираемых вариантов следует упорядочить по убыванию величин:

$$\beta_r^* = c_r \Delta t_r. \quad (7)$$

Для Самары составляется рейтинг ТПУ в порядке убывания величины  $\beta_r^*$ , равной произведению среднего снижения длительности поездки через эффективный пересадочный узел  $\Delta t_r$  на пассажиропоток  $c_r$ , проходящий через данный ТПУ (таблица).

Согласно формуле (6), определяет снижение средней длительности одной поездки по городу  $\Delta t_{\text{ср}}$  за счет строительства одного ТПУ (183), двух ТПУ (183 и 257), трех ТПУ (183, 257 и 122) и т.д.

Пассажиропоток беспересадочных сообщений для Самары составляет 382825 пасс./сут.

Исследования показали, что максимальную величину сокращения среднего времени поездки по городу за счет создания ТПУ можно получить при строительстве 25 транспортно-пересадочных узлов,  $\Delta t_{\text{ср}}$  при этом составит 6 мин (рис. 1).

Пандемия коронавируса снизила пассажиропоток на общественном транспорте Самары на 25 % (данные за февраль 2021 года), изменилась и структура пассажиропотока. Согласно предложенному нами методу подсчитан пассажиропоток и определены эффективные пересадочные узлы. В ходе проведенных исследований отмечена

**Снижение средней длительности одной поездки в системе общественного транспорта Самары при условии создания ТПУ**

№ п/п	№ пересадочного узла	Наименование	Величина среднего сокращения времени поездки через ТПУ $\Delta t_r$ , мин	Суточный пассажиропоток, $c_r$	Величина сокращения среднестатистического времени одной поездки по городу $\Delta t_{cp}$ , мин	$\beta_r^*$
1	183	Автостанция Аврора	10	88151	1,1	881510
2	257	Пл. Кирова	10	78206	1,9	78206
3	122	Железнодорожный вокзал	8	92155	2,5	737240
.....						
50	141	Киевская	5	27890	6,1	139450



- 26 Постников Овраг
- 46 Ново-Вокзальная (Московское шоссе)
- 47 Ново-Вокзальная (ул. Стара-Загора)
- 60 Стара-Загора (пр. Кирова)
- 67 14-й микрорайон
- 122 Железнодорожный вокзал
- 133 Полевая
- 143 Дачная
- 151 Автовокзал Центральный
- 163 Барбошина Поляна
- 183 Автостанция Аврора
- 199 Дом печати
- 212 Вольская
- 213 Безымянка
- 220 пр. Metallургов
- 236 Тухачевского
- 257 пл. Кирова
- 259 Ставропольская
- 265 Московское шоссе
- 266 Стара-Загора
- 269 Победа
- 280 пл. Революции
- 292 Галактионовская
- 297 Железнодорожный вокзал
- 323 Автостанция Вольская

*Рис. 1. Оптимальный выбор мест размещения ТПУ по критерию среднего времени поездки (данные по пассажиропотоку за февраль 2020 г.)*

тенденция изменения спроса на городской общественный транспорт. Выбраны 19 ТПУ, которые позволят получить максимальное сокращение среднестатистического времени поездки по городской транспортной сети за счет формирования системы ТПУ (на 6 мин). Оптимальный выбор мест размещения ТПУ

по критерию среднего времени поездки при заданных условиях представлен на рис. 2.

Исследовано колебание пассажиропотока и его влияние на выбор ТПУ, получена зависимость количества транспортно-пересадочных узлов, создание которых позволит достичь предельного





Рис. 2. Оптимальный выбор мест размещения ТПУ по критерию среднего времени поездки (данные по пассажиропотоку за февраль 2021 г.)

сокращения среднего времени поездки по городу за счет создания системы ТПУ, от пассажиропотока (рис. 3).

Резкий спад пассажиропотока влияет на состояние городской транспортной системы, загруженность маршрутов городского общественного транспорта, а также на выбор ТПУ. После нормализации эпидемиологической обстановки в России, в том числе и в Самарской области, ожидается увеличение пассажиропотока на городском

общественном транспорте до значений февраля 2020 г. Однако часть населения Самары останется работать в удаленном или частично удаленном режиме, изменится и структура пассажиропотока в связи с расширением границ города, увеличением численности населения (строительство новых городских застроек и жилых комплексов).

Независимо от величины пассажиропотока максимальное сокращение среднего времени поездки за счет

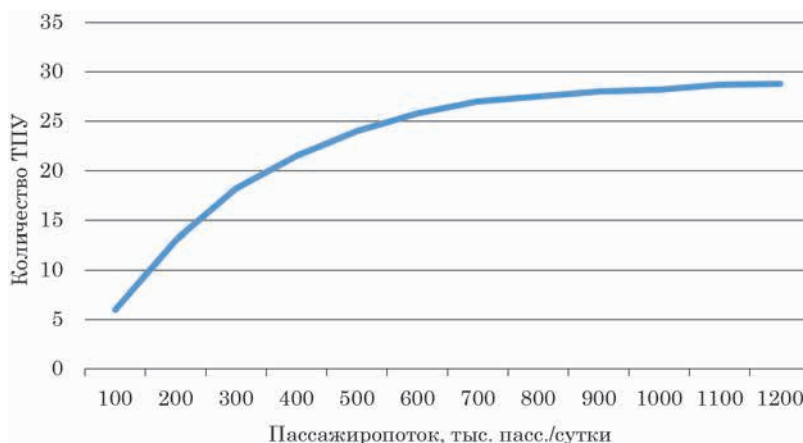


Рис. 3. Зависимость количества ТПУ, создание которых позволит достичь предельного сокращения среднего времени поездки по городу за счет создания системы ТПУ, от пассажиропотока

формирования системы ТПУ составит 6 мин ( $\Delta t_{\text{ср}}$ ). Для достижения нормативного времени поездки  $T_{\text{норм}}$  следует рассмотреть другие способы, например, снижение загруженности улично-дорожной сети, изменение маршрутов городского общественного транспорта или замену подвижного состава, которые в совокупности с системой ТПУ позволят снизить среднее время поездки по городу до нормативного.

Таким образом, предложенный метод выбора оптимальной сети ТПУ на основе эффективных пересадочных узлов позволяет решить задачу формирования

системы ТПУ по критерию средней длительности поездки в условиях изменения пассажиропотока.

Полученная зависимость количества ТПУ, благодаря созданию которых удастся достичь предельного снижения средней длительности поездки по городу за счет формирования сети ТПУ, от пассажиропотока показывает, что с увеличением пассажиропотока растет потребность в пересадочных узлах, однако при достижении предельного значения отмечается небольшой рост потребности числа ТПУ при значительном увеличении пассажиропотока. ■

### Литература

1. Monzón A., Hernández S., Ciommo F. Efficient urban interchanges: the City-HUB model // *Transportation Research Procedia*. 2016. № 14. P. 1124–1133.
2. Kristersson P. The role of public transport interchanges in regional planning // *Regions Magazine* 285 (1). 2012. P. 16–17.
3. Ciommo F., Monzón A., Barberan A. Interchange place: Sustainable and Efficient Urban Transport Interchanges. Chapter // In book: CITY-HUBs. 2016. P. 37–50.
4. Hernandez S., Monzon A. and Oña R. Urban transport interchanges: A methodology for evaluating perceived quality // *Transportation Research Part A*. 2016. № 84. P. 31–43.
5. Redman L., Friman M., Gärling T. and Hartig T. Quality attributes of public transport that attract car users: A research review // *Transport Policy*. 2013. № 25, P. 119–127.
6. Ciommo F., Vassallo J. M., Oliver A. Private Funding of Intermodal Exchange Stations in Urban Areas // *Transportation Research Record: Journal of the Transportation Research Board* 2115. 2009. № 12. P. 20–26.
7. Li Z.-C., Lam W., Wong S. C. Modeling intermodal equilibrium for bimodal transportation system design problems in a linear monocentric city // *Transportation Research Part B*, 46 (1). 2012. P. 30–49.
8. Sun C., Chen X., Zhang H. M., Huang Z. An Evaluation Method of Urban Public Transport Facilities Resource Supply Based on Accessibility // *Hindawi Journal of Advanced Transportation*. Article ID 3754205. 2018. 11 p.
9. Sherbina E. V., Danilina N. V., Vlasov D. N. City planning issues for sustainable development // *International Journal of Applied Engineering Research*. 2015. Vol. 10. № 22. P. 43131–43138. ISSN 0973-4562.
10. Шагмуратова А. А. Методика оценки развития транспортно-пересадочных узлов железнодорожного транспорта. URL: <http://naukovedenie.ru/PDF/111VN117.pdf> (дата обращения: 10.03.2022).
11. Kalyuzhnyi N., Losin L. A method of mathematical modeling for transfer hub establishment in Saint Petersburg // *Transportation Research Procedia*. 2018. № 36. P. 245–251.
12. Калюжный Н. А. Обоснование приоритетности мест размещения транспортно-пересадочных узлов в структуре агломерации методом математического моделирования // *Вестник гражданских инженеров*. 2017. № 5 (64). С. 142–148. ISSN 1999-5571.
13. Москвичев О. В., Леонова С. А. Методика выбора мест размещения транспортно-пересадочных узлов на основе оптимизационной математической модели // *Мир транспорта*. 2020. Т. 18. № 2 (87). С. 198–213. ISSN 1992-3252.
14. Moskvichev O. V., Leonova S. A. Development of a system of transport-interchange hubs in urban transport network // *January SHS Web of Conferences* 112(64):00015. 2021.
15. Moskvichev, O., Leonova, S. Organización del funcionamiento coordinado de distintos tipos de transporte de pasajeros en centros transporte-intercambio. *Nexo Revista Científica*, 2021. № 34 (06), P. 1793–1799. ISSN-E 1995-9516.



## References

1. Monzón A., Hernández S., Ciommo F. Efficient urban interchanges: the City-HUB model // *Transportation Research Procedia*. 2016. № 14. Pp. 1124–1133.
2. Kristersson P. The role of public transport interchanges in regional planning // *Regions Magazine* 285 (1). 2012. Pp. 16–17.
3. Ciommo F., Monzón A., Barberan A. Interchange place: Sustainable and Efficient Urban Transport Interchanges. Chapter // In book: *CITY-HUBs*. 2016. Pp. 37–50.
4. Hernandez S., Monzon A. and Oña R. Urban transport interchanges: A methodology for evaluating perceived quality // *Transportation Research Part A*. 2016. № 84. Pp. 31–43.
5. Redman L., Friman M., Gärling T. and Hartig T. Quality attributes of public transport that attract car users: A research review // *Transport Policy*. 2013. № 25, Pp. 119–127.
6. Ciommo F., Vassallo J. M., Oliver A. Private Funding of Intermodal Exchange Stations in Urban Areas // *Transportation Research Record: Journal of the Transportation Research Board* 2115. 2009. № 12. Pp. 20–26.
7. Li Z.-C., Lam W., Wong S.C. Modeling intermodal equilibrium for bimodal transportation system design problems in a linear monocentric city // *Transportation Research Part B*, 46 (1). 2012. Pp. 30–49.
8. Sun C., Chen X., Zhang H.M., Huang Z. An Evaluation Method of Urban Public Transport Facilities Resource Supply Based on Accessibility // *Hindawi Journal of Advanced Transportation*. Article ID 3754205. 2018. 11 p.
9. Sherbina E. V., Danilina N. V., Vlasov D. N. City planning issues for sustainable development // *International Journal of Applied Engineering Research*. 2015. Vol. 10. № 22. P. 43131–43138. ISSN 0973-4562.
10. Shagimuratova A. A. Methodology for assessing the development of transport interchange hubs of railway transport. [Metodika otsenki razvitiya transportno-peresadochnykh uzlov zheleznodorozhnogo transporta.] URL: <http://naukovedenie.ru/PDF/111VN117.pdf> (accessed: 03/10/2022).
11. Kalyuzhny N., Losin L. Method of mathematical modeling for creating a transfer hub in St. Petersburg // *Procedure of transport research*. 2018. № 36. Pp. 245–251.
12. Kalyuzhny N. A. Substantiation of priority of locations of transport hubs in the agglomeration structure by the method of mathematical modeling // *Bulletin of Civil Engineers*. [Obosnovanie prioritetnosti mest razmeshheniya transportno-peresadochnykh uzlov v strukture aglomeratsii metodom matematicheskogo modelirovaniya // *Vestnik grazhdanskikh inzhenerov*.] 2017. № 5 (64). Pp. 142–148. ISSN 1999-5571.
13. Moskvichev O. V., Leonova S. A. Methodology for choosing locations of transport hubs based on the optimization mathematical model // *The world of transport*. [Metodika vybora mest razmeshheniya transportno-peresadochnykh uzlov na osnove optimizatsionnoj matematicheskoy modeli // *Mir transporta*.] 2020. Vol. 18. № 2 (87). Pp. 198–213. ISSN 1992-3252.
14. Moskvichev O. V., Leonova S. A. Development of the system of transport-interchange hubs in urban transport network // *January SHS Web of Conferences* 112(64):00015. 2021.
15. Moskvichev, O., Leonova, S. Organization of coordinated functioning of different types of passenger transport in transport-exchange centers. *Nexo Scientific Journal*, 2021. № 34 (06), Pp. 1793–1799. ISSN-E 1995-9516.

*Статья сдана в редакцию 30 марта 2022 года*

# Организация и логистика

УДК 656.09

Е. Ю. Кузнецова, Н. А. Амосов

## Организация единой утилизационной системы для транспортных средств на территории России

UDC 656.09

E. Yu. Kuznetsova, N. A. Amosov

## Organization of a unified recycling system for vehicles on the territory of Russia

### Аннотация

Поднята проблема утилизации транспортных средств, вышедших из эксплуатации. Дана оценка системы утилизации транспортных средств стран Европы. Проведен анализ возрастной структуры городского парка транспортных средств по данным Росстата на конец 2019 г. Выявлены проблемы действующей системы утилизации в России. В ходе исследования определена очередность вступления видов транспортных средств в единую систему утилизации. Описана структура утилизирующего производства на основе зарубежного опыта. Определены назначения утилизационных мощностей

по участкам и технологиям утилизации. Разработана методика определения рационального размещения утилизирующих производств на территории России с учетом критерия величины города тяготения и критерия технологичности. Для расчетной части используются значения потенциалов городов наибольшего скопления транспортных средств. Обоснованы причины исключения городов федерального значения из дальнейших расчетов. Аргументирована группировка городов для графической части. Выявлены параметры, позволяющие определить целесообразное местоположение предельных установок. Методика

учитывает критерий улучшения социально-экономического положения малых и средних городов. Обоснованы ограничения по этапам методики. Представлена проверка методики и полученных результатов по оценке трудовых ресурсов. В исследовании получены результаты в ходе апробация методики. Один из полученных результатов не прошел проверку по количеству населения, однако был проведен дополнительный анализ.

**Ключевые слова:** утилизация транспортных средств, система утилизации, методика размещения производств, моногорода.

DOI: 10.20291/2079-0392-2022-2-93-107

Статья рекомендована к опубликованию М. А. Журавской, канд. техн. наук, доцентом, исполнительным директором Уральской логистической ассоциации E-mail: zma@noula.ru.

**Елена Юрьевна Кузнецова**, д-р эконом. наук, профессор; кафедра организации машиностроительного производства Уральского федерального университета; Екатеринбург, Россия. E-mail: e.y.kuznetsova@urfu.ru. ORCID 0000-0003-1225-457X.

**Никита Андреевич Амосов**, аспирант, ассистент; кафедра организации машиностроительного производства Уральского федерального университета; Екатеринбург, Россия. E-mail: nikita.amosov@urfu.ru. ORCID 0000-0002-6355-1470.

© Е. Ю. Кузнецова, Н. А. Амосов, 2022

The article is recommended for publishing by M. A. Zhuravskaya, Candidate of Technical Sciences, Associate Professor, Executive Director of the Ural Logistics Association E-mail: zma@noula.ru.

**Elena Yurievna Kuznetsova**, Doctor of Economics, Professor; Chair of Organization of Machine-Building Production of Ural Federal University; Yekaterinburg, Russia. E-mail: e.y.kuznetsova@urfu.ru. ORCID 0000-0003-1225-457X.

**Nikita Andreyevich Amosov**, Post-graduate student, Assistant; Chair of Organization of Machine-Building Production of Ural Federal University; Yekaterinburg, Russia. E-mail: nikita.amosov@urfu.ru. ORCID 0000-0002-6355-1470.

© E. Y. Kuznetsova, N. A. Amosov, 2022

**Abstract**

The problem of disposal of vehicles that had been decommissioned was raised. The assessment of the vehicle recycling system of European countries is given. The analysis of the age structure of the city fleet of vehicles according to Rosstat data for the end of 2019 was carried out. The problems of the current recycling system in Russia have been identified. In the course of the study, the order of vehicle types entry into a single recycling system was determined. The structure of recycling production based on foreign experience is described. The purposes of utilization

capacities by sites and technologies of utilization are determined. A methodology for determining the rational placement of recycling facilities on the territory of Russia was developed, taking into account the criterion of the city size and the criterion of manufacturability. For the calculation part, the values of the potentials of the cities with the largest congestion of vehicles are used. The reasons for excluding cities of federal significance from further calculations are substantiated. The grouping of cities for the graphic part is reasoned. The parameters allowing to determine the

appropriate location of shredder installations are revealed. The methodology takes into account the criterion of improving the socio-economic situation of small and medium-sized cities. The approbation of the methodology verification is presented and the results obtained for evaluation of labour resources are verified. One of the results obtained did not pass the population test, but an additional analysis was carried out.

**Keywords:** utilization of vehicles, recycling system, methods of production placement, single-industry towns.

DOI: 10.20291/2079-0392-2022-2-93-107

**Т**енденция развития транспортной отрасли XXI в. заключается в обеспечении транспортной системы парком транспортных средств (ТС) с высоким уровнем эксплуатационного состояния и минимальным негативным влиянием на окружающую среду.

Транспортная инфраструктура России занимает передовые позиции в решении транспортных задач разного уровня, а задачи, учитывающие территориальные особенности страны, индивидуальны и не имеют мировых аналогов. В настоящий момент ученые всего мира ведут дискуссии на тему сокращения количества вредных выбросов транспортными средствами при эксплуатации. Но мало кто из авторов приводит данные о влиянии процессов утилизации разных компонентов транспортных средств на окружающую среду [1–3].

В Европе более 85 % транспортных средств, вышедших из эксплуатации, перерабатываются на специальных предприятиях. В США рециклинг автомобилей составляет до 95 %, а в Японии – 88 %. В США в области утилизации ТС участвует примерно 7000 утилизирующих предприятий, на которых

работает примерно 46000 чел., ежегодные доходы от переработки ТС составляют более 25 млрд долл., помимо этого, около 20 000 предприятий занимаются сбором и первичной подготовкой ТС к утилизации. Транспортная утилизационная система США позволяет ежегодно утилизировать около 15 млн ТС [4].

На территории России утилизацией занимаются частные компании, работающие в индивидуальном режиме. Действующих утилизационных мощностей недостаточно, чтобы переработать весь объем ТС, которые в ближайшие годы выйдут из эксплуатации (таблица 1).

Более 40 % от общего количества ТС составляют находящиеся на этапе выхода из эксплуатации. В нашей стране до сих пор применяют устаревшие технологические процессы утилизации, да и эффективность переработки нуждается в совершенствовании. Для решения этих проблем необходимо создать единую утилизационную систему ТС [5].

Модель размещения утилизационной системы ТС, вышедших из эксплуатации, подразумевает под собой структуру утилизационных мощностей транспортных средств и их рациональное местоположение; модель должна

Таблица 1

Возрастная структура городского парка ТС на конец 2019 г.

Вид ТС	Кол-во ТС, тыс.	Возрастная структура, %					
		до 5 лет	5,1–10	10–15	15,1–20	20,1–25	более 25
Автобусы	869	28,6	25,5	45,9			
Легковые автомобили	48430	28,9	23,5	47,6			
Трамвайные вагоны	7677	11	8	12	5	5	59
Троллейбусы	8706	11	25	27	10	5	22
Вагоны метрополитена	8660	25	19	10	4	6	36

обеспечивать минимизацию логистических затрат и учесть возможность повышения экономического благосостояния в малых и средних городах России.

Каждый вид ТС, эксплуатируемых в РФ, имеет свои особенности как объект дальнейшей переработки, поэтому включать каждый вид ТС в общую систему нужно последовательно. Начать целесообразно с городских видов транспорта (автобусы, трамвайные вагоны, троллейбусы, вагоны метрополитена и легковые автомобили; последние в данном случае рассматриваются как городское мобильное средство передвижения).

Для создания единой утилизационной системы городского вида транспорта есть три основные причины:

а) наибольшее количество исследований в области утилизации ТС направлены на утилизацию легковых автомобилей [6, 7],

б) из-за ограниченной зоны эксплуатации городского транспорта сбор ТС после их выхода из эксплуатации упрощён,

в) это самый массовый вид ТС по общему количеству.

После проверки системы утилизации ТС на городском транспорте в нее включают остальные виды ТС.

В крупных городах России доля легковых автомобилей по отношению к городскому в массе составляет не менее 90 %, а в штучном выражении – около 99 %. Структура утилизирующего производства представлена на рис. 1.

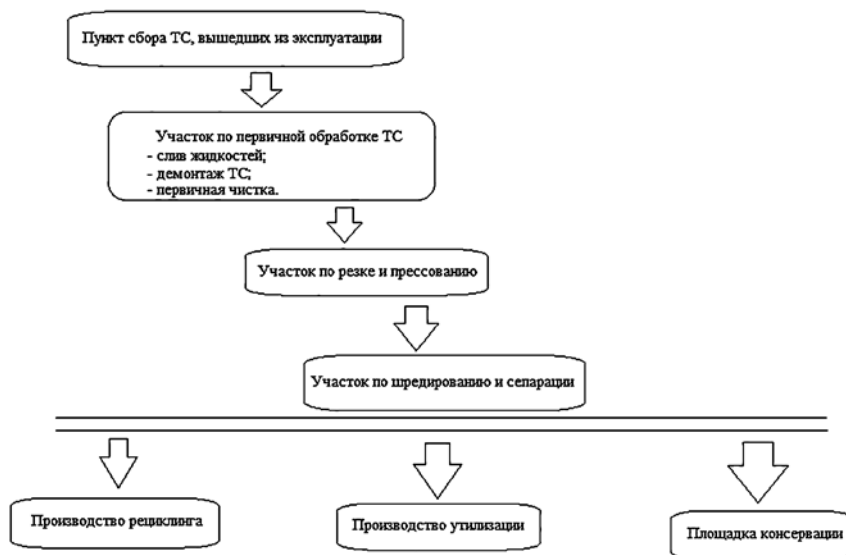


Рис. 1. Структура утилизирующего производства

Предполагается создание мощностей для утилизации транспортных средств, вышедших из эксплуатации, по группам материалов.

Категории утилизационных мощностей общего, промежуточного и специального назначений представлены на рис. 1 (см.), разграничения технологий обращения с отходами ТС на общие, промежуточные и специальные – в таблице 2.

В категорию «Общие» входят операции подготовки компонентов ТС, вышедших из эксплуатации, к безопасной транспортировке на промежуточные и специальные утилизирующие производственные цеха по необходимым группам материалов.

Промежуточные утилизирующие мощности направлены на чистку, дробление и сепарацию твердых отходов ТС для последующих операций.

Специальные – производственные мощности по утилизации всех видов отходов ТС, вышедших из эксплуатации, по группам материалов.

*Учет критерия величины города тяготения.* Размещение утилизационных

центров за пределами крупных городов – обязательное условие из-за необходимости повышения экономического уровня регионов путем строительства предприятий в малых и средних городах, многие из которых являются моногородами [8], а также для предотвращения ухудшения экологической нагрузки на мегаполисы [9].

Определение рационального местоположения сводится к тому, чтобы найти населенный пункт, расположенный равнопотенциально между крупными городами, куда будут направлять ТС.

Города России, численность населения которых превышает 1 млн человек, с указанием количества легковых автомобилей в этих городах, представлены в таблице 3 [10]. Для дальнейших расчетов приняты данные по легковым автомобилям.

Утилизирующие мощности ТС общего назначения на первом этапе будут созданы в крупнейших городах России. Пунктами сборов ТС и их отходов должны заниматься дилеры автопроизводителей и другие автомастерские. Пункты сбора и участки по сливу

Таблица 2

Разграничения технологий обращения с отходами ТС, вышедших из эксплуатации, на общие, промежуточные и специальные.

Участок	Технология обращения с отходами ТС	Назначение утилизационных мощностей
Пункт сбора	Сбор ТС, вышедших из эксплуатации	Общее
Участок по первичной обработке	Слив жидкостей, демонтаж компонентов	
Участок по резке и прессованию	Резка, прессование	
Цех по шредированию и сепарации	Дробление, сепарация	Промежуточное
Утилизационные центры по рециклингу	Перепроизводство материалов (нефтепродукты, аккумуляторы, стекло, пластик, текстиль, переплавка металла)	Специальное
Утилизационные центры по утилизации	Утилизация (сжигание)	
Утилизационные центры по консервации	Консервация	

Таблица 3

Город	Численность, чел.	Легковые автомобили, кол-во	Кол-во легковых автомобилей на 1 жителя	Кол-во жителей на 1 легковой автомобиль	Доля легковых автомобилей относительно общего количества в стране, %
Москва	12655050	3819215	0,30	3,3	8,74
Санкт-Петербург	5384342	1682345	0,31	3,2	3,85
Новосибирск	1620162	445000	0,27	3,6	1,02
Екатеринбург	1495066	462000	0,31	3,2	1,06
Казань	1257341	374000	0,30	3,4	0,86
Нижегород	1244254	361000	0,29	3,4	0,83
Челябинск	1187960	331000	0,28	3,6	0,76
Самара	1144759	394000	0,34	2,9	0,90
Омск	1139897	341000	0,30	3,3	0,78
Ростов-на-Дону	1137704	319200	0,28	3,6	0,73
Уфа	1125933	311000	0,28	3,6	0,71
Красноярск	1092851	312500	0,29	3,5	0,72
Воронеж	1050602	330000	0,31	3,2	0,76
Пермь	1049199	237000	0,23	4,4	0,54
Волгоград	1004763	256300	0,26	3,9	0,59
Итого					22,83

жидкостей и разборке транспортных средств предполагается разместить в крупнейших городах.

На первом этапе следует исключить построение недостающего количества утилизационных центров вблизи Москвы и Санкт-Петербурга. Обоснованием исключения федеральных городов из потенциальных мест расположения утилизационных центров заключается в том, что внедрение утилизационной политики ТС рассматривается как возможность улучшения экономического состояния населения в малых и средних городах России, тем самым повышая привлекательность небольших городов для граждан.

Общее количество ТС, эксплуатируемых в городах федерального значения, превышает количество ТС, эксплуатируемых в остальных 13 городах, где численность более 1 млн человек. Первичные статистические данные

показывают, строить утилизационные центры необходимо вблизи Москвы, но в таком случае ухудшится рациональное распределение населения по территории страны. Построение утилизационных центров снизит приток населения из регионов в центральную часть страны. Должна быть предложена такая методика вычисления местоположения утилизационных центров, которая учтет скопление более 50 % ТС в городах федерального значения, но не ухудшит проблему миграции населения по территории России.

*Учет критерия технологичности.* Для действующих утилизационных предприятий следует проработать программу их включения в единую систему утилизации ТС. Такая система позволит выявить рабочие утилизирующие предприятия, соответствующие необходимым нормам утилизации, и исключить из рынка недобросовестные компании.



Далее рассчитывается недостающее количество утилизационных мощностей по конкретным видам отходов.

ТС общего назначения будут утилизироваться в соответствующих пунктах сбора.

Количество участков общего назначения должно превышать остальные мощности, т.к. узкое место таких операций – именно демонтаж ТС. На практике производительность разборки на одном участке составляет не более 25 легковых автомобилей в день.

Производственные мощности специального назначения будут находиться в утилизационных центрах (могут быть как узкоспециализированным и заниматься утилизацией только одного вида отходов, так и многофункциональным и производить утилизацию нескольких видов отходов ТС). Строить недостающие производственные мощности специального назначения необходимо в центре тяготения между пунктами скопления ТС.

Промежуточные утилизационные мощности имеют самую высокую производительность. Производительность операции дробления составляет до 400 т/ч. Стоимость одной шредерной установки – 10 000 млн долл.; в России функционирует всего четыре шредера [4] (для сравнения: в Германии – 40 установок, в Англии – 30).

Шредерные установки следует размещать между несколькими точками скопления ТС, а именно, на территории созданных утилизационных центров. Однако в таком варианте резко возрастут логистические затраты. Перевозка компонентов ТС до утилизационных центров после операций общего назначения будет дороже, чем после шредирования. Второй вариант размещения нескольких шредерных установок с меньшей производительностью – в городах наибольшего скопления ТС.

Выбор варианта размещения утилизационных мощностей промежуточного назначения заключается в соотношении между вариантами суммы затрат на закупку, монтаж, пуско-наладку

и эксплуатацию шредерного оборудования, включая логистику материалов ТС, отправленных на утилизацию за весь срок полезного использования оборудования.

Утилизационные мощности общего, промежуточного и специального назначения по разным категориям с обращением отходов будут сформированы в единую систему утилизации ТС, вышедших из эксплуатации. Для грамотного построения целой сети утилизационных производств предлагается постепенное внедрение производственных мощностей с возможностью дальнейшей корректировки и ее адаптации под утилизацию других видов ТС.

*Методика размещения утилизационных мощностей.* Предлагается методика вычисления рационального расположения недостающего количества утилизационных центров с помощью вычисления потенциала. Города с численностью населения более 1 млн человек будут сгруппированы по принадлежности к федеральным округам. Каждая группа должна содержать не менее двух городов. В Центральном федеральном округе рассматривается только один город – Воронеж. В таком случае город Воронеж будет относиться к группе близлежащего федерального округа.

Исключениями в соотношении городов по группам становятся Уфа и Пермь, т.к. если их отнести к группе 2, то первичный анализ полученной геометрической фигуры показывает, что территория размещения рационального местоположения утилизирующего центра будет проходить вблизи Казани, что противоречит ограничению построения утилизационного центра. Также Уфа и Пермь находятся ближе к городам группы 3, поэтому эти города исключения и относятся к центру 3 (таблица 4).

Для нахождения рационального территориального местоположения утилизационного центра предлагается следующая методика.



Таблица 4

Группировка городов по утилизационным центрам

Центр	Группа	Город
1	1	Воронеж – Волгоград – Ростов-на-Дону
2	2	Нижний Новгород – Казань – Самара
3	3	Уфа – Пермь – Екатеринбург – Челябинск
4	4	Омск – Новосибирск – Красноярск

*Первый этап. Нахождение потенциала каждого города из таблицы 3*

Потенциал конкретного города выражается в числовом значении; чем выше потенциал города, тем он предпочтительнее с точки зрения размещения утилизирующих мощностей вблизи этого города относительно остальных. Параметры нахождения потенциала – расстояние между городами наибольшего скопления и количество ТС в этих городах.

Формула нахождения общего потенциала города представлена на рис. 2.

Схема чтения результатов расчета потенциалов крупнейших городов России представлена в таблице 5.

Результаты расчетов значения потенциалов крупнейших городов России приведены в таблице 6.

Максимальное значение потенциала среди городов нефедерального значения имеют Воронеж и Нижний Новгород (из-за близости к Москве

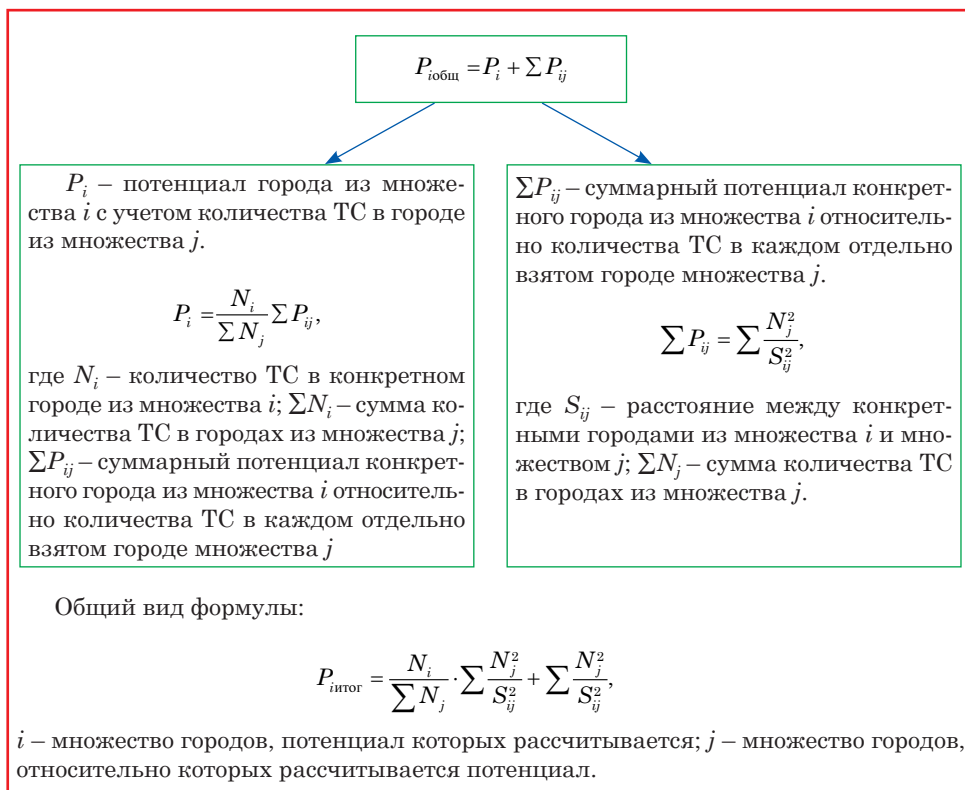


Рис. 2. Формула нахождения общего потенциала города

Таблица 5

Город	1	2	3	...	$P_{i\text{общ}}$
1	$P_1$	$P_{12}$	$P_{13}$	$P_{1...}$	$P_{1\text{общ}}$
2	$P_{21}$	$P_2$	$P_{23}$	$P_{2...}$	$P_{2\text{общ}}$
3	$P_{31}$	$P_{32}$	$P_3$	$P_{3...}$	$P_{3\text{общ}}$
...	$P_{...1}$	$P_{...2}$	$P_{...3}$	$P_{...}$	$P_{...общ}$

Таблица 6

Город	Санкт-Петербург	Москва	Воронеж	Екатеринбург	Новосибирск	Самара	Казань	Нижний Новгород	Омск	Челябинск	Пермь	Волгоград	Уфа	Красноярск	Ростов-на-Дону	$P_{i\text{общ}}$
Санкт-Петербург	65,7	35,50	0,10	0,07	0,02	0,08	0,09	9,91	0,02	0,03	0,03	0,03	0,04	0,01	0,04	111,7
Москва	6,89	149,3	0,49	0,11	0,02	0,21	0,27	0,78	0,02	0,05	0,04	0,08	0,07	0,01	0,11	158,4
Воронеж	2,47	65,47	12,9	0,09	0,02	0,27	0,22	0,36	0,02	0,05	0,03	0,26	0,07	0,01	0,42	82,7
Екатеринбург	0,89	7,22	0,05	18,05	0,10	0,26	0,27	0,13	0,17	1,25	0,64	0,03	0,68	0,03	0,03	29,8
Новосибирск	0,29	1,84	0,01	0,11	17,39	0,03	0,03	0,02	0,31	0,06	0,02	0,01	0,03	0,23	0,01	20,4
Самара	1,38	19,63	0,19	0,35	0,04	15,4	1,62	0,47	0,05	0,19	0,13	0,16	0,57	0,01	0,10	40,3
Казань	1,92	27,83	0,17	0,41	0,04	1,80	14,6	1,23	0,05	0,18	0,23	0,09	0,48	0,01	0,08	49,1
Нижний Новгород	3,54	87,20	0,30	0,20	0,03	0,56	1,32	14,1	0,03	0,09	0,10	0,09	0,16	0,01	0,10	107,9
Омск	0,42	2,90	0,02	0,32	0,54	0,07	0,06	0,04	13,3	0,19	0,05	0,02	0,08	0,06	0,02	18,1
Челябинск	0,78	6,47	0,05	5,73	0,11	0,26	0,23	0,11	0,20	12,9	0,03	0,03	0,04	2,62	0,05	29,7
Пермь	1,27	10,90	0,06	2,44	0,07	0,36	0,57	0,23	0,10	0,55	9,3	0,04	0,71	0,02	0,04	26,6
Волгоград	1,18	17,27	0,43	0,11	0,03	0,38	0,19	0,18	0,03	0,06	0,03	10,1	0,09	0,01	0,66	30,7
Уфа	1,06	10,67	0,08	1,50	0,07	0,91	0,70	0,22	0,09	0,87	0,41	0,06	12,0	0,02	0,05	28,9
Красноярск	0,22	1,29	0,01	0,05	0,47	0,02	0,02	0,01	0,08	0,03	0,01	0,01	0,02	12,2	0,01	14,5
Ростов-на-Дону	1,19	15,89	0,45	0,07	0,02	0,16	0,11	0,12	0,02	0,04	0,02	0,42	0,05	0,01	12,0	31,1

и Санкт-Петербургу). Утилизационные мощности групп 1 и 2 для утилизации ТС, вышедших из эксплуатации, намного больше, чем в городах федерального значения.

*Второй этап. Определение точки равнозначного потенциального притяжения города к городу в группе*

Определение равнозначной потенциальной точки относительно каждого

города к городу в группе осуществляется с помощью гравитационной модели Рейли [11].

Адаптированный вид формулы:

$$L = \frac{S_{AB}}{1 + \sqrt{\frac{P_A}{P_B}}},$$

где  $L$  – расстояние от города А до расположения равнозначной потенциальной

точки на отрезке, соединяющем два города в группе;  $S_{AB}$  – расстояние между двумя населенными пунктами в группе;  $P_A, P_B$  – потенциалы общих близлежащих городов.

В качестве примера рассмотрим группу 2 (Нижний Новгород – Казань – Самара). Равнозначные потенциальные точки относительно потенциалов городов группы будут находиться на отрезках, соединяющих эти города. В таблице 7 приведены данные по расчету равнозначных потенциальных точек в группе 2.

На рис. 3 представлены равнозначные потенциальные точки.

В дальнейшем рассмотрим треугольник, полученный соединением равнозначных потенциальных точек. При проверке модели все построения были реализованы с помощью сервиса Google My Maps.

*Третий этап. Определение барицентра и поиск наиболее приближенных железнодорожных транспортных пунктов к полученному барицентру*

Город, максимально приближенный к барицентру группы и имеющий железнодорожный грузовой терминал, – рациональное местоположение утилизирующего центра в каждой группе.

Таблица 7

Наименование	Расстояние между двумя населенными пунктами в группе ( $S_{AB}$ ), км	Потенциал города А ( $P_A$ )	Потенциал города В ( $P_B$ )	Расстояние от города А ( $L$ ), км
Нижний Новгород – Казань	324	107,85	49,14	130,57
Нижний Новгород – Самара	526	107,85	40,29	199,54
Казань – Самара	296	49,14	40,29	140,66

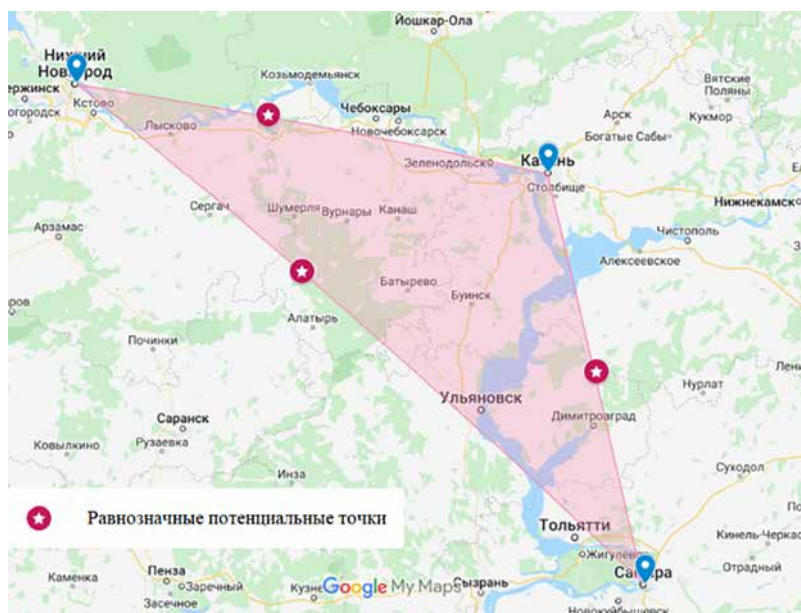


Рис. 3. Равнозначные потенциальные точки

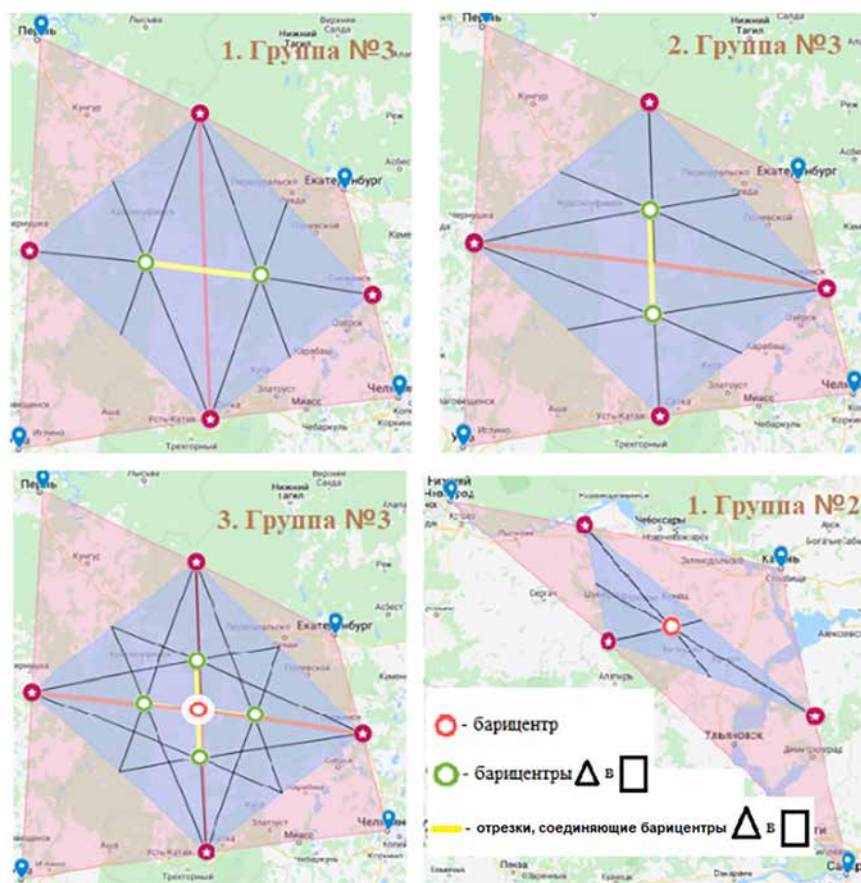


Рис. 4

Барицентр находится с помощью построений. В геометрической фигуре «треугольник» центр масс находится на пересечении медиан. В группе 3 геометрической фигурой служит четырехугольник. В этом случае барицентр находится на пересечении двух отрезков, получаемых соединением двух групп треугольников, делящих четырехугольник пополам.

Построения для нахождения барицентров групп 2 и 3 представлены на рис. 4.

Следующий шаг – поиск максимально приближенных железнодорожных транспортных пунктов к полученным барицентрам каждой группы. Города, имеющие железнодорожные транспортные пункты и приближенные к барицентрам групп, представлены в таблице 8 [12].

Томск и Кемерово не подходят под условие развития малых и средних городов. Ближайшим малым или средним городом (и лучшим для утилизационного центра четвертой группы) относительно барицентра четвертой группы является Ленинск-Кузнецкий с численностью 93288 чел.

Город Канаш входит в категорию монопрофильных муниципальных образований с наиболее сложным социально-экономическим положением, а Ленинск-Кузнецкий – в категорию, в которой имеются риски ухудшения социально-экономического положения. С помощью разработанной модели системы утилизации можно улучшить социально-экономическое положение многих городов.

Таблица 8

Группы	Города, имеющие железнодорожный транспортный пункт, максимально приближенные к баричесентру группы	Города, имеющие железнодорожные транспортные пункты, занимающие второе место по приближенности к баричесентру группы	Отношение расстояния между ближайшими городами до баричесентра группы
Воронеж – Волгоград – Ростов-на-Дону	Россошь	Лиховской	0,70
Нижний Новгород – Казань – Самара	Канаш	Чебоксары	0,26
Уфа – Пермь – Екатеринбург – Челябинск	Красноуфимск	Миасс	0,40
Омск – Новосибирск – Красноярск	Томск	Кемерово	0,83

*Четвертый этап. Проверка возможности построения утилизационных центров в полученных по результатам расчета городах*

Проверим реальность создания утилизационных центров в выявленных на третьем этапе городах с помощью оценки трудовых ресурсов этих городов; используем расчет следующих показателей: средняя заработная плата, средняя стоимость квадратного метра жилья, уровень безработного населения.

Ожидается, что средняя заработная плата в выбранных городах должна быть ниже по региону. При реализации утилизационного центра это позволит сократить затраты на заработную плату сотрудников или повысить привлекательность рабочих мест в утилизационном центре для местного населения [13]. Еще один важный критерий – более низкая стоимость квадратного метра жилья по региону.

Один из элементов оценки трудовых ресурсов заключается в расчете уровня безработного населения. Уровень безработного населения – критерий, показывающий отношение неработающего населения в возрасте старше 22 лет, имеющего среднее профессиональное или высшее образование, к требуемому количеству работников для нормального функционирования утилизационного центра [14].

Формула оценки трудовых ресурсов ( $K$ ):

$$K = \sqrt{\frac{Z_i}{Z_{cp}} \cdot \frac{C_i}{C_{cp}}} \cdot \frac{\gamma \cdot N_1}{N_{min}},$$

где  $Z_i$  – средняя заработная плата в регионе  $i$ ;  $Z_{cp}$  – средняя заработная плата в России;  $C_i$  – стоимость квадратного метра жилья в регионе;  $C_{cp}$  – стоимость квадратного метра жилья в России;  $\gamma$  – коэффициент запаса;  $N_1$  – количество безработных человек за 2021 г.;  $N_{min}$  – необходимое количество работников для утилизационного центра.

Количество безработных, чел.:

$$N_1 = N_i \cdot \mu \cdot \lambda,$$

$N_i$  – количество человек проживающих в городе  $i$ ;  $\mu$  – уровень безработицы в регионе;  $\lambda$  – доля рабочей силы в возрасте 22 лет и старше с высшим или средним образованием в регионе.

Коэффициент запаса:

$$\gamma = \frac{\frac{D_2 \cdot 100}{D_1} + \frac{D_3 \cdot 100}{D_2} + \dots}{n - 1},$$

где  $D_1$  – уровень безработицы населения в регионе за 2021 г.;  $D_2$  – уровень безработицы населения в регионе за

2020 г.;  $D_3$  – уровень безработицы населения в регионе за 2019 г.;  $n$  – количество лет, рассмотренных для расчета коэффициента запаса.

Пример расчета возможности построения утилизационного центра в Канаше для предприятия с численностью в 1000 человек:

$$\gamma = \frac{\frac{4,7 \cdot 100}{6,1} + \frac{5,0 \cdot 100}{4,7} + \frac{5,1 \cdot 100}{5,0} \dots}{3 - 1} = 0,95,$$

$$\frac{Z_i}{Z_{cp}} > 1; \quad \frac{C_i}{C_{cp}} > 1; \quad \frac{\gamma \cdot N_1}{N_{min}} > 1.$$

$$N_1 = 44438 \cdot 0,061 \cdot 0,759 = 2057 \text{ чел.}$$

$$K = \sqrt{\frac{Z_i}{Z_{cp}} \cdot \frac{C_i}{C_{cp}} \cdot \frac{\gamma \cdot N_1}{N_{min}}} = \sqrt{\frac{51016}{31881} \cdot \frac{47865,34}{37542} \cdot \frac{0,95 \cdot 2057}{1000}} = 2,8.$$

Показатель  $K$  должен быть больше 1.

Расчетный показатель  $K$  составляет 2,8, то есть для группы 2 целесообразно создание утилизационного центра в Канаше. Расчетный показатель  $K$  превышает минимальное значение в два раза, что говорит о надежности обеспечения нового предприятия трудовыми ресурсами. Если показатель  $K$  чуть больше 1, то есть риск не обеспечить предприятие достаточным количеством рабочей силы. В таком случае необходимо провести более детальный анализ трудового населения в данном городе.

Выбранный метод проверки подразумевает анализ трудового рынка для обеспечения будущего утилизационного центра трудовыми ресурсами. Не подразумевается, что все неработающее население на данной территории следует трудоустроить именно на рабочие места конкретного утилизационного центра; рассматривается возможность привлечения сторонних специалистов. При переходе работников других организаций на рабочие места утилизационного

центра освободятся вакансии в существующих организациях, значит, безработица сократится.

Итак, с помощью нахождения потенциала городов, адаптации гравитационной модели В. Рейли и использования графического метода были найдены города для рационального размещения недостающих центров по утилизации ТС. По всем полученным городам проведена проверка на возможность построения утилизационных центров по оценке трудовых ресурсов  $K$  для предприятий с численностью рабочих в 1000 человек (таблица 9).

Таблица 9

Данные по расчетному показателю  $K$  для максимально приближенных к барицентрам соответствующих групп

№	Город	Значение показателя $K$
1	Россошь	2,0
2	Канаш	2,8
3	Красноуфимск	2,5
4	Ленинск-Кузнецкий	6,2

Все значения показателя  $K$  рассматриваемых городов более 2, таким образом, все города прошли проверку по трудовым ресурсам и тем самым рекомендованы для строительства утилизационных центров.

Общая схема размещения требуемых утилизационных мощностей общего, промежуточного и специального назначения для ТС, выпедших из эксплуатации, представлена на рис. 5.

При создании утилизационной системы в городе с численностью более 1 млн чел. будут построены утилизационные участки общего назначения.

В городах Россошь, Канаш, Красноуфимск и Ленинск-Кузнецкий должны быть построены утилизационные центры специального назначения с той утилизирующей мощностью, которой не хватает системе утилизации для своевременной утилизации ТС.



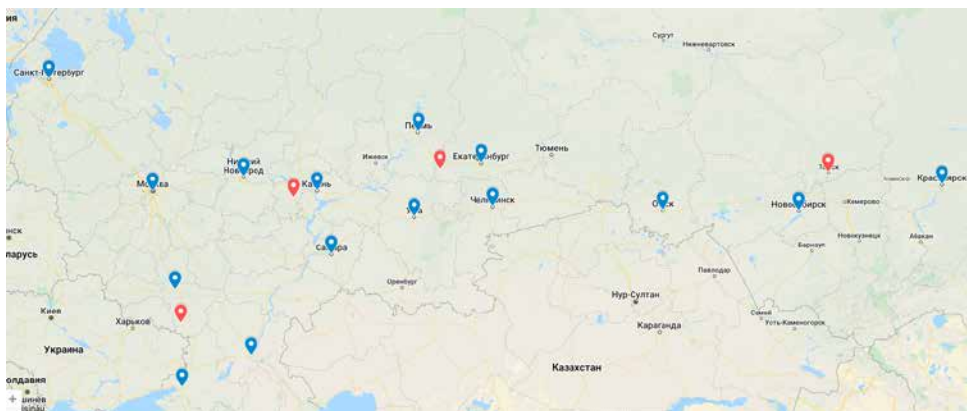


Рис. 5. Схема размещения утилизационных мощностей общего, промежуточного и специального назначения для ТС, вышедших из эксплуатации

Утилизационные мощности промежуточного назначения должны быть расположены в городах наибольшего скопления ТС или в городах с утилизационными центрами специального назначения. Окончательное местоположение шредерных установок выбирается с помощью анализа стоимостных затрат.

### Заключение

В ходе исследования предложена модель единой утилизационной системы ТС. Определено, что в первую очередь в единую утилизационную систему следует включить городской вид транспорта. Сформирована структура утилизирующих производств для единой утилизационной системы, основанная на утилизации легковых автомобилей. Разработана методика определения рационального размещения утилизационных производств с помощью нахождения потенциала городов, адаптации гравитационной модели В. Рейли и использования графического метода.

Дальнейшая перспектива развития модели заключается в создании и расширении сети производственных площадок, что позволит обеспечить доступность сбора вышедших из эксплуатации ТС и в других городах, увеличивая объемы сбора и разборки ТС.

В утилизационных центрах следует построить цеха для утилизации материалов второго приоритета. Исследователям в области утилизации следует разработать технологии и оборудование для не утилизируемых на сегодняшний день материалов ТС.

Следующие этапы по созданию единой утилизационной системы будут заключаться в постепенном включении всех видов ТС в утилизационную систему путем дозагрузки действующих утилизационных мощностей и создания недостающих мощностей на наиболее рациональной территории размещения, вычисленной методом нахождения барицентров относительно потенциалов мест скопления ТС. ■

### Литература

1. Журавлев А. Н. Режим движения автомобилей – фактор, определяющий уровень загрязнения атмосферного воздуха городской среды / А. Н. Журавлев, Ю. М. Овешников // Вестник Читинского государственного университета. – 2009. – № 1(52). – С. 46–50. ISSN 1999-9976.
2. Краснокутская Н. В. Оценка уровня загрязнения атмосферы города Комсомольска-на-Амуре отработанными газами автомобилей // Вестник научного общества студентов, аспирантов и молодых ученых. – 2020. – № 2. – С. 33–38.



3. Мамасуров С. Х. Загрязнение окружающей среды токсичными продуктами отработавших газов автомобилей / С. Х. Мамасуров, И. З. Магоматов, Х. Х. Аптаев // Труды Грозненского государственного нефтяного технического университета им. акад. М. Д. Миллионщикова. – 2009. – № 9. – С. 141–147. ISSN 1818-9326.
4. Бобович Б. Б. Утилизация автомобилей и автокомпонентов : учебное пособие. – М. : МГИУ, 2010. – 176 с. ISBN 978-5-276-01830-0
5. Kuznetsova E. Y., Amosov N. A., Podoliak O. O., & Zykova M. A. (2020). Peculiarities of the foreign manufactures cars recycling in Russia. IOP Conference Series: Materials Science and Engineering, 971(5), [052013].
6. Петров Л. Р. Экономические и экологические аспекты вторичной переработки отслуживших автомобилей в Европе / Л. Р. Петров, В. И. Седугин // Журнал автомобильных инженеров. – 2013. – № 4. – С. 7–13. ISSN 2073-9133.
7. Переработка полимерных материалов при утилизации легковых автомобилей с получением активных углей / Я. И. Вайсман, И. С. Глушанкова, В. В. Карманов [и др.] // Научные исследования и инновации. – 2010. – Т. 4. – № 4. – С. 27–31. ISSN 1996-6709.
8. Крылов П. М. Методологические подходы к территориальному планированию городских агломераций (на примере Омской агломерации) // Вестник Московского государственного областного университета. Серия : Естественные науки. – 2017. – № 1. – С. 69–76. ISSN 2072-8352.
9. Волкова И. Н. Эколого-градостроительные проблемы трансформации расселения в постсоветский период (на примере Московской области) / И. Н. Волкова, П. М. Крылов // Вестник Московского государственного областного университета. Серия : Естественные науки. – 2018. – № 3. – С. 52–61. ISSN 2072-8352.
10. Рейтинг российских городов-миллионников по обеспеченности автомобилями. URL: <https://www.autostat.ru/press-releases/41923/> (дата обращения: 17.02.2022).
11. Кузменко Ю. Г. Логистика торгового обслуживания: модели и методы территориального размещения объектов рыночного хозяйства - зарубежный опыт / Ю. Г. Кузменко, И. П. Савельева, Е. Д. Конькова // Вестник Южно-Уральского государственного университета. Серия : Экономика и менеджмент. – 2015. – Т. 9. – № 3. – С. 159–168. ISSN 1997-0129.
12. РЖД [Электронный ресурс]: Интерактивная карта / РЖД URL: [https://cargo.rzd.ru/ru/9806?directorate\\_id=2131&object\\_type\\_id=5&realty\\_type\\_id=35/](https://cargo.rzd.ru/ru/9806?directorate_id=2131&object_type_id=5&realty_type_id=35/) (дата обращения: 20.02.2022).
13. Устинова Е. М. Анализ экономической и социальной эффективности использования трудовых ресурсов некоммерческой организации // Вестник Белгородского университета кооперации, экономики и права. – 2011. – № 4 (40). – С. 164–171. ISSN 2223-5639.
14. Юкиш В. Ф. Анализ и проблемы использования трудовых ресурсов России / В. Ф. Юкиш // Актуальные проблемы гуманитарных и естественных наук. – 2016. – № 6-2. – С. 112–116. ISSN 2073-0071.

## References

1. Zhuravlev A. N. The mode of movement of cars – a factor determining the level of atmospheric air pollution of the urban environment / A. N. Zhuravlev, Yu. M. Oveshnikov // Bulletin of the Chita State University. [Rezhim dvizheniya avtomobilej – faktor, opredelyayushhij uroven' zagryazneniya atmosfernogo vozdukhа gorodskoj sredy / A. N. Zhuravlev, YU. M. Oveshnikov // Vestnik CHitinskogo gosudarstvennogo universiteta] – 2009. – № 1 (52). – Pp. 46–50. ISSN 1999-9976.
2. Krasnokutskaya N. V. Assessment of the level of atmospheric pollution of the city of Komsomolsk-on-Amur by exhaust gases of cars // Bulletin of the Scientific Society of Students, postgraduates and young scientists. [Otsenka urovnya zagryazneniya atmosfery goroda Komsomol'ska-na-Amure otrabotannymi gazami avtomobilej // Vestnik nauchnogo obshhestva studentov, aspirantov i molodykh uchenykh] 2020. – № 2. – Pp. 33–38.
3. Mamasurov S. H. Pollution of the environment by toxic products of exhaust gases of cars / S. H. Mamasurov, I. Z. Magomadov, H. H. Aptaeв // Proceedings of the Grozny State Petroleum Technical University. Academician M.D. Millionshchikova. [Zagryaznenie okruzhayushhej sredy toksichnymi produktami otrabotavshikh gazov avtomobilej / S. KH. Mamasurov, I. Z. Magomadov, KH. KH. Aptaeв // Trudy Groznenskogo gosudarstvennogo

- neftyanogo tekhnicheskogo universiteta im. akad. M.D. Millionshnikova] 2009. – № 9. – Pp. 141–147. ISSN 1818-9326.
4. Bobovich B. B. Recycling of cars and automotive components : teaching aid. [Utilizatsiya avtomobilej i avtokomponentov : uchebnoe posobie] – M. : MGIIU, 2010. – 176 p. ISBN 978-5-276-01830-0.
  5. Kuznetsova E. Y., Amosov N. A., Podoliak O. O., & Zykova M. A. (2020). Peculiarities of the foreign manufactures cars recycling in Russia. IOP Conference Series: Materials Science and Engineering, 971(5), [052013].
  6. Petrov L. R. Economic and environmental aspects of recycling of used cars in Europe / L. R. Petrov, V.I. Sedugin // Journal of Automotive Engineers. [Ehkonomicheskie i ehkologicheskie aspekty vtorichnoj pererabotki otsluzhivshikh avtomobilej v Evrope / L. R. Petrov, V.I. Sedugin // Zhurnal avtomobil'nykh inzhenerov] – 2013. – № 4. – Pp. 7–13. ISSN 2073-9133.
  7. Processing of polymer materials in the utilization of passenger cars with the production of activated carbons / Ya. I. Weisman, I. S. Glushankova, V. V. Karmanov [et al.] // Scientific research and innovation. [Pererabotka polimernykh materialov pri utilizatsii legkovykh avtomobilej s polucheniem aktivnykh uglej / YA. I. Vajsman, I. S. Glushankova, V. V. Karmanov [i dr.] // Nauchnye issledovaniya i innovatsii] 2010. – Vol. 4. – № 4. – Pp. 27–31. ISSN 1996-6709.
  8. Krylov P. M. Methodological approaches to the territorial planning of urban agglomerations (on the example of the Omsk agglomeration) // Bulletin of the Moscow State Regional University. Series : Natural Sciences. [Metodologicheskie podkhody k territorial'nomu planirovaniyu gorodskikh aglomeratsij (na primere Omskoj aglomeratsii) // Vestnik Moskovskogo gosudarstvennogo oblastnogo universiteta. Seriya : Estestvennye nauki] – 2017. – № 1. – Pp. 69–76. ISSN 2072-8352.
  9. Volkova I. N. Ecological and urban planning problems of settlement transformation in the post-Soviet period (on the example of the Moscow region) / I. N. Volkova, P. M. Krylov // Bulletin of the Moscow State Regional University. Series : Natural Sciences. [Ehkologo-gradostroitel'nye problemy transformatsii rasseleniya v postsovetiskij period (na primere Moskovskoj oblasti) / I. N. Volkova, P. M. Krylov // Vestnik Moskovskogo gosudarstvennogo oblastnogo universiteta. Seriya : Estestvennye nauki] – 2018. – № 3. – Pp. 52–61. ISSN 2072-8352.
  10. Rating of Russian cities with millions of population in terms of car availability. [Rejting Rossijskikh gorodov-milionnikov po obespechennosti avtomobilyami] URL: <https://www.autostat.ru/press-releases/41923/> (accessed on: 02/17/2022).
  11. Kuzmenko Yu. G. Logistics of trade services: models and methods of territorial placement of market economy objects – foreign experience / Yu. G. Kuzmenko, I. P. Savelyeva, E. D. Konkova // Bulletin of the South Ural State University. Series : Economics and Management. [Logistika trgovogo obsluzhivaniya: modeli i metody territorial'nogo razmeshheniya ob'ektov rynochnogo khozyajstva – zarubezhnyj opyt / Yu. G. Kuzmenko, I. P. Savel'eva, E. D. Kon'kova // Vestnik Yuzhno-Ural'skogo gosudarstvennogo universiteta. Seriya : EHkonomika i menedzhment] – 2015. – Vol. 9. – № 3. – Pp. 159–168. ISSN 1997-0129.
  12. The Russian Railways [Electronic resource]: Interactive map / The Russian Railways [RZHD [Ehlektronnyj resurs]: Interaktivnaya karta / RZHD] [URL:[https://cargo.rzd.ru/ru/9806?directorate\\_id=2131&object\\_type\\_id=5&reality\\_type\\_id=35](https://cargo.rzd.ru/ru/9806?directorate_id=2131&object_type_id=5&reality_type_id=35)] (accessed on: 02/20/2022).
  13. Ustinova E. M. Analysis of the economic and social efficiency of the use of labour resources of a non-profit organization // Bulletin of the Belgorod University of Cooperation, Economics and Law. [Analiz ehkonomicheskoy i sotsial'noj ehffektivnosti ispol'zovaniya trudovykh resursov nekommercheskoj organizatsii // Vestnik Belgorodskogo universiteta kooperatsii, ehkonomiki i prava] – 2011. – № 4 (40). – Pp. 164–171. ISSN 2223-5639.
  14. Yukish V. F. Analysis and problems of the use of labour resources of Russia / V. F. Yukish // Actual problems of humanities and natural sciences. [Analiz i problemy ispol'zovaniya trudovykh resursov Rossii / V. F. YUKish // Aktual'nye problemy gumanitarnykh i estestvennykh nauk] – 2016. – № 6–2. – Pp. 112–116. ISSN 2073-0071.

*Статья сдана в редакцию 13 апреля 2022 года*

УДК 656.073

И. М. Басыров, Д. И. Кочнева, Чан Хао

## Инновационная технология терминальной переработки контейнеров

UDC 656.073

I. M. Basyrov, D. I. Kochneva, Chang Hao

## Innovative technology of terminal container processing

### Аннотация

В статье рассматривается новая технология терминальной переработки контейнеропотока, которая предполагает прямую перегрузку контейнеров козловыми кранами между группами вагонов вместо дополнительных маневровых операций по их подбору перед подачей и уборкой на погрузочно-выгрузочные пути. Для реализации подхода под пролет козлового крана вводится дополнительный погрузочно-выгрузочный путь, предназначенный для снятия прибывающих контейнеров козловым краном и перегрузки на поезд, формирующиеся в нужном направлении. Технология может применяться при организации контейнерных поездов в региональных

распределительно-накопительных центрах и при реализации сборных маршрутных контейнерных поездов с попутными погрузочно-выгрузочными операциями.

На основе анализа технического развития терминальной сети установлена возможность внедрения предложенного подхода на российских железных дорогах.

Эффект инновационной технологии предложено оценивать с позиции сокращения продолжительности обработки состава и, соответственно, снижения эксплуатационных затрат терминала. Моделирование времени терминальной переработки контейнеропотока при традиционном и новом подходе проведено на основе метода Монте-Карло. На

основе моделирования установлена зависимость величины эффекта от числа перегружаемых контейнеров.

**Ключевые слова:** контейнерные перевозки, козловой кран, переработка контейнеров, контейнерный терминал, перегрузочная технология, интермодальные перевозки, контейнерный поезд.

DOI: 10.20291/2079-0392-2022-2-108-116

### Abstract

The article discusses a new technology of terminal processing of container traffic, which involves direct transfer of containers by rail mounted gantry cranes between groups of railcars instead of additional shunting procedures for their selection before supplying and withdrawal at loading and

*Статья рекомендована к опубликованию В. И. Апатцевым, д-ром техн. наук, профессором Российского университета транспорта, Москва. E-mail: apatsev@rgotups.ru.*

**Ильмир Мансурович Басыров**, канд. техн. наук, старший преподаватель кафедры «Управление транспортными процессами» Российского университета транспорта (РУТ (МИИТ)); Москва, Россия. E-mail: basyrov.ilmir@yandex.ru. ORCID 0000-0002-1400-741X.

**Дарья Ивановна Кочнева**, канд. техн. наук, доцент; кафедра «Мировая экономика и логистика» Уральского государственного университета путей сообщения; Екатеринбург, Россия. E-mail: dana\_rich@mail.ru. ORCID 0000-0001-7991-1277.

**Чан Хао**, аспирант; кафедра «Мировая экономика и логистика» Уральского государственного университета путей сообщения; Екатеринбург, Россия. E-mail: changhao001@mail.ru. ORCID 0000-0002-7257-4447.

© И. М. Басыров, Д. И. Кочнева, Чан Хао, 2022

*The article is recommended for publishing by V. I. Apatsev, Doctor of Technical Sciences, Professor of Russian University of Transport, Moscow. E-mail: apatsev@rgotups.ru.*

**Ilmir Mansurovich Basyrov**, Candidate of Technical Sciences, Senior Lecturer of «Management of Transportation Processes» Department of the Russian University of Transport (RUT (MIIT)); Moscow, Russia. E-mail: basyrov.ilmir@yandex.ru. ORCID 0000-0002-1400-741X.

**Darya Ivanovna Kochneva**, Candidate of Technical Sciences, Associate Professor; «World Economy and Logistics» Department of Ural State University of Railway Transport; Yekaterinburg, Russia. E-mail: dana\_rich@mail.ru. ORCID 0000-0001-7991-1277.

**Chang Hao**, PhD student; «World Economy and Logistics» Department of Railway Transport; Yekaterinburg, Russia. E-mail: changhao001@mail.ru. ORCID 0000-0002-7257-4447.

© I. M. Basyrov, D. I. Kochneva, Chang Hao, 2022

unloading railway tracks. In order to implement the accessibility to the gantry crane span, the additional loading and unloading railway track is introduced, intended to discard incoming containers by a gantry crane and their transshipment to the trains marshalling in the specific destination. This technology is applicable in the organization of container trains in regional distribution and storage centers and in the implementation of modal container block-trains with

loading and unloading procedures in the same direction.

Based on the analysis of technical development of the terminal network, the opportunity of implementing the proposed approach on Russian railways has been provided.

The effect of this innovative technology is proposed to be evaluated from the perspective of decreasing the duration of rolling stock handling and, accordingly, reducing the operating costs of a terminal. The simulation of the terminal

processing time of a container flow with the traditional and new approaches was carried out on the basis of the Monte Carlo method. On the basis of modeling, the dependence of the magnitude effect size on the number of the containers transhipped is determined.

**Keywords:** container transportation, gantry crane, container processing, container terminal, transshipment technology, intermodal transportation, container train.

DOI: 10.20291/2079-0392-2022-2-108-116

Важнейший фактор повышения конкурентоспособности железнодорожных контейнерных перевозок – скорость доставки. Анализ исследований по проблематике железнодорожных перевозок показал, что большая часть времени движения поезда приходится на переработку состава на сортировочных станциях и контейнерных терминалах [1–3]. Поэтому высокую актуальность приобретают задачи совершенствования технологии переработки контейнеров для ускорения процесса доставки грузов.

Ускорению процесса доставки грузов в контейнерах и повышению клиентоориентированности контейнерного сервиса посвящено большое число современных исследований. Так, в работах О. В. Москвичева [4–5] рассматривается технология региональной двухуровневой структуры контейнерной транспортной системы (КТС): уровень 1 – сеть контейнерных терминалов (КТ), накапливающих контейнерные грузы от предприятий, и уровень 2 – сеть контейнерных накопительно-распределительных центров (КНРЦ), накапливающих потоки от КТ и обеспечивающих формирование контейнерных поездов. Такая технология позволит массово внедрять маршрутные контейнерные поезда на сети железных дорог, повысить скорость и конкурентоспособность сервиса. Идеологически

технология Москвичева опирается на концепцию hub and spoke, которая лежит в основе множества исследований по транспортной тематике [6–8].

Иной подход к интеграции региональных КТС предложен в работе [9] и основан на скоординированном распределении контейнеропотока между терминалами. Подход предполагает взаимный обмен информацией между грузовладельцами, терминалами, железной дорогой и собственниками ресурсов на базе цифровой платформы, учитывает текущую и потенциальную потребность региона в контейнеризации, пропускную способность сети, интересы собственников контейнерного парка. В отличие от технологий двухуровневой КТС [5], этот подход не предполагает строительства новых контейнерных накопительно-распределительных центров для формирования контейнерных поездов, а рациональное распределение контейнеропотоков между существующими терминалами, что позволит повысить эффективность региональной КТС за счет организационных, а не инвестиционных мероприятий.

Еще одна перспективная технология организации контейнерных поездов приведена в [10]; она построена на принципах организации пассажирского движения и названа авторами «сборный маршрутный контейнерный поезд

(СМКП)». Суть ее в следующем: предполагается формирование поездов постоянной составности из фитинговых платформ с контейнерами или грузовыми местами назначением на определенные станции по маршруту следования. Остановки предусматриваются на промежуточных контейнерных терминалах или станциях, оборудованных для погрузки и выгрузки контейнеров. Во время стоянки выполняются необходимые технологические операции по смене локомотива или локомотивной бригады, а также снятие контейнера назначением на данную станцию погрузчиком с платформы и установка на освободившееся место контейнера назначением на одну из станций далее по маршруту.

Система накопительно-распределительных центров [5] может быть объединена с идеей организации СМКП [10]. В этом случае распределительный центр используется как перегрузочный узел для перестановки контейнеров между поездами, но без выполнения маневровых операций с поездом аналогично тому, как осуществляется пересадка пассажиров в крупных узлах с одного поезда на другой.

Эти технологии повысят скорость доставки грузов в контейнерах и обеспечат высокий уровень транспортного сервиса. Однако их реализация на практике требует наличия на сети перегрузочных комплексов и новой перегрузочной технологии, которая создаст условия для быстрой терминальной обработки контейнерных грузов.

Нами предлагается новый подход к устройству контейнерного терминала

и технология перегрузки контейнеров. Суть в следующем: под пролет козлового крана вводится дополнительный погрузочно-выгрузочный путь, предназначенный для прямой перегрузки контейнеров на поезда, формирующиеся в нужном направлении. Контейнеры могут также выгружаться на сортировочные полосы под пролет крана для кратковременного ожидания порожних платформ, следующих в заданном направлении, или перегружаться на автотранспорт. Основное отличие от традиционной технологии переработки контейнеропотока состоит в минимизации маневровых операций по подбору груженых платформ под выгрузку. Кроме того, новый подход позволит исключить маневровые перемещения по предъявлению фитинговых платформ для технического осмотра в приемо-отправочном парке, так как эта технологическая операция будет выполняться непосредственно на специализированном погрузочно-выгрузочном пути. Это оправдано и потому, что на этом пути будет выполняться подготовка платформ для погрузки под определенный комплект (перестановка откидных фитинговых упоров для крепления контейнеров). То есть предлагаемая технология позволит параллельно выполнять операции технического осмотра и подготовки платформ, что при традиционном подходе осуществлять затруднительно из-за удаленности приемо-отправочного парка.

Типовая схема контейнерного терминала в условиях новой перегрузочной технологии приведена на рис. 1.

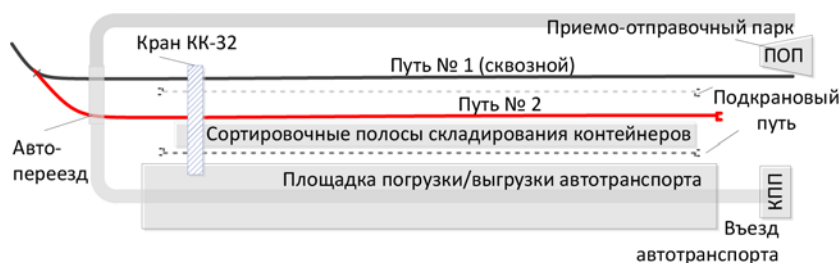


Рис. 1. Предлагаемая схема устройства терминала в условиях инновационной технологии переработки контейнеров



На погрузочно-выгрузочном пути, введенном под пролет крана (рис. 1, путь № 2), предполагается выполнение операций: а) выгрузка контейнеров на сортировочные полосы, расположенные под пролетом крана, б) перегрузка контейнеров на автомобили и с автомобилями, в) перегрузка контейнеров между вагонами, размещенными на путях № 1 и № 2; операция сопровождается перемещением крана вдоль рельсового пути в зависимости от размещения перегружаемых контейнеров в подаче, г) технический осмотр выгруженных вагонов для установления годных под погрузку, д) подготовка платформ для погрузки под комплект контейнеров (перестановка откидных фитинговых упоров для крепления контейнеров, если это необходимо).

Предполагается, что план погрузки контейнеров (и/или комплектов контейнеров) составлен заранее, если необходимо, то он корректируется после подачи вагонов. При этом есть возможность разместить их на сортировочной полосе в зависимости от оперативной обстановки для перемещения в глубь сортировочной полосы козловым краном.

Технологический процесс перегрузки контейнеров приведен на рис. 2.

Эта технология разрабатывалась с учетом современных исследований в области проектирования контейнерных терминалов и перегрузочных комплексов [11], а также с опорой на зарубежный опыт интермодальных перевозок [12].

На терминальной сети ОАО «РЖД» в основном используются двухконсольные козловые краны грузоподъемностью 25–32 т и пролетом 16–25 м. Эти технические характеристики позволяют ввести под пролет крана один или два погрузочно-выгрузочных пути в зависимости от ширины пролета и длины консоли. Поэтому существует возможность внедрения новой перегрузочной технологии на существующей терминальной инфраструктуре.

Отметим ряд дополнительных условий успешной реализации проекта:

- 1) выступление терминала в качестве единственного получателя порожних платформ для формирования консолидированной подачи, 2) доступ сотрудников транспортных компаний, базирующихся на терминале, к большому грузопотоку и возможность построения разнообразных комбинаций комплектов, 3) наличие автомобильных подъездов к терминалу, 4) наличие сквозного пути, обеспечивающего выставку и уборку груженой группы платформ в приемо-отправочный парк для окончания формирования контейнерного поезда.

Эффект инновационной перегрузочной технологии предлагается оценивать с позиции сокращения времени обработки состава и, соответственно, снижения эксплуатационных затрат. Проведем моделирование и оценку времени переработки контейнеропотока при существующем и предлагаемом подходах.

Для оценки времени переработки поезда при традиционной технологии обратимся к исследованиям [2], согласно которым время выполнения технологических операций переработки, а также непроизводительные простои вагонов в ожидании технологических операций представляют собой непрерывные случайные величины, подчиняющиеся нормальному закону распределения. На основе собственных исследований авторов и представленной в [2] статистической информации получены следующие параметры распределения случайной величины выполнения технологических операций, связанных с работой маневрового локомотива ( $T_{\text{сорт}}$ ): математическое ожидание – 11,95 ч; среднеквадратическое отклонение – 1,44 ч. При этом данная величина в основном не зависит от объема перерабатываемого контейнеропотока, так как в любом случае предполагает операции по расформированию состава и работу маневрового локомотива как с гружеными, так и с порожними вагонами. При известном математическом ожидании и среднеквадратическом отклонении выражение для



Рис. 2. Инновационная технология терминальной переработки контейнеров



моделирования нормально распределенной случайной величины может быть записано как [13]

$$T_{\text{сорт}} = (11,95 + R \cdot 1,44), \quad (1)$$

где  $R$  – случайное равномерно распределенное число на интервале от  $-3$  до  $3$ .

Время переработки при инновационной технологии зависит от величины перегружаемого контейнеропотока и порядка размещения в поезде контейнеров, подлежащих перегрузке. Выражение для расчета продолжительности выполнения комплекса грузовых операций  $T_{\text{ГР}}$  по перегрузке контейнеров можем записать следующим образом [10]:

$$T_{\text{ГР}} = q \cdot t_{\text{г}} + \sum_0^{q-1} t_{\text{п}} \cdot r, \quad (2)$$

где  $q$  – число контейнеров, подлежащих перегрузке, ДФЭ<sup>\*</sup>;  $t_{\text{г}}$  – продолжительность цикла выполнения грузовой операции по снятию контейнера с платформы и установке на освободившееся место контейнера назначением далее по маршруту, мин;  $t_{\text{п}}$  – продолжительность перемещения козлового контейнерного крана вдоль группы вагонов, поданных для погрузки-выгрузки на специализированные погрузочно-выгрузочные пути по новой перегрузочной технологии;  $r$  – условное расстояние между ближайшими контейнерами в составе, подлежащими перегрузке, ДФЭ.

Если размещение контейнеров разных назначений в поданных для погрузки-выгрузки групп вагонов осуществляется произвольно, то время перемещения контейнерного крана вдоль грузового фронта будет подвержено случайным отклонениям. Зададим параметр  $r$  как случайную величину. Примем, что при произвольном порядке размещения каждый контейнер может с равной степенью вероятности занять любое грузовое место в поезде. Тогда  $r$

следует задать случайной величиной, распределенной в соответствии с равномерным законом распределения; его плотность распределения вероятности:

$$f(x) = \begin{cases} 0, & x \notin [a, b] \\ \frac{1}{b-a}, & x \in [a, b], \end{cases} \quad (3)$$

где  $[a, b]$  – интервал моделирования равномерно распределенных случайных чисел. В нашем случае:  $a = 0$  (при соседнем размещении пары перегружаемых контейнеров в составе),  $b = N - 2$ , где  $N$  – число контейнеров (в ДФЭ) в полном составе контейнерном поезде, примем  $N = 126$  ДФЭ, что соответствует длине поезда 71 условный вагон, тогда  $b = 124$ .

С опорой на среднестатистические данные терминальных операторов зададим следующие параметры:  $t_{\text{г}} = 5,5$  мин;  $t_{\text{п}} = 0,025$  мин.

Тогда на основе (1)–(2) сформируем выражение для оценки эффекта инновационной перегрузочной технологии:

$$\Delta T = (11,95 + R \cdot 1,44) \cdot 60 - q \cdot 5,5 + \sum_0^{(q-1)} 0,025 \cdot r.$$

На основе метода Монте-Карло проведем моделирование  $\Delta T$  как случайной величины, оценим математическое ожидание, максимальный и минимальный эффект, возникающий при замене операций переформирования поезда на операции перегрузки контейнеров. Результаты моделирования приведены на рис. 3.

На основе моделирования установлено, что экономия времени переработки поезда при использовании инновационной технологии достигается в случае объема переработки не более 102 ДФЭ.

Таким образом, реализация предложенной технологии позволит сократить время терминальной переработки контейнеропотока, что, в свою очередь,

\* ДФЭ – двадцатифутовый эквивалент, условная единица учета контейнерных перевозок.

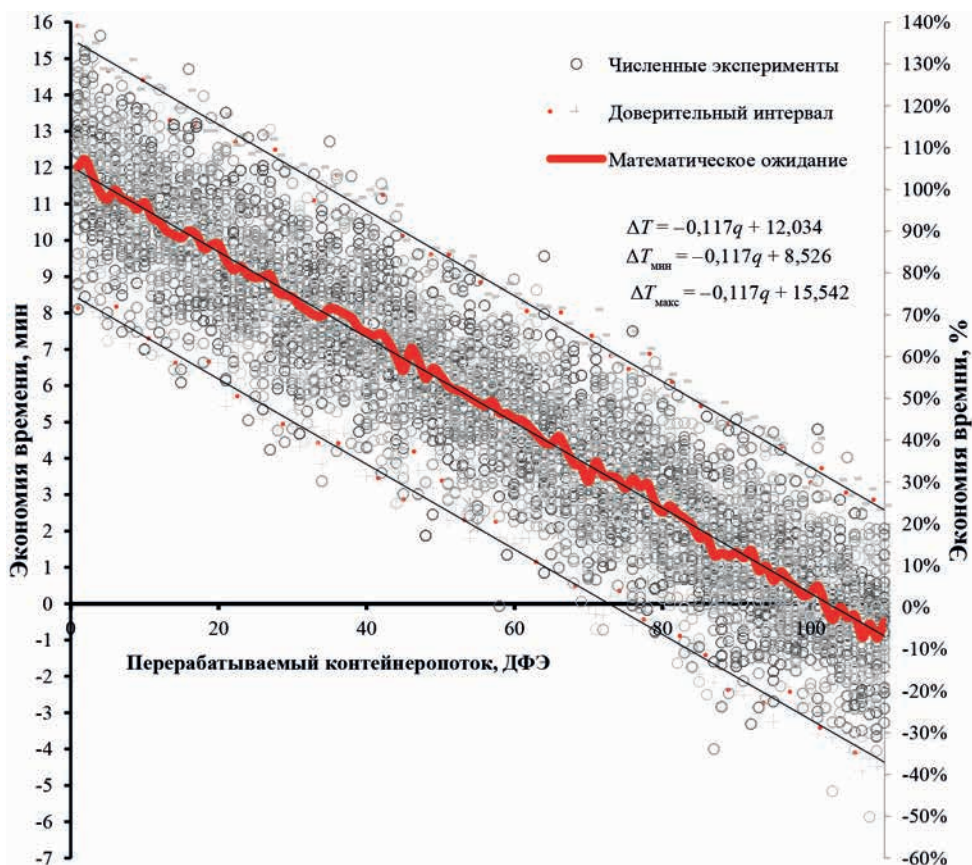


Рис. 3. Оценка экономии времени одной переработки поезда ( $\Delta T = T_{\text{м}} - T_{\text{гр}}$ )

приведет к снижению эксплуатационных затрат терминалов, повышению оборачиваемости вагонов и ускорению доставки грузов в контейнерах. ■

#### Литература

1. Мошкина А. А. Эффективность отправительской маршрутизации на направлении Новолипецк – Новороссийск // Труды Ростовского государственного университета путей сообщения. – 2015. – № 4. – С. 60–65. ISSN 1818-5509.
2. Жарикова Л. С. Нормирование времени нахождения вагонов на станциях и срок доставки грузов // Бюллетень научных работ Брянского филиала МИИТ. – Брянск : изд-во ООО «Дизайн-Принт», 2016. – № 1. – С. 9–13.
3. Юрина О. П. Эффективность использования маршрутизации грузовых перевозок при минимизации затрат на перевозку / О. П. Юрина, Л. С. Жарикова, Ю. А. Танайно // Фундаментальные и прикладные вопросы транспорта. – 2020. – № 1 (1). – С. 13–20. ISSN 2712-9195.
4. Москвичев О. В. Модели, методы и алгоритмы оптимизации контейнерно-транспортной системы железнодорожного транспорта на основе кластерного подхода // Транспорт Урала. – 2017. – № 2. – С. 18–27. ISSN 1815-9400.
5. Москвичев О. В. Организация функционирования контейнерно-транспортной системы на основе клиентоориентированности // Транспорт и логистика: стратегические приоритеты, технологические платформы и решения в глобализованной цифровой экономике : сб. научн. тр. III Международн. научно-практ. конф., Ростов-на-Дону,

- 1-2.02.2019. – Ростов-на-Дону : Ростовский государственный университет путей сообщения, 2019. – С. 263–267.
6. Konings R. Major considerations in developing a hub-and-spoke network to improve the cost performance of container barge transport in the hinterland: the case of the port of Rotterdam / R. Konings, E. Kreutzberger, V. Maraš // *Journal of Transport Geography*. – 2013. – Т. 29. – С. 63–73. ISSN 0966-6923.
  7. Feng M. Optimization of Drop-and-Pull transport network based on shared freight station and Hub-and-Spoke network / M. Feng, Y Cheng // *J. Européen des Systèmes Automatisés*. – 2019. – Т. 52. – № 5. – С. 457–464. ISSN 1269-6935.
  8. Huang D. Multimodal transit network design in a hub-and-spoke network framework // *Transportmetrica A: Transport Science*. – 2018. – Т. 14. – № 8. – С. 706–735. ISSN 2324-9943.
  9. Кочнева Д. И. Интегрированное управление контейнерной транспортной системой региона / Д. И. Кочнева, В. М. Сай // *Экономика региона*, 2021. – Т. 17. – № 4. – С. 1270–1285. ISSN 2072-6414.
  10. Чан Хао. Моделирование продолжительности грузовых операций на станциях маршрута движения сборного маршрутного контейнерного поезда // *Вестник УрГУПС*. – 2021. – № 4 (52). – С. 111–117. ISSN 2079-0392.
  11. Иванкова Л. Н. Принципы размещения контейнерных терминалов при формировании опорной сети транспортно-логистических комплексов / Л. Н. Иванкова, С. Г. Волкова, А. Н. Иванов / *Современные методы, принципы и системы автоматизации управления на транспорте : сб. м-лов Междунаро. научн.-практ. конф., Нижний Новгород, 2016*. – С. 71–77.
  12. Автоматизированный контейнерный терминал Лерте [без авт.] // *Промышленный транспорт XXI век*. – 2016. – № 5. – С. 70–72. ISSN 2307-6623.
  13. Югова Д. И. Моделирование продолжительности логистических цепей при организации контейнерных перевозок // *Вестник УрГУПС*. – 2010. – № 4 (8). – С. 72–81. ISSN 2079-0392.

## References

1. Moshkina A. A. The sender routing effectiveness in the direction of Novolipetsk – Novorossiysk // *Proceedings of Rostov State Transport University*. [Ehffektivnost' otpravitel'skoj marshrutizatsii na napravlenii Novolipetsk – Novorossiysk // *Trudy Rostovskogo gosudarstvennogo universiteta putej soobshheniya*] – 2015. – № 4. – Pp. 60–65. ISSN 1818-5509.
2. Zharikova L. S. Rationing of the time spent by railcars at stations and cargo delivery // *Bulletin of scientific works of the Bryansk branch of MIIT*. [Normirovanie vremeni nakhozhdeniya vagonov na stantsiyakh i srok dostavki грузов // *Byulleten' nauchnykh rabot Bryanskogo filiala MIIT*] – Bryansk : publishing house of Design-Print LLC», 2016. – № 1. – Pp. 9–13.
3. Yugrina O. P. Efficiency of using freight transportation routing while minimizing transportation costs / O. P. Yugrina, L. S. Zharikova, Yu. A. Tanaino // *Fundamental and applied issues of transport*. [Ehffektivnost' ispol'zovaniya marshrutizatsii gruzovykh perevozok pri minimizatsii zatrat na perevozku / O. P. Yugrina, L. S. Zharikova, YU. A. Tanajno // *Fundamental'nye i prikladnye voprosy transporta*] – 2020. – № 1 (1). – Pp. 13–20. ISSN 2712-9195.
4. Moskvichev O. V. Models, methods and algorithms for optimizing the container transport system of railway transport based on the cluster approach // *Transport of the Urals*. [Modeli, metody i algoritmy optimizatsii kontejnerno-transportnoj sistemy zheleznodorozhnogo transporta na osnove klasternogo podkhoda // *Transport Urala*] – 2017. – № 2. – Pp. 18–27. ISSN 1815-9400.
5. Moskvichev O. V. Organization of the functioning of the container transport system based on customer-oriented approach // *Transport and logistics: strategic priorities, technological platforms and solutions in the global digital economy : collection of scientific papers III International Research-to-Practice Conference, Rostov-on-Don, 1-2.02.2019. – Rostov-on-Don : Rostov State Transport University*, [Organizatsiya funktsionirovaniya kontejnerno-transportnoj sistemy na osnove klientoorientirovannosti // *Transport i logistika: strategicheskie priority, tekhnologicheskie platformy i resheniya v globalizovannoy*

- tsifrovoj ehkonomike : sb. nauchn. tr. III Mezhdunarodn. nauchno-prakt. konf., Rostov-na-Donu, 1-2.02.2019. – Rostov-na-Donu : Rostovskij gosudarstvennyj universitet putej soobshheniya] 2019. – Pp. 263–267.
6. Konings R. Major considerations in developing a hub-and-spoke network to improve the cost performance of container barge transport in the hinterland: the case of the port of Rotterdam / R. Konings, E. Kreutzberger, V. Maraš // *Journal of Transport Geography*. – 2013. – Т. 29. – С. 63–73. ISSN 0966-6923.
  7. Feng M. Optimization of Drop-and-Pull transport network based on shared freight station and Hub-and-Spoke network / M. Feng, Y Cheng // *J. Européen des Systèmes Automatisés*. – 2019. – Т. 52. – № 5. – С. 457–464. ISSN 1269-6935.
  8. Huang D. Multimodal transit network design in a hub-and-spoke network framework // *Transportmetrica A: Transport Science*. – 2018. – Т. 14. – № 8. – С. 706–735. ISSN 2324-9943.
  9. Kochneva D. I. Integrated management of a regional container transport system / D. I. Kochneva, V. M. Say // *Regional economics, [Integriruvannoe upravlenie kontejnernoj transportnoj sistemoj regiona / D. I. Kochneva, V. M. Saj // Ehkonomika regiona]* 2021. – Vol. 17. – № 4. – Pp. 1270–1285. ISSN 2072-6414.
  10. Chang Hao. Simulation of the duration of cargo handling procedures at the stations of a modal route container block-train // *Herald of USURT. [Modelirovanie prodolzhitel'nosti gruzovykh operatsij na stantsiyakh marshruta dvizheniya sbornogo marshrutnogo kontejnernogo poezda // Vestnik UrGUPS]* – 2021. – № 4 (52). – Pp. 111–117. ISSN 2079-0392.
  11. Ivankova L. N. Principles of placement of container terminals in the formation of a core network of transport and logistics complexes / L. N. Ivankova, S. G. Volkova, A. N. Ivankov / *Modern methods, principles and systems of automation control in transport : Collection of scientific papers of International Research-to-Practice Conference, [Printsipy razmeshheniya kontejnernykh terminalov pri formirovanii opornoj seti transportno-logisticheskikh kompleksov / L. N. Ivankova, S. G. Volkova, A.N. Ivankov / Sovremennye metody, printsipy i sistemy avtomatizatsii upravleniya na transporte : sbornik materialov Mezhdunarodnoj nauchno-prakticheskoy konferentsii] Nizhny Novgorod, 2016. – Pp. 71–77.*
  12. Automated container terminal Lehrte [author unknown] // *Industrial transport XXI century. [Avtomatizirovannyj kontejnernyj terminal Lerte [bez avtora] // Promyshlennyy transport XXI vek]* – 2016. – № 5. – Pp. 7072. ISSN 2307-6623.
  13. Yugova D. I. Modeling of the duration of logistics chains in the organization of container transportation // *Herald of USURT. [Modelirovanie prodolzhitel'nosti logisticheskikh tsepej pri organizatsii kontejnernykh perevozok // Vestnik UrGUPS]* – 2010. – № 4 (8). – Pp. 72–81. ISSN 2079-0392

*Статья сдана в редакцию 1 апреля 2022 года*

---

*А. Д. Абрамов, М. А. Семенов*

## Повышение эффективности рабочего процесса уборки снега от внедрения мероприятий по оптимизации структуры затрат

---

UDC 658.51

*A. D. Abramov, M. A. Semenov*

## Improving the efficiency of the snow removal operating process through the implementation of efforts of cost structure optimization

---

### Аннотация

Рассматриваются причины неэффективной работы снегоуборочной техники и устанавливаются источники оптимизации рабочего процесса. Проблема оптимизации рабочего процесса снегоуборочной техники является многофакторной задачей. Решение этой задачи требует оценки целесообразности применения снегоуборочной техники различного типа и состава в зависимости от уровня выпавшего снега и анализа структуры рабочего процесса для снижения доли режима холостого хода и использования автоматизированного мониторинга рабочего про-

цесса с целью увеличения эффективности использования машин типа СМ и ПСС. Для этого с помощью математического моделирования определены параметры, при которых рабочий процесс снегоуборочной техники будет оптимальным.

Для оптимизации затрат на эксплуатацию снегоуборочной техники смоделирован процесс уборки снега. Модель включает в себя элементы структуры рабочей смены, производительность машины и погодные условия. Это в той или иной степени влияет на длину убираемых путей как результативный признак; только при одновременном учете всех факто-

ров можно корректно оценить эффективность работы снегоуборочной машины через убираемую длину пути.

Степень влияния каждого из факторных признаков установлена посредством множественной корреляции.

В статье также указывается на необходимость учитывать основные результаты производственно-хозяйственной деятельности работников и их заинтересованность. Изменив подход к премированию, расчету производительности и проведению ТО и ремонтов, можно оптимизировать структуру затрат.

**Ключевые слова:** снегоуборочные машины, рабочий процесс, структура затрат,

---

*Статья рекомендована к публикации В. М. Сай, д-ром техн. наук, профессором Уральского государственного университета путей сообщения. E-mail: vsay@usurt.ru.*

**Андрей Дмитриевич Абрамов**, д-р техн. наук, профессор; кафедра «Технология транспортного машиностроения и эксплуатация машин» Сибирского государственного университета путей сообщения; Новосибирск, Россия. E-mail: abramov@stu.ru. ORCID 0000-0003-1561-2475.

**Михаил Андреевич Семенов**, аспирант; кафедра «Технология транспортного машиностроения и эксплуатация машин» Сибирского государственного университета путей сообщения; Новосибирск, Россия. E-mail: MikeSemenov13111996@yandex.ru. ORCID 0000-0002-1675-7134.

© А. Д. Абрамов, М. А. Семенов, 2022

*The article is recommended for publishing by V. M. Say, Doctor of Technical Sciences, Professor of Ural State University of Railway Transport. E-mail: vsay@usurt.ru.*

**Andrey Dmitrievich Abramov**, Doctor of Technical Sciences, Professor; «Technology of Transport Engineering and Operation of Machines» Department of Siberian State University of Railway Engineering; Novosibirsk, Russia. E-mail: abramov@stu.ru. ORCID 0000-0003-1561-2475.

**Mikhail Andreevich Semenov**, Post-graduate student of «Technology of Transport Engineering and Operation of Machines» Department of Siberian State University of Railway Engineering; Novosibirsk, Russia. E-mail: MikeSemenov13111996@yandex.ru. ORCID 0000-0002-1675-7134.

© A. D. Abramov, M. A. Semenov, 2022



эффективность, оптимизация, производительность, математическая модель, результаты производственно-хозяйственной деятельности, новые нормативы.

DOI: 10.20291/2079-0392-2022-2-117-127

### Abstract

The reasons for the inefficient operation of snow removal equipment are considered and the sources for operating process optimization are specified. The problematic issue of the operating process optimization of the snow removal equipment is a multifaceted task. The solution to this issue requires an assessment of expediency of using all kinds of snow removal equipment, depending on a snowfall level, and an analysis of the operating process structure to reduce the share of idle mode and the use of

the automated monitoring of operating process in order to increase the efficiency of using snow-grooming machines such as SM and PSS. In order to achieve that, using mathematical modeling, the parameters are determined at which the operating process of snow removal equipment is optimal.

For the costs optimization of the snow removal equipment handling, the snow removal process is modeled. This model includes elements of the structure of workshift, machine performance and weather conditions. This affects the length of the railway tracks under snow-removal procedure to one degree or another as an effective feature; unless all factors are taken into consideration simultaneously, it is possible to properly assess the efficiency of a snow-grooming machine

through the length of the railway track under snow-removal procedure.

The actual impact of each of the factor variables is determined by means of the multiple correlation.

The article also highlights the necessity to take into account the core results of production and economic activity of employees and their interests. By changing the approach to the bonus-award system, calculating productivity and carrying out maintenance and repair procedures, it is possible to optimize the cost structure.

**Keywords:** snow-grooming machines, operating process, cost structure, efficiency, optimization, performance capacity, mathematical model, results of production and economic activity, new standards.

DOI: 10.20291/2079-0392-2022-2-117-127

Оптимизация рабочего процесса снегоуборочной техники с использованием современных технологий очень значима для Западно-Сибирской железной дороги (ЗСЖД), которая по степени снегозаносимости относится к 1-й группе, то есть к территориям, на которых в течение зимы наблюдаются снегопады и метели с очень сильной интенсивностью. Парк снегоуборочных машин на ЗСЖД многочисленный, затраты на их содержание составляют около 72 % средств от всего парка.

Оптимизации любого рабочего процесса – задача многофакторная. Для ее решения необходимы оценка целесообразности применения снегоуборочной техники различного типа и состава в зависимости от уровня выпавшего снега, анализ структуры рабочего процесса для снижения доли режима холостого хода и использования автоматизированного мониторинга рабочего процесса и увеличения эффективности

использования машин типа снегоуборочная машина (СМ) и поезд самоходный снегоуборочный (ПСС).

Для этого с помощью математического моделирования определяются параметры, при которых рабочий процесс снегоуборочной техники оптимален.

Расчетная производительность снегоуборочной машины  $\Pi_c$ , м<sup>3</sup>/ч:

$$\Pi_c = \frac{V_{\Pi} K_3}{T_{\Pi}} 60, \quad (1)$$

где  $V_{\Pi}$  – паспортная вместимость снегоуборочного комплекса;  $K_3$  – коэффициент загрузки снегоуборочного комплекса (0,4–0,75; зависит от плотности снега, погодных условий);  $T_{\Pi}$  – продолжительность рабочего цикла снегоуборочной машины.

Для снегоуборочной машины производительность или, точнее, выработка измеряется в кубических метрах

убираемого снега в час. На железной дороге для снегоуборочных поездов учитывается и наполняемость полувагонов; показатель характеризует эффективность работы машины.

Главная эксплуатационная и одна из основных технических характеристик любой машины – производительность. Существуют теоретическая, техническая и эксплуатационная производительности [1].

Теоретическая (расчетная) – это максимально возможная производительность, указывается в паспорте машины и имеет только одно значение. Для СМ и ПСС конструктивная производительность машин приравнивается к производительности ротора-питателя и составляет  $1200 \text{ м}^3/\text{ч}$  при плотности снега  $0,4 \text{ т/м}^3$ , высоте убираемого снега  $0,8 \text{ м}$ , рабочей скорости машины  $10 \text{ км/ч}$  и ширине захвата  $5,1 \text{ м}$ .

Техническая производительность – это максимальная производительность машины в конкретных условиях работы машины и машиниста при оптимально выбранных режимах работы и нагрузках на рабочее оборудование. На техническую производительность влияют вынужденные перерывы в работе по конструктивно-техническим, технологическим и метеорологическим причинам, физические свойства снега, вид работы (с крыльями или без) и др.

Эксплуатационная производительность определяется технической производительностью с учетом перерывов в работе машины по организационным, техническим и технологическим причинам.

Расчет производительности снегоуборочных поездов ведется по конструктивным данным, а именно, по максимально возможной конструктивной вместимости полувагонов (которая для исполнения «два полувагона и концевой вагон» составляет  $340 \text{ м}^3$ ). Однако конструкция полувагона показывает, что при измеренной средней разнице высот  $1,4 \text{ м}$  и ширине транспортерной ленты, равной  $2,6 \text{ м}$ , мы получаем, что паспортная вместимость  $V_{\text{п}}$  снегоуборочной машины будет равна  $234 \text{ м}^3$  (рис. 1) [4].

Действительные показатели работы отличаются от нормируемых, а машинисты всячески стараются выполнить необходимые выгрузки. Независимо от наполняемости вагонов, машинисты производят выгрузку и показывают в журналах учета нормативные кубометры.

Техническая и эксплуатационная вместимости гораздо ниже нормативных показателей. Эксплуатационная вместимость полувагона снегоуборочной машины определяется высотой и шагом пирамид снега ( $2\text{--}5 \text{ м}$ ), зависящих от действий помощника машиниста при их перемещении по вагону. Очень важен коэффициент заполнения полувагона, который может достигать  $0,75$ . Значит, что при максимальном коэффициенте заполнения эксплуатационная вместимость снегоуборочной машины составит  $176 \text{ м}^3$  [2].

Кроме производительности машин необходимо учитывать и основные результаты производственно-хозяйственной деятельности работников. В соответствии с [3], основными показателями для машинистов и помощников служат выполнение производственного

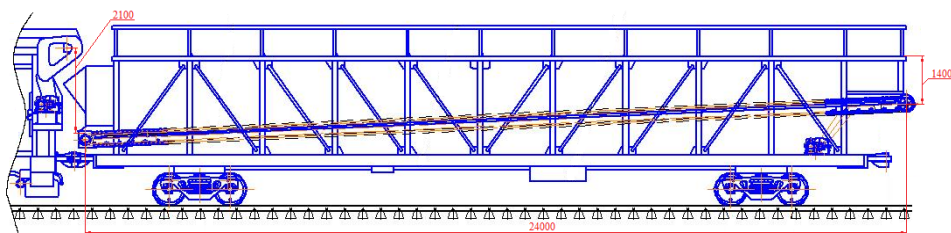


Рис. 1. Схема замера конструктивно возможной наполняемости полувагона



задания, чел./ч, отсутствие случаев срывов работы по вине работников бригады, выполнение лимита потребления дизельного топлива, т. Выполнение производственного задания в человеко-часах подразумевает, что, если бригада получила допуск к работе, то ей полагается премия без учета показателей эффективности работы машины, так как в производственно-хозяйственной деятельности не учитывается эффективность уборки снега. Поэтому целесообразно в положении о премировании за основной результат производственно-хозяйственной деятельности снегоуборочных бригад взять показатель, который учтет реальную эффективность их работы, и за такой показатель можно взять, например, длину убираемых путей.

Структура затрат на снегоуборочные машины типа СМ и ПСС: на топливо приходится 15 %, ТО – 25, заработная плата и другие выплаты – 60 [3]. Изменение подхода к премированию бригад, расчету производительности машин и проведению ТО и ремонтов может оптимизировать структуру затрат.

Для оптимизации затрат на эксплуатацию снегоуборочной техники необходимо смоделировать процесс уборки снега. Модель включает элементы структуры рабочей смены, производительности машины и погодных условий. Все признаки влияют на длину убираемых путей как результативный признак; только при одновременном учете всех факторов корректно оценивается эффективность работы снегоуборочной машины через убираемую длину пути.

Степень влияния каждого из факторных признаков установлена множественной корреляцией. Разработано математическое обоснование зависимости между длиной убираемых путей ( $y - L$ ), объемом убранного снега ( $x_1 - V_c$ ), временем рабочего режима ( $x_2 - t_{pp}$ ), высотой снежного покрова ( $x_3 - h$ ) и температурой окружающего воздуха ( $x_4 - t_{ов}$ ).

Данные из ПО АС КРСПС, приведенные в [4], достоверны, а возможная ошибка составляет не более 5 %, поэтому статистика для расчетов взята из этой программы. Для увеличения точности расчетов статистические данные берем за весь анализируемый период, то есть два года.

Поскольку на изучаемый результативный признак влияет не один факторный признак, а множество, то возникает задача изолированного измерения тесноты связи результативного признака с каждым из признаков-факторов при элиминировании других признаков-факторов, а также задача измерения тесноты связи между результативными признаками и всеми признаками-факторами, включенными в анализ. Основой решения этих задач служит матрица коэффициентов парной корреляции, а так как коэффициент парной корреляции – симметричная мера связи, то корреляционную матрицу мы можем записать как верхнюю треугольную матрицу (таблица 1).

На основе корреляционной матрицы выявим факторные признаки, которые наиболее тесно коррелируются с результативным признаком.

Таблица 1

Результаты расчета матрицы по данным  
за 2019–2020 и 2020–2021 гг.

Признак	$y$	$x_1$	$x_2$	$x_3$	$x_4$
$Y$	1	0,719	0,875	–0,016	0,128
$X_1$	0,719	1	0,611	0,645	–0,216
$X_2$	0,875	0,611	1	–0,039	0,095
$X_3$	–0,016	0,645	–0,039	1	–0,376
$X_4$	0,128	–0,216	0,095	–0,376	1

На основе коэффициентов парной корреляции можно рассчитать коэффициенты частной корреляции первого порядка [5]:

$$r_{yx_1x_2} = \frac{r_{yx_1} - r_{yx_2} r_{x_1x_2}}{\sqrt{(1-r_{yx_2}^2)(1-r_{x_1x_2}^2)}}. \quad (2)$$

На основе коэффициентов частной корреляции первого порядка найдем коэффициенты частной корреляции второго порядка:

$$r_{y_{x_1}, x_2, x_3} = \frac{r_{y_{x_1}, x_2} - r_{y_{x_3}, x_2} r_{x_1, x_3, x_2}}{\sqrt{(1 - r_{y_{x_2}, x_3}^2)(1 - r_{x_1, x_2, x_3}^2)}}. \quad (3)$$

На основе коэффициентов частной корреляции второго порядка можно найти коэффициенты частной корреляции третьего порядка и т. д. В нашем случае необходимо найти коэффициенты частной корреляции 4-го порядка.

Формула коэффициента частной корреляции  $k$ -го порядка имеет вид:

$$r_{y_{x_1} \cdot x_2 x_3 \dots x_k} = \frac{r_{y_{x_1} \cdot x_2 x_3 \dots x_{k-1}} - r_{y_{x_k} \cdot x_2 x_3 \dots x_{k-1}} r_{x_1 x_k \cdot x_2 x_3 \dots x_{k-1}}}{\sqrt{(1 - r_{x_2 x_3 \dots x_{k-1}}^2)(1 - r_{x_1 x_k \cdot x_2 x_3 \dots x_{k-1}}^2)^2}}. \quad (4)$$

Коэффициенты частной корреляции принимают значения от  $-1$  до  $1$ .

Математически корреляционная зависимость результативной переменной от нескольких факторных переменных описывается уравнением множественной регрессии.

Уравнение множественной регрессии характеризует среднее изменение  $y$  с применением признаков-факторов.

Для построения уравнения множественной регрессии определим признаки-факторы, включенные в регрессию, и найдем тип уравнения регрессии.

Первая задача решается на основании матрицы коэффициентов корреляции (см. таблицу 1) и выявления тех переменных, для которых  $r_{yx_i} > r_{x_i x_j}$  ( $i \neq j$ ).

Решение второй задачи строится на соотношении простоты и интерпрети-

руемости результатов многофакторного регрессионного анализа, то есть чем проще тип уравнения множественной регрессии, тем очевиднее интерпретация его параметров и тем лучше для использования регрессии с целью анализа и прогноза. Поэтому воспользуемся линейным уравнением множественной регрессии [6]:

$$\begin{aligned} \hat{y}_{x_1 x_2 \dots x_k} &= a + b_{1.2 \dots k} x_1 + \\ &+ b_{2.13 \dots k} x_2 + b_{3.124 \dots k} x_3 + \\ &+ \dots + b_{k.12 \dots k-1} x_k. \end{aligned} \quad (5)$$

Линейная форма регрессии учитывает, что статистические показатели могут содержать погрешности и эффект уточнения, который может дать применение нелинейной регрессии в этих условиях, ничтожен.

Параметры линейного уравнения множественной регрессии оцениваются методом наименьших квадратов (МНК).  
Условие МНК:

$$\sum_i (y_i - a - b_1 x_1 - b_2 x_2 - \dots - b_k x_k) \rightarrow \min. \quad (6)$$

Частные производные первого порядка данной функции приравняем нулю, получим систему нормальных уравнений, решив которую найдем значения параметров уравнения множественной регрессии.

$$\begin{cases} an + b_1 \sum x_1 + b_2 \sum x_2 + \dots + b_k \sum x_k = \sum y, \\ a \sum x_1 + b_1 \sum x_1^2 + b_2 \sum x_1 x_2 + \dots + b_k \sum x_1 x_k = \sum yx_1, \\ a \sum x_2 + b_1 \sum x_1 x_2 + b_2 \sum x_2^2 + \dots + b_k \sum x_2 x_k = \sum yx_2, \\ \vdots \\ a \sum x_k + b_1 \sum x_1 x_k + b_2 \sum x_2 x_k + \dots + b_k \sum x_k^2 = \sum yx_k. \end{cases} \quad (7)$$

Параметры уравнения множественной регрессии получаем через отношение частных определителей к определителю системы.

Построим уравнение множественной регрессии, представив все переменные как центрированные и нормированные, то есть выраженные как отклонения от средних величин, деленные на стандартное отклонение.

Из матрицы коэффициентов парной корреляции, приведенной в таблице 1, подставим значения коэффициентов корреляции:

$$\begin{cases} \beta_1 + 0,611\beta_2 + 0,645\beta_3 - 0,261\beta_4 = 0,719, \\ 0,611\beta_1 + \beta_2 - 0,039\beta_3 + 0,095\beta_4 = 0,875, \\ 0,645\beta_1 - 0,039\beta_2 + \beta_3 - 0,376\beta_4 = -0,016, \\ -0,261\beta_1 + 0,095\beta_2 - 0,376\beta_3 + \beta_4 = 0,128. \end{cases} \quad (8)$$

Систему линейных уравнений решим методом Гаусса и найдем значения  $\beta$  — коэффициентов, а затем получим уравнение регрессии в стандартизированном виде.

Коэффициент множественной детерминации  $R^2_{yx_1 \dots x_k}$  показывает, какая часть дисперсии результативной переменной  $y$  объясняется за счет учтенных в анализе факторных признаков.

Извлекая корень квадратный из коэффициента множественной детерминации, получим коэффициент множественной корреляции  $y$  со всеми учтенными переменными  $x_1 \dots x_k$ :  $R^2 = 0,939$ .

Тогда уравнение множественной регрессии в натуральном виде для долгосрочного планирования, например, на год:

$$\begin{aligned} L_{\text{год}} = & 308925,09 + 9,94V_c + \\ & + 426,53t_{\text{pp}} - 8644597,83h + \\ & + 3911,73t_{\text{ов}}. \end{aligned} \quad (9)$$

Коэффициенты регрессии уравнения (9) зависят от размерности объясняющих переменных и не могут сравниваться.

Кроме значения совокупного коэффициента детерминации важно знать вклад каждой объясняющей переменной. Он измеряется коэффициентами раздельной детерминации:

$$d_i^2 = r_{yx_i} \beta_i. \quad (10)$$

Полученное уравнение множественной регрессии (9) может быть использовано для анализа и прогноза длины убираемых путей ( $L_{\text{год}}$ ), поскольку учтенные переменные объясняют 93,9 %

вариации длины убираемых путей. Так как для расчета использовались годовые данные работы машин, данную формулу можно использовать только при долгосрочном планировании или определении эффективности работы машины за год.

Для краткосрочного планирования работы машины (не менее 12 ч), т.е. длительности смены и определения эффективности выполняемых работ за смену, необходимо рассчитать уравнение множественной регрессии с использованием данных из программы АС КРСПС [7, 8], взятых за рабочую смену, по этому же алгоритму рассуждений (14).

$$\begin{aligned} L_{\text{смен}} = & 3047,8 + 11,63V_c + \\ & + 165,46t_{\text{pp}} - 86198,13h + \\ & + 17,02t_{\text{ов}}. \end{aligned} \quad (11)$$

Таким образом, получив два уравнения, мы можем с погрешностью до 10 % планировать на год затраты на работу снегоуборочной техники и оперативно, после отработанной смены, выявлять причины отклонения от плана.

Объем убранного снега служит нормативным показателем для межремонтного пробега СМ: ТР-1 — 300 тыс. м<sup>3</sup> убранного снега, ТР-2 — 600 тыс. м<sup>3</sup>, КР-1 — 1,8 млн м<sup>3</sup> [9].

Сроки проведения ремонтов до сих пор определяются по данным объема убираемого снега, взятых с программы АСУ СПС, то есть по данным, которые ведут бригады снегоуборочных машин. Средняя наработка машин за 2019–2020 и 2020–2021 гг. составила 126,2 тыс. м<sup>3</sup>. Если сопоставить средний объем убираемого снега с нормативным показателем для межремонтного пробега ТР-1, ТР-2, КР-1, то сроки проведения ремонтов составят 2,4, 4,8, и 14,3 года соответственно.

Средняя наработка снегоуборочной машины по программе АС КРСПС составляет 27,3 тыс. м<sup>3</sup>, что позволяет определить истинные сроки проведения ремонтов для ТР-1, ТР-2, КР-1, составляющие 11, 22 и 66 лет соответственно.

Такие промежутки времени для проведения ремонтов значительны при работе машин. Поэтому логично и нормативные показатели для межремонтного пробега машин типа СМ и ПСС, определяемые объемом убираемого снега, заметить на длину убираемых путей. Данные по длине убираемых путей также подчитываются программой АС КРСПС.

Для определения связи между научно обоснованными нормативными показателями межремонтного пробега и величиной длины убираемых путей найдем корреляционную связь между длиной очищаемых путей и объемом убранного снега за анализируемый период (рис. 2, а).

По полученным данным составим уравнение парной регрессии:

$$L_{\text{год}} = 1521,5V_c + 28084. \quad (12)$$

При подстановке нормативных сроков проведения ремонтов в уравнение (12) получим нормативные величины длины очищаемых путей, представленные в таблице 2.

При работе снегоуборочных машин большего всего по времени эксплуатируются приводные и тяговые цепи, редуктора, электродвигатели. По принятым стандартам их наработка определяется по времени их работы, поэтому необходимо знать не только длину убираемых путей, но и время работы машины в рабочем режиме. Для этого найдем корреляционную зависимость между

длиной убираемых путей и временем работы машины (рис. 2, б), а также составим уравнение парной регрессии (13).

Уравнение парной регрессии будет иметь вид:

$$L_{\text{год}} = 1521,5t_{\text{pp}} + 28084. \quad (13)$$

Предлагаем следующие алгоритмы планирования и оценки эффективности работ снегоуборочных машин за смену и за год, с помощью которых можно оптимизировать структуру затрат на уборку снега, определить экономический эффект от внедрения новой методики расчета производительности снегоуборочной машины через длину убранных путей, оптимизировав расходы на премиальный фонд, топливо и текущие ремонты, возможную экономию фонда заработной платы.

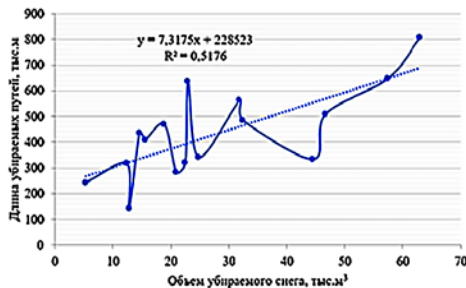
Работы по планированию включают в себя расчеты по определению необходимого количества руководителей среднего звена и работников, объема и затрат на дизельное топливо, фондов заработной платы и премирования, затрат на техническое обслуживание.

Необходимое количество снегоуборочной техники для конкретного участка пути (например, станции и т.п.) целесообразно рассчитывать по формуле:

$$N = L/L_{\text{смен}}, \quad (14)$$

где  $L$  – суммарная развернутая длина станционных путей, убираемых

а)



б)

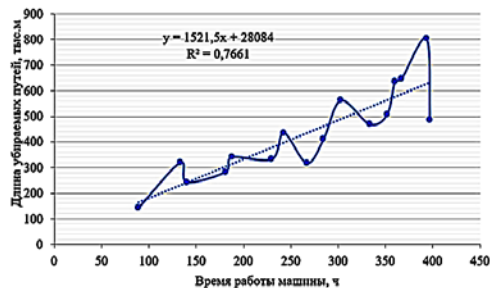


Рис. 2. График зависимости длины очищаемых путей  
а – от объема убранного снега; б – времени работы машины

Таблица 2

Нормативные показатели проведения ТР, существующие в настоящее время  
и в зависимости от длины убираемых путей

Вид ремонта	Объем убранно- го снега, тыс. м <sup>3</sup>	Стои- мость ре- монтов, тыс. руб.	Периодич- ность проведе- ния, в годах, по АСУ СПС	Периодич- ность проведе- ния в годах по АС КРСПС	Длина очищае- мых путей, тыс. м	Периодич- ность прове- дения, в годах
ТР-1	300	1 615	2,4	11	2 424	6
ТР-2	600	3 116	4,8	22	4 619	10,7
КР-1	1 800	–	14,3	66	13 400	31

снегоуборочными поездами, м;  $L_{\text{смен}}$  – длина убираемых путей снегоуборочной машиной за смену определяемая по формуле (11), м.

Таким образом, мы определяем, сколько снегоуборочных машин необходимо для очистки конкретной станции или участка пути от снега в сутки либо подсчитаем, сколько дней потребуется для полной очистки железнодорожных путей при известном количестве техники.

Зная продолжительность снегоуборочного сезона в наших условиях и необходимое количество снегоуборочных машин, можно определить требуемое количество бригад и объем топлива, то есть затраты на работу техники.

Как только машина отработала смену, определяется показатель эффективности работы машины и выявляется соответствие или несоответствие среднестатистическим данным. На основании этих расчетов в конце месяца принимается решение о премировании.

Определим экономический эффект от внедрения новой методики расчета производительности снегоуборочной машины через длину убранных путей, оптимизировав расходы на премиальный фонд, топливо, текущие ремонты, возможную экономию фонда заработной платы.

Определим размер фонда премирования исходя из эффективности работы машины по длине убранных путей за анализируемый период; для этого возьмем общую продолжительность работы

снегоуборочных машин, рассчитаем количество бригад и их численный состав. Кроме того, необходимо учитывать, что часть бригад приписаны к станции Инская с третьим уровнем премии (72 %), а у бригад других станций аналогичный уровень премии составляет 48 % [3]. Тогда формула для расчета затрат предприятия на выплату премий машинистам и помощникам машиниста будет выглядеть следующим образом:

$$\Phi_{\text{зп}} = (K_{61}Y_{\text{зи}} + K_{62}Y_{\text{зд}})(C_{\text{м}} + 2C_{\text{пм}})O_{\text{т}}, \quad (15)$$

где  $K_{61}$ ,  $K_{62}$  – количество бригад по Инской и другим станциям, ед.;  $Y_{\text{зи}}$ ,  $Y_{\text{зд}}$  – коэффициент третьего уровня премии по Инской и другим станциям;  $C_{\text{м}}$ ,  $C_{\text{пм}}$  – стоимость часа работы машиниста и помощника машиниста, руб.;  $O_{\text{т}}$  – общее время работы за период, ч.

Еще одно статьей сокращения затрат может стать оптимизация расхода топлива. Для пересчета расхода топлива через длину убираемых путей за смену составим уравнение множественной регрессии в натуральном виде по статистическим данным за 2019–2020 и 2020–2021 гг.:

$$L_{\text{смен}} = 1527,28 + 1245,67t_{\text{пп}} - 97,32t_{\text{хр}}, \quad (16)$$

где  $t_{\text{хр}}$  – время холостого хода, ч.

Разница действительных данных с расчетами составила 1,37 раза.

Таблица 3

Экономический эффект от оптимизации рабочего процесса на основании созданной математической модели и данных мониторинга

Первый вариант, тыс. руб.	Второй вариант, тыс. руб.	Третий вариант, тыс. руб.		
премия	топливо	зарплата	премия	топливо
2019–2020 гг.				
1 491,6	2 474,6	72 504,01	55 723,3	4 385,8
2020–2021 гг.				
16 852,1	1 081,9	97 957,02	67 609,9	3 317,02
Итого, тыс. руб.				
18 343,7	3 556,5	170 461,03	123 333,2	7 702,82

На РЖД введены штрафные санкции и за недорасход топлива, поэтому актуальным точное планирование потребления топлива.

Рассчитаем экономию средств, получаемую за счет внедрения новой модели для проведения ТО.

При подстановке регламентных сроков проведения ремонтов в уравнение (12) определены новые сроки в зависимости от длины убираемых путей (таблица 2).

Из таблицы 2 следует, если использовать данные с программы АС КРСЧС по объему убранного снега, то предприятие производило ремонт снегоуборочных машин в 4,6 раза чаще, чем это установлено нормативами.

При существующих регламентах на проведение ремонтов предприятие за десять лет на ремонт одной снегоуборочной машины тратит 9 462 тыс. руб.

Оптимизировать расходы фонда заработной платы можно за счет учета требований инструкции [9], согласно которой применение путевой машины по уборке снега при толщине снежного покрова ниже 0,1 м считается необоснованным [10].

При существующем общем фонде заработной платы на бригады снегоуборочных машин за анализируемый

период и среднем количестве осадков машины должны были работать в 4,68 раза реже.

Общий экономический эффект от оптимизации рабочего процесса на основании программного обеспечения можно определить, опираясь на три сценария развития событий.

Первый. Машины выходили на работу независимо от уровня снега, но не все бригады выполняли среднее плановые показатели по длине убираемых путей.

Второй. Данные по расходу дизельного топлива и выработки машин берутся из ПО АС КРСЧС.

Третий. Машины не должны были выезжать при уровне снега ниже 0,1 м. Экономия при этом варианте будет состоять из сокращения затрат на заработную плату работников, выплат из премиального фонда и затрат на дизельное топливо (таблица 3).

Таким образом, модель оптимизации рабочего процесса снегоуборочной техники на основе автоматизированного мониторинга позволяет оперативно определять эффективность работы каждой машины и парка в целом за смену и за год, быстро устранять причины перерасхода средств и более обоснованно планировать работы. ■

#### Литература

1. Абрамов А. Д., Семенов М. А. Повышение эффективности работы снегоуборочной машины типа СМ на основе автоматизированного мониторинга // Вестник СГУПС. 2021. № 3 (58). С. 40–49. ISSN 1815-9265.



2. Абрамов А. Д., Семенов М. А., Кочетков А. С. Оптимизация рабочего процесса снегоуборочной техники на основе автоматизированного мониторинга // Путь и путевое хозяйство. 2021. № 4. С. 37–40. ISSN 0131-5765.
3. Положение о корпоративной системе премирования работников филиалов открытого акционерного общества «РЖД»; утв. распоряжением ОАО «РЖД» от 20.07.2010 № 1573р. – М., 2010. 368 с.
4. Автоматизированная система контроля за работой специального подвижного состава (АС КРСПС): Руководство пользователя 01124323.46711. 003.ИЗ. – М., 2021. 20 с.
5. Гласс Дж., Стэнли Дж. Статистические методы в педагогике и психологии. М.: «Прогресс», 1976. 495 с.
6. Аксянова А. В. Теория и практика статистики / А. В. Аксянова, Н. Н. Валеев, Ас. М. Гумеров. – М.: КолосС, 2008. – 284 с. ISBN 978-5-9532-0628-0.
7. Ададунов А. С. Автоматизированная система контроля за работой специального подвижного состава // Бюллетень ОУС ОАО «РЖД». 2016. № 6. С. 29–35. ISSN 2304-9642.
8. Пат. 2017661462 Российская Федерация, МПК 7. Автоматизированная система контроля работы снегоуборочных / Ададунов А. С., Кунгурцев В. В., Машков А. С., Пятыхев Е. В., Романюта Д. С., Иванов В. А., Богачев А. В.; заявитель и патенообладатель Ададунов А. С. (RU), Кунгурцев В. В. (RU), Машков А. С. (RU), Пятыхев Е. В. (RU), Романюта Д. С. (RU), Иванов В. А. (RU), Богачев А. В. (RU). – № 2017617180: заявл. 21.07.2017; опубл. 13.10.2017.
9. Инструкция по подготовке к работе в зимний период и организации снегоборьбы на железных дорогах, в других филиалах и структурных подразделениях ОАО «РЖД», а также его дочерних и зависимых обществах; утв. распоряжением ОАО «РЖД» 22.10.2013 № 2243р. – М., 2012. 164 с.
10. Инструкция по снегоборьбе на железных дорогах Российской Федерации; утв. МПС РФ от 25.04.2000 № ЦП-751. – М., 2000. 74 с.

## References

1. Abramov A. D., Semenov M. A. Improving the efficiency of a SM-type snow-grooming machine based on automated monitoring // Bulletin of SSURE. [Povyshenie ehffektivnosti raboty snegouborochnoj mashiny tipa SM na osnove avtomatizirovannogo monitoringa // Vestnik SGUPS] 2021. № 3 (58). Pp. 40–49. ISSN 1815-9265.
2. Abramov A. D., Semenov M. A., Kochetkov A. S. Optimization of the operating process of snow removal equipment based on automated monitoring // Track and track facilities. [Optimizatsiya rabocheho protsesssa snegouborochnoj tekhniki na osnove avtomatizirovannogo monitoringa // Put' i putevye khozaystvo] 2021. № 4. Pp. 37–40. ISSN 0131-5765.
3. Regulations on the corporate bonus-award system for employees of the branches of Open Joint Stock Company «The Russian Railways»; approved by the Order of JSC «The Russian Railways» as of 20.07.2010 № 1573r. [Polozhenie o korporativnoj sisteme premirovaniya rabotnikov fili-alov otkrytogo aktsionernogo obshhestva «RZHD»; utv. rasporyazheniem ОАО «RZhD» ot 20.07.2010] – М., 2010. 368 p.
4. Automated control system for the operation of special rolling stock (AC SOSRS): User Manual 01124323.46711. 003.IZ. [Avtomatizirovannaya sistema kontrolya za rabotoj spetsial'nogo po-dvizhnogo sostava (AS KRSPS): Rukovodstvo pol'zovatelya 01124323.46711. 003.IZ.] – М., 2021. 20 p.
5. Glass J., Stanley J. P. Statistical methods in pedagogy and psychology. М.: «Progress», [Statisticheskie metody v pedagogike i psikhologii. М.: «Progress»] 1976. 495 p.
6. Aksyanova A. V. Theory and practice of statistics / A. V. Aksyanova, N. N. Valeev, As. M. Gumerov. – М.: KolosS, [Teoriya i praktika statistiki / A. V. Aksyanova, N. N. Valeev, As. M. Gumerov. – М.: KolosS] 2008. – 284 p. ISBN 978-5-9532-0628-0.
7. Adadurov A. S. Automated control system for the operation of special rolling stock // Bulletin of the UAB of JSC «The Russian Railways». [Avtomatizirovannaya sistema kontrolya za rabotoj spetsial'nogo podvizhnogo sostava // Byulleten' OUS ОАО «RZhD»] 2016. № 6. Pp. 29–35. ISSN 2304-9642.
8. Pat. 2017661462 the Russian Federation, IPC 7. Automated control system of snow-grooming machines / Adadurov A. S., Kungurtsev V. V., Mashkov A. S., Pyatyshev E. V., Romanyuta D. S., Ivanov V. A., Bogachev A. V.; applicant and patent holder Adadurov A. S.



- (RU), Kungurtsev V. V. (RU), Mashkov A. S. (RU), Pyatyshev E. V. (RU), Romanyuta D. S. (RU), Ivanov V. A. (RU), Bogachev A. V. (RU). – № 2017617180: appl. 21.07.2017; publ. 13.10.2017. [Pat. 2017661462 Rossijskaya Federatsiya, MPK 7. Avtomatizirovannaya sistema kontrolya raboty snegouborochnykh / Adadurov A. S., Kungurtsev V. V., Mashkov A. S., Pyatyshev E. V., Romanyuta D. S., Ivanov V. A., Bogachev A. V. ; zayavitel' i patenoobladatel' Adadurov A. S. (RU), Kungurtsev V. V. (RU), Mashkov A. S. (RU), Pyatyshev E. V. (RU), Romanyuta D. S. (RU), Ivanov V. A. (RU), Bogachev A. V. (RU). – № 2017617180: zayavl. 21.07.2017; opubl. 13.10.2017.]
9. Instruction on pre-starting procedures in winter season and organizing snow defence at railway tracks and other branches and structural subdivisions of JSC «The Russian Railways», as well as its subsidiaries and affiliates; approved by the decree of JSC «The Russian Railways» № 2243r. [Instruktsiya po podgotovke k rabote v zimnij period i organizatsii snegobor'by na zheleznykh dorogakh, v drugih filialakh i strukturnykh podrazde-leniyakh OAO «RZHD», a takzhe ego dochernikh i zavisimyykh obshhestvakh ; utv. raspo-ryazheniem OAO «RZHD» 22.10.2013 № 2243r] – М., 2012. 164 p.
  10. Instruction on snow defence at the railway tracks of the Russian Federation; approved by the Ministry of Transport of the Russian Federation as of 25.04.2000 № TsP-751. [Instruktsiya po snegobor'be na zheleznykh dorogakh Rossijskoj Federa-tsii ; utv. MPS RF ot 25.04.2000 № TSP-751] – М., 2000. 74 p.

*Статья сдана в редакцию 3 апреля 2022 года*

## Уважаемые коллеги!

### Информирую вас о требованиях, предъявляемых к оформлению статей.

При наборе используйте Word-2003 или Word-2007; шрифт (по всему тексту, в том числе в рисунках и таблицах) – тип Times, размер шрифта – 14, межстрочное расстояние – 1,5, абзацный отступ – 1,25 (1,27) см, поля – 2 см; расстановка переносов по всему тексту – автоматическая.

Набор формул: простые формулы и сочетания символов ( $x^2 < y^2$ ;  $E = mc^2$ ;  $a^2 + b^2 = c^2$ ;  $Q_{i-1}$ ;  $\psi_j$ ) – только в текстовом режиме, сложные

$$(s^2 = \frac{1}{n-1} \left[ \sum_{j=1}^e x_j^2 n_j - \frac{1}{n} \left( \sum_{j=1}^e x_j n_j \right)^2 \right]; \left( \frac{\sigma_a}{[n]} \right)$$

или  $S_i^m$ ) – только в редакторе формул

Equation или в MathType.

Написание букв: русские (а, б, в, А, Б, В), греческие (Θ, Σ, Ω, Ψ, α, β, δ, ε, λ, π), а также цифры и аббревиатуры (1, 2, 3; I, II, III; max, lg, sin и т. п.) пишутся только прямо; латинские (a, b, n, A, B, N и т. д.) – только курсивом. Исключение – курсив во вспомогательном тексте (слова «Таблица» и «Рис.», примечания в рисунках и ссылки в тексте на эти примечания).

Оформление текста: левый верхний край – инициалы, фамилия; заголовков – все буквы ПРОПИСНЫЕ, жирные, расположение – по центру набора; таблиц и рисунков: в таблицах размер шрифта – на полтора-два размера меньше, чем в основном тексте (11,5–12), расположение текста в «шапке» таблицы – по центру, в столбцах – по ширине; межстрочное расстояние – 1; слово «Таблица» – курсивное начертание, в правый край таблицы; название таблицы – начертание нормальное (прямое), расположение – по центру таблицы. В рисунках (графиках, диаграммах): размер подрисуночной

подписи – 14, расположение – по центру набора, слово «Рис.» – курсив, название рисунка – нормальное начертание, описание рисунка (экспликация) – нормальное начертание, условные обозначения – курсивное начертание, их расшифровка – нормальное. Расположение таблиц и рисунков – строго после ссылки на них.

Кроме того, рисунки обязательно прилагаются к материалу (один рисунок – один файл; формат – \*.jpg).

Ссылки на литературу в тексте пишутся в квадратных скобках ([1], [1, 2] или [3–5]); нумерация сквозная. Список литературы/источников оформляется по ГОСТ 7.0.5–2008.

В конце статьи обязательно ставится дата отсыла материала в редакцию.

Объем статьи – не более 14-ти страниц.

Название файла: Фамилия. Первое слово заголовка. Подчеркивание. Последнее слово заголовка (Сидоров. Синтез\_электроприводом).

К материалу (статье) обязательно прилагаются (отдельным файлом): УДК, сведения об авторе, аннотация, ключевые слова (название файла: УДК 000. Сидоров. Синтез\_электроприводом).

Материалы для очередного номера журнала «Вестник УрГУПС» принимаются до 30 числа первого месяца квартала (до 30-го января, 30-го апреля, до 30-го июля, до 30-го октября). Материалы, поступившие в редакцию после 30-го числа, будут опубликованы только в следующем номере.

Успешной работы!

*Л. Барышникова,  
литературный и выпускающий  
редактор журнала «Вестник УрГУПС»*

### Уважаемые читатели и авторы журнала «Вестник УрГУПС»!

Если вам нравится наш журнал, вы можете оказать содействие в его развитии,

перечислив денежные средства по реквизитам:

Ассоциация выпускников УЭМИИТ-УрГУПС

ИНН-КПП 6670317893/667001001

ОГРН 1156600001470

620075, Свердловская обл., г. Екатеринбург, ул. Шевченко, д. 20, помещение 1

Р/с 40703810863010000192

в ПАО КБ «УБРИР» филиал ССБ

к/с 30101810900000000795

БИК 046577795

**Назначение платежа:** «Пожертвование для поддержки научных журналов УрГУПС».

Ваша финансовая поддержка позволит нам увеличить число публикаций, повысить индексы цитирования журнала и наших авторов.

### Уважаемые руководители инновационных компаний и предприятий!

Предлагаем вам услуги по продвижению вашей продукции через сеть Ассоциации выпускников УЭМИИТ-УрГУПС.

Ассоциация выпускников УЭМИИТ-УрГУПС – это кооперация большого числа неравнодушных людей различных сфер деятельности, окончивших наш университет.

Кроме того, предлагаем услуги по подбору молодых специалистов, по организации поиска решений прикладных и научных задач в рамках диссертационных работ, выполняемых в УрГУПС.

Всю необходимую информацию вы можете получить по тел. (343) 221-25-60

или на сайте <http://www.usurt.ru/vypusnikam/assotsiatsiya-vypusnikov-urgups>

<b>Извещение</b>	<b>Получатель:</b> Ассоциация выпускников УЭМИИТ-УрГУПС <b>КПП:</b> <u>667001001</u> <b>ИНН:</b> <u>6670317893</u> <b>ОКТМО:</b> <u>65701000</u> <b>Р/сч.:</b> <u>40703810863010000192</u> <b>в:</b> ПАО КБ «УБРИР» филиал ССБ <b>БИК:</b> <u>046577795</u> <b>К/сч.:</b> <u>30101810900000000795</u> <b>Код бюджетной классификации (КБК):</b> _____ <b>Платеж:</b> <u>Пожертвование для поддержки научных журналов УрГУПС</u> <b>Платательщик:</b> _____ <b>Адрес плательщика:</b> _____ <b>ИНН плательщика:</b> _____ <b>№ л/сч. плательщика:</b> _____ <b>Сумма:</b> _____ руб. ____ коп.  Подпись: _____ Дата: «____» _____ 2022 г.
<b>Квитанция</b>	<b>Получатель:</b> Ассоциация выпускников УЭМИИТ-УрГУПС <b>КПП:</b> <u>667001001</u> <b>ИНН:</b> <u>6670317893</u> <b>ОКТМО:</b> <u>65701000</u> <b>Р/сч.:</b> <u>40703810863010000192</u> <b>в:</b> ПАО КБ «УБРИР» филиал ССБ <b>БИК:</b> <u>046577795</u> <b>К/сч.:</b> <u>30101810900000000795</u> <b>Код бюджетной классификации (КБК):</b> _____ <b>Платеж:</b> <u>Пожертвование для поддержки научных журналов УрГУПС</u> <b>Платательщик:</b> _____ <b>Адрес плательщика:</b> _____ <b>ИНН плательщика:</b> _____ <b>№ л/сч. плательщика:</b> _____ <b>Сумма:</b> _____ руб. ____ коп.  Подпись: _____ Дата: «____» _____ 2022 г.

ф. СП-1



## АБОНЕМЕНТ

на ~~газету~~  
журнал

**70070**

(индекс издания)

### Вестник УрГУПС

(наименование издания)	Количество комплектов:	
------------------------	------------------------	--

на 2022 год по месяцам:

1	2	3	4	5	6	7	8	9	10	11	12
X	X	X	X	X	X						

**Куда**

(почтовый индекс)

(адрес)

**Кому**

(фамилия, инициалы)

## ДОСТАВОЧНАЯ КАРТОЧКА

на ~~газету~~  
журнал

**70070**

(индекс издания)

ПВ	место	литер

### Вестник УрГУПС

(наименование издания)

Стои- мость	подписки	руб. ____ коп.	Количество комплектов:	
	переадресовки	руб. ____ коп.		

на 2022 год по месяцам:

1	2	3	4	5	6	7	8	9	10	11	12
X	X	X	X	X	X						

**Куда**

(почтовый индекс)

(адрес)

**Кому**

(фамилия, инициалы)